

# ISOMOVE



ATTUATORI LINEARI MECCANICI DI PRECISIONE PER ALTA DINAMICA  
PRECISION MECHANICAL LINEAR ACTUATORS FOR HIGH DYNAMICS

**JETEC**  
COMPONENTI CONTROLLI SISTEMI DI MOTO

ISOMOVE-E the evolution  
ISOMOVE-E the evolution

## AVVERTENZE - RESPONSABILITÀ

- **L'ATTUATORE MECCANICO LINEARE ISOMOVE È UN COMPONENTE DI MACCHINA, ESSO STESSO NON SVOLGE ALCUNA FUNZIONE PROPRIA AUTONOMAMENTE, PERTANTO NON È DA CONSIDERARSI NÉ QUASI-MACCHINA NÉ MACCHINA.**

Esso deve essere integrato all'interno di una macchina o di una quasi-macchina nel rispetto delle Normative, delle Direttive e delle Leggi in vigore nel Paese del costruttore della macchina/impianto, a carico e cura di quest'ultimo.

- I contenuti del presente documento e di tutte le informazioni correlate fornite da SETEC S.p.A. e/o SERVOSYSTEM s.r.l. e dai Distributori autorizzati costituiscono opzioni di prodotti che dovranno essere analizzati dai Clienti/Utenti terzi esterni dotati di competenze tecniche.
- Il Cliente/Utente, attraverso suoi processi di analisi e verifica, si assume la responsabilità assoluta per la scelta finale del componente/sottosistema e si adopera per garantire che vengano soddisfatti tutti i requisiti dell'applicazione in oggetto relativamente a prestazioni richieste, attività di manutenzione, resistenze strutturali, corretta installazione e sicurezze della stessa.
- Il Cliente/Utente ha l'obbligo di fornire tutte le informazioni relative all'applicazione in oggetto a SETEC S.p.A., alle sue consociate ed ai suoi Distributori autorizzati e di attenersi agli standard di settore; inoltre deve seguire le informazioni fornite da SETEC S.p.A., dalle sue consociate e dai suoi Distributori autorizzati attraverso questo od altri documenti inerenti forniti.
- Il Cliente/Utente ha la responsabilità di verificare che tali informazioni e specifiche tecniche di prodotto siano corrette e quindi accettabili per la sua applicazione.
- IL GRUPPO SETEC SI RISERVA IL DIRITTO DI APPORTARE AL PRESENTE DOCUMENTO TUTTE LE MODIFICHE CHE SI RENDERANNO NECESSARIE SENZA ALCUN PREAVVISO E NON SI ASSUME NESSUNA RESPONSABILITÀ PER ERRATA INTERPRETAZIONE DELLO STESSO.

## WARNINGS - LIABILITIES

- **THE MECHANICAL LINEAR ACTUATOR ISOMOVE IS A PURE MACHINE COMPONENT, IT DOESN'T CARRY OUT ANY FUNCTION AUTONOMOUSLY, THUS IT IS NOT A MACHINE OR A HEMI-MACHINE ITSELF.**

The actuator must be integrated into the machine or into the hemi-machine according to the Standards, the Directives and the Laws of the Country to whom the Manufacturer of the machine belongs. The Manufacturer must do it at its expenses and with great care.

- All the contents of this catalogue and all the separate information related to it supplied by SETEC S.p.A. and/or SERVOSYSTEM s.r.l. and by the Authorized Distributors are only possible options of products which will then have to be analysed very carefully by the Customers/Users with a deep technical knowledge.
- The Customer/User, through his analysis and check processes, is entirely liable for his final selection of the component/sub-assembly. He will act in order to have all the service requirements of the application met, considering the requested performances, the needed maintenance activities, the structural resistance of the parts of the machine connected to the actuator. He will take care about the proper installation of the actuator itself and of the safety devices related to it.
- The Customer/User is obliged to provide SETEC / SERVOSYSTEM / ANY AUTHORIZED DISTRIBUTOR with all the important and decisive information about the application under analysis and must respect all the Standards of his market. Furthermore the Customer/User must properly follow all the information supplied by SETEC / SERVOSYSTEM / ANY AUTHORIZED DISTRIBUTOR by this or other related documents.
- The Customer/User is liable for checking that all the supplied information and the technical specification of the products herein included are valid for his machine.
- SETEC GROUP RESERVES THE RIGHT TO MAKE ALL THE NECESSARY CHANGES/MODIFICATIONS TO THIS DOCUMENT WITHOUT ANY NOTICE. SETEC GROUP WILL NOT BE LIABLE FOR ANY WRONG UNDERSTANDING BY THE CUSTOMER/USER.

# ISOMOVE - E: L'evoluzione

## ISOMOVE - E: The evolution

## Presentazione generale

## General description

Il GRUPPO SETEC da OLTRE 40 ANNI progetta e produce una ampia gamma di attuatori lineari industriali elettromeccanici per tutti i settori dell'industria e dell'automazione in generale.

Decine di migliaia di nostri attuatori, sia STANDARD che SPECIALI sono installati sul campo, nei più svariati settori applicativi:

- SIDERURGIA
- LEGNO
- MARMO
- PIETRA
- PACKAGING
- STAMPA
- CONVERTING
- MACCHINE UTENSILI
- VETRO
- TUBO
- FILO METALLICO
- PLASTICA
- SALDATURA
- ROBOTICA
- SOLARE
- HANDLING

Gli attuatori lineari meccanici di precisione per alta dinamica ISOMOVE-E costituiscono la naturale EVOLUZIONE della prima serie, in produzione ormai da più di 20 ANNI, beneficiando quindi di tutta l'esperienza progettuale, produttiva ed applicativa su tutti i principali mercati mondiali ed in tutti i settori industriali più importanti della costruzione di macchine ed impianti.

SETEC GROUP has been designing and manufacturing for MORE THAN 40 YEARS a wide range of industrial electromechanical linear actuators for all industry and automation markets.

Many thousands of our actuators, both STANDARD and SPECIAL ones, are working in the many different industrial sectors:

- STEEL
- WOOD
- MARBLE
- STONE
- PACKAGING
- PRINTING
- CONVERTING
- MACHINE TOOLS
- GLASS
- PIPING
- METAL WIRE
- PLASTICS
- WELDING
- ROBOTICS
- SOLAR PANELS
- HANDLING

Precision mechanical linear actuators for high dynamics ISOMOVE-E are the natural EVOLUTION of the first series, produced for more than 20 YEARS; they thus have the great benefit of our long experience in conceiving, manufacturing and using them worldwide in the most demanding machine builders sectors.

La particolare cura realizzativa dei particolari fondamentali per garantire tolleranze dimensionali, di forma e di posizione molto strette e le soluzioni progettuali adottate per ottenere un assieme con linearità e concentricità degli elementi in movimento molto buone fanno sì che essi sono il miglior prodotto per le applicazioni di automazione dove sono richieste ALTE DINAMICHE ed ELEVATE PRECISIONI.

I nostri PRINCIPALI VANTAGGI sono:

- TENSIONAMENTO CINGHIA REGOLABILE
- ELEVATA PERSONALIZZAZIONE possibile
- ELEVATA DENSITÀ DI FORZE
- GRANDI VELOCITÀ LINEARI
- COMPORTAMENTO per ALTA DINAMICA
- ELEVATA PRECISIONE
- FUNZIONAMENTO IN SERVIZIO CONTINUO
- ELEVATA RIGIDEZZA ASSIALE
- CONTROLLABILITÀ tramite SERVOAZIONAMENTI
- PROGRAMMABILITÀ tramite PLC / CONTROLLI ASSE
- NUMEROSE VERSIONI STANDARD disponibili

We take extreme care to make all the parts in order to get very tight dimensional, position and form tolerances.

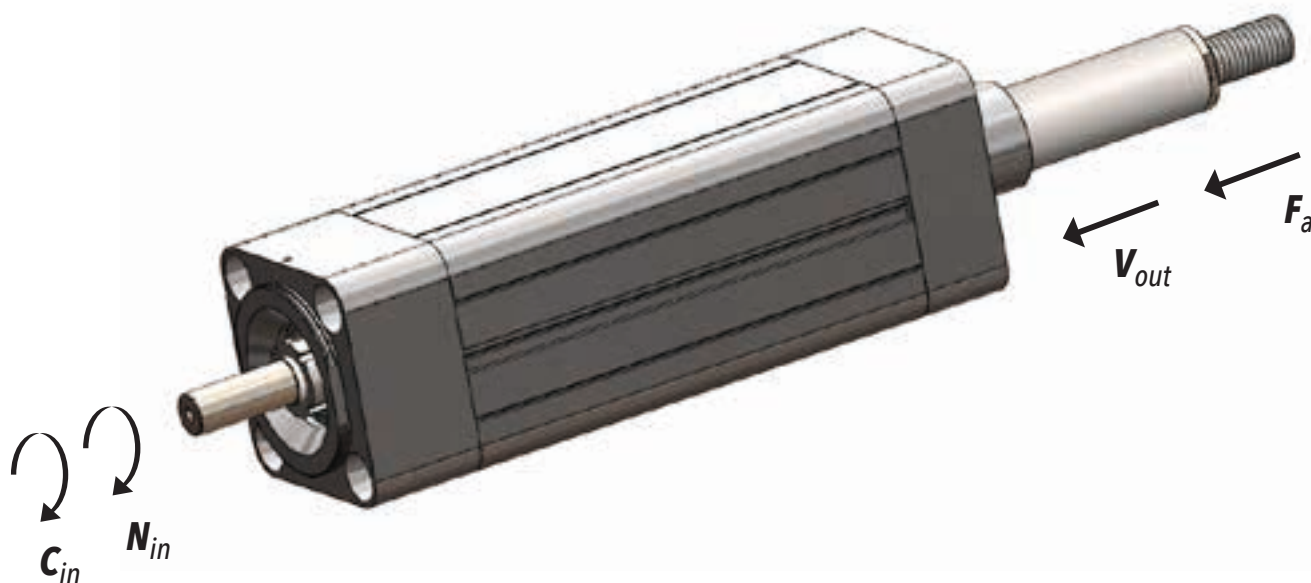
All this together with innovative design solutions allow us to reach very good linearity and concentricity values of the assembled unit moving parts, thus obtaining the best product for HIGH DYNAMICS and HIGH ACCURACIES in automation applications.

Our MAIN ADVANTAGES are:

- ADJUSTABLE BELT TENSIONING
- HIGH CUSTOMIZATION possible
- HIGH FORCE DENSITY
- HIGH OUTPUT LINEAR SPEED
- SUITABLE for HIGH DYNAMICS BEHAVIOUR
- HIGH ACCURACY
- CONTINUOUS DUTY CYCLE possible
- HIGH AXIAL STIFFNESS
- CONTROLLABILITY by SERVODRIVES
- PROGRAMMABLE by PLC / AXIS CONTROLS
- MANY STANDARD VERSIONS AVAILABLE

Il nuovo elemento costitutivo dell'attuatore è il MODULO BASE:

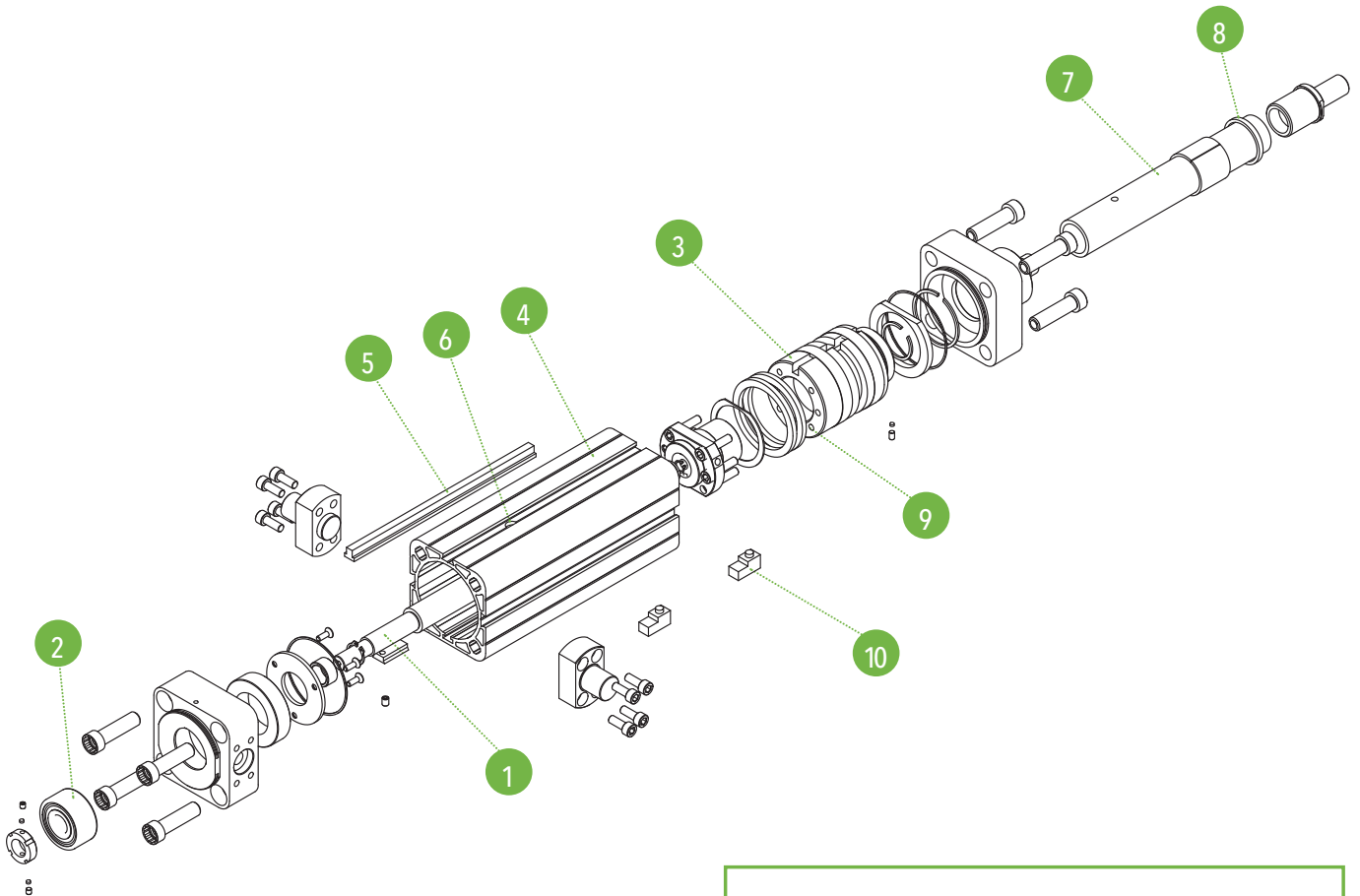
The first new element of the actuator is the BASIC MODULE:



**MODULO BASE**  
**BASIC MODULE**

I particolari costitutivi fondamentali del  
MODULO BASE sono:

BASIC MODULE main parts are as follows:



- |    |                     |                      |
|----|---------------------|----------------------|
| 1  | vite a sfere        | ballscrew            |
| 2  | cuscinetto a sfera  | ballbearing          |
| 3  | pistone             | piston               |
| 4  | camicia             | outer profile        |
| 5  | asta antirotazione  | antirotation device  |
| 6  | foro lubrificazione | lubrication hole     |
| 7  | stelo cromato       | chrome push/pull rod |
| 8  | guarnizione         | seal                 |
| 9  | magnete             | magnet               |
| 10 | sensore reed        | reed sensor          |

Per costruire, misurare e testare i nostri prodotti ci avvaliamo delle tecnologie più moderne e delle macchine ed attrezzature più sofisticate, spesso ricorrendo a soluzioni da noi progettate e costruite per avere esattamente quello che serve per garantire le migliori prestazioni:

We use the most modern technologies and the most sophisticated machines and equipments, often making them by ourselves to have exactly what is needed.

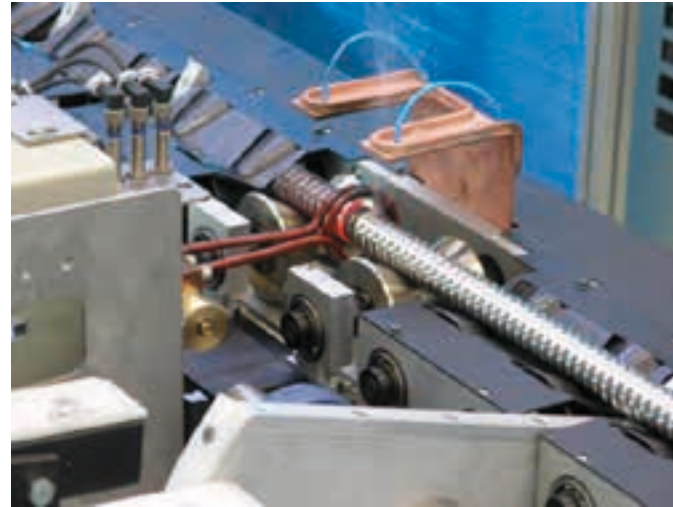
By all this we can make, measure and test all our products:



Stock semilavorati / Raw materials warehouse



Linea automatica taglio di precisione viti/cromati / Chrome tubes/screws precision cutting automated machine



Rinvenimento ad induzione terminali / Journal ends induction annealing



Raddrizzatura di precisione / Precision straightening



Lavorazione particolari su centro CNC /  
Mechanical parts machining on CNC milling machine



Lavorazione terminali viti / tubi cromati /  
Chrome tubes/screws journal ends machinings







Sala metrologica /  
Measurement room





Controllo precarico assieme vite - madrevite /  
Ball screw preload torque measurement bench



Area test / Testing area





Magazzino automatico /  
Automated warehouse

Area test / Testing area



## Campi di impiego

### Field of applications

#### MANIPOLAZIONE / HANDLING



Ribaltatore lastre in vetro / Glass panel tilter

#### SIMULATORI / SIMULATORS



Simulatore di volo / Flight simulator



## Campi di impiego

## Field of applications

### PLASTICA / PLASTICS



Macchine soffiaggio plastica / Blow moulding machines

## Campi di impiego

## Field of applications

**ALIMENTARI / BEVERAGE**

Macchina riempimento con dosatrice volumetrica / Filling machines by metering volumetric system

**LOGISTICA / LOGISTICS**Carrello elevatore automatico /  
Automated forklift truck

## Campi di impiego

## Field of applications

### SISTEMI DI TRASPORTO / MATERIAL HANDLING



Sistema di tensionamento nastro / Band tensioning system

## Campi di impiego

### Field of applications

#### IMBALLAGGIO / PACKAGING



Incartonatrice /  
Corrugated board packaging machine

#### SOLLEVAMENTO / LIFTING



Sistemi di  
sollevamento /  
Lifting equipments



## Campi di impiego

## Field of applications

### VEICOLI / MOBILE



Azionamento freno veicoli senza uomo a bordo /  
Brake driving of unmanned vehicle

### CONVERTING / CONVERTING



Macchina converting  
sistema taglia bobine /  
Converting machinery  
roller cutter system



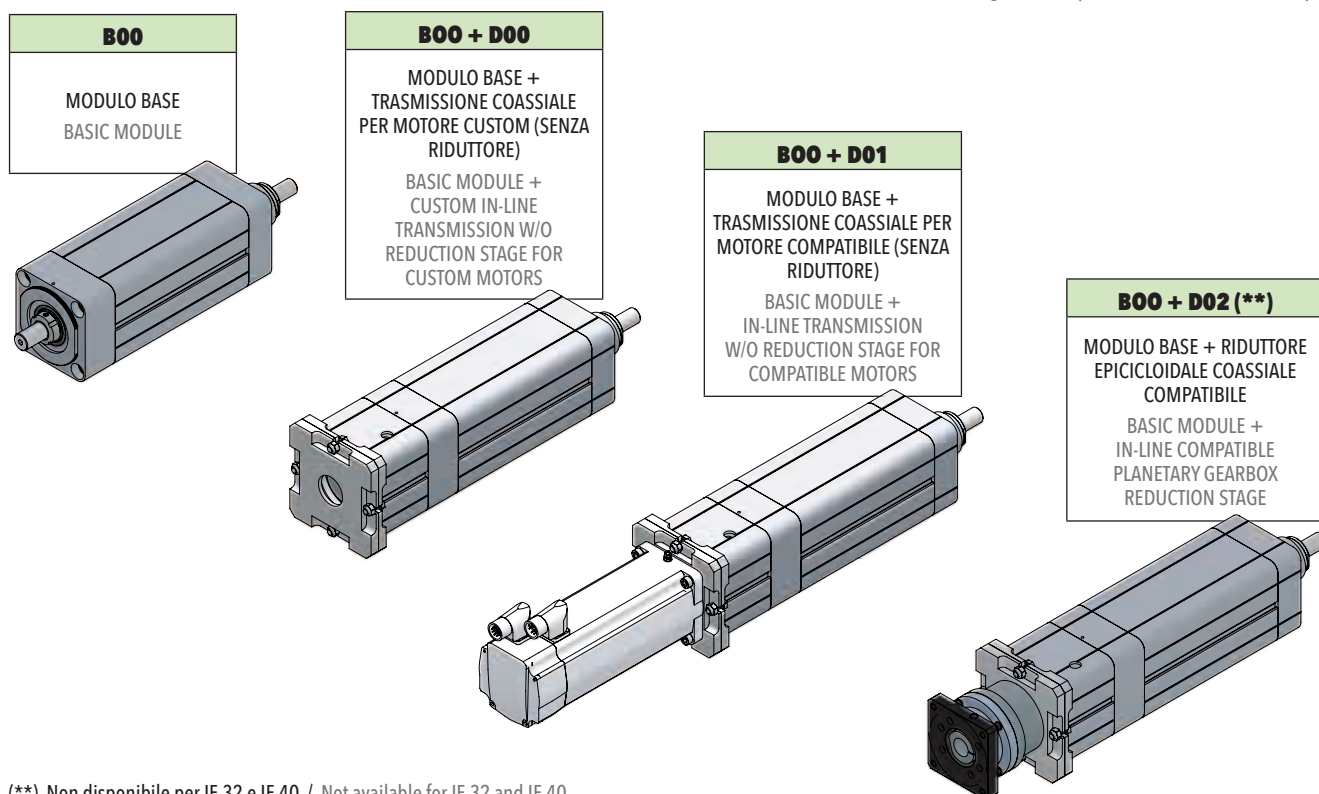
## Sinottico

## Overview

## IE 32 ÷ IE 100 XL

| GRANDEZZA / SIZES          |   |                       | IE 32 |      | IE 40 |      | IE 50 |      |      | IE 63 |      |      |
|----------------------------|---|-----------------------|-------|------|-------|------|-------|------|------|-------|------|------|
| <b>P</b>                   | PASSO VITE<br>SCREW LEAD  | [mm]                  | 4     | 12   | 4     | 12   | 5     | 10   | 16   | 5     | 10   | 20   |
| <b>F<sub>d</sub></b>       | CARICO MASSIMO DINAMICO<br>APPLICABILE<br>MAX ADMISSIBLE DYNAMIC LOAD                   | [N]                   | 3000  | 2000 | 3000  | 2000 | 4500  | 4500 | 4000 | 7500  | 7500 | 7500 |
| <b>V<sub>out,max</sub></b> | VELOCITÀ MASSIMA IN USCITA<br>MAX OUTPUT SPEED  | [mm/sec]              | 200   | 600  | 200   | 600  | 250   | 500  | 800  | 250   | 500  | 1000 |
| <b>N<sub>in,max</sub></b>  | VELOCITÀ MASSIMA<br>ROTAZIONE VITE A RICIRCOLO<br>MAX BALLSCREW ROTATING<br>INPUT SPEED | [rpm]                 | 3000  | 3000 | 3000  | 3000 | 3000  | 3000 | 3000 | 3000  | 3000 | 3000 |
| <b>S<sub>max</sub></b>     | CORSA MASSIMA STANDARD*<br>MAX STANDARD STROKE*   | [mm]                  | 500   | 500  | 500   | 500  | 700   | 700  | 700  | 800   | 800  | 800  |
| <b>a<sub>max</sub></b>     | ACCELERAZIONE MASSIMA<br>IN USCITA<br>MAX OUTPUT ACCELERATION                           | [m/sec <sup>2</sup> ] | 1     | 2    | 1     | 2    | 1     | 2    | 2,5  | 1     | 2    | 3    |

\* Per corse superiori, contattare il nostro servizio tecnico.  
For longer strokes please contact our technical dept.



(\*\*) Non disponibile per IE 32 e IE 40 / Not available for IE 32 and IE 40

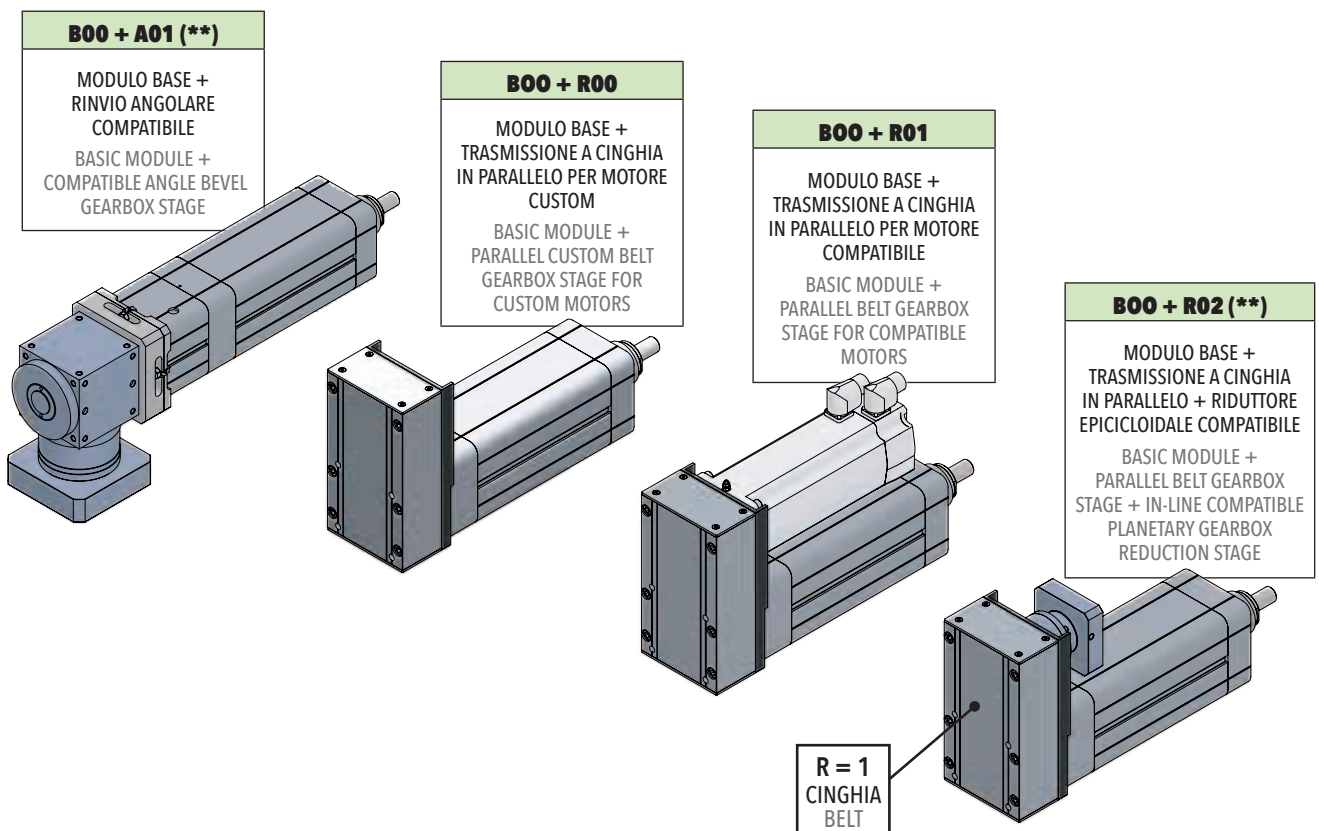
Sinottico

Overview

IE 32 ÷ IE 100 XL

| IE 80 |       |       | IE 80HL |       |       | IE 100 |       |       |       | IE 100HL        |                 |                 |                 | IE100XL |
|-------|-------|-------|---------|-------|-------|--------|-------|-------|-------|-----------------|-----------------|-----------------|-----------------|---------|
| 5     | 10    | 25    | 5       | 10    | 32    | 5      | 10    | 20    | 32    | 5               | 10              | 20              | 40              | 10      |
| 12000 | 12000 | 12000 | 21000   | 25000 | 18000 | 21000  | 25000 | 30000 | 16000 | 23000<br>23000* | 30000<br>41000* | 30000<br>40000* | 30000<br>40000* | 52000   |
| 250   | 500   | 1250  | 250     | 500   | 1600  | 250    | 500   | 1000  | 1600  | 208             | 416             | 833             | 1660            | 333     |
| 3000  | 3000  | 3000  | 3000    | 3000  | 3000  | 3000   | 3000  | 3000  | 3000  | 2496            | 2496            | 2496            | 2490            | 1998    |
| 1000  | 1000  | 1000  | 1000    | 1000  | 1000  | 1100   | 1100  | 1100  | 1100  | 1100            | 1100            | 1100            | 1100            | 1000    |
| 1     | 2     | 4     | 1       | 2     | 5     | 1      | 2     | 3     | 5     | 1               | 2               | 3               | 6               | 2       |

\* Versione con tiranti / Tension rods version



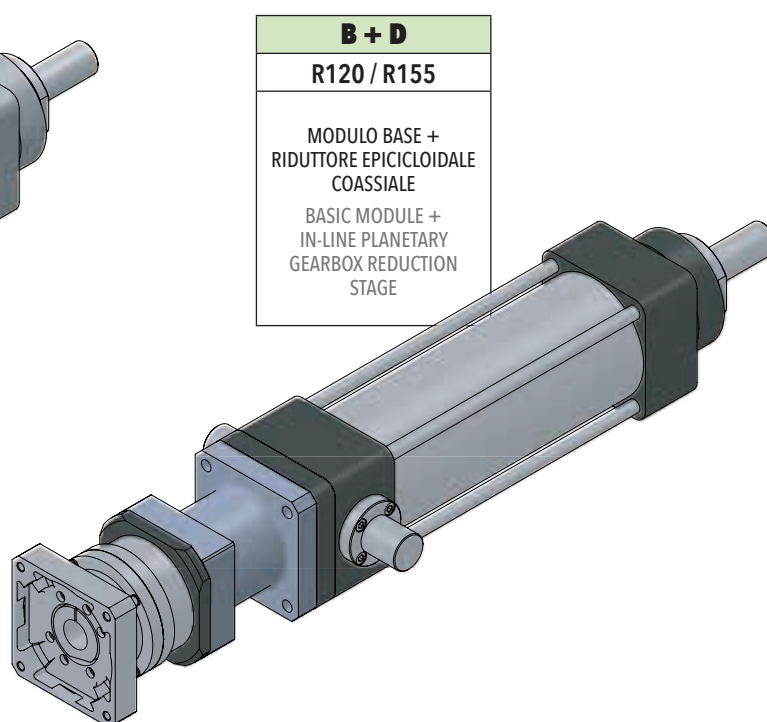
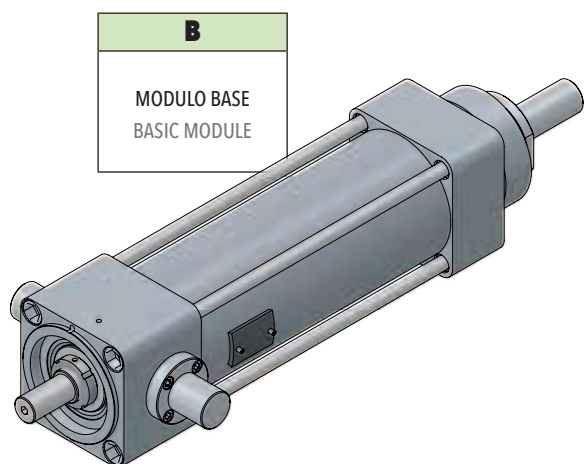
## Sinottico

## Overview

## IE 125 / IE 160

| GRANDEZZA / SIZES          |  |                       | IE 125 |       | IE 160 |        |
|----------------------------|--|-----------------------|--------|-------|--------|--------|
| <b>P</b>                   | PASSO VITE<br>SCREW LEAD   | [mm]                  | 10     | 20    | 10     | 20     |
| <b>F<sub>d</sub></b>       | CARICO MASSIMO DINAMICO APPLICABILE<br>MAX ADMISSIBLE DYNAMIC LOAD                   | [N]                   | 80000  | 80000 | 100000 | 120000 |
| <b>V<sub>out,max</sub></b> | VELOCITÀ MASSIMA IN USCITA<br>MAX OUTPUT SPEED                                       | [mm/sec]              | 265    | 667   | 208    | 417    |
| <b>N<sub>in,max</sub></b>  | VELOCITÀ MASSIMA<br>ROTAZIONE VITE A RICIRCOLO<br>MAX BALLSCREW ROTATING INPUT SPEED | [rpm]                 | 1590   | 2000  | 1248   | 1251   |
| <b>S<sub>max</sub></b>     | CORSA MASSIMA STANDARD*<br>MAX STANDARD STROKE*                                      | [mm]                  | 1200   | 1200  | 1600   | 1600   |
| <b>a<sub>max</sub></b>     | ACCELERAZIONE MASSIMA IN USCITA<br>MAX OUTPUT ACCELERATION                           | [m/sec <sup>2</sup> ] | 2      | 3     | 2      | 3      |

\* Per corse superiori, contattare il nostro servizio tecnico.  
For longer strokes please contact our technical dpt.

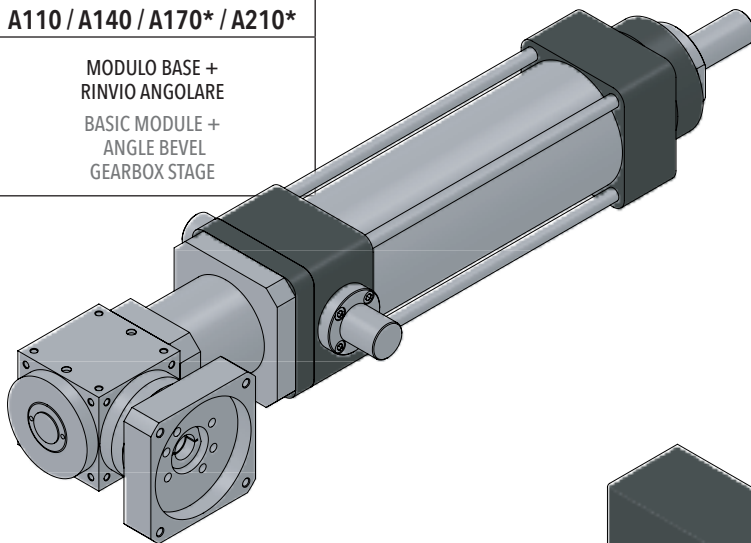


Sinottico

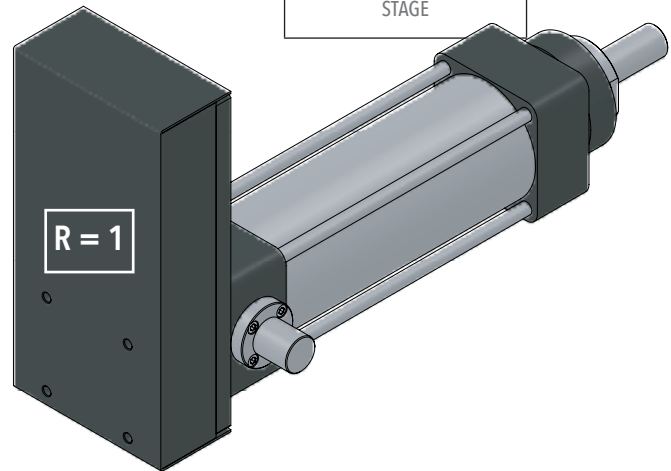
Overview

IE 125 / IE 160

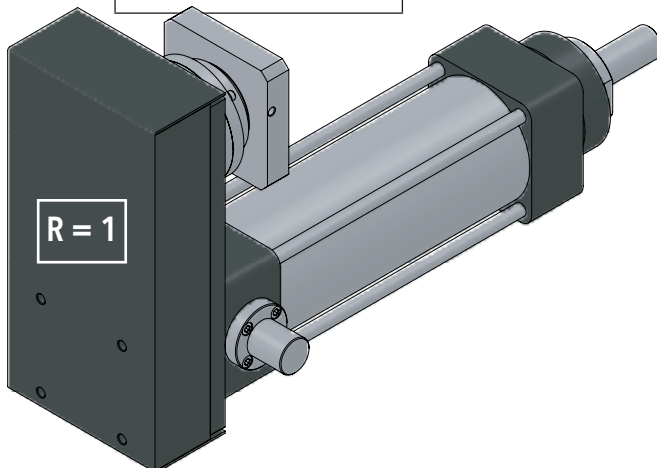
| <b>B + A</b>   |
|--|
| <b>A110 / A140 / A170* / A210*</b>   |
| MODULO BASE +<br>RINVIO ANGOLARE<br>BASIC MODULE +<br>ANGLE BEVEL<br>GEARBOX STAGE |



| <b>B + R</b>  |
|---|
| <b>R00</b>  |
| MODULO BASE +<br>TRASMISSIONE A CINGHIA<br>IN PARALLELO PER MOTORE<br>CUSTOM<br>BASIC MODULE +<br>PARALLEL FOR CUSTOM<br>MOTORS BELT GEARBOX<br>STAGE |



| <b>B + R</b>  |
|---|
| <b>R120 / R155*</b>   |
| MODULO BASE +<br>TRASMISSIONE A CINGHIA<br>IN PARALLELO + RIDUTTORE<br>EPICICLOIDALE<br>BASIC MODULE +<br>PARALLEL BELT GEARBOX STAGE<br>+ IN-LINE PLANETARY GEARBOX<br>REDUCTION STAGE |



\* Solo per IE 160 / Only for IE 160.

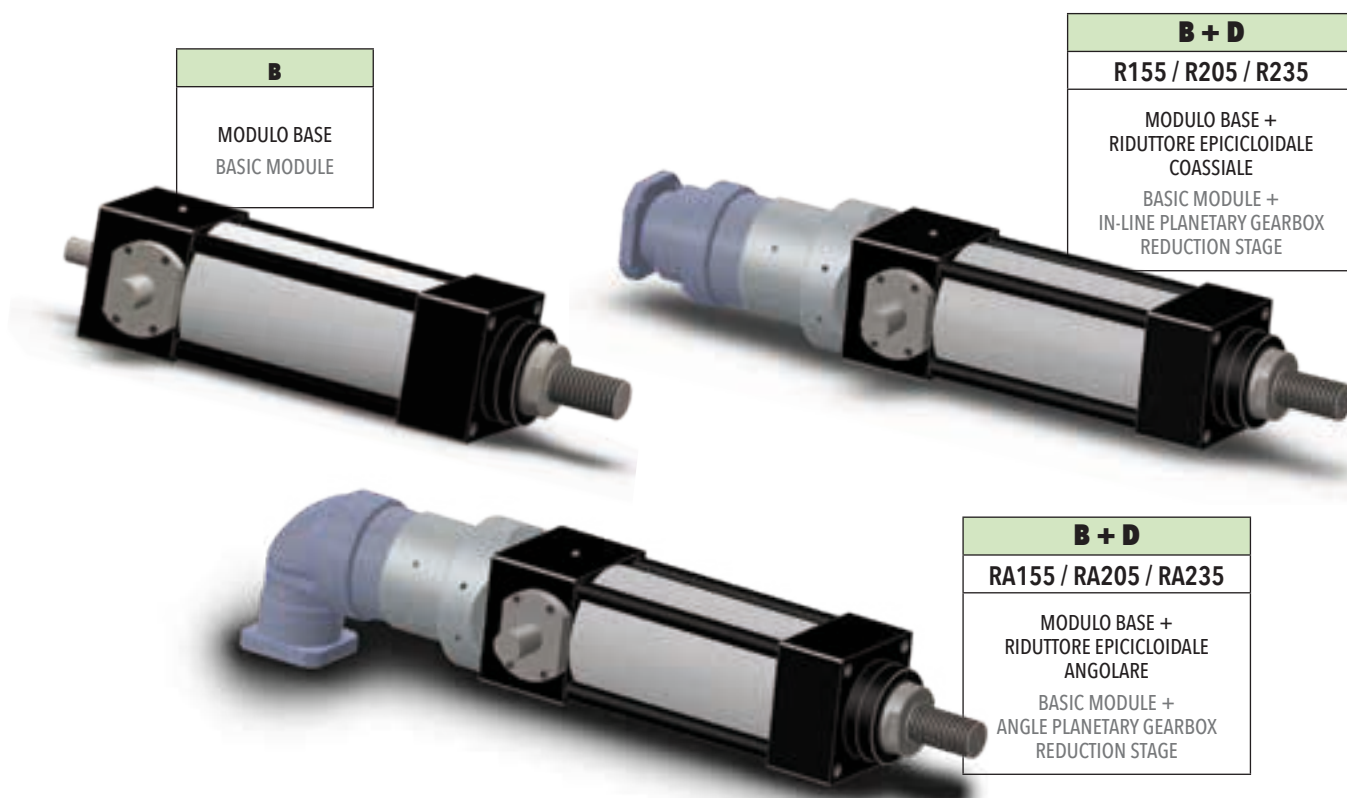
## Sinottico

## Overview

## IE 240

| GRANDEZZA / SIZES          |  |                       | IE 240 |
|----------------------------|--|-----------------------|--------|
| <b>P</b>                   | PASSO VITE<br>SCREW LEAD   | [mm]                  | 25     |
| <b>F<sub>d</sub></b>       | CARICO MASSIMO DINAMICO APPLICABILE<br>MAX ADMISSIBLE DYNAMIC LOAD                   | [N]                   | 350000 |
| <b>V<sub>out,max</sub></b> | VELOCITÀ MASSIMA IN USCITA<br>MAX OUTPUT SPEED                                       | [mm/sec]              | 417    |
| <b>N<sub>in,max</sub></b>  | VELOCITÀ MASSIMA<br>ROTAZIONE VITE A RICIRCOLO<br>MAX BALLSCREW ROTATING INPUT SPEED | [rpm]                 | 1000   |
| <b>S<sub>max</sub></b>     | CORSA MASSIMA STANDARD*<br>MAX STANDARD STROKE*                                      | [mm]                  | 1000   |
| <b>a<sub>max</sub></b>     | ACCELERAZIONE MASSIMA IN USCITA<br>MAX OUTPUT ACCELERATION                           | [m/sec <sup>2</sup> ] | 3      |

\* Per corse superiori, contattare il nostro servizio tecnico.  
For longer strokes please contact our technical dept.



## 1. Informazioni tecniche per il calcolo Technical information for calculations

|     |   |        |
|-----|---|--------|
| 1.1 | Forza assiale e velocità equivalenti / Equivalent axial force and equivalent linear speed .....   | pg. 26 |
| 1.2 | Capacità dinamica modulo base e durata statistica attuatore /<br>Basic module dynamic load rating and Isomove statistical lifetime .....        | pg. 27 |
| 1.3 | Forza reale risultante massima ammissibile in dinamica ed in statica /<br>Max admissible actual resultant force in dynamic and static use ..... | pg. 29 |
| 1.4 | Coppia in ingresso al modulo base / Torque at basic module input shaft .....  | pg. 29 |
| 1.5 | Coppia motore $C_m$ / Motor torque $C_m$ .....  | pg. 30 |
| 1.6 | Velocità lineare in uscita $V_{out}$ / Output linear speed $V_{out}$ .....  | pg. 32 |

## 2. Sigla di ordinazione Ordering identification

|     |   |        |
|-----|---|--------|
| 2.1 | Sigla di ordinazione da grandezza 32 a grandezza 100 XL /<br>32 to 100 XL Sizes Ordering identification ..... | pg. 34 |
| 2.2 | Sigla di ordinazione da grandezza 125 a grandezza 240 /<br>125 to 240 Sizes Ordering identification .....     | pg. 36 |

## 3. Grandezze da 32 a 100 XL 32 to 100 XL Sizes

|       |  |        |
|-------|--|--------|
| 3.1   | IE 32  |        |
| 3.1.1 | <i>Caratteristiche tecniche / Technical features</i> .....   | pg. 38 |
| 3.1.2 | <i>Calcolo durata / Lifetime calculation</i> .....   | pg. 38 |
| 3.1.3 | <i>Calcolo coppia in ingresso al modulo base / Torque calculation at basic module input shaft</i> .....                            | pg. 39 |
| 3.1.4 | <i>Calcolo coppia motore / Motor torque calculation</i> .....  | pg. 39 |
| 3.1.5 | <i>Potenza in ingresso alla trasmissione a cinghia (versione R) / Mechanical input power at belt<br/>gear stage (R type)</i> ..... | pg. 40 |
| 3.1.6 | <i>Caratteristiche dimensionali / Overall dimensions</i> .....   | pg. 41 |
| 3.1.7 | <i>Accessori / Accessories</i> .....   | pg. 43 |
| 3.2   | IE 40  |        |
| 3.2.1 | <i>Caratteristiche tecniche / Technical features</i> .....   | pg. 44 |
| 3.2.2 | <i>Calcolo durata / Lifetime calculation</i> .....   | pg. 44 |
| 3.2.3 | <i>Calcolo coppia in ingresso al modulo base / Torque calculation at basic module input shaft</i> .....                            | pg. 45 |
| 3.2.4 | <i>Calcolo coppia motore / Motor torque calculation</i> .....  | pg. 45 |
| 3.2.5 | <i>Potenza in ingresso alla trasmissione a cinghia (versione R) / Mechanical input power at belt<br/>gear stage (R type)</i> ..... | pg. 46 |
| 3.2.6 | <i>Caratteristiche dimensionali / Overall dimensions</i> .....   | pg. 47 |
| 3.2.7 | <i>Accessori / Accessories</i> .....   | pg. 49 |

|       |   |         |
|-------|---|---------|
| 3.3   | IE 50   |         |
| 3.3.1 | Caratteristiche tecniche / Technical features   | pg. 50  |
| 3.3.2 | Calcolo durata / Lifetime calculation   | pg. 52  |
| 3.3.3 | Calcolo coppia in ingresso al modulo base / Torque calculation at basic module input shaft                        | pg. 52  |
| 3.3.4 | Calcolo coppia motore / Motor torque calculation  | pg. 53  |
| 3.3.5 | Potenza in ingresso alla trasmissione a cinghia (versione R) / Mechanical input power at belt gear stage (R type) | pg. 54  |
| 3.3.6 | Caratteristiche dimensionali / Overall dimensions   | pg. 56  |
| 3.3.7 | Accessori / Accessories   | pg. 61  |
| 3.4   | IE 63   |         |
| 3.4.1 | Caratteristiche tecniche / Technical features   | pg. 62  |
| 3.4.2 | Calcolo durata / Lifetime calculation   | pg. 64  |
| 3.4.3 | Calcolo coppia in ingresso al modulo base / Torque calculation at basic module input shaft                        | pg. 64  |
| 3.4.4 | Calcolo coppia motore / Motor torque calculation  | pg. 65  |
| 3.4.5 | Potenza in ingresso alla trasmissione a cinghia (versione R) / Mechanical input power at belt gear stage (R type) | pg. 66  |
| 3.4.6 | Caratteristiche dimensionali / Overall dimensions   | pg. 68  |
| 3.4.7 | Accessori / Accessories   | pg. 73  |
| 3.5   | IE 80   |         |
| 3.5.1 | Caratteristiche tecniche / Technical features   | pg. 74  |
| 3.5.2 | Calcolo durata / Lifetime calculation   | pg. 76  |
| 3.5.3 | Calcolo coppia in ingresso al modulo base / Torque calculation at basic module input shaft                        | pg. 76  |
| 3.5.4 | Calcolo coppia motore / Motor torque calculation  | pg. 77  |
| 3.5.5 | Potenza in ingresso alla trasmissione a cinghia (versione R) / Mechanical input power at belt gear stage (R type) | pg. 78  |
| 3.5.6 | Caratteristiche dimensionali / Overall dimensions   | pg. 80  |
| 3.5.7 | Accessori / Accessories   | pg. 85  |
| 3.6   | IE 80 HL  |         |
| 3.6.1 | Caratteristiche tecniche / Technical features   | pg. 86  |
| 3.6.2 | Calcolo durata / Lifetime calculation   | pg. 88  |
| 3.6.3 | Calcolo coppia in ingresso al modulo base / Torque calculation at basic module input shaft                        | pg. 88  |
| 3.6.4 | Calcolo coppia motore / Motor torque calculation  | pg. 89  |
| 3.6.5 | Potenza in ingresso alla trasmissione a cinghia (versione R) / Mechanical input power at belt gear stage (R type) | pg. 90  |
| 3.6.6 | Caratteristiche dimensionali / Overall dimensions   | pg. 92  |
| 3.6.7 | Accessori / Accessories   | pg. 97  |
| 3.7   | IE 100  |         |
| 3.7.1 | Caratteristiche tecniche / Technical features   | pg. 98  |
| 3.7.2 | Calcolo durata / Lifetime calculation   | pg. 100 |
| 3.7.3 | Calcolo coppia in ingresso al modulo base / Torque calculation at basic module input shaft                        | pg. 100 |
| 3.7.4 | Calcolo coppia motore / Motor torque calculation  | pg. 101 |
| 3.7.5 | Potenza in ingresso alla trasmissione a cinghia (versione R) / Mechanical input power at belt gear stage (R type) | pg. 102 |
| 3.7.6 | Caratteristiche dimensionali / Overall dimensions   | pg. 104 |
| 3.7.7 | Accessori / Accessories   | pg. 109 |



|  |  |
|--|--|
| <b>3.8IE 100 HL</b>  |  |
| 3.8.1  | <i>Caratteristiche tecniche / Technical features</i> ..... pg. 110   |
| 3.8.2  | <i>Calcolo durata / Lifetime calculation</i> ..... pg. 114   |
| 3.8.3  | <i>Calcolo coppia in ingresso al modulo base / Torque calculation at basic module input shaft</i> ..... pg. 114                        |
| 3.8.4  | <i>Calcolo coppia motore / Motor torque calculation</i> ..... pg. 115  |
| 3.8.5  | <i>Potenza in ingresso alla trasmissione a cinghia (versione R) / Mechanical input power at belt gear stage (R type)</i> ..... pg. 116 |
| 3.8.6  | <i>Caratteristiche dimensionali / Overall dimensions</i> ..... pg. 118   |
| 3.8.7  | <i>Accessori / Accessories</i> ..... pg. 123   |
| <b>3.9IE 100 XL</b>  |  |
| 3.9.1  | <i>Caratteristiche tecniche / Technical features</i> ..... pg. 124   |
| 3.9.2  | <i>Calcolo durata / Lifetime calculation</i> ..... pg. 126   |
| 3.9.3  | <i>Calcolo coppia in ingresso al modulo base / Torque calculation at basic module input shaft</i> ..... pg. 126                        |
| 3.9.4  | <i>Calcolo coppia motore / Motor torque calculation</i> ..... pg. 127  |
| 3.9.5  | <i>Potenza in ingresso alla trasmissione a cinghia (versione R) / Mechanical input power at belt gear stage (R type)</i> ..... pg. 128 |
| 3.9.6  | <i>Caratteristiche dimensionali / Overall dimensions</i> ..... pg. 130   |
| 3.9.7  | <i>Accessori / Accessories</i> ..... pg. 135   |
| <b>3.10 ACCESSORI DA IE 32 A IE 100 XL / ACCESSORIES FROM IE 32 TO IE 100 XL SIZES</b> |  |
| 3.10.1   | <i>FS: Forcella Stelo / Rod Fork</i> pg. 136   |
| 3.10.2   | <i>SS: Snodo Sferico / Swivel Joint</i> ..... pg. 137  |
| 3.10.3   | <i>FV: Flangia Frontale / Front Flange</i> ..... pg. 138   |
| 3.10.4   | <i>PV: Piedino Verticale / Angle Foot</i> ..... pg. 139  |
| 3.10.5   | <i>CF: Cerniera Femmina / Rear Female Clevis with Pin</i> ..... pg. 140  |
| 3.10.6   | <i>KO: Controcerniera Orizzontale / Square Horizontal Counterclevis</i> ..... pg. 141  |
| 3.10.7   | <i>KM: Controcerniera Maschio / Male Clevis</i> ..... pg. 142  |
| 3.10.8   | <i>KS: Controcerniera Sferica / Male Clevis with Spherical Knuckle</i> ..... pg. 143   |
| 3.10.9   | <i>PE: Perni Oscillanti / Pivoting Pins</i> ..... pg. 144  |
| <b>3.11 UNITÀ DI GUIDA / GUIDING UNIT</b>  |  |
| 3.11.1   | <i>Tipo "H" / "H" type</i> ..... pg. 145   |
| 3.11.2   | <i>Tipo "U" / "U" type</i> ..... pg. 146   |
| 3.11.3   | <i>Codice di ordinazione / Designation code</i> ..... pg. 146  |

## 4.

### 4.1. Categorie Motori / Riduttori / Rinvii angolari compatibili (32÷100XL) Compatible Motors / Planetary gearboxes / Angle bevel gearboxes categories (32 ÷ 100XL Sizes)

|     |  |
|-----|--|
| 4.1 | <b>MOTORI / MOTORS</b> ..... pg. 148                         |
| 4.2 | <b>RIDUTTORI / PLANETARY GEARBOXES</b> ..... pg. 149         |
| 4.3 | <b>RINVII ANGOLARI / ANGLE BEVEL GEARBOXES</b> ..... pg. 150 |

## 5. Grandezze 125 / 160 / 240 125 / 160 / 240 Sizes

### 5.1 IE 125

|       |   |         |
|-------|---|---------|
| 5.1.1 | Caratteristiche tecniche / Technical features .....   | pg. 152 |
| 5.1.2 | Calcolo durata / Lifetime calculation.....  | pg. 154 |
| 5.1.3 | Calcolo coppia in ingresso al modulo base / Torque calculation at basic module input shaft.....                         | pg. 154 |
| 5.1.4 | Calcolo coppia motore / Motor torque calculation .....  | pg. 155 |
| 5.1.5 | Potenza in ingresso alla trasmissione a cinghia (versione R) / Mechanical input power at belt gear stage (R type) ..... | pg. 156 |
| 5.1.6 | Caratteristiche dimensionali / Overall dimensions .....   | pg. 157 |

### 5.2 IE 160

|       |   |         |
|-------|---|---------|
| 5.2.1 | Caratteristiche tecniche / Technical features .....   | pg. 162 |
| 5.2.2 | Calcolo durata / Lifetime calculation.....  | pg. 164 |
| 5.2.3 | Calcolo coppia in ingresso al modulo base / Torque calculation at basic module input shaft.....                         | pg. 164 |
| 5.2.4 | Calcolo coppia motore / Motor torque calculation .....  | pg. 165 |
| 5.2.5 | Potenza in ingresso alla trasmissione a cinghia (versione R) / Mechanical input power at belt gear stage (R type) ..... | pg. 166 |
| 5.2.6 | Caratteristiche dimensionali / Overall dimensions .....   | pg. 168 |

### 5.3 IE 240

|       |   |         |
|-------|---|---------|
| 5.3.1 | Caratteristiche tecniche / Technical features .....   | pg. 174 |
| 5.3.2 | Calcolo durata / Lifetime calculation.....  | pg. 175 |
| 5.3.3 | Calcolo coppia in ingresso al modulo base / Torque calculation at basic module input shaft..... | pg. 175 |
| 5.3.4 | Calcolo coppia motore / Motor torque calculation .....  | pg. 176 |
| 5.3.5 | Caratteristiche dimensionali / Overall dimensions .....   | pg. 177 |

## 6. Schede tecniche Riduttori / Rinvii angolari Planetary gearboxes / Angle bevel gearboxes datasheets

|     |   |         |
|-----|---|---------|
| 6.1 | SCHEDA TECNICA RIDUTTORI / PLANETARY GEARBOXES DATASHEETS .....         | pg. 182 |
| 6.2 | SCHEDA TECNICA RINVII ANGOLARI / ANGLE BEVEL GEARBOXES DATASHEETS ..... | pg. 184 |

## 7. Note tecniche generali General technical information

|     |   |         |
|-----|---|---------|
| 7.1 | EXTRACORSA (CORSA DI SICUREZZA) / EXTRA-STROKE (SAFETY STROKE) .....  | pg. 186 |
| 7.2 | MONTAGGIO CON ATTUATORE BASCULANTE / INSTALLATION WITH TILTING ACTUATOR .....   | pg. 186 |
| 7.3 | GRADO PROTEZIONE IP / IP PROTECTION RATE .....  | pg. 187 |
| 7.4 | LUBRIFICAZIONE / LUBRICATION .....  | pg. 187 |
| 7.5 | POSIZIONE DI MONTAGGIO / MOUNTING POSITION .....  | pg. 187 |
| 7.6 | REVERSIBILITÀ / REVERSIBILITY .....   | pg. 187 |
| 7.7 | CAPACITÀ DI FATTORE DI SERVIZIO / DUTY CYCLE RATING .....   | pg. 188 |
| 7.8 | COLLEGAMENTO RIDUTTORE/RIVIO A MODULO BASE / TORQUE TRANSMISSION ELEMENT BETWEEN PLANETARY / ANGLE BEVEL GEARBOX AND BASIC MODULE ..... | pg. 188 |

1.

## Informazioni tecniche per il calcolo

Technical information  
for calculations

## 1.1

Forza assiale e velocità equivalenti  
Equivalent axial force and equivalent linear speed

**L'attuatore ISOMOVE è progettato e costruito per essere sollecitato solo ed esclusivamente da forze esterne assiali (dirette lungo il suo asse longitudinale).**

Qualunque forza esterna radiale (ortogonale all'asse dell'attuatore) è vietata e compromette il corretto funzionamento dello stesso. In questo caso decade ogni forma di garanzia.

Nel seguito quando parleremo di forza in generale intenderemo un carico puramente assiale.

Per effettuare la scelta corretta dell'attuatore si deve determinare la massima forza esterna reale risultante agente  $F_{a,max}$ .

**Essa è la somma vettoriale di tutte le forze esterne agenti (forza di lavoro, forza di attrito, forza inerziale, forza peso, forze altre varie) nella condizione di lavoro più gravosa.**

Tale condizione, così come i valori massimi di ciascun tipo di forza, deve esserci comunicata dal cliente.

Nella realtà applicativa le forze hanno un andamento nel tempo (grafico di forza) variabile e di conseguenza la forza esterna reale risultante  $F_a$  ha anch'essa un andamento variabile nel tempo:

$$F_a = f(t)$$

Per calcolare la durata statistica dell'attuatore, determinata dai suoi elementi volventi (cuscinetti e vite a ricircolo), dobbiamo calcolare la forza esterna media equivalente  $F_{eq}$  dal grafico di forza esterna reale risultante ed ancor prima la velocità lineare media equivalente  $V_{eq}$  dal profilo di moto reale del ciclo considerato.

Essi sono i valori equivalenti ai reali, ai fini del calcolo di durata statistica dell'attuatore, con probabilità pari al 90%. Essi sono definiti nel modo seguente:

**ISOMOVE actuator has been conceived and is built to be loaded by purely external axial forces (i.e. whose axis is exactly actuator's axis).**

Any external radial force (orthogonal to the actuator's axis) is not allowed because it jeopardizes its proper working. In this case there is no warranty on the product.

In the next pages we will generally write force meaning that it is a purely axial force.

To make actuator's proper choice you must first determine the max external actual resultant force acting on the actuator  $F_{a,max}$ .

**It is the vectorial sum of all external acting forces (working force, friction force, inertial force, weight force and all other possible forces) in the worst possible condition.**

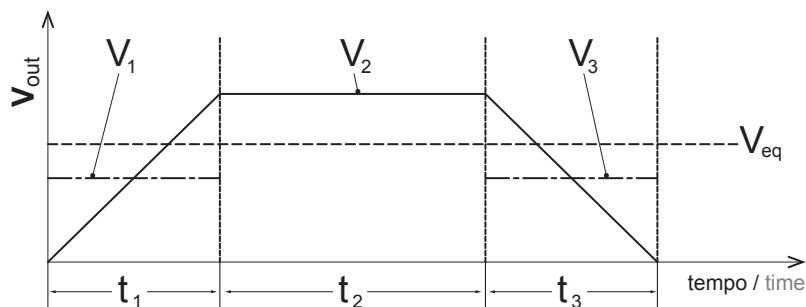
This specific condition, as well as all the max values of each kind of force, must be communicated to SETEC GROUP in a clear way by the Customer/User.

In real applications forces vary during time (force graph) thus also the resultant external actual force  $F_a$  vary during time:

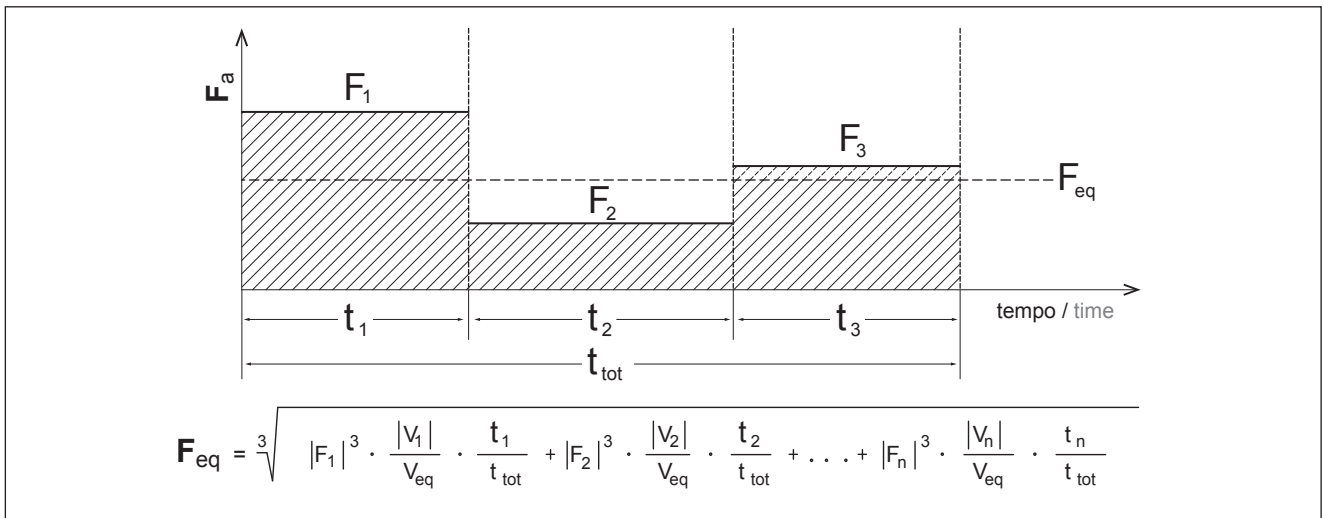
$$F_a = f(t)$$

To calculate the statistical lifetime of the actuator at 90% probability, which depends on its rolling elements (bearings and ballscrews) we must first determine 2 equivalent values of the actual force  $F_a$  and of the actual output linear speed  $V_{out}$ :  $F_{eq}$  and  $V_{eq}$ .

They are calculated with the following formulas:



$$V_{eq} = \frac{1}{t_{tot}} \cdot \left( |V_1| \cdot t_1 + |V_2| \cdot t_2 + \dots + |V_n| \cdot t_n \right)$$



Nel tratto lineare crescente/decescente il valore medio è la media aritmetica del valore minimo e massimo.

In the linear increasing/decreasing values (force or speed) the mean value is the arithmetical mean between the minimum and the maximum value of the line section considered.

## 1.2 Capacità dinamica modulo base e durata statistica attuatore Basic module dynamic load rating and Isomove statistical lifetime

Il parametro costruttivo del modulo base che caratterizza la durata statistica con probabilità al 90% dell'attuatore completo (modulo base + trasmissione eventuale) è la

CAPACITÀ DI CARICO DINAMICO **C<sub>am</sub>**

Esso è il valore di forza equivalente **F<sub>eq</sub>**, costante nel tempo, agente sull'attuatore, che determina una durata statistica pari ad 1 MILIONE DI GIRI della vite e dei supporti. Nel catalogo, in seguito, nelle sezioni relative a ciascuna grandezza, riportiamo nelle formule di durata il valore di questo parametro per ciascuna versione di modulo base. Esso è il valore numerico minore tra supporti e vite a sfere, quindi il più cautelativo.

La DURATA STATISTICA al 90% di PROBABILITÀ è calcolata nel modo seguente:

$$L_{10} = \left[ \frac{C_{am}}{F_{eq}} \right]^3 \cdot 10^6$$

The characteristic constructive figure which determines the 90% probability lifetime of the complete actuator (basic module + transmission stage) is the

DYNAMIC LOAD RATING **C<sub>am</sub>**

It is the equivalent force **F<sub>eq</sub>** value, constant in time, acting on the actuator and determining a statistical lifetime of 1 MILLION TURNS of its rolling elements.

In the following sections dedicated to each single actuator size we indicate in the lifetime formulas this value for each specific type.

Of course it is the minimum value between bearings and ballscrews, thus a conservative one.

90% PROBABILITY LIFETIME is calculated as follows:

[milioni di giri]

Che espressa in corsa dell'asta traslante diventa:

In terms of stroke:

$$L_{10,Km} = \left[ \frac{C_{am}}{F_{eq}} \right]^3 \cdot P$$

[Km]

P = passo vite / ballscrew pitch

[mm]

I valori ricavati dalle formule precedenti sono puramente indicativi e sono validi nelle seguenti condizioni di esercizio:

- assenza di urti e vibrazioni
- lubrificazione dell'attuatore secondo ns. indicazioni
- montaggio con allineamenti di precisione
- assenza di carichi radiali
- temperatura ambiente compresa tra i -20°C e +70°C
- assenza di aggressivi chimici e di grandi depositi di polveri sull'attuatore
- funzionamento sempre per una corsa minima di lubrificazione adeguata

**Esso rimane un valore statistico, ossia vero per il 90% di una quantità statisticamente rilevante di attuatori tutti uguali operanti in condizioni identiche; utile per avere un ordine di grandezza. Non può essere considerato un valore impegnativo e vincolante per il GRUPPO SETEC.**

NOTA: quanto sopra è valido solo ed esclusivamente nel caso gli elementi di trasmissione siano gli "STANDARD SETEC GROUP DISPONIBILI" contenuti in questo catalogo. Qualora la trasmissione fosse a cura e carico del cliente quanto sopra non è più vero.

Al fine di facilitare il calcolo, nei paragrafi relativi ad ogni grandezza e versione sono riportate le formule specifiche della durata  $L_{10,Km}$  dove inserire il solo valore  $F_{eq}$ :

Results of those above formulas are valid only if the actuator is used in the following operating conditions:

- no shocks and no vibrations
- respect of lubrication rules
- installation of the actuator with proper alignment tolerances
- no radial loads
- environmental temperature between -20° and + 70°C
- nor chemical products on/into the actuator neither big dust deposit on it
- always working with the minimum lubrication stroke

**Lifetime value result is anyway a statistical value, thus true at 90% probability, for a relevant batch of all-the-same actuators operating in identical conditions. It is the of use only to have an idea of quantity and not an exact value. Thus it cannot be binding for SETEC GROUP.**

TO BE NOTICED: all what above written is valid only in case the many available transmission stages are exactly the "AVAILABLE STANDARD SETEC GROUP" ones included in this catalogues. If Customer/User wants to use a something different from that all what above indicated will not be true anymore.

To make calculation easier, in each actuator size paragraph you can find the adapted specific formulas for  $L_{10,Km}$  calculation, where you just put in the  $F_{eq}$  value:

ESEMPIO:

EXAMPLE:

| CALCOLO<br>CALCULATION           | $L_{10,Km}$   | [Km]           |
|----------------------------------|---|----------------|
| <b>IE 32</b><br><b>P = 4 mm</b>  | $L_{10,Km} = \left[ \frac{3370}{F_{eq}} \right]^3 \cdot 4$  | $F_{eq} = [N]$ |
| <b>IE 32</b><br><b>P = 12 mm</b> | $L_{10,Km} = \left[ \frac{2200}{F_{eq}} \right]^3 \cdot 12$ | $F_{eq} = [N]$ |

## 1.3 Forza reale risultante massima ammissibile in dinamica ed in statica Max admissible actual resultant force in dynamic and static use

Ciascuna grandezza e versione di attuatore è caratterizzata da 2 valori di forza da non superare mai:

Each actuator type has 2 characteristic force values never to exceed:

### ATTUATORE IN MOVIMENTO

$F_d$  = carico massimo dinamico applicabile.

È il valore di forza reale risultante massimo applicabile in movimento, ovvero in condizioni dinamiche.

### ACTUATOR DURING MOTION

$F_d$  = max admissible dynamic load.

It is the max admissible load that can act on the actuator during motion.

$$F_{a,max} \leq F_d$$

### ATTUATORE FERMO

$F_{st}$  = carico massimo statico applicabile

È il valore di forza reale risultante massimo applicabile in assenza di movimento, ovvero in condizioni statiche.

### IDLE ACTUATOR

$F_{st}$  = max admissible static load

It is the max admissible load that can act on the actuator without motion.

$$F_{a,max} \leq F_{st}$$

## 1.4 Coppia in ingresso al modulo base Torque at basic module input shaft

La coppia in ingresso al MODULO BASE  $C_{in}$  viene convertita in forza assiale in uscita  $F_a$  all'asta traslante dello stesso.

Essa è legata alla forza assiale in uscita dalla seguente relazione generale:

Input torque at BASIC MODULE shaft  $C_{in}$  is converted in output axial force  $F_a$  at its rod.

Formula linking those two figures is as follows:

$$C_{in} = \left[ \frac{F_a \cdot P}{5652} \right]$$

$P$  = passo vite / ballscrew pitch [mm]  
 $F_a$  = forza esterna reale risultante (forza da erogare) / external actual resultant force (to deliver) [N]

Per il modulo base standard si considera un rendimento meccanico pari a 0,90.

Basic module's MECHANICAL EFFICIENCY is 0,90.

Nelle tabelle relative ad ogni grandezza e versione è riportato il valore di coppia massima in ingresso al modulo base  $C_{in,max}$ , ovvero il massimo valore di coppia fornibile al modulo base, da non superare mai, corrispondente al valore che genera una forza pari al carico massimo dinamico applicabile  $F_d$ .

In each type's datasheet you will find the max admissible value of input torque at basic module shaft, never to exceed,  $C_{in,max}$ .

This torque value generates  $F_a = F_d$ .

Al fine di facilitare il calcolo, nei paragrafi relativi ad ogni grandezza e versione sono riportate le formule specifiche per calcolare la coppia in ingresso al modulo base  $C_{in}$ , inserendo il valore di  $F_a$ :

To make calculations easier in each model paragraph you will find the formula to get  $C_{in}$ , given a value of  $F_a$ :

ESEMPIO:

EXAMPLE:

| CALCOLO<br>CALCULATION              | $C_{in}$  | [Nm]               |
|-------------------------------------|---|--------------------|
| <b>IE 32</b><br>$P = 4 \text{ mm}$  | $C_{in} = \left[ \frac{F_a \cdot 4}{5652} \right]$  | $F_a = [\text{N}]$ |
| <b>IE 32</b><br>$P = 12 \text{ mm}$ | $C_{in} = \left[ \frac{F_a \cdot 12}{5652} \right]$ | $F_a = [\text{N}]$ |

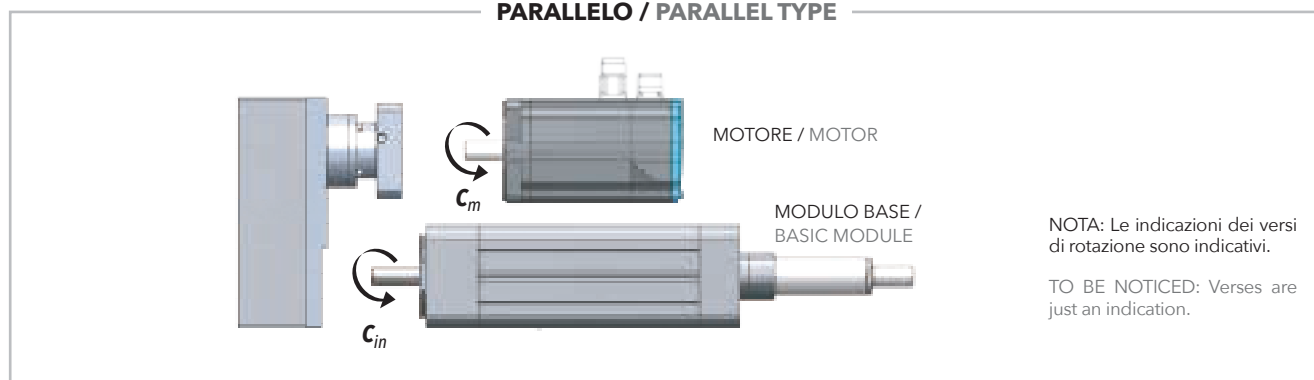
## 1.5

### Coppia motore $C_m$ Motor torque $C_m$

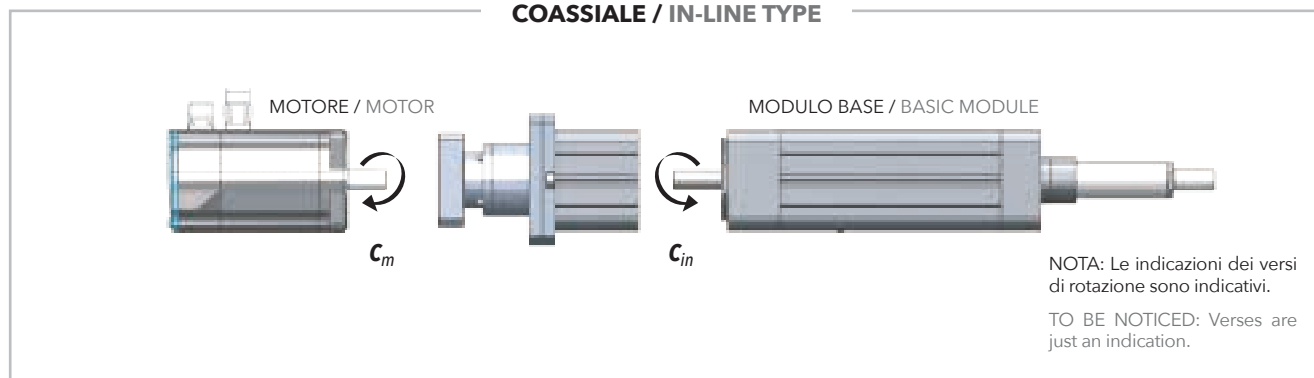
È la coppia che deve erogare il motore all'ingresso all'attuatore, ovvero in ingresso alla trasmissione dell'Isomove per erogare la forza  $F_a$  necessaria.

It is the torque the motor has to provide to the actuator, i.e. at the trasmission stage input, to deliver the requested  $F_a$ .

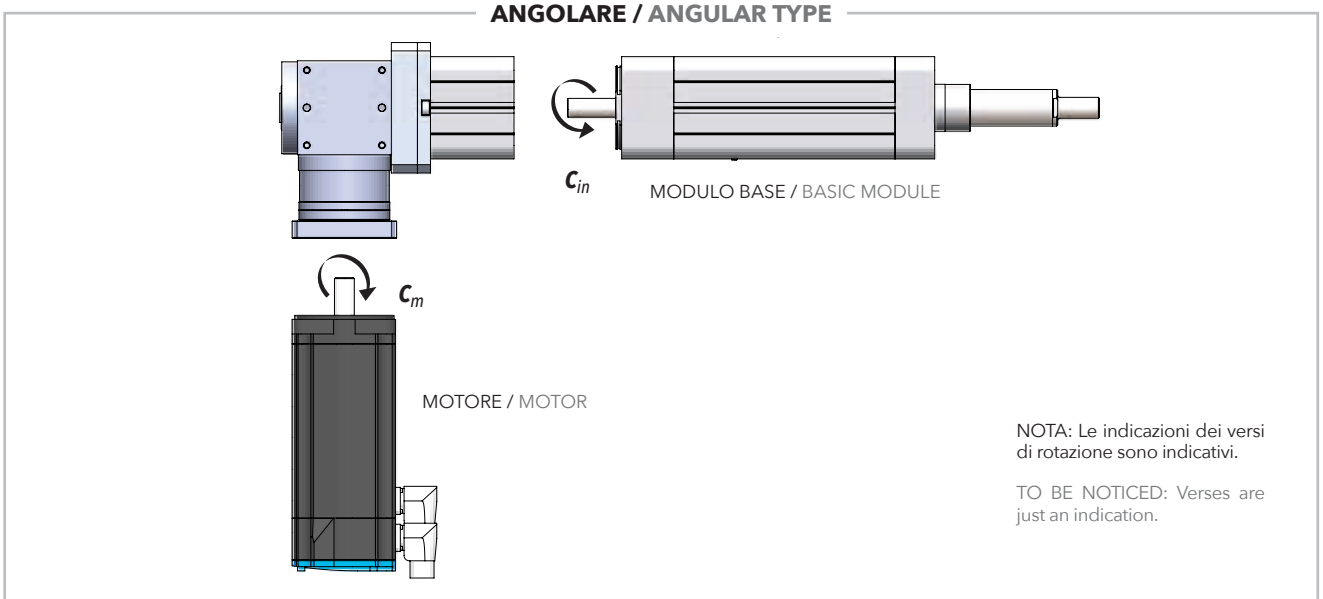
#### PARALLELO / PARALLEL TYPE



#### COASSIALE / IN-LINE TYPE







NOTA: Le formule seguenti non tengono in conto le inerzie proprie dell'attuatore, quindi i valori ottenuti saranno inferiori ai reali. Per un calcolo che le includa contattare il nostro ufficio tecnico.

REMARK: The following formulas do not take into account the inertias of the actuator, thus the calculated values are lower than actual ones. To get the actual values please take contact with our technical dept.

A seconda del tipo di trasmissione essa è definita nel modo seguente:

According to the types the motor torque is defined as follows:

**CASO 1 / CASE 1**

| <b>ISOMOVE B00 + D00 / D01</b>   |  |
|--|--|
| <p><b>MODULO BASE / MODULO BASE + TRASMISSIONE COASSIALE SENZA RIDUZIONE</b></p> <p>In questo caso la coppia motore coincide con la coppia in ingresso al modulo base:</p> | <p><b>BASIC MODULE / BASIC MODULE + IN-LINE TRANSMISSION W/O REDUCTION STAGE</b></p> <p>In this case the motor torque is the input torque at basic module shaft:</p> |
| $C_m = C_{in}$   | <p>[Nm]</p>  |

**CASO 2 / CASE 2**

| <b>ISOMOVE B00 + D02 / A01</b>   |  |
|--|--|
| <p><b>MODULO BASE + RIDUTTORE EPICICLOIDALE COASSIALE / MODULO BASE + RINVIO ANGOLARE</b></p> <p>In questo caso la coppia motore è legata alla coppia in ingresso al modulo base dalla relazione seguente:</p> | <p><b>BASIC MODULE + IN-LINE PLANETARY GEARBOX / BASIC MODULE + ANGLE BEVEL GEARBOX STAGE</b></p> <p>In this case the motor torque is related to the input torque at basic module shaft as follows:</p>  |
| $C_m = \left[ \frac{C_{in}}{R \cdot \eta} \right] + C_s$   | <p><math>R</math> = rapporto di riduzione riduttore/rinvio angolare / planetary/angle bevel gearbox reduction ratio</p> <p><math>\eta</math> = rendimento meccanico del riduttore/rinvio / planetary/angle bevel gearbox mechanical efficiency = 0,90</p> <p><math>C_s</math> = coppia a vuoto assorbita dal riduttore/rinvio / planetary/angle bevel gearbox idle torque [Nm]</p> |

## CASO 3 / CASE 3

## ISOMOVE B00 + R00 / R01

## MODULO BASE + TRASMISSIONE A CINGHIA IN PARALLELO

In questo caso la coppia motore è legata alla coppia in ingresso al modulo base dalla relazione seguente:

$$C_m = \left[ \frac{C_{in}}{R \cdot \eta} \right] \quad [\text{Nm}]$$

## BASIC MODULE + PARALLEL BELT GEARBOX STAGE

In this case the motor torque is related to the input torque at basic module shaft as follows:

- $R$  = rapporto di riduzione trasmissione a cinghia, disponibili R=1 oppure R=2 / belt gearbox reduction ratio, available R=1 or R=2
- $\eta$  = rendimento meccanico trasmissione a cinghia = 0,90 / belt gear stage mechanical efficiency

## CASO 4 / CASE 4

## ISOMOVE B00 + R02

## MODULO BASE + TRASMISSIONE A CINGHIA IN PARALLELO R=1 + RIDUTTORE

In questo caso la coppia motore è legata alla coppia in ingresso al modulo base dalla relazione seguente:

$$C_m = \left[ \frac{C_{in}}{R \cdot \eta} \right] + C_s \quad [\text{Nm}]$$

## BASIC MODULE + PARALLEL BELT GEARBOX STAGE R=1 + IN-LINE PLANETARY GEARBOX REDUCTION STAGE

In this case the motor torque is related to the input torque at basic module shaft as follows:

- $R$  = rapporto di riduzione riduttore / planetary gearbox reduction ratio
- $\eta$  = rendimento meccanico totale (cinghia + epicicloidale) / (planetary gearbox + belt gear) total mechanical efficiency = 0,81
- $C_s$  = coppia a vuoto assorbita dal riduttore / planetary gearbox idle torque

Nelle tabelle relative ad ogni grandezza e versione è riportato il valore di coppia massima motore in ingresso all'attuatore  $C_{m,max}$ , ovvero il massimo valore di coppia fornibile all'attuatore dal motore, da non superare mai, corrispondente al valore che genera una forza pari al carico massimo dinamico applicabile  $C_d$ .

In each type datasheet you will find the max admissible value of motor torque  $C_{m,max}$  at actuator's input.

Never exceed it.  
 $C_{m,max}$  generates  $C_d$ .

## 1.6

Velocità lineare in uscita  $V_{out}$   
Output linear speed  $V_{out}$ 

La velocità assiale dell'asta traslante dell'attuatore  $V_{out}$  è legata alla velocità angolare di ingresso all'attuatore  $N_{out}$  dalla seguente relazione:

$$V_{out} = \left[ \frac{N_{mot} \cdot P}{60 \cdot R} \right] \quad [\text{mm/s}]$$

Actuator's rod output linear speed  $V_{out}$  is related to input motor speed  $N_{out}$  as follows:

- $P$  = passo vite / ballscrew pitch [mm]
- $N_{mot}$  = velocità angolare del motore (in ingresso all'attuatore) / rotational motor speed (at actuator's input) [rpm]
- $R$  = rapporto di riduzione tra motore e modulo base (è il rapporto di riduzione dello stadio di riduzione dell'attuatore) / reduction ratio between motor and basic module (it is the total reduction gear of the ISOMOVE)

Nelle tabelle relative ad ogni grandezza e versione è riportato il valore di velocità angolare massima ammissibile  $N_{in,max}$  in ingresso al modulo base, da non superare mai, corrispondente al valore che genera una velocità assiale dell'asta traslante massima  $V_{out,max}$ .

In each type datasheet you will find the max admissible input speed at the basic module shaft  $N_{in,max}$  never to exceed, which delivers the max admissible output linear speed of the rod  $V_{out,max}$ .

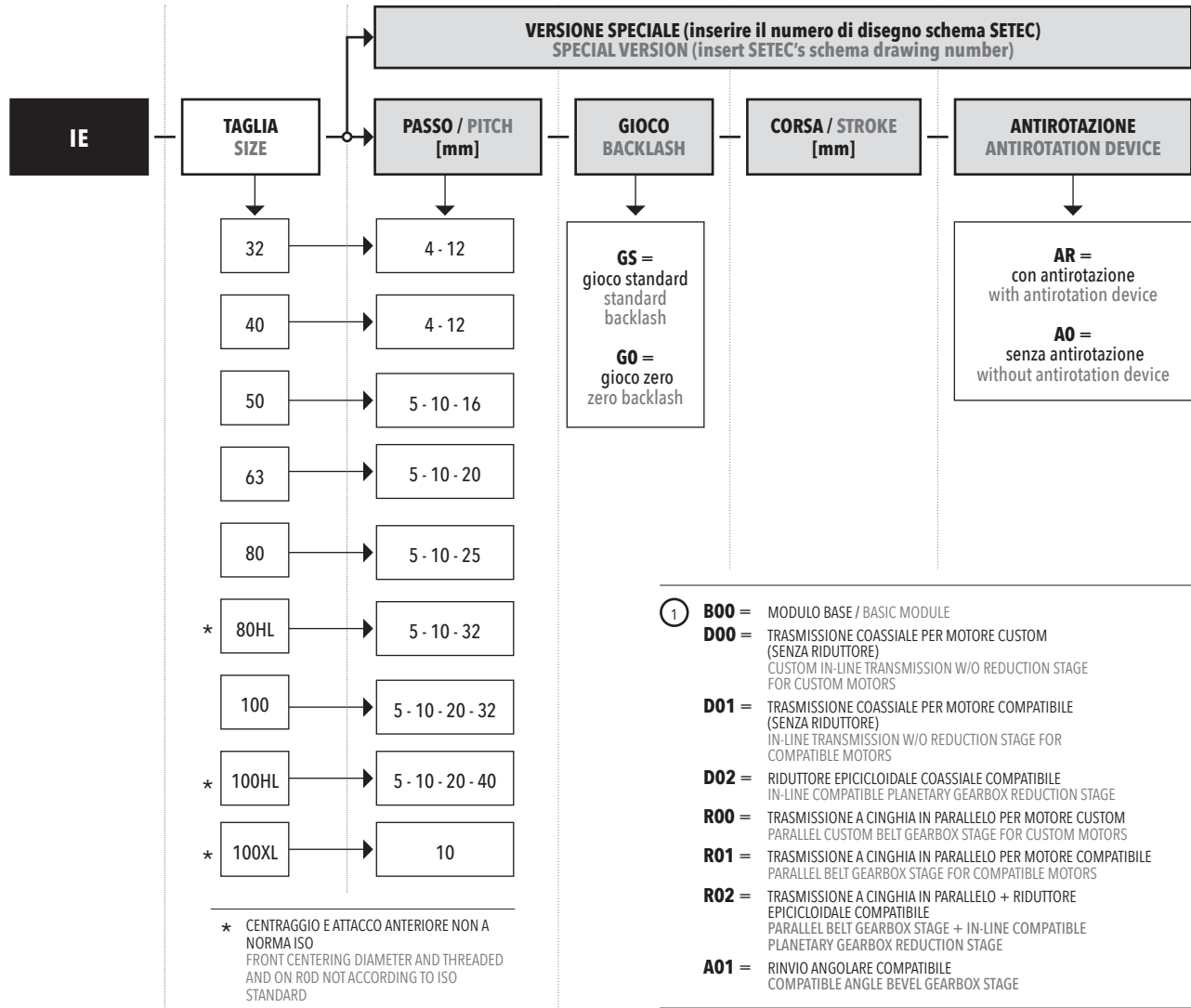
2.

Sigla di ordinazione

Ordering identification

2.1

Grandezze da 32 a 100XL  
From 32 to 100XL type



- ① **B00** = MODULO BASE / BASIC MODULE
- D00** = TRASMISSIONE COASSIALE PER MOTORE CUSTOM (SENZA RIDUTTORE)  
CUSTOM IN-LINE TRANSMISSION W/O REDUCTION STAGE FOR CUSTOM MOTORS
- D01** = TRASMISSIONE COASSIALE PER MOTORE COMPATIBILE (SENZA RIDUTTORE)  
IN-LINE TRANSMISSION W/O REDUCTION STAGE FOR COMPATIBLE MOTORS
- D02** = RIDUTTORE EPICICLOIDALE COASSIALE COMPATIBILE  
IN-LINE COMPATIBLE PLANETARY GEARBOX REDUCTION STAGE
- R00** = TRASMISSIONE A CINGHIA IN PARALLELO PER MOTORE CUSTOM  
PARALLEL CUSTOM BELT GEARBOX STAGE FOR CUSTOM MOTORS
- R01** = TRASMISSIONE A CINGHIA IN PARALLELO PER MOTORE COMPATIBILE  
PARALLEL BELT GEARBOX STAGE FOR COMPATIBLE MOTORS
- R02** = TRASMISSIONE A CINGHIA IN PARALLELO + RIDUTTORE EPICICLOIDALE COMPATIBILE  
PARALLEL BELT GEARBOX STAGE + IN-LINE COMPATIBLE PLANETARY GEARBOX REDUCTION STAGE
- A01** = RINVIO ANGOLARE COMPATIBILE  
COMPATIBLE ANGLE BEVEL GEARBOX STAGE

- ② PER LE DIMENSIONI DEI MOTORI VEDERE CAPITOLO 4  
FOR MOTOR DIMENSIONS SEE CHAPTER 4
- ③ PER LE DIMENSIONI DEI RIDUTTORI VEDERE CAPITOLO 4  
FOR PLANETARY GEARBOX DIMENSIONS SEE CHAPTER 4
- ④ PER LE DIMENSIONI DEI RINVII ANGOLARI VEDERE CAPITOLO 4  
FOR ANGLE BEVEL GEARBOX DIMENSIONS SEE CHAPTER 4

Esempi di designazione prodotto STANDARD:

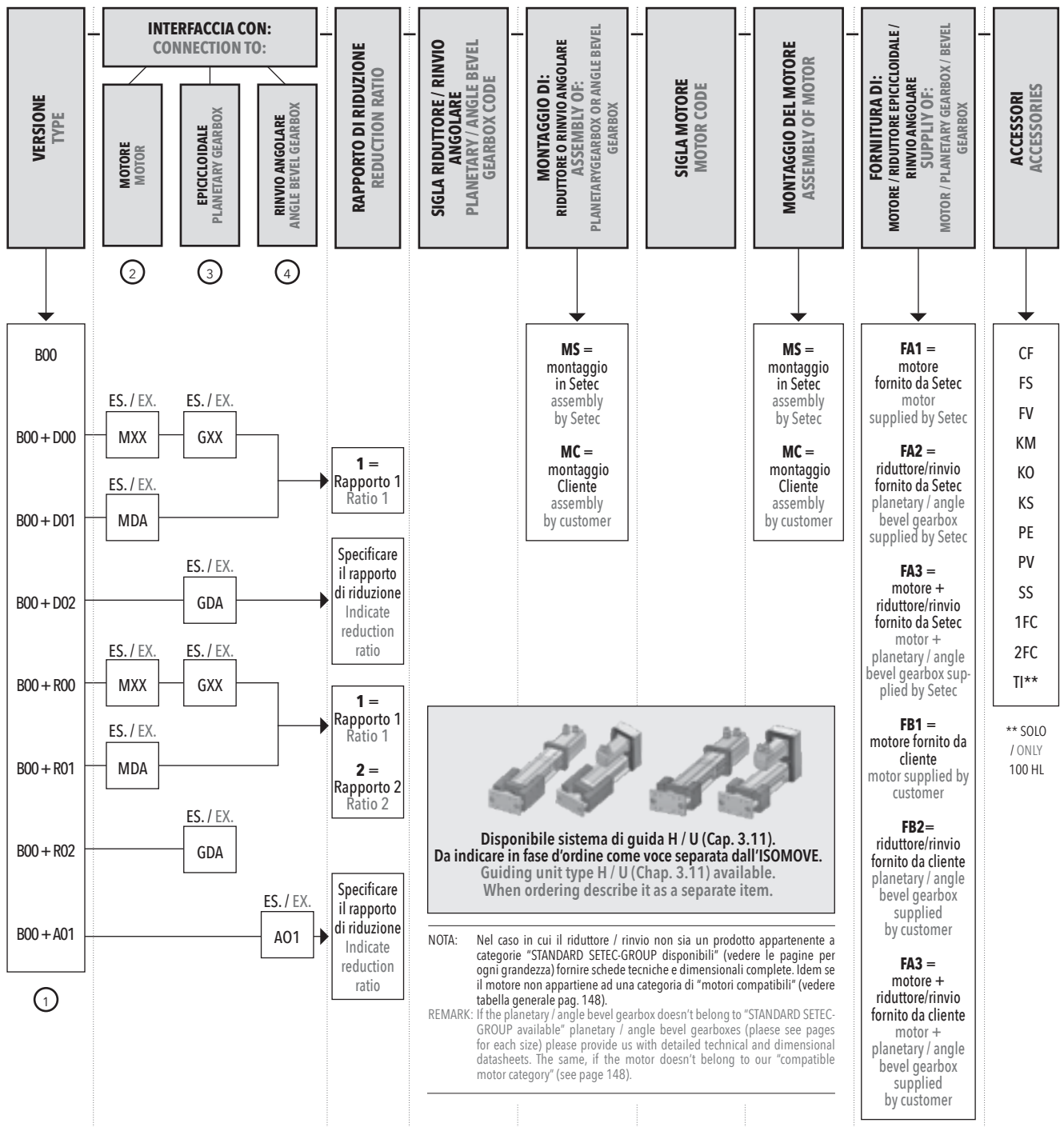
|    |       |    |    |     |    |
|----|-------|----|----|-----|----|
| IE | 63    | 5  | GS | 360 | A0 |
| IE | 50    | 5  | GS | 250 | AR |
| IE | 100HL | 10 | GS | 450 | A0 |
| IE | 80    | 10 | GO | 500 | AR |

STANDARD product designation examples:

Esempio di designazione prodotto SPECIALE:

|    |    |                            |  |  |  |
|----|----|----------------------------|--|--|--|
| IE | 32 | I-E032-XXXX-XXX-XXXX-REVXX |  |  |  |
|----|----|----------------------------|--|--|--|

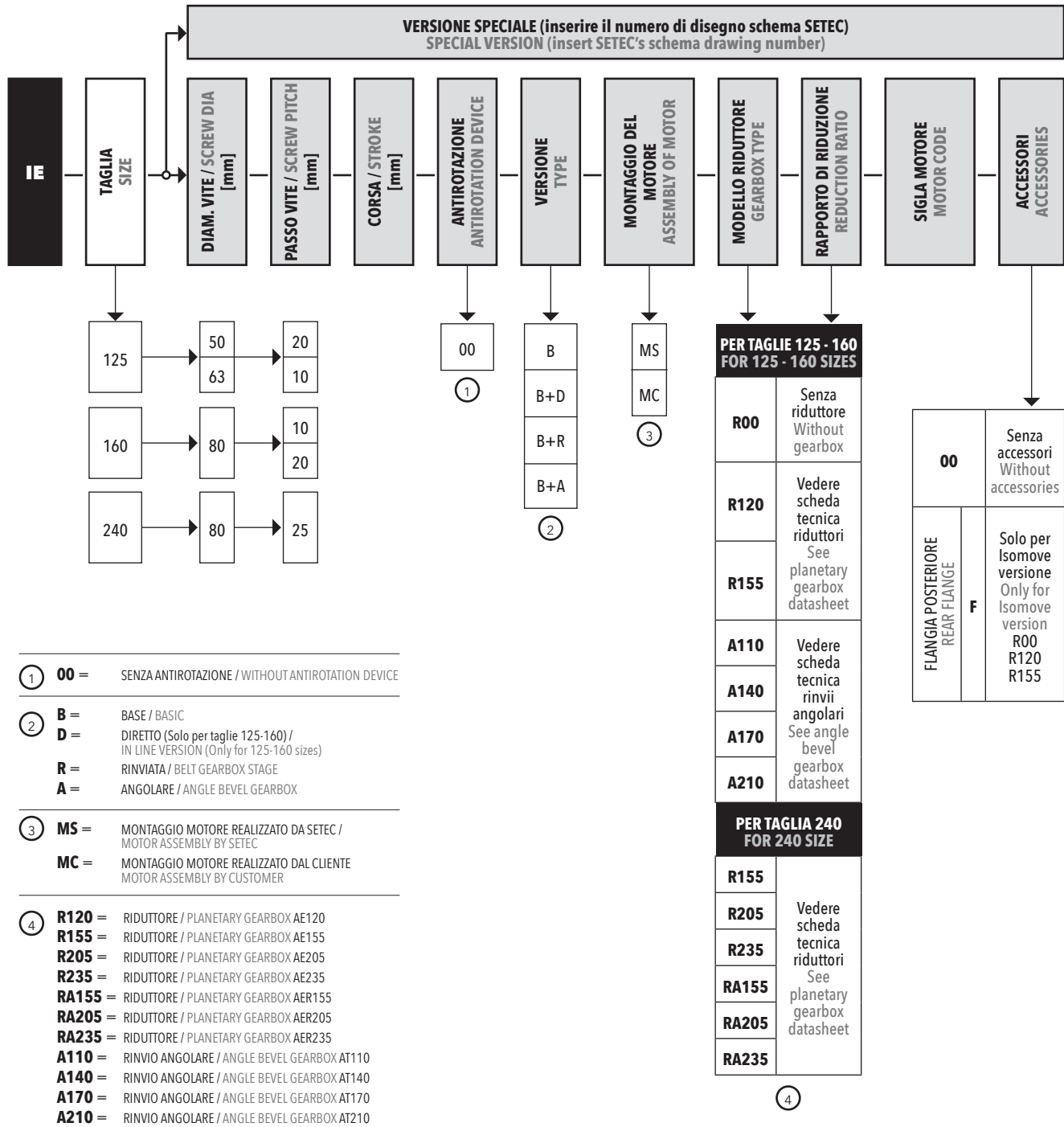
SPECIAL product designation example:



|           |     |    |        |    |          |    |         |       |
|-----------|-----|----|--------|----|----------|----|---------|-------|
| B00 + D02 | GCA | 10 | LP070  | MC | 1FK7022  | MC | FB3     | FV    |
| B00 + D01 | MCC | 1  |        |    | MCS09    | MS | FA1     |       |
| B00 + A01 | ADA | 3  | ATB110 | MS | BMH1003P | MC | FA2+FB1 |       |
| B00 + R02 | GDA | 5  | AE090  | MS | BSH703P  | MS | FA2+FB1 | FS-PE |

2.2

Grandezze 125 - 160 - 240  
125 - 160 - 240 type



Esempio di designazione prodotto STANDARD:

STANDARD product designation example:

**IE** - **125** - **63** - **10** - **300** - **00** - **B+A** - **MC** - **A110** - **4** - **BSH1004P** - **00**

Esempio di designazione prodotto SPECIALE:

SPECIAL product designation example:

**IE** - **125** - **I-E125-XXXX - XXX - XXXX - REVXX**

# 3.

## Grandezze da 32 a 100XL

### 32 to 100XL Sizes

|                            |         |
|----------------------------|---------|
| IE 32                      | pg. 38  |
| IE 40                      | pg. 44  |
| IE 50                      | pg. 50  |
| IE 63                      | pg. 62  |
| IE 80                      | pg. 74  |
| IE 80HL                    | pg. 86  |
| IE 100                     | pg. 98  |
| IE 100HL                   | pg. 110 |
| IE 100XL                   | pg. 124 |
| Accessori /<br>Accessories | pg. 136 |

## 3.1

## IE 32

## 3.1.1 Caratteristiche tecniche

## 3.1.1 Technical features

| ISOMOVE IE 32   |   |                       | 4   | 12              |
|---|---|-----------------------|---|-----------------|
| <b>P</b>  | PASSO VITE / SCREW LEAD   | [mm]                  | 4   | 12              |
| <b>D</b>  | DIAMETRO VITE / SCREW DIAMETER  | [mm]                  | 12  | 12              |
| <b>F<sub>d</sub></b>                                    | CARICO MASSIMO DINAMICO APPLICABILE<br>MAX ADMISSIBLE DYNAMIC LOAD  | [N]                   | 3000*   | 2000*           |
| <b>C<sub>in,max</sub></b>                               | PER AVERE <b>F<sub>a</sub> = F<sub>d</sub></b><br>TO GET  | [Nm]                  | 2,1   | 4,2             |
| <b>C<sub>m,max</sub></b>                                | "CASO 1" / "CASE 1": B00 + D00/D01  | [Nm]                  | 2,1   | 4,2             |
|   | "CASO 3" / "CASE 3": B00 + R00/R01  | [Nm]                  | 2,3   | 4,6             |
| <b>F<sub>st</sub></b>                                   | CARICO MASSIMO STATICO APPLICABILE<br>MAX ADMISSIBLE STATIC LOAD  | [N]                   | 3400  | 3400            |
| <b>V<sub>out,max</sub></b><br><b>N<sub>in,max</sub></b> | VELOCITÀ DI TRASLAZIONE MASSIMA IN USCITA / ROTAZIONE MASSIMA<br>VITE RDS<br>MAX OUTPUT SPEED / MAX BALLSCREW ROTATING INPUT SPEED      | [mm/sec]<br>[rpm]     | 200 / 3000                                    | 600 / 3000      |
| <b>a<sub>max</sub></b>                                  | ACCELERAZIONE MASSIMA IN USCITA / MAX OUTPUT ACCELERATION   | [m/sec <sup>2</sup> ] | 1   | 2               |
| <b>S<sub>max</sub></b>                                  | CORSA MASSIMA STANDARD / MAX STANDARD STROKE  | [mm]                  | 500**   | 500**           |
|   | PESO MODULO BASE CORSA 0 mm / PESO OGNI 100 mm DI CORSA<br>BASIC MODULE WEIGHT FOR 0 mm STROKE / WEIGHT FOR ADDITIONAL<br>100 mm STROKE | [Kg]                  | 1,2 / 0,3                                     | 1,2 / 0,3       |
| <b>G<sub>s,max</sub></b>                                | GIOCO ASSIALE MASSIMO PER CHIOCCIOLA STANDARD<br>MAX AXIAL BACKLASH FOR STANDARD BALLSCREW ASSEMBLY                                     | [mm]                  | 0,02  | 0,02            |
| <b>G<sub>Z</sub></b>                                    | GIOCO "0" DELLA CHIOCCIOLA / "0" BACKLASH BALLSCREW ASSEMBLY  |                       | NON DISPONIBILE / NOT AVAILABLE               |                 |
| <b>L<sub>10,Km</sub></b>                                | DURATA / LIFETIME   | [Km]                  | VEDI TABELLA / SEE TABLE                      |                 |
|   | VERSIONI DISPONIBILI / AVAILABLE TYPES  |                       | D00/D01/R00/R01                               | D00/D01/R00/R01 |
|   | ACCESSORI DISPONIBILI / AVAILABLE ACCESSORIES   |                       | VEDI PARAGRAFO / SEE PARAGRAPH 3.10 (pg. 136) |                 |

\* Per le versioni R00/R01 controllare con il grafico di pagina 40. / For R00/R01 types please check graph at page 40.

\*\* Per corse superiori, contattare il nostro servizio tecnico. / For longer strokes please contact our technical dpt.

## 3.1.2 Calcolo durata

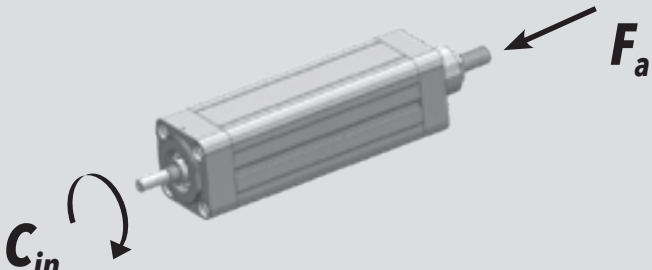
## 3.1.2 Lifetime calculation

|                                  |   |  |
|----------------------------------|---|--|
| <b>IE 32</b><br><b>P = 4 mm</b>  | $L_{10,Km} = \left[ \frac{3370}{F_{eq}} \right]^3 \cdot 4$  | <b>L<sub>10,Km</sub> = [Km]</b><br><b>F<sub>eq</sub> = [N]</b> |
| <b>IE 32</b><br><b>P = 12 mm</b> | $L_{10,Km} = \left[ \frac{2200}{F_{eq}} \right]^3 \cdot 12$ | <b>L<sub>10,Km</sub> = [Km]</b><br><b>F<sub>eq</sub> = [N]</b> |



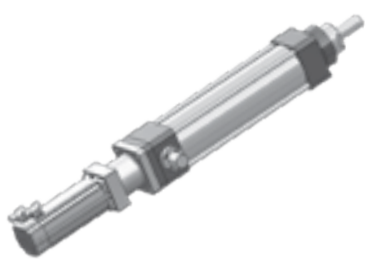
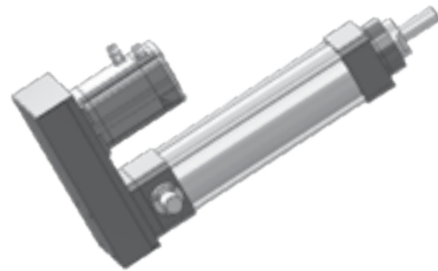
**3.1.3 Calcolo coppia in ingresso al modulo base**

**3.1.3 Torque calculation at basic module input shaft**

|  |   |  |
|--|---|--|
|  |   |  |
| <p><b>IE 32</b><br/><b>P = 4 mm</b></p>  | $C_{in} = \left[ \frac{F_a \cdot 4}{5652} \right]$  | <p><math>C_{in} = [Nm]</math><br/><math>F_a = [N]</math></p> |
| <p><b>IE 32</b><br/><b>P = 12 mm</b></p>   | $C_{in} = \left[ \frac{F_a \cdot 12}{5652} \right]$ | <p><math>C_{in} = [Nm]</math><br/><math>F_a = [N]</math></p> |

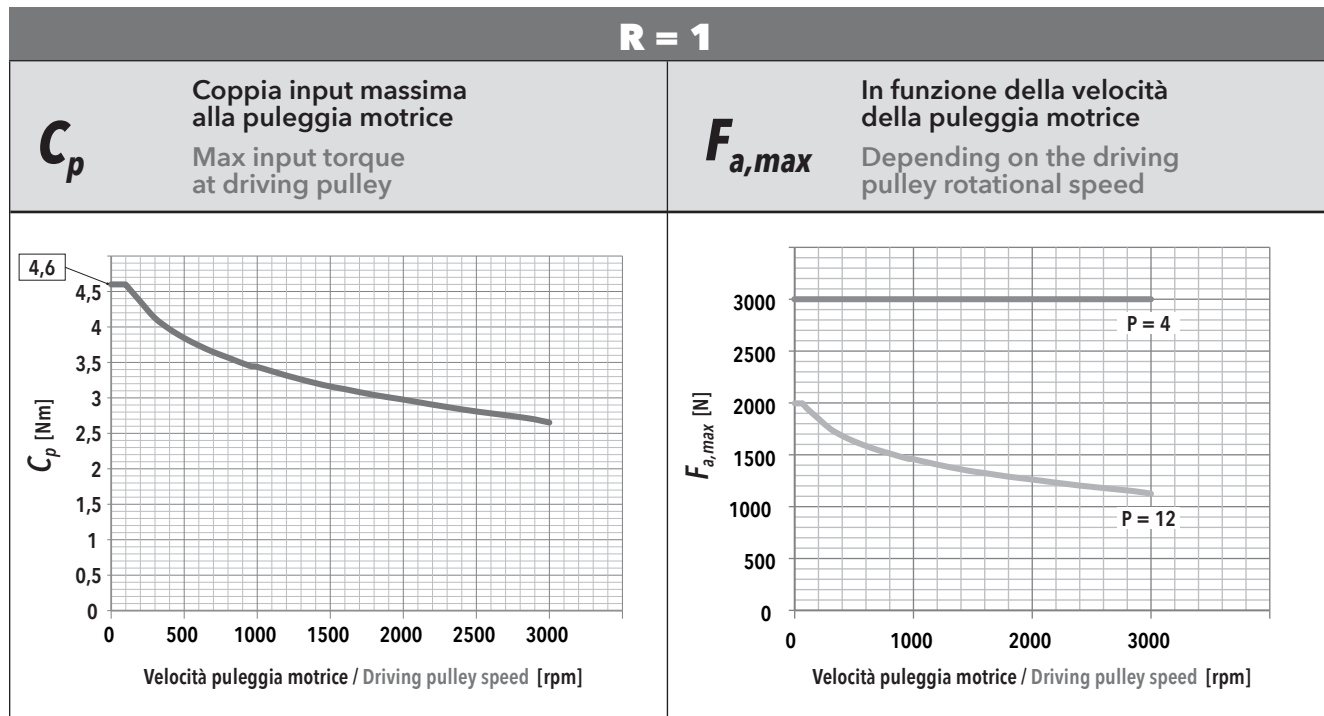
**3.1.4 Calcolo coppia motore**

**3.1.4 Motor torque calculation**

|                                 |   |
|---------------------------------|---|
| <p>CASO / CASE<br/><b>1</b></p> | <p style="text-align: center;"><b>ISOMOVE B00 + D00 / D01</b></p> <div style="display: flex; align-items: center; justify-content: center;">  <div style="text-align: center;"> <math display="block">C_m = C_{in}</math> <p>[Nm]</p> </div> </div>  |
| <p>CASO / CASE<br/><b>3</b></p> | <p style="text-align: center;"><b>ISOMOVE B00 + R00 / R01</b></p> <div style="display: flex; align-items: center; justify-content: center;">  <div style="text-align: center;"> <math display="block">C_m = \left[ \frac{C_{in}}{R \cdot \eta} \right]</math> <p>[Nm]</p> </div> </div> <p><i>R</i> = rapporto di riduzione trasmissione a cinghia, disponibile R=1<br/>belt gearbox reduction ratio, available R=1<br/><i>η</i> = rendimento meccanico / mechanical efficiency = 0,90</p> |

**3.1.5 Potenza in ingresso alla trasmissione a cinghia (versione R)**

**3.1.5 Mechanical input power at belt gear stage (R type)**



**$F_r$**  Forza radiale su asse puleggia motrice in funzione di  $C_{in}$   
Radial force on driving pulley as a function of  $C_{in}$

**$f_t$**  Frequenza di vibrazione della cinghia per il tensionamento (al montaggio)  
Vibration frequency of the belt for its tensioning (during assembly)

| IE 32 - PASSO / PITCH 4 |            |                  |     |     |     |
|-------------------------|------------|------------------|-----|-----|-----|
| $F_a$ [N]               |            | $V_{out}$ [mm/s] |     |     |     |
|                         |            | 20               | 80  | 140 | 200 |
| 3000                    | $F_r$ [N]  | 140              | 141 | 142 | 143 |
|                         | $f_t$ [Hz] | 328              | 329 | 330 | 331 |
| 2700                    | $F_r$ [N]  | 127              | 127 | 127 | 129 |
|                         | $f_t$ [Hz] | 312              | 312 | 313 | 314 |
| 2400                    | $F_r$ [N]  | 112              | 112 | 113 | 114 |
|                         | $f_t$ [Hz] | 293              | 294 | 295 | 296 |
| 2100                    | $F_r$ [N]  | 98               | 99  | 100 | 101 |
|                         | $f_t$ [Hz] | 276              | 276 | 277 | 278 |
| 1800                    | $F_r$ [N]  | 84               | 85  | 86  | 87  |
|                         | $f_t$ [Hz] | 253              | 254 | 256 | 258 |
| 1500                    | $F_r$ [N]  | 70               | 70  | 71  | 73  |
|                         | $f_t$ [Hz] | 232              | 233 | 234 | 236 |
| 1200                    | $F_r$ [N]  | 57               | 57  | 58  | 58  |
|                         | $f_t$ [Hz] | 209              | 209 | 210 | 212 |
| 900                     | $F_r$ [N]  | 41               | 42  | 43  | 44  |
|                         | $f_t$ [Hz] | 179              | 180 | 182 | 184 |
| 600                     | $F_r$ [N]  | 28               | 28  | 29  | 30  |
|                         | $f_t$ [Hz] | 147              | 148 | 149 | 152 |
| 300                     | $F_r$ [N]  | 13               | 14  | 15  | 16  |
|                         | $f_t$ [Hz] | 101              | 105 | 108 | 111 |

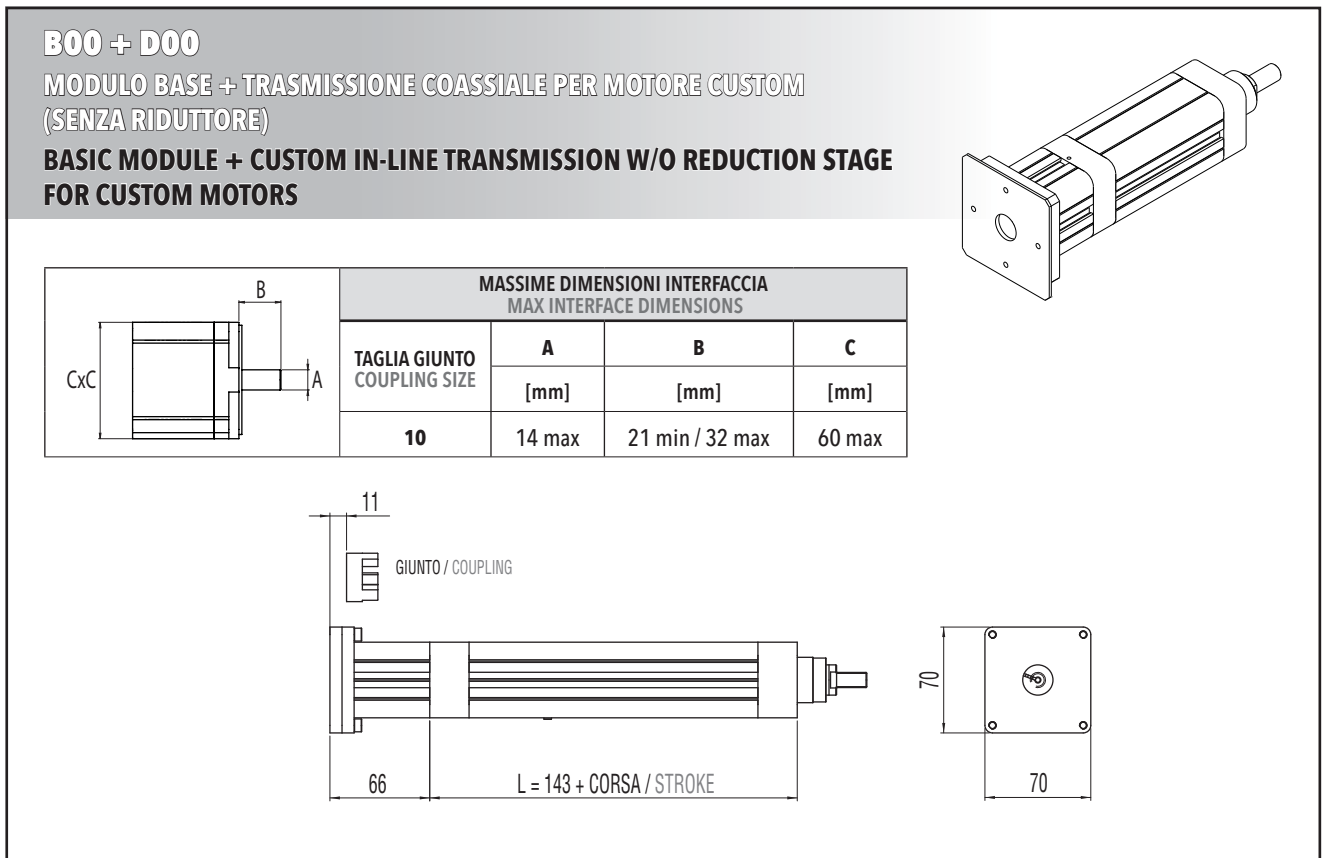
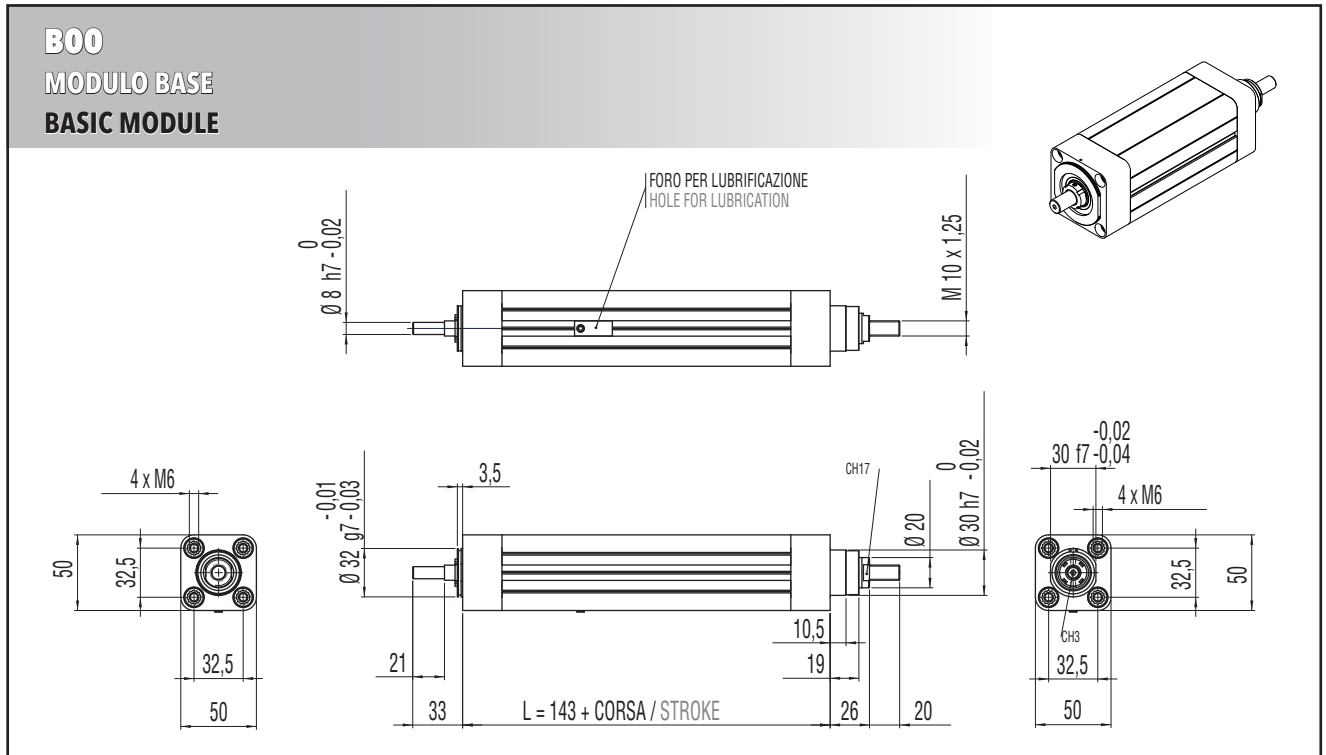
| IE 32 - PASSO / PITCH 12 |            |                  |     |     |     |
|--------------------------|------------|------------------|-----|-----|-----|
| $F_a$ [N]                |            | $V_{out}$ [mm/s] |     |     |     |
|                          |            | 60               | 240 | 420 | 600 |
| 2000                     | $F_r$ [N]  | 282              |     |     |     |
|                          | $f_t$ [Hz] | 465              |     |     |     |
| 1800                     | $F_r$ [N]  | 253              |     |     |     |
|                          | $f_t$ [Hz] | 441              |     |     |     |
| 1600                     | $F_r$ [N]  | 225              | 226 |     |     |
|                          | $f_t$ [Hz] | 416              | 416 |     |     |
| 1400                     | $F_r$ [N]  | 197              | 197 |     |     |
|                          | $f_t$ [Hz] | 389              | 389 |     |     |
| 1200                     | $F_r$ [N]  | 169              | 169 | 170 |     |
|                          | $f_t$ [Hz] | 360              | 360 | 361 |     |
| 1000                     | $F_r$ [N]  | 141              | 141 | 142 | 143 |
|                          | $f_t$ [Hz] | 329              | 329 | 330 | 331 |
| 800                      | $F_r$ [N]  | 113              | 113 | 114 | 115 |
|                          | $f_t$ [Hz] | 294              | 294 | 295 | 297 |
| 600                      | $F_r$ [N]  | 85               | 85  | 86  | 87  |
|                          | $f_t$ [Hz] | 255              | 255 | 256 | 258 |
| 400                      | $F_r$ [N]  | 56               | 57  | 57  | 59  |
|                          | $f_t$ [Hz] | 208              | 209 | 210 | 212 |
| 200                      | $F_r$ [N]  | 28               | 29  | 29  | 30  |
|                          | $f_t$ [Hz] | 147              | 148 | 150 | 153 |

### 3.1.6 Caratteristiche dimensionali

### 3.1.6 Overall dimensions

NOTA: Dati categorie motori / riduttori / rinvii al capitolo 4.

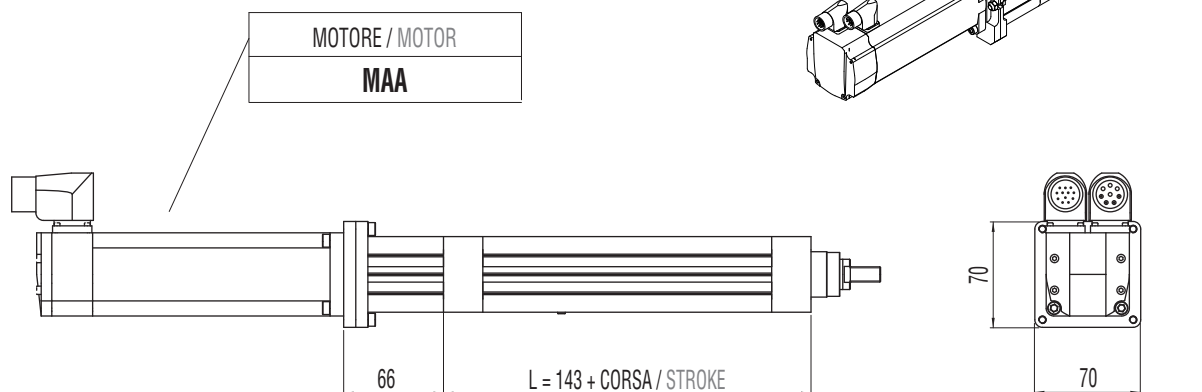
REMARK: Motors / Planetary / Angle bevel gearbox categories data at chapter 4.



**B00 + D01**

MODULO BASE + TRASMISSIONE COASSIALE PER MOTORE COMPATIBILE  
(SENZA RIDUTTORE)

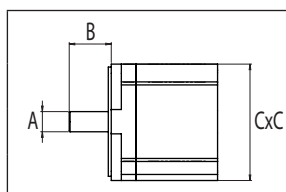
**BASIC MODULE + IN-LINE TRANSMISSION W/O REDUCTION STAGE FOR  
COMPATIBLE MOTORS**



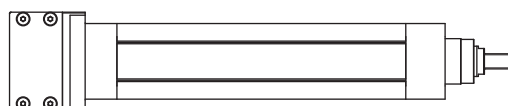
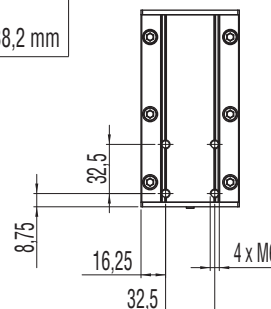
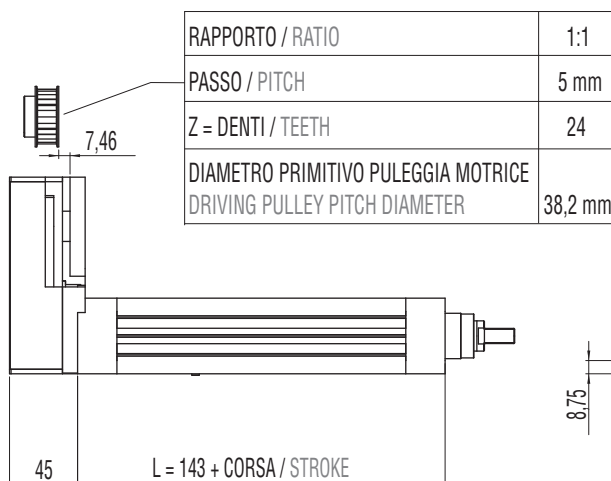
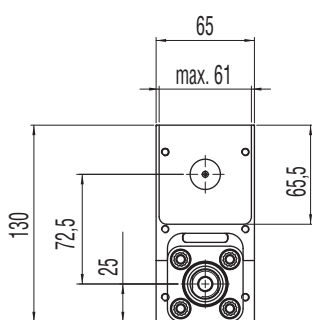
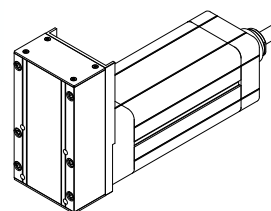
**B00 + R00**

MODULO BASE + TRASMISSIONE A CINGHIA IN PARALLELO PER MOTORE CUSTOM

**BASIC MODULE + PARALLEL CUSTOM BELT GEARBOX STAGE FOR CUSTOM MOTORS**



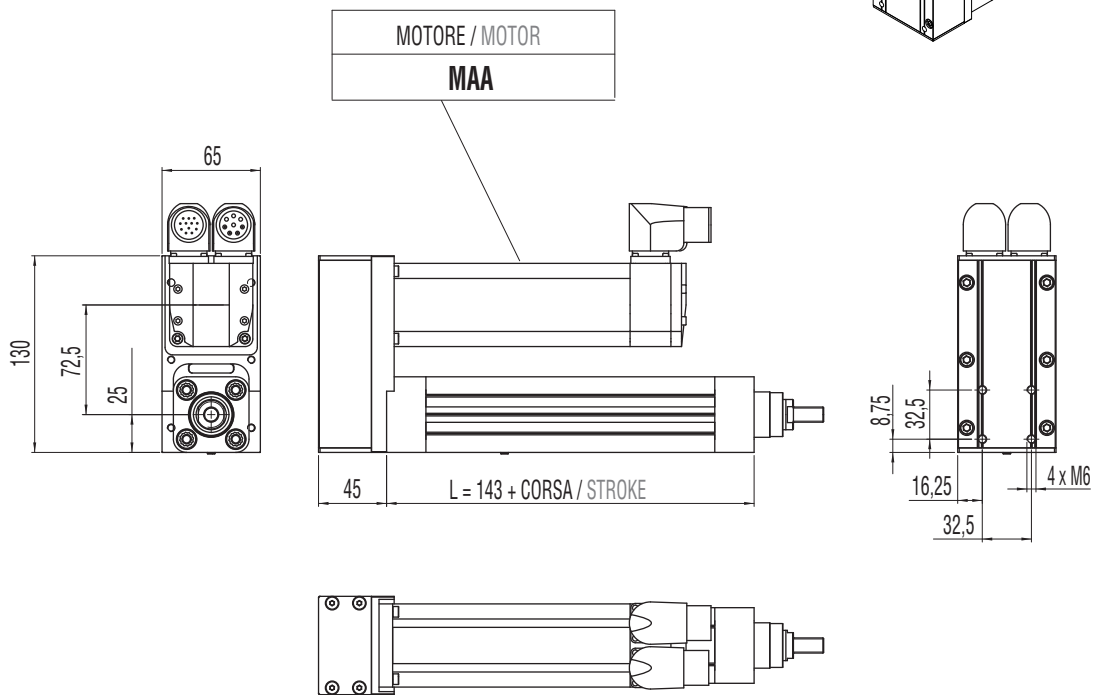
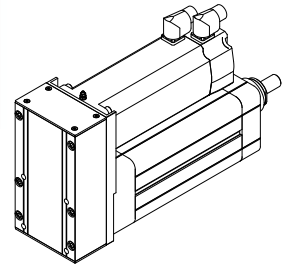
| MASSIME DIMENSIONI INTERFACCIA<br>MAX INTERFACE DIMENSIONS |        |                 |        |
|--|--------|-----------------|--------|
|  | A      | B               | C      |
|  | [mm]   | [mm]            | [mm]   |
| <b>R=1:1</b>   | 14 max | 24 min / 42 max | 60 max |



**B00 + R01**

**MODULO BASE + TRASMISSIONE A CINGHIA IN PARALLELO PER MOTORE COMPATIBILE**

**BASIC MODULE + PARALLEL BELT GEARBOX STAGE FOR COMPATIBLE MOTORS**



**3.1.7 Accessori disponibili**

Per le tabelle e i disegni tecnici degli accessori disponibili fare riferimento al paragrafo 3.10 (da pag. 136).

**3.1.7 Available accessories**

For tables and drawings please refer to paragraph 3.10 (from page 136).

## 3.2

## IE 40

## 3.2.1 Caratteristiche tecniche

## 3.2.1 Technical features

| ISOMOVE IE 40   |   |                       | 4   | 12              |
|---|---|-----------------------|---|-----------------|
| <b>P</b>  | PASSO VITE / SCREW LEAD   | [mm]                  | 4   | 12              |
| <b>D</b>  | DIAMETRO VITE / SCREW DIAMETER  | [mm]                  | 12  | 12              |
| <b>F<sub>d</sub></b>                                    | CARICO MASSIMO DINAMICO APPLICABILE<br>MAX ADMISSIBLE DYNAMIC LOAD  | [N]                   | 3000*   | 2000*           |
| <b>C<sub>in,max</sub></b>                               | PER AVERE $F_a = F_d$<br>TO GET   | [Nm]                  | 2,1   | 4,2             |
| <b>C<sub>m,max</sub></b>                                | "CASO 1" / "CASE 1": B00 + D00/D01  | [Nm]                  | 2,1   | 4,2             |
|   | "CASO 3" / "CASE 3": B00 + R00/R01  | [Nm]                  | 2,3   | 4,6             |
| <b>F<sub>st</sub></b>                                   | CARICO MASSIMO STATICO APPLICABILE<br>MAX ADMISSIBLE STATIC LOAD  | [N]                   | 3400  | 3400            |
| <b>V<sub>out,max</sub></b><br><b>N<sub>in,max</sub></b> | VELOCITÀ DI TRASLAZIONE MASSIMA IN USCITA / ROTAZIONE MASSIMA<br>VITE RDS<br>MAX OUTPUT SPEED / MAX BALLSCREW ROTATING INPUT SPEED      | [mm/sec]<br>[rpm]     | 200 / 3000                                    | 600 / 3000      |
| <b>a<sub>max</sub></b>                                  | ACCELERAZIONE MASSIMA IN USCITA / MAX OUTPUT ACCELERATION   | [m/sec <sup>2</sup> ] | 1   | 2               |
| <b>S<sub>max</sub></b>                                  | CORSA MASSIMA STANDARD / MAX STANDARD STROKE  | [mm]                  | 500**   | 500**           |
|   | PESO MODULO BASE CORSA 0 mm / PESO OGNI 100 mm DI CORSA<br>BASIC MODULE WEIGHT FOR 0 mm STROKE / WEIGHT FOR ADDITIONAL<br>100 mm STROKE | [Kg]                  | 1,2 / 0,3                                     | 1,2 / 0,3       |
| <b>G<sub>s,max</sub></b>                                | GIOCO ASSIALE MASSIMO PER CHIOCCIOLA STANDARD<br>MAX AXIAL BACKLASH FOR STANDARD BALLSCREW ASSEMBLY                                     | [mm]                  | 0,02  | 0,02            |
| <b>G<sub>z</sub></b>                                    | GIOCO "0" DELLA CHIOCCIOLA / "0" BACKLASH BALLSCREW ASSEMBLY  |                       | NON DISPONIBILE / NOT AVAILABLE               |                 |
| <b>L<sub>10,Km</sub></b>                                | DURATA / LIFETIME   | [Km]                  | VEDI TABELLA / SEE TABLE                      |                 |
|   | VERSIONI DISPONIBILI / AVAILABLE TYPES  |                       | D00/D01/R00/R01                               | D00/D01/R00/R01 |
|   | ACCESSORI DISPONIBILI / AVAILABLE ACCESSORIES   |                       | VEDI PARAGRAFO / SEE PARAGRAPH 3.10 (pg. 136) |                 |

\* Per le versioni R00/R01 controllare con il grafico di pagina 46. / For R00/R01 types please check graph at page 46.

\*\* Per corse superiori, contattare il nostro servizio tecnico. / For longer strokes please contact our technical dpt.

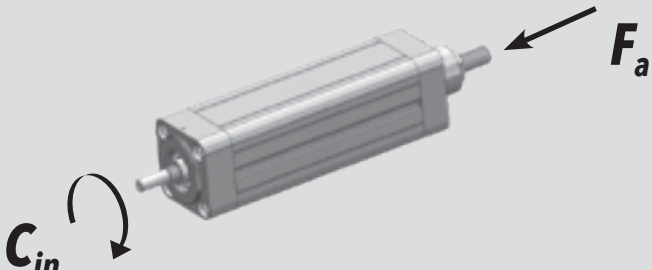
## 3.2.2 Calcolo durata

## 3.2.2 Lifetime calculation

|                                  |   |                                      |
|----------------------------------|---|--------------------------------------|
| <b>IE 40</b><br><b>P = 4 mm</b>  | $L_{10,Km} = \left[ \frac{3370}{F_{eq}} \right]^3 \cdot 4$  | $L_{10,Km} = [Km]$<br>$F_{eq} = [N]$ |
| <b>IE 40</b><br><b>P = 12 mm</b> | $L_{10,Km} = \left[ \frac{2200}{F_{eq}} \right]^3 \cdot 12$ | $L_{10,Km} = [Km]$<br>$F_{eq} = [N]$ |

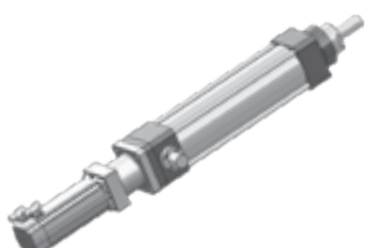
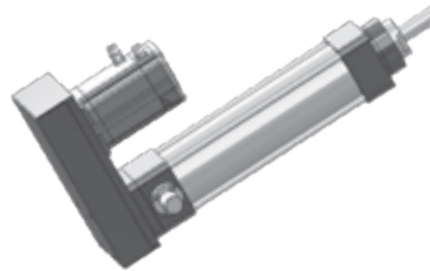
### 3.2.3 Calcolo coppia in ingresso al modulo base

### 3.2.3 Torque calculation at basic module input shaft

|  |   |  |
|--|---|--|
|  |   |  |
| <p><b>IE 40</b><br/><b>P = 4 mm</b></p>  | $C_{in} = \left[ \frac{F_a \cdot 4}{5652} \right]$  | <p><math>C_{in} = [Nm]</math><br/><math>F_a = [N]</math></p> |
| <p><b>IE 40</b><br/><b>P = 12 mm</b></p>   | $C_{in} = \left[ \frac{F_a \cdot 12}{5652} \right]$ | <p><math>C_{in} = [Nm]</math><br/><math>F_a = [N]</math></p> |

### 3.2.4 Calcolo coppia motore

### 3.2.4 Motor torque calculation

|                                 |   |  |
|---------------------------------|---|--|
| <p>CASO / CASE<br/><b>1</b></p> | <p><b>ISOMOVE B00 + D00 / D01</b></p>  | $C_m = C_{in}$ <p>[Nm]</p>   |
| <p>CASO / CASE<br/><b>3</b></p> | <p><b>ISOMOVE B00 + R00 / R01</b></p>  | $C_m = \left[ \frac{C_{in}}{R \cdot \eta} \right]$ <p>[Nm]</p> <p><math>R</math> = rapporto di riduzione trasmissione a cinghia, disponibile R=1<br/>belt gearbox reduction ratio, available R=1<br/><math>\eta</math> = rendimento meccanico / mechanical efficiency = 0,90</p> |

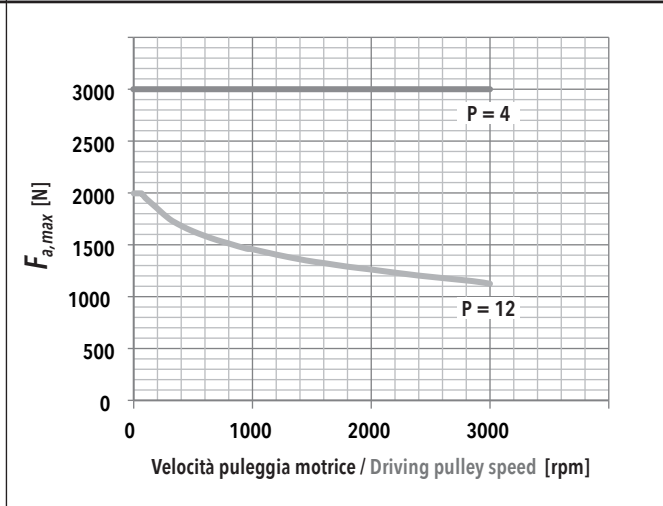
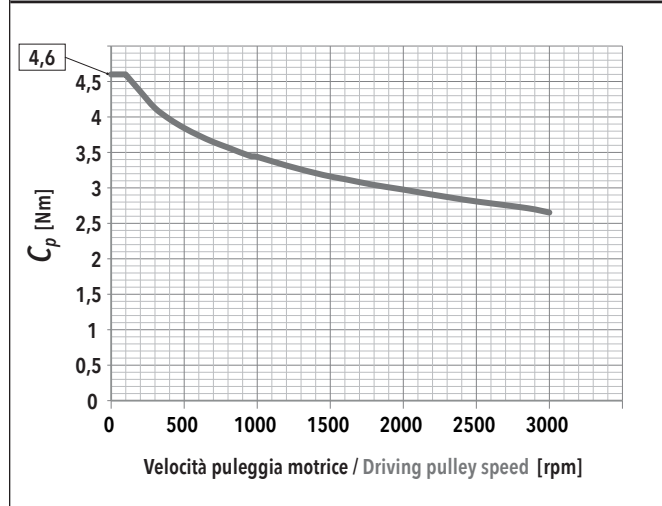
**3.2.5 Potenza in ingresso alla trasmissione a cinghia (versione R)**

**3.2.5 Mechanical input power at belt gear stage (R type)**

**R = 1**

**$C_p$**  Coppia input massima alla puleggia motrice  
Max input torque at driving pulley

**$F_{a,max}$**  In funzione della velocità della puleggia motrice  
Depending on the driving pulley rotational speed



**$F_r$**  Forza radiale su asse puleggia motrice in funzione di  $C_{in}$   
Radial force on driving pulley as a function of  $C_{in}$

**$f_t$**  Frequenza di vibrazione della cinghia per il tensionamento (al montaggio)  
Vibration frequency of the belt for its tensioning (during assembly)

| IE 40 - PASSO / PITCH 4 |            |                  |     |     |     |
|-------------------------|------------|------------------|-----|-----|-----|
| $F_a$ [N]               |            | $V_{out}$ [mm/s] |     |     |     |
|                         |            | 20               | 80  | 140 | 200 |
| 3000                    | $F_r$ [N]  | 140              | 141 | 142 | 143 |
|                         | $f_t$ [Hz] | 328              | 329 | 330 | 331 |
| 2700                    | $F_r$ [N]  | 127              | 127 | 127 | 129 |
|                         | $f_t$ [Hz] | 312              | 312 | 313 | 314 |
| 2400                    | $F_r$ [N]  | 112              | 112 | 113 | 114 |
|                         | $f_t$ [Hz] | 293              | 294 | 295 | 296 |
| 2100                    | $F_r$ [N]  | 98               | 99  | 100 | 101 |
|                         | $f_t$ [Hz] | 276              | 276 | 277 | 278 |
| 1800                    | $F_r$ [N]  | 84               | 85  | 86  | 87  |
|                         | $f_t$ [Hz] | 253              | 254 | 256 | 258 |
| 1500                    | $F_r$ [N]  | 70               | 70  | 71  | 73  |
|                         | $f_t$ [Hz] | 232              | 233 | 234 | 236 |
| 1200                    | $F_r$ [N]  | 57               | 57  | 58  | 58  |
|                         | $f_t$ [Hz] | 209              | 209 | 210 | 212 |
| 900                     | $F_r$ [N]  | 41               | 42  | 43  | 44  |
|                         | $f_t$ [Hz] | 179              | 180 | 182 | 184 |
| 600                     | $F_r$ [N]  | 28               | 28  | 29  | 30  |
|                         | $f_t$ [Hz] | 147              | 148 | 149 | 152 |
| 300                     | $F_r$ [N]  | 13               | 14  | 15  | 16  |
|                         | $f_t$ [Hz] | 101              | 105 | 108 | 111 |

| IE 40 - PASSO / PITCH 12 |            |                  |     |     |     |
|--------------------------|------------|------------------|-----|-----|-----|
| $F_a$ [N]                |            | $V_{out}$ [mm/s] |     |     |     |
|                          |            | 60               | 240 | 420 | 600 |
| 2000                     | $F_r$ [N]  | 282              |     |     |     |
|                          | $f_t$ [Hz] | 465              |     |     |     |
| 1800                     | $F_r$ [N]  | 253              |     |     |     |
|                          | $f_t$ [Hz] | 441              |     |     |     |
| 1600                     | $F_r$ [N]  | 225              | 226 |     |     |
|                          | $f_t$ [Hz] | 416              | 416 |     |     |
| 1400                     | $F_r$ [N]  | 197              | 197 |     |     |
|                          | $f_t$ [Hz] | 389              | 389 |     |     |
| 1200                     | $F_r$ [N]  | 169              | 169 | 170 |     |
|                          | $f_t$ [Hz] | 360              | 360 | 361 |     |
| 1000                     | $F_r$ [N]  | 141              | 141 | 142 | 143 |
|                          | $f_t$ [Hz] | 329              | 329 | 330 | 331 |
| 800                      | $F_r$ [N]  | 113              | 113 | 114 | 115 |
|                          | $f_t$ [Hz] | 294              | 294 | 295 | 297 |
| 600                      | $F_r$ [N]  | 85               | 85  | 86  | 87  |
|                          | $f_t$ [Hz] | 255              | 255 | 256 | 258 |
| 400                      | $F_r$ [N]  | 56               | 57  | 57  | 59  |
|                          | $f_t$ [Hz] | 208              | 209 | 210 | 212 |
| 200                      | $F_r$ [N]  | 28               | 29  | 29  | 30  |
|                          | $f_t$ [Hz] | 147              | 148 | 150 | 153 |

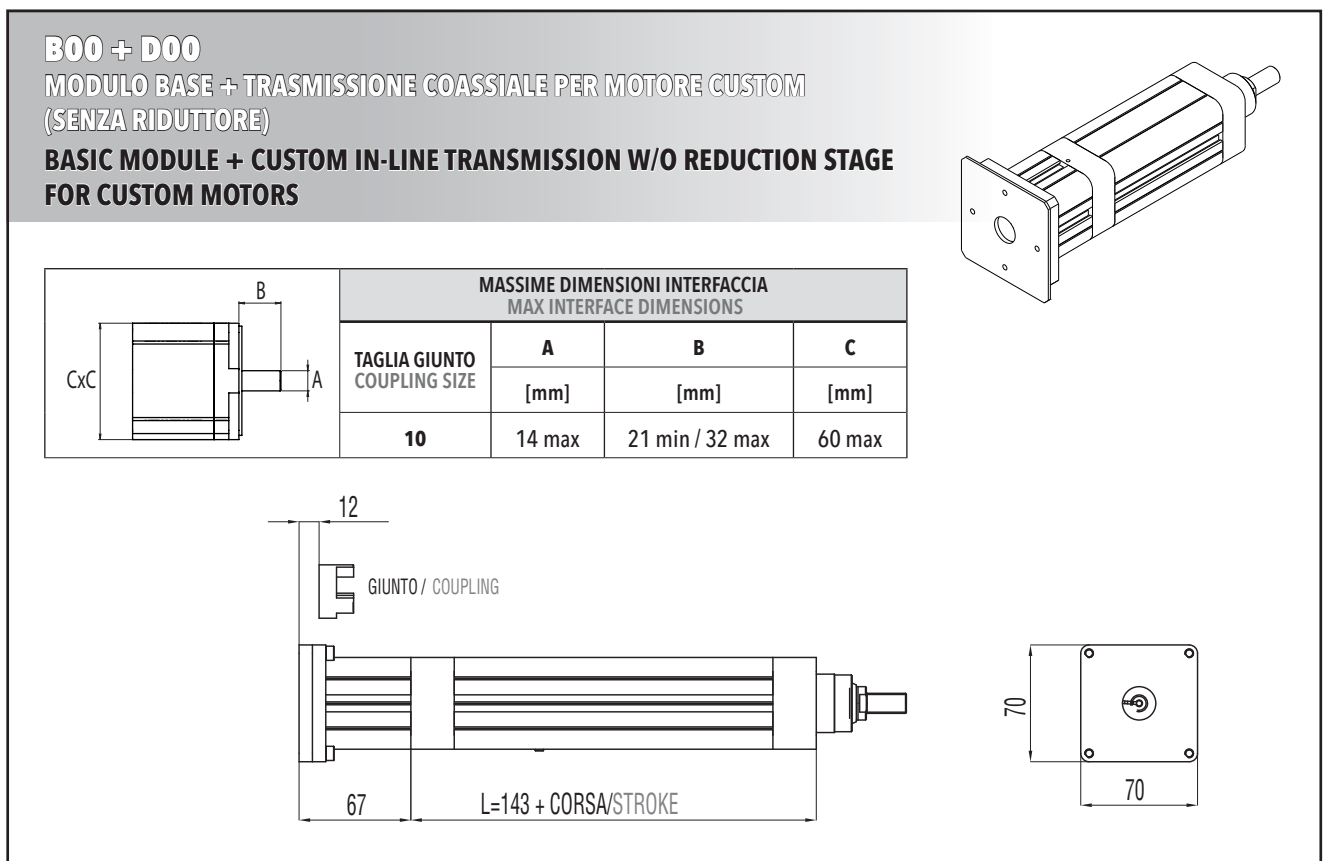
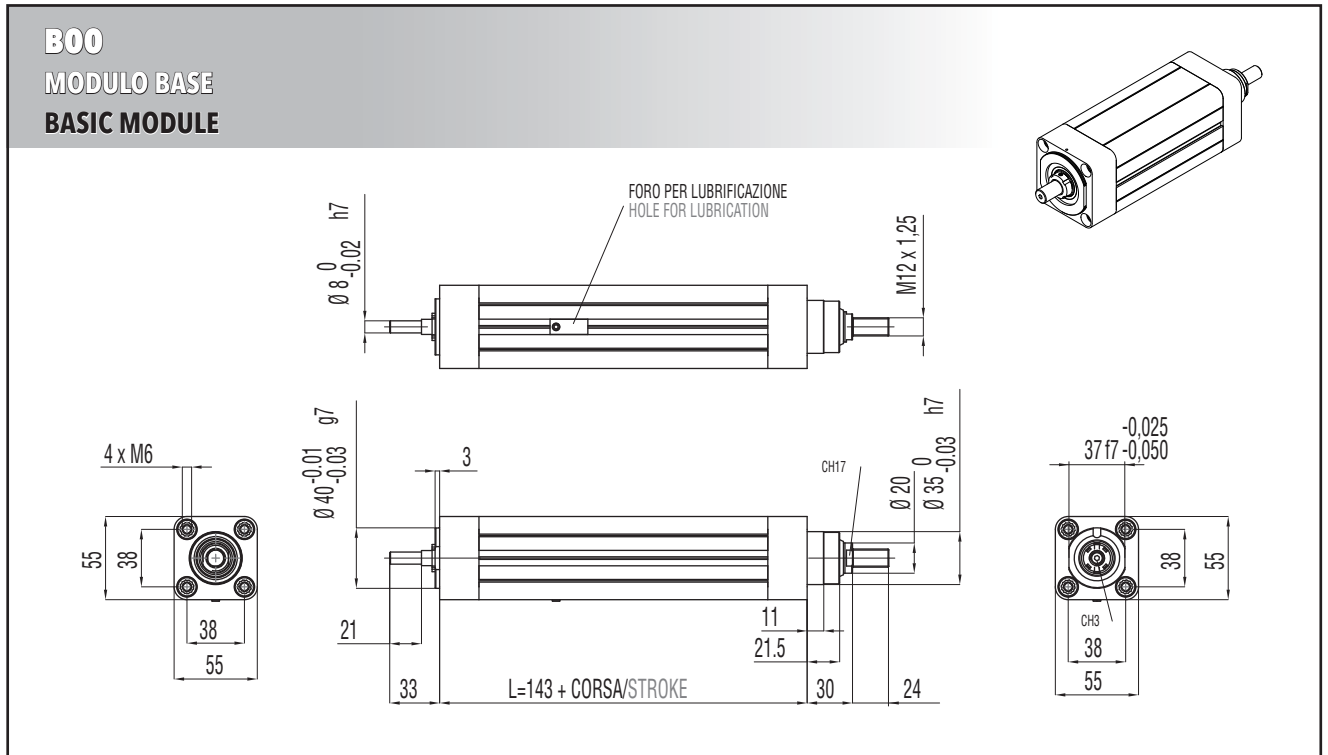


### 3.2.6 Caratteristiche dimensionali

### 3.2.6 Overall dimensions

NOTA: Dati categorie motori / riduttori / rinvii al capitolo 4.

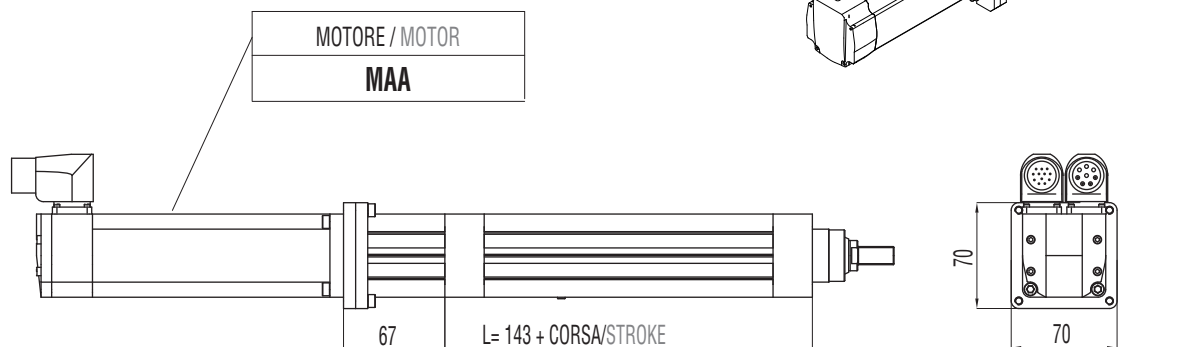
REMARK: Motors / Planetary / Angle bevel gearbox categories data at chapter 4.



## B00 + D01

MODULO BASE + TRASMISSIONE COASSIALE PER MOTORE COMPATIBILE  
(SENZA RIDUTTORE)

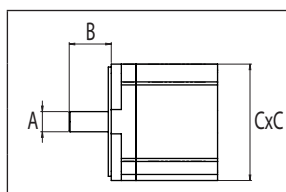
BASIC MODULE + IN-LINE TRANSMISSION W/O REDUCTION STAGE FOR  
COMPATIBLE MOTORS



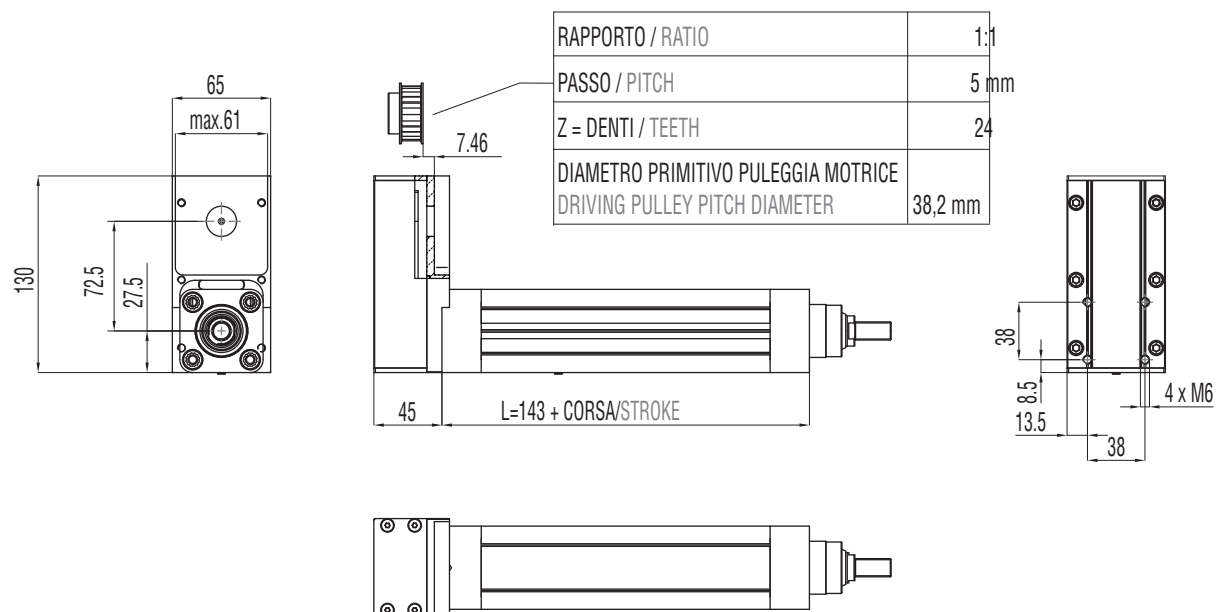
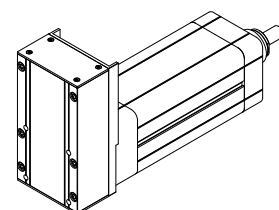
## B00 + R00

MODULO BASE + TRASMISSIONE A CINGHIA IN PARALLELO PER MOTORE CUSTOM

BASIC MODULE + PARALLEL CUSTOM BELT GEARBOX STAGE FOR CUSTOM MOTORS



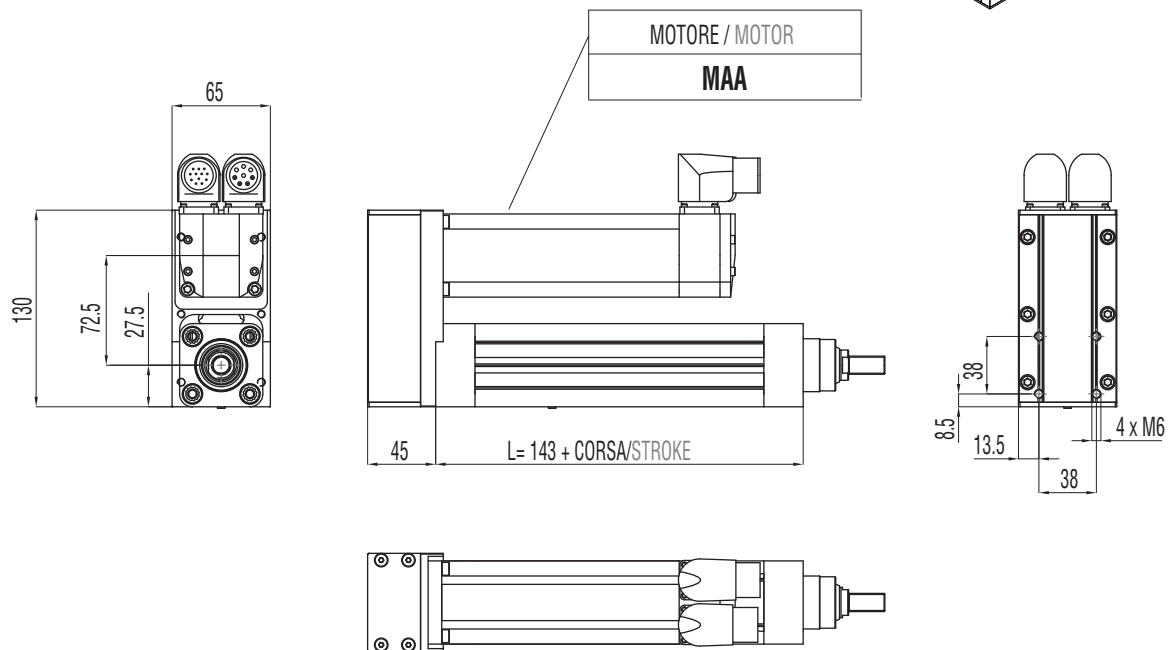
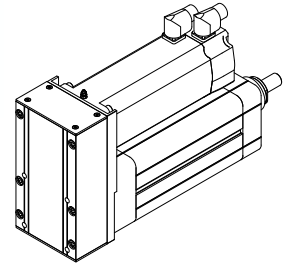
| DIMENSIONI LIMITI INTERFACCIA<br>MAX INTERFACE DIMENSIONS |        |                 |        |
|---|--------|-----------------|--------|
|   | A      | B               | C      |
|   | [mm]   | [mm]            | [mm]   |
| R=1:1   | 14 max | 24 min / 42 max | 60 max |



**B00 + R01**

MODULO BASE + TRASMISSIONE A CINGHIA IN PARALLELO PER MOTORE  
COMPATIBILE

BASIC MODULE + PARALLEL BELT GEARBOX STAGE FOR COMPATIBLE MOTORS

**3.2.7 Accessori disponibili**

Per le tabelle e i disegni tecnici degli accessori disponibili fare riferimento al paragrafo 3.10 (da pag. 136).

**3.2.7 Available accessories**

For tables and drawings please refer to paragraph 3.10 (from page 136).

## 3.3

## IE 50

## 3.3.1 Caratteristiche tecniche

## 3.3.1 Technical features

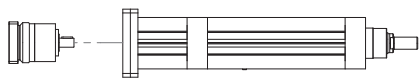
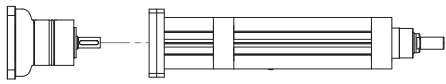
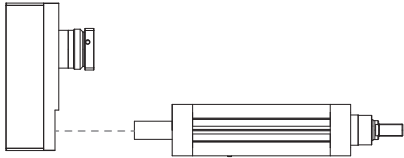
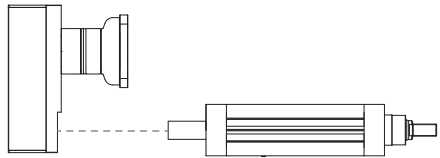

| ISOMOVE IE 50              |  | 5  | 10                                   | 16                                    |
|----------------------------|--|--|--------------------------------------|---------------------------------------|
| <b>P</b>                   | PASSO VITE<br>SCREW LEAD [mm]  | 5  | 10                                   | 16                                    |
| <b>D</b>                   | DIAMETRO VITE<br>SCREW DIAMETER [mm]   | 16   | 16                                   | 16                                    |
| <b>F<sub>d</sub></b>       | CARICO MASSIMO DINAMICO APPLICABILE<br>MAX ADMISSIBLE DYNAMIC LOAD [N]   | 4500*  | 4500*                                | 4000*                                 |
| <b>C<sub>in,max</sub></b>  | PER AVERE $F_a = F_d$<br>TO GET [Nm]   | 3,9  | 7,9                                  | 11,3                                  |
|                            | "CASO 1" / "CASE 1": B00 + D00/D01 [Nm]  | 3,9  | 7,9                                  | 11,3                                  |
|                            | "CASO 2" / "CASE 2": B00 + D02/A01 [Nm]  | $\left[ \frac{4,3}{R} \right] + C_s$   | $\left[ \frac{8,7}{R} \right] + C_s$ | $\left[ \frac{12,5}{R} \right] + C_s$ |
|                            |  | R = rapporto di riduzione del riduttore / rinvio angolare<br>R = planetary / angle bevel gearbox reduction ratio                                     |                                      |                                       |
| <b>C<sub>m,max</sub></b>   | "CASO 3" / "CASE 3": B00 + R00/R01 [Nm]  | $\frac{4,3}{R}$  | $\frac{8,7}{R}$                      | $\frac{12,5}{R}$                      |
|                            |  | R = rapporto di riduzione della trasmissione a cinghia<br>(disponibile R=1 oppure R=2)<br>R = belt gearbox reduction ratio<br>(available R=1 or R=2) |                                      |                                       |
|                            | "CASO 4" / "CASE 4": B00 + R02 [Nm]  | $\frac{4,7}{R}$  | $\frac{9,6}{R}$                      | $\frac{13,8}{R}$                      |
|                            |  | R = rapporto di riduzione del riduttore epicicloidale<br>R = planetary gearbox reduction ratio   |                                      |                                       |
| <b>F<sub>st</sub></b>      | CARICO MASSIMO STATICO APPLICABILE<br>MAX ADMISSIBLE STATIC LOAD [N]   | 4500   | 4500                                 | 4500                                  |
| <b>V<sub>out,max</sub></b> | VELOCITÀ DI TRASLAZIONE MASSIMA IN USCITA / ROTAZIONE<br>MASSIMA VITE RDS [mm/sec]   | 250 / 3000   | 500 / 3000                           | 800 / 3000                            |
| <b>N<sub>in,max</sub></b>  | MAX OUTPUT SPEED / MAX BALLSCREW ROTATING<br>INPUT SPEED [rpm]   |  |                                      |                                       |
| <b>a<sub>max</sub></b>     | ACCELERAZIONE MASSIMA IN USCITA<br>MAX OUTPUT ACCELERATION [m/sec <sup>2</sup> ]   | 1  | 2                                    | 2,5                                   |
| <b>S<sub>max</sub></b>     | CORSA MASSIMA STANDARD<br>MAX STANDARD STROKE [mm]   | 700**  | 700**                                | 700**                                 |
|                            | PESO MODULO BASE CORSA 0 mm / PESO OGNI 100 mm DI CORSA<br>BASIC MODULE WEIGHT FOR 0 mm STROKE / WEIGHT FOR<br>ADDITIONAL 100 mm STROKE [Kg] | 1,5 / 0,5  | 1,5 / 0,5                            | 1,5 / 0,5                             |
| <b>G<sub>s,max</sub></b>   | GIOCO ASSIALE MASSIMO PER CHIOCCIOLA STANDARD<br>MAX AXIAL BACKLASH FOR STANDARD BALLSCREW ASSEMBLY [mm]                                     | 0,04   | 0,07                                 | 0,07                                  |
| <b>G<sub>z</sub></b>       | GIOCO "0" DELLA CHIOCCIOLA<br>"0" BACKLASH BALLSCREW ASSEMBLY  | DISPONIBILE / AVAILABLE  |                                      |                                       |
| <b>L<sub>10,Km</sub></b>   | DURATA<br>LIFETIME [Km]  | VEDI TABELLA / SEE TABLE pg. 52  |                                      |                                       |

\* Per le versioni R00/R01 controllare con i grafici delle pagine 54/55. / For R00/R01 types please check graph at page 54/55.

\*\* Per corse superiori, contattare il nostro servizio tecnico. / For longer strokes please contact our technical dpt.

| ISOMOVE IE 50                                  |  | 5   | 10                          | 16   |
|--|--|---|-----------------------------|--|
| VERSIONI DISPONIBILI<br>AVAILABLE TYPES        |  | D00 / D01 / D02 / R00 / R01 / R02 / A01       |                             |  |
| $F_{a,p}$                                      | POSSIBILE CON IL RIDUTTORE EPICICLOIDALE INDICATO<br>POSSIBLE VALUE WITH THE INDICATED PLANETARY GEARBOX | [N]   | AE050/4500<br>PGII-060/4500 | AE050/4500<br>PGII-060/4500<br>AE050/4500<br>PGII-060/4500 |
|  | POSSIBILE CON IL RINVIO ANGOLARE INDICATO<br>POSSIBLE VALUE WITH THE INDICATED ANGLE BEVEL GEARBOX       | [N]   | ATB065/4500                 | ATB065/4500<br>ATB065/4500                                 |
| ACCESSORI DISPONIBILI<br>AVAILABLE ACCESSORIES |  | VEDI PARAGRAFO / SEE PARAGRAPH 3.10 (pg. 136) |                             |  |

**RIDUTTORI-RINVII "STANDARD SETEC GROUP DISPONIBILI"**  
**"STANDARD SETEC GROUP AVAILABLE" PLANETARY-ANGLE BEVEL GEARBOXES**

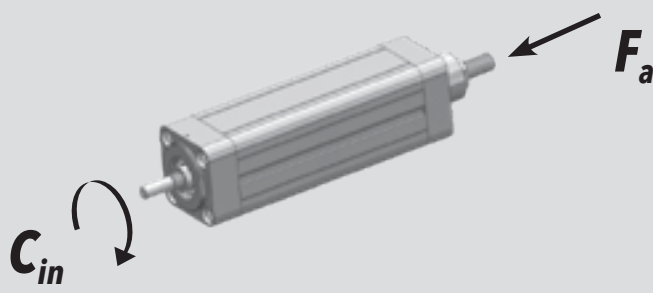
|  |   |   |
|--|---|---|
| <p>TRASMISSIONE COASSIALE<br/>CON RIDUTTORE</p> <p>IN-LINE PLANETARY GEARBOX<br/>STAGE</p>   |  <p><b>AE050</b></p> <p>MODULO BASE<br/>BASIC MODULE</p>   |  <p><b>PGII-060</b></p> <p>MODULO BASE<br/>BASIC MODULE</p> |
| <p>TRASMISSIONE PARALLELA<br/>CON RIDUTTORE</p> <p>PARALLEL BELT GEARBOX<br/>STAGE + IN-LINE PLANETARY<br/>GEARBOX REDUCTION STAGE</p> |  <p><b>AE050</b></p> <p>MODULO BASE<br/>BASIC MODULE</p>   |  <p><b>PGII-060</b></p> <p>MODULO BASE<br/>BASIC MODULE</p> |
| <p>TRASMISSIONE ANGOLARE<br/>CON RINVIO</p> <p>ANGLE BEVEL GEARBOX STAGE</p>   |  <p><b>ATB065</b></p> <p>MODULO BASE<br/>BASIC MODULE</p> |   |

## 3.3.2 Calcolo durata

## 3.3.2 Lifetime calculation



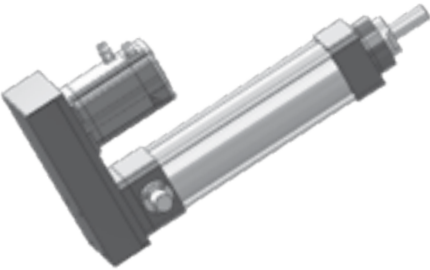
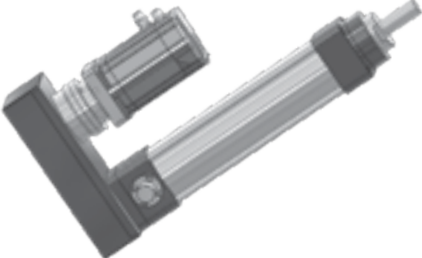
|                                  |   |                                      |
|----------------------------------|---|--------------------------------------|
| <b>IE 50</b><br><b>P = 5 mm</b>  | $L_{10,Km} = \left[ \frac{6640}{F_{eq}} \right]^3 \cdot 5$  | $L_{10,Km} = [Km]$<br>$F_{eq} = [N]$ |
| <b>IE 50</b><br><b>P = 10 mm</b> | $L_{10,Km} = \left[ \frac{6670}{F_{eq}} \right]^3 \cdot 10$ | $L_{10,Km} = [Km]$<br>$F_{eq} = [N]$ |
| <b>IE 50</b><br><b>P = 16 mm</b> | $L_{10,Km} = \left[ \frac{4430}{F_{eq}} \right]^3 \cdot 16$ | $L_{10,Km} = [Km]$<br>$F_{eq} = [N]$ |

3.3.3 Calcolo coppia in ingresso  
al modulo base3.3.3 Torque calculation at basic  
module input shaft

|  |   |                                |
|--|---|--------------------------------|
|  |   |                                |
| <b>IE 50</b><br><b>P = 5 mm</b>  | $C_{in} = \left[ \frac{F_a \cdot 5}{5652} \right]$  | $C_{in} = [Nm]$<br>$F_a = [N]$ |
| <b>IE 50</b><br><b>P = 10 mm</b>   | $C_{in} = \left[ \frac{F_a \cdot 10}{5652} \right]$ | $C_{in} = [Nm]$<br>$F_a = [N]$ |
| <b>IE 50</b><br><b>P = 16 mm</b>   | $C_{in} = \left[ \frac{F_a \cdot 16}{5652} \right]$ | $C_{in} = [Nm]$<br>$F_a = [N]$ |

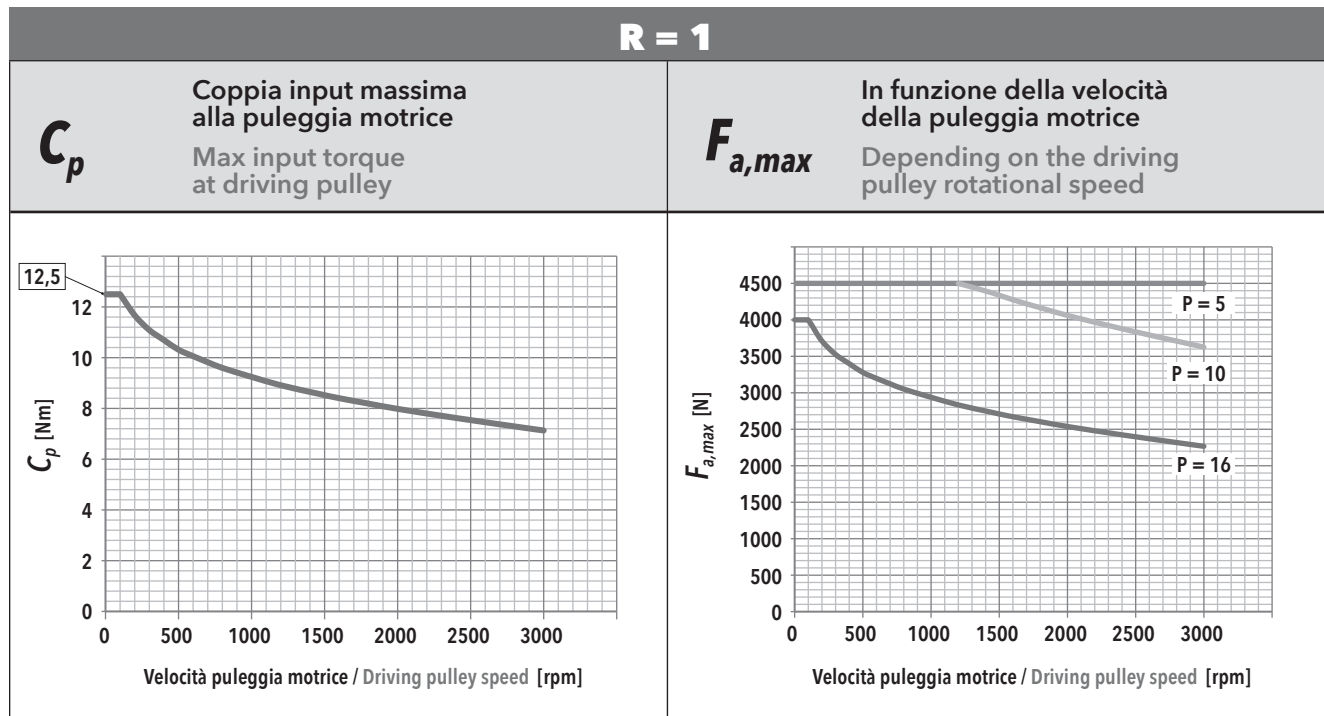
3.3.4 Calcolo coppia motore

3.3.4 Motor torque calculation

|                                 |   |
|---------------------------------|---|
| <p>CASO / CASE<br/><b>1</b></p> | <p><b>ISOMOVE B00 + D00 / D01</b></p>  $C_m = C_{in} \quad [Nm]$   |
| <p>CASO / CASE<br/><b>2</b></p> | <p><b>ISOMOVE B00 + D02 / A01</b></p>  $C_m = \left[ \frac{C_{in}}{R \cdot \eta} \right] + C_s \quad [Nm]$ <p><i>R</i> = rapporto di riduzione riduttore / rinvio<br/>planetary / angle bevel gearbox reduction ratio<br/><i>η</i> = rendimento meccanico / mechanical efficiency = 0,90</p>                              |
| <p>CASO / CASE<br/><b>3</b></p> | <p><b>ISOMOVE B00 + R00 / R01</b></p>  $C_m = \left[ \frac{C_{in}}{R \cdot \eta} \right] \quad [Nm]$ <p><i>R</i> = rapporto di riduzione trasmissione a cinghia, disponibile<br/>R=1 o R=2<br/>belt gearbox reduction ratio, available R=1 or R=2<br/><i>η</i> = rendimento meccanico / mechanical efficiency = 0,90</p> |
| <p>CASO / CASE<br/><b>4</b></p> | <p><b>ISOMOVE B00 + R02</b></p>  $C_m = \left[ \frac{C_{in}}{R \cdot \eta} \right] + C_s \quad [Nm]$ <p><i>R</i> = rapporto di riduzione riduttore epicicloidale<br/>planetary gearbox reduction ratio<br/><i>η</i> = rendimento meccanico / mechanical efficiency = 0,81</p>  |

**3.3.5 Potenza in ingresso alla trasmissione a cinghia (versione R)**

**3.3.5 Mechanical input power at belt gear stage (R type)**



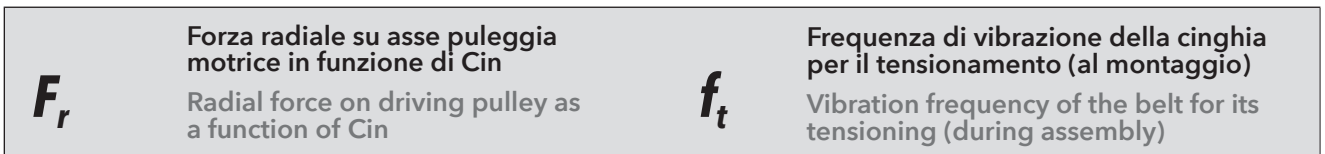
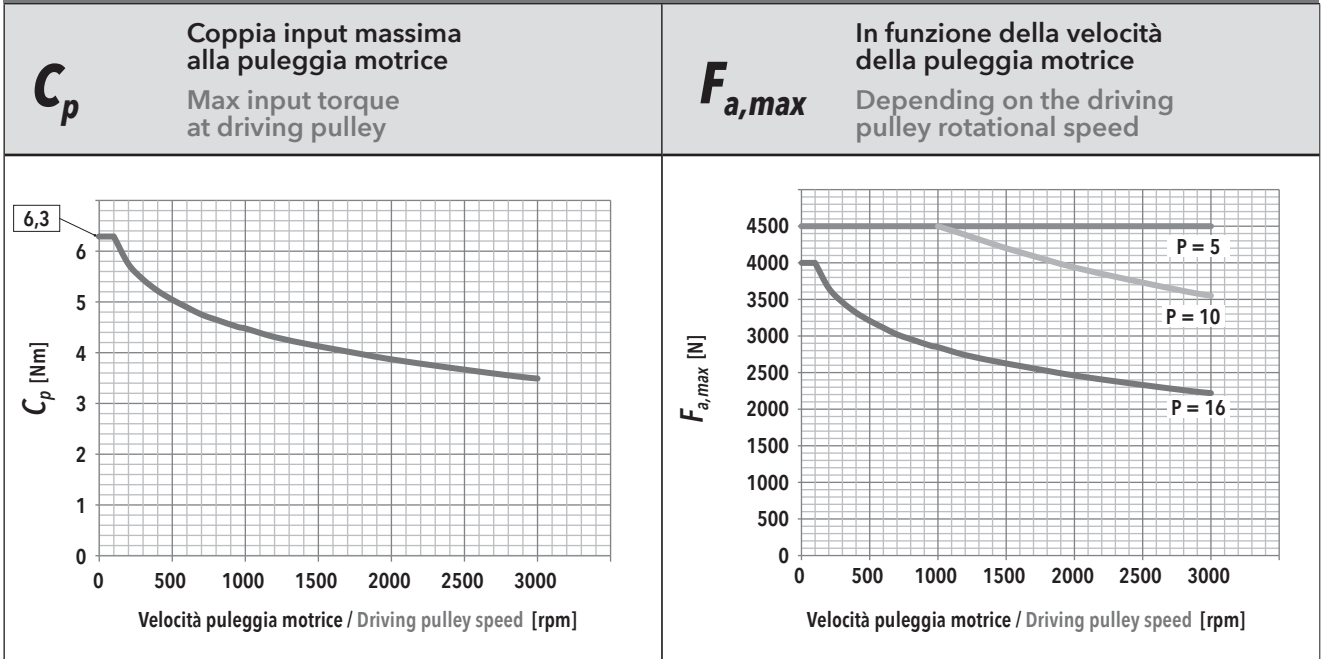
**$F_r$**  Forza radiale su asse puleggia motrice in funzione di  $C_{in}$   
Radial force on driving pulley as a function of  $C_{in}$

**$f_t$**  Frequenza di vibrazione della cinghia per il tensionamento (al montaggio)  
Vibration frequency of the belt for its tensioning (during assembly)

| IE 50 - PASSO / PITCH 5 |            |                  |     |     | IE 50 - PASSO / PITCH 10 |           |            |                  |     | IE 50 - PASSO / PITCH 16 |     |           |            |                  |     |     |     |
|-------------------------|------------|------------------|-----|-----|--------------------------|-----------|------------|------------------|-----|--------------------------|-----|-----------|------------|------------------|-----|-----|-----|
| $F_a$ [N]               |            | $V_{out}$ [mm/s] |     |     |                          | $F_a$ [N] |            | $V_{out}$ [mm/s] |     |                          |     | $F_a$ [N] |            | $V_{out}$ [mm/s] |     |     |     |
|                         |            | 25               | 100 | 175 | 250                      |           |            | 50               | 200 | 350                      | 500 |           |            | 80               | 320 | 560 | 800 |
| 4500                    | $F_r$ [N]  | 211              | 212 | 214 | 217                      | 4500      | $F_r$ [N]  | 422              |     |                          |     | 4000      | $F_r$ [N]  | 601              |     |     |     |
|                         | $f_t$ [Hz] | 226              | 227 | 228 | 229                      |           | $f_t$ [Hz] | 320              |     |                          |     |           | $f_t$ [Hz] | 382              |     |     |     |
| 4050                    | $F_r$ [N]  | 190              | 191 | 193 | 196                      | 4050      | $F_r$ [N]  | 380              | 381 |                          |     | 3600      | $F_r$ [N]  | 541              | 542 |     |     |
|                         | $f_t$ [Hz] | 215              | 215 | 216 | 218                      |           | $f_t$ [Hz] | 304              | 304 |                          |     |           | $f_t$ [Hz] | 362              | 362 |     |     |
| 3600                    | $F_r$ [N]  | 169              | 170 | 172 | 175                      | 3600      | $F_r$ [N]  | 338              | 339 | 341                      |     | 3200      | $F_r$ [N]  | 481              | 482 |     |     |
|                         | $f_t$ [Hz] | 202              | 203 | 204 | 206                      |           | $f_t$ [Hz] | 286              | 287 | 287                      |     |           | $f_t$ [Hz] | 341              | 342 |     |     |
| 3150                    | $F_r$ [N]  | 148              | 149 | 151 | 154                      | 3150      | $F_r$ [N]  | 296              | 297 | 299                      | 301 | 2800      | $F_r$ [N]  | 421              | 421 | 423 |     |
|                         | $f_t$ [Hz] | 189              | 190 | 191 | 193                      |           | $f_t$ [Hz] | 268              | 268 | 269                      | 270 |           | $f_t$ [Hz] | 319              | 320 | 320 |     |
| 2700                    | $F_r$ [N]  | 127              | 128 | 130 | 133                      | 2700      | $F_r$ [N]  | 254              | 254 | 256                      | 259 | 2400      | $F_r$ [N]  | 361              | 361 | 363 | 366 |
|                         | $f_t$ [Hz] | 175              | 176 | 177 | 179                      |           | $f_t$ [Hz] | 248              | 248 | 249                      | 251 |           | $f_t$ [Hz] | 296              | 296 | 297 | 298 |
| 2250                    | $F_r$ [N]  | 106              | 107 | 108 | 111                      | 2250      | $F_r$ [N]  | 211              | 212 | 214                      | 217 | 2000      | $F_r$ [N]  | 300              | 301 | 303 | 306 |
|                         | $f_t$ [Hz] | 160              | 161 | 162 | 164                      |           | $f_t$ [Hz] | 226              | 227 | 228                      | 229 |           | $f_t$ [Hz] | 270              | 270 | 271 | 272 |
| 1800                    | $F_r$ [N]  | 85               | 85  | 87  | 90                       | 1800      | $F_r$ [N]  | 169              | 170 | 172                      | 175 | 1600      | $F_r$ [N]  | 240              | 241 | 243 | 246 |
|                         | $f_t$ [Hz] | 143              | 144 | 145 | 148                      |           | $f_t$ [Hz] | 202              | 203 | 204                      | 206 |           | $f_t$ [Hz] | 241              | 242 | 243 | 244 |
| 1350                    | $F_r$ [N]  | 63               | 64  | 66  | 69                       | 1350      | $F_r$ [N]  | 127              | 128 | 130                      | 133 | 1200      | $F_r$ [N]  | 180              | 181 | 183 | 186 |
|                         | $f_t$ [Hz] | 124              | 125 | 127 | 129                      |           | $f_t$ [Hz] | 175              | 176 | 177                      | 179 |           | $f_t$ [Hz] | 209              | 210 | 211 | 212 |
| 900                     | $F_r$ [N]  | 42               | 43  | 45  | 48                       | 900       | $F_r$ [N]  | 85               | 85  | 87                       | 90  | 800       | $F_r$ [N]  | 120              | 121 | 123 | 126 |
|                         | $f_t$ [Hz] | 101              | 102 | 105 | 108                      |           | $f_t$ [Hz] | 143              | 144 | 145                      | 148 |           | $f_t$ [Hz] | 171              | 171 | 173 | 175 |
| 450                     | $F_r$ [N]  | 21               | 22  | 24  | 27                       | 450       | $F_r$ [N]  | 42               | 43  | 45                       | 48  | 400       | $F_r$ [N]  | 60               | 61  | 63  | 66  |
|                         | $f_t$ [Hz] | 72               | 73  | 76  | 81                       |           | $f_t$ [Hz] | 101              | 102 | 105                      | 108 |           | $f_t$ [Hz] | 121              | 122 | 123 | 126 |



**R = 2**



| IE 50 - PASSO / PITCH 5 |            |                  |     |      | IE 50 - PASSO / PITCH 10 |           |            |                  |     | IE 50 - PASSO / PITCH 16 |            |           |            |                  |     |     |     |
|-------------------------|------------|------------------|-----|------|--------------------------|-----------|------------|------------------|-----|--------------------------|------------|-----------|------------|------------------|-----|-----|-----|
| $F_a$ [N]               |            | $V_{out}$ [mm/s] |     |      |                          | $F_a$ [N] |            | $V_{out}$ [mm/s] |     |                          |            | $F_a$ [N] |            | $V_{out}$ [mm/s] |     |     |     |
|                         |            | 12,5             | 50  | 87,5 | 125                      |           |            | 25               | 100 | 175                      | 250        |           |            | 40               | 160 | 280 | 400 |
| 4500                    | $F_r$ [N]  | 182              | 182 | 183  | 184                      | 4500      | $F_r$ [N]  | 364              | 364 |                          |            | 4000      | $F_r$ [N]  |                  |     |     |     |
|                         | $f_t$ [Hz] | 200              | 200 | 200  | 201                      |           | $f_t$ [Hz] | 283              | 283 |                          |            |           | $f_t$ [Hz] |                  |     |     |     |
| 4050                    | $F_r$ [N]  | 164              | 164 | 165  | 166                      | 4050      | $F_r$ [N]  | 328              | 328 | 329                      |            | 3600      | $F_r$ [N]  |                  |     |     |     |
|                         | $f_t$ [Hz] | 190              | 190 | 190  | 191                      |           | $f_t$ [Hz] | 268              | 268 | 268                      | $f_t$ [Hz] |           |            |                  |     |     |     |
| 3600                    | $F_r$ [N]  | 146              | 146 | 147  | 148                      | 3600      | $F_r$ [N]  | 291              | 291 | 292                      | 293        | 3200      | $F_r$ [N]  | 414              |     |     |     |
|                         | $f_t$ [Hz] | 179              | 179 | 179  | 180                      |           | $f_t$ [Hz] | 253              | 253 | 254                      | 254        |           | $f_t$ [Hz] | 301              |     |     |     |
| 3150                    | $F_r$ [N]  | 127              | 128 | 129  | 130                      | 3150      | $F_r$ [N]  | 255              | 255 | 256                      | 257        | 2800      | $F_r$ [N]  | 363              | 363 |     |     |
|                         | $f_t$ [Hz] | 167              | 167 | 168  | 169                      |           | $f_t$ [Hz] | 236              | 236 | 237                      | 237        |           | $f_t$ [Hz] | 282              | 282 |     |     |
| 2700                    | $F_r$ [N]  | 109              | 109 | 110  | 111                      | 2700      | $F_r$ [N]  | 218              | 218 | 219                      | 221        | 2400      | $F_r$ [N]  | 311              | 311 | 312 |     |
|                         | $f_t$ [Hz] | 155              | 155 | 156  | 156                      |           | $f_t$ [Hz] | 219              | 219 | 220                      | 220        |           | $f_t$ [Hz] | 261              | 261 | 262 |     |
| 2250                    | $F_r$ [N]  | 91               | 92  | 92   | 93                       | 2250      | $F_r$ [N]  | 182              | 182 | 184                      | 184        | 2000      | $F_r$ [N]  | 259              | 259 | 261 | 261 |
|                         | $f_t$ [Hz] | 141              | 141 | 142  | 143                      |           | $f_t$ [Hz] | 200              | 200 | 201                      | 201        |           | $f_t$ [Hz] | 238              | 238 | 239 | 239 |
| 1800                    | $F_r$ [N]  | 73               | 73  | 74   | 75                       | 1800      | $F_r$ [N]  | 146              | 147 | 148                      | 148        | 1600      | $F_r$ [N]  | 207              | 207 | 209 | 209 |
|                         | $f_t$ [Hz] | 126              | 127 | 127  | 128                      |           | $f_t$ [Hz] | 179              | 179 | 180                      | 180        |           | $f_t$ [Hz] | 213              | 214 | 214 | 214 |
| 1350                    | $F_r$ [N]  | 55               | 55  | 56   | 57                       | 1350      | $F_r$ [N]  | 109              | 110 | 111                      | 111        | 1200      | $F_r$ [N]  | 155              | 155 | 157 | 157 |
|                         | $f_t$ [Hz] | 109              | 110 | 111  | 112                      |           | $f_t$ [Hz] | 155              | 154 | 156                      | 156        |           | $f_t$ [Hz] | 185              | 185 | 186 | 186 |
| 900                     | $F_r$ [N]  | 36               | 37  | 37   | 38                       | 900       | $F_r$ [N]  | 73               | 73  | 75                       | 75         | 800       | $F_r$ [N]  | 104              | 105 | 106 | 106 |
|                         | $f_t$ [Hz] | 89               | 89  | 90   | 92                       |           | $f_t$ [Hz] | 126              | 126 | 128                      | 128        |           | $f_t$ [Hz] | 151              | 151 | 152 | 152 |
| 450                     | $F_r$ [N]  | 18               | 19  | 20   | 20                       | 450       | $F_r$ [N]  | 36               | 36  | 37                       | 38         | 400       | $F_r$ [N]  | 52               | 53  | 54  | 54  |
|                         | $f_t$ [Hz] | 63               | 64  | 65   | 67                       |           | $f_t$ [Hz] | 89               | 89  | 90                       | 92         |           | $f_t$ [Hz] | 107              | 108 | 109 | 109 |

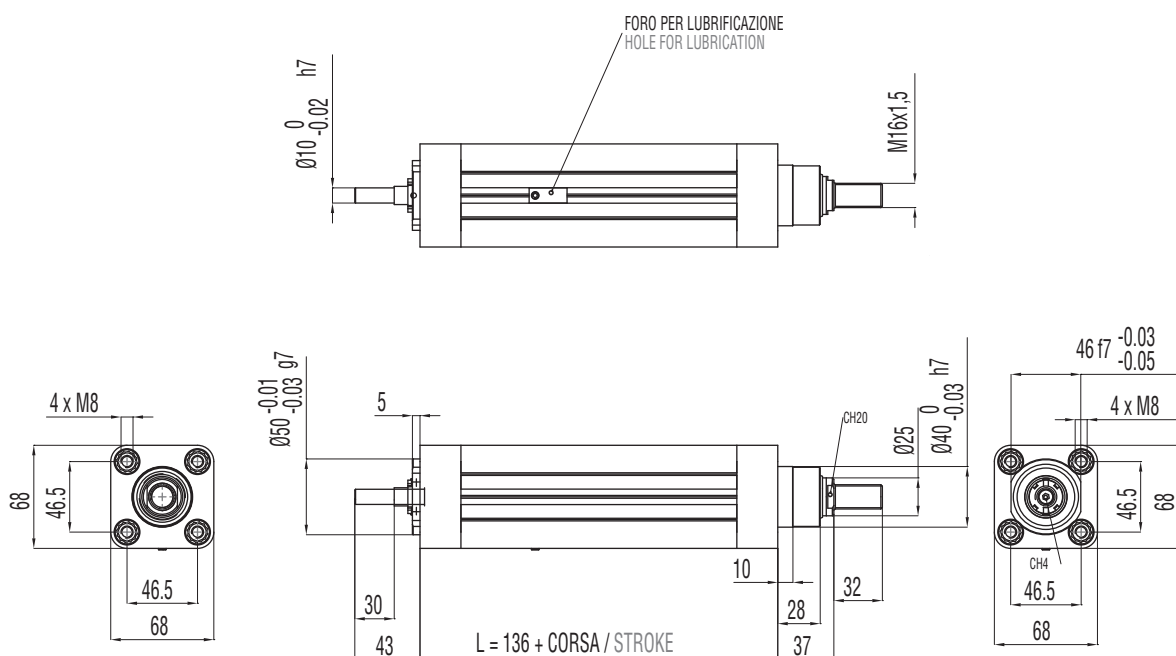
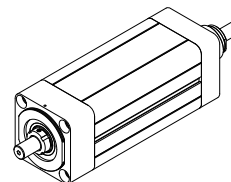
3.3.6 Caratteristiche dimensionali

3.3.6 Overall dimensions

NOTA: Dati categorie motori / riduttori / rinvi al capitolo 4.

REMARK: Motors / Planetary / Angle bevel gearbox categories data at chapter 4.

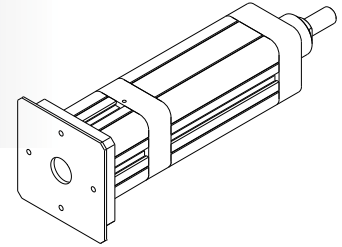
**B00**  
MODULO BASE  
BASIC MODULE



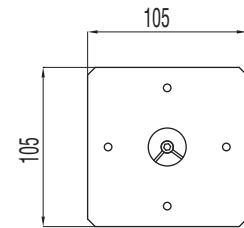
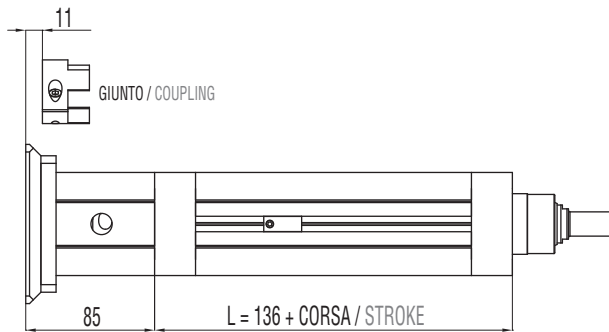
**B00 + D00**

MODULO BASE + TRASMISSIONE COASSIALE PER MOTORE CUSTOM  
(SENZA RIDUTTORE)

**BASIC MODULE + CUSTOM IN-LINE TRANSMISSION W/O REDUCTION STAGE  
FOR CUSTOM MOTORS**



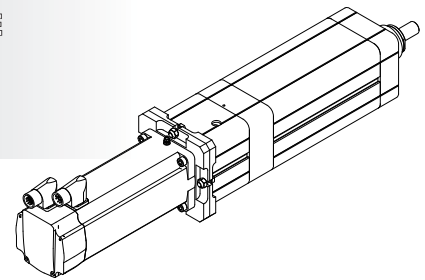
|  | MASSIME DIMENSIONI INTERFACCIA<br>MAX INTERFACE DIMENSIONS |           |                 |           |
|--|--|-----------|-----------------|-----------|
|  | TAGLIA GIUNTO<br>COUPLING SIZE                             | A<br>[mm] | B<br>[mm]       | C<br>[mm] |
|  | 20   | 22 max    | 28 min / 40 max | 100 max   |



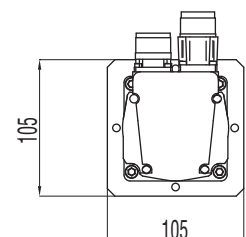
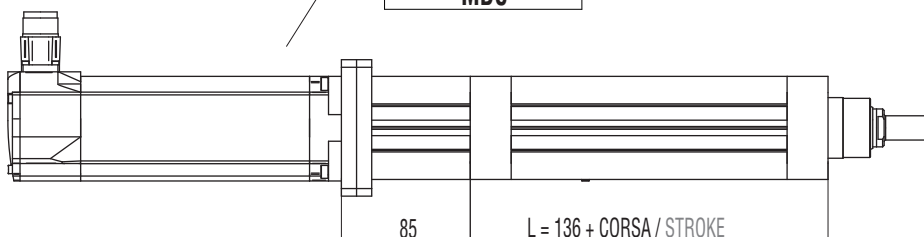
**B00 + D01**

MODULO BASE + TRASMISSIONE COASSIALE PER MOTORE COMPATIBILE  
(SENZA RIDUTTORE)

**BASIC MODULE + IN-LINE TRANSMISSION W/O REDUCTION STAGE FOR  
COMPATIBLE MOTORS**



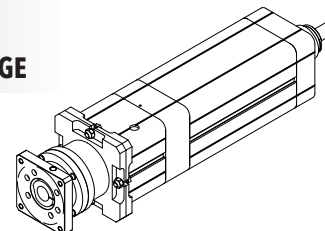
- |            |
|------------|
| MOTORE     |
| MOTOR      |
| <b>MCA</b> |
| <b>MCB</b> |
| <b>MCC</b> |
| <b>MCD</b> |
| <b>MDA</b> |
| <b>MDB</b> |
| <b>MDC</b> |



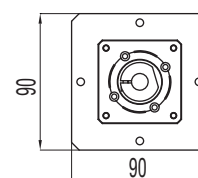
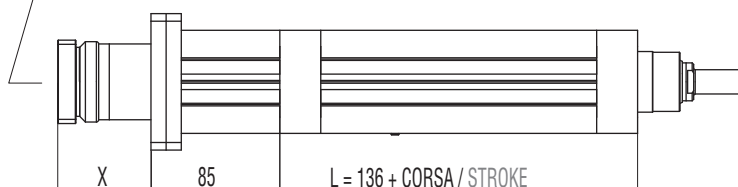
**B00 + D02**

MODULO BASE + RIDUTTORE EPICICLOIDALE COASSIALE COMPATIBILE

**BASIC MODULE + IN-LINE COMPATIBLE PLANETARY GEARBOX REDUCTION STAGE**



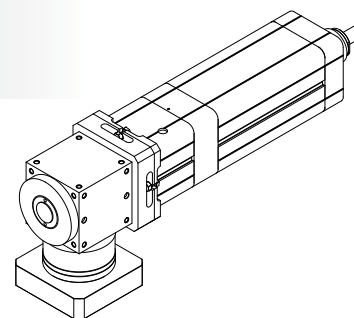
RIDUTTORE  
PLANETARY GEARBOX  
**GBA**  
**GBB**



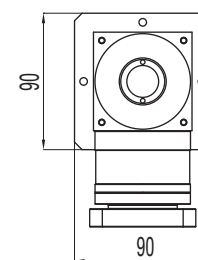
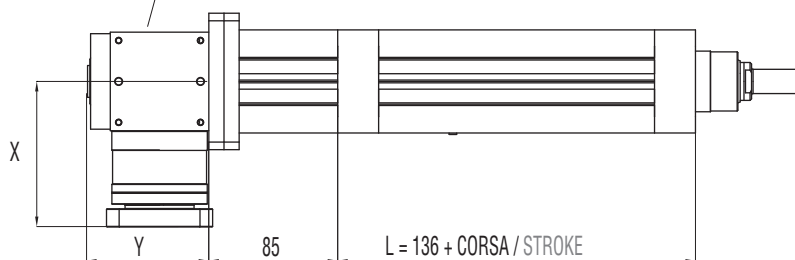
**B00 + A01**

MODULO BASE + RINVIO ANGOLARE COMPATIBILE

**BASIC MODULE + COMPATIBLE ANGLE BEVEL GEARBOX STAGE**



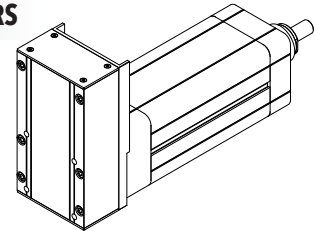
RINVIO  
BEVEL GEARBOX  
**AAA**



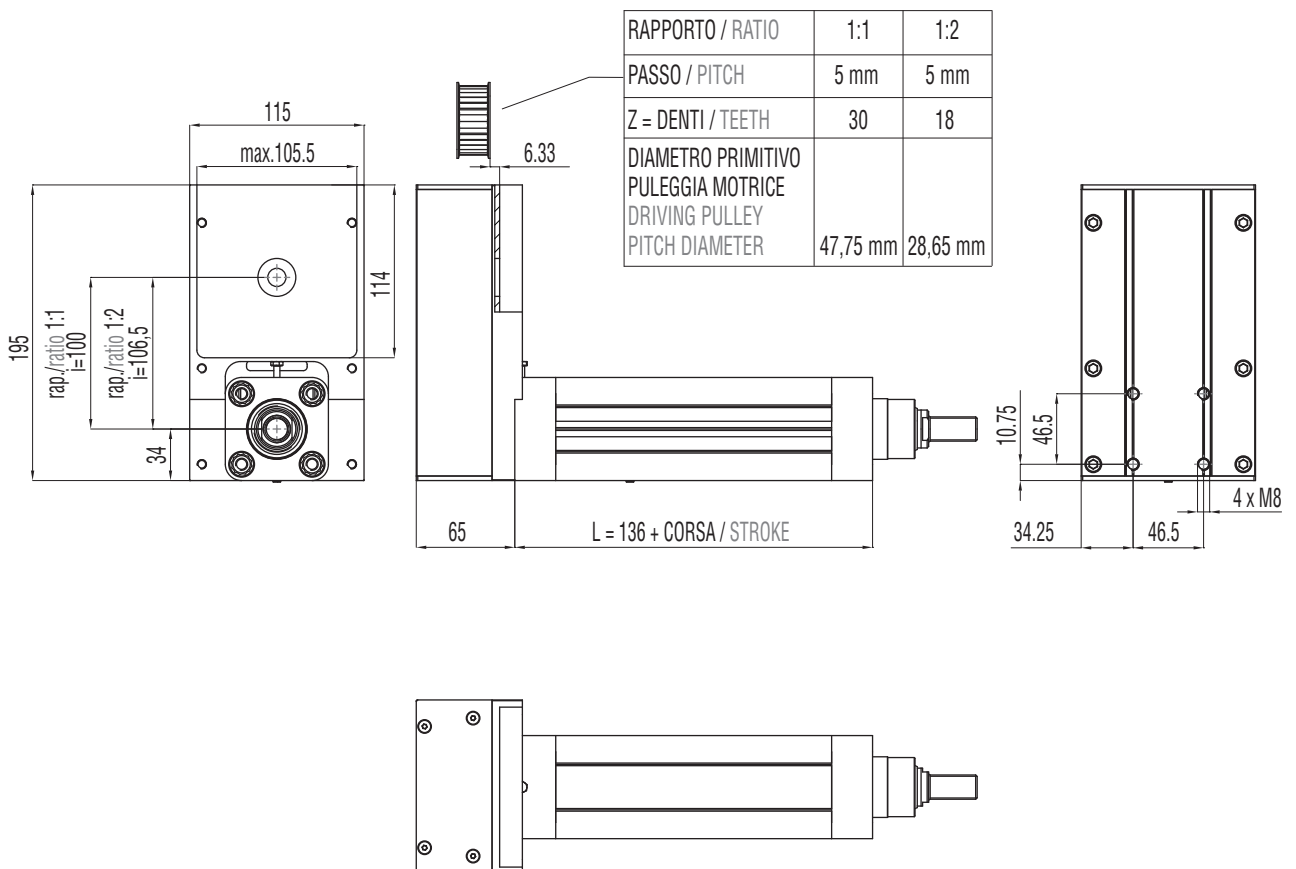
**B00 + R00**

MODULO BASE + TRASMISSIONE A CINGHIA IN PARALLELO PER MOTORE CUSTOM

BASIC MODULE + PARALLEL CUSTOM BELT GEARBOX STAGE FOR CUSTOM MOTORS



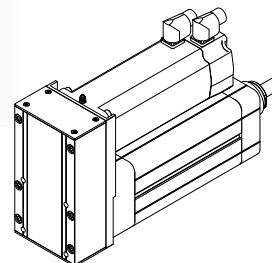
|              | DIMENSIONI LIMITI INTERFACCIA<br>MAX INTERFACE DIMENSIONS |                 |         |
|--------------|---|-----------------|---------|
|              | A   | B               | C       |
|              | [mm]  | [mm]            | [mm]    |
| <b>R=1:1</b> | 16 max  | 28 min / 42 max | 100 max |
| <b>R=1:2</b> | 13 max  | 30 min / 40 max | 100 max |



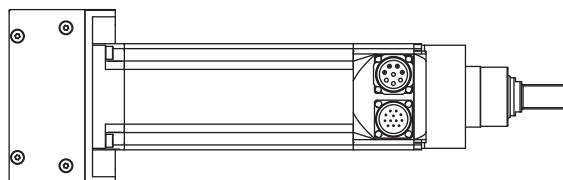
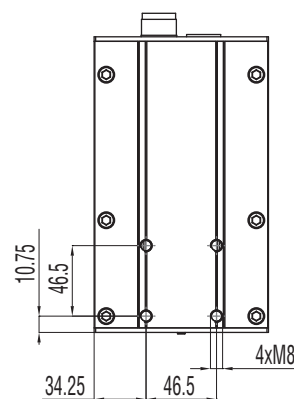
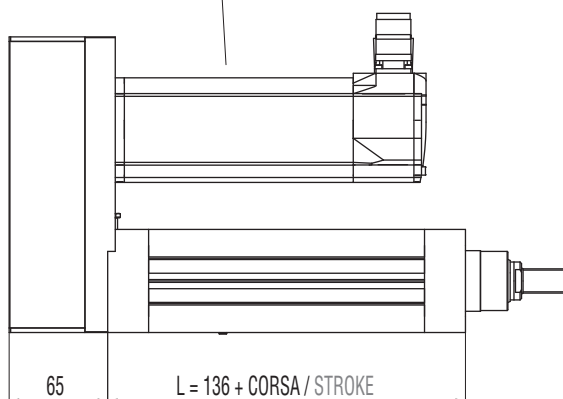
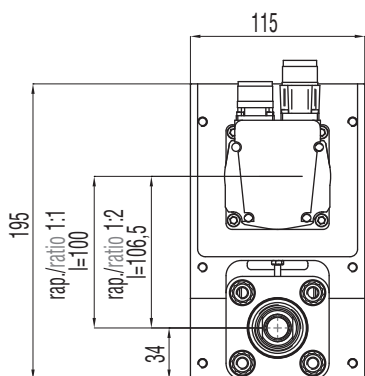
**B00 + R01**

MODULO BASE + TRASMISSIONE A CINGHIA IN PARALLELO PER MOTORE COMPATIBILE

BASIC MODULE + PARALLEL BELT GEARBOX STAGE FOR COMPATIBLE MOTORS



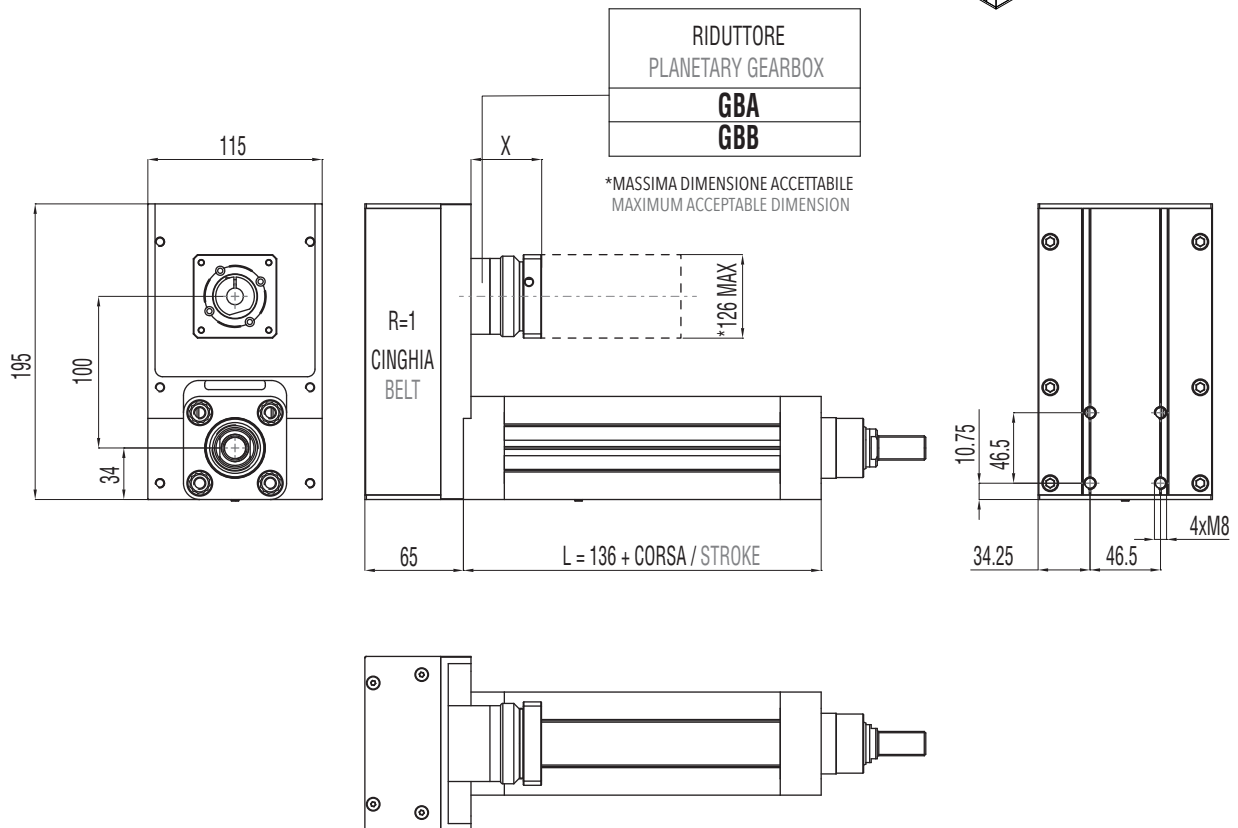
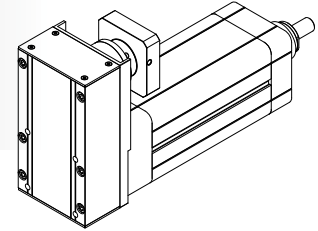
|            |
|------------|
| MOTORE     |
| MOTOR      |
| <b>MCA</b> |
| <b>MCB</b> |
| <b>MCC</b> |
| <b>MCD</b> |
| <b>MDA</b> |
| <b>MDB</b> |
| <b>MDC</b> |



**B00 + R02**

MODULO BASE + TRASMISSIONE A CINGHIA IN PARALLELO +  
RIDUTTORE EPICICLOIDALE COMPATIBILE

**BASIC MODULE + PARALLEL BELT GEARBOX STAGE +  
IN-LINE COMPATIBLE PLANETARY GEARBOX REDUCTION STAGE**



**3.3.7 Accessori disponibili**

Per le tabelle e i disegni tecnici degli accessori disponibili fare riferimento al paragrafo 3.10 (da pag. 136).

**3.3.7 Available accessories**

For tables and drawings please refer to paragraph 3.10 (from page 136).

## 3.4

## IE 63

## 3.4.1 Caratteristiche tecniche

## 3.4.1 Technical features

| ISOMOVE IE 63              |  | 5  | 10                                    | 20                                    |
|----------------------------|--|--|---------------------------------------|---------------------------------------|
| <b>P</b>                   | PASSO VITE<br>SCREW LEAD [mm]  | 5  | 10                                    | 20                                    |
| <b>D</b>                   | DIAMETRO VITE<br>SCREW DIAMETER [mm]   | 20   | 20                                    | 20                                    |
| <b>F<sub>d</sub></b>       | CARICO MASSIMO DINAMICO APPLICABILE<br>MAX ADMISSIBLE DYNAMIC LOAD [N]   | 7500*  | 7500*                                 | 7500*                                 |
| <b>C<sub>in,max</sub></b>  | PER AVERE $F_a = F_d$<br>TO GET [Nm]   | 6,6  | 12,2                                  | 26,5                                  |
|                            | "CASO 1" / "CASE 1": B00 + D00/D01 [Nm]  | 6,6  | 12,2                                  | 26,5                                  |
|                            | "CASO 2" / "CASE 2": B00 + D02/A01 [Nm]  | $\left[ \frac{7,3}{R} \right] + C_s$   | $\left[ \frac{13,5}{R} \right] + C_s$ | $\left[ \frac{29,4}{R} \right] + C_s$ |
|                            |  | R = rapporto di riduzione del riduttore / rinvio angolare<br>R = planetary / angle bevel gearbox reduction ratio                                     |                                       |                                       |
| <b>C<sub>m,max</sub></b>   | "CASO 3" / "CASE 3": B00 + R00/R01 [Nm]  | $\frac{7,3}{R}$  | $\frac{13,5}{R}$                      | $\frac{29,4}{R}$                      |
|                            |  | R = rapporto di riduzione della trasmissione a cinghia<br>(disponibile R=1 oppure R=2)<br>R = belt gearbox reduction ratio<br>(available R=1 or R=2) |                                       |                                       |
|                            | "CASO 4" / "CASE 4": B00 + R02 [Nm]  | $\frac{8,1}{R}$  | $\frac{15}{R}$                        | $\frac{32,6}{R}$                      |
|                            |  | R = rapporto di riduzione del riduttore epicicloidale<br>R = planetary gearbox reduction ratio   |                                       |                                       |
| <b>F<sub>st</sub></b>      | CARICO MASSIMO STATICO APPLICABILE<br>MAX ADMISSIBLE STATIC LOAD [N]   | 7500   | 7500                                  | 7500                                  |
| <b>V<sub>out,max</sub></b> | VELOCITÀ DI TRASLAZIONE MASSIMA IN USCITA / ROTAZIONE<br>MASSIMA VITE RDS [mm/sec]   | 250/3000   | 500/3000                              | 1000/3000                             |
| <b>N<sub>in,max</sub></b>  | MAX OUTPUT SPEED / MAX BALLSCREW ROTATING<br>INPUT SPEED [rpm]   |  |                                       |                                       |
| <b>a<sub>max</sub></b>     | ACCELERAZIONE MASSIMA IN USCITA<br>MAX OUTPUT ACCELERATION [m/sec <sup>2</sup> ]   | 1  | 2                                     | 3                                     |
| <b>S<sub>max</sub></b>     | CORSA MASSIMA STANDARD<br>MAX STANDARD STROKE [mm]   | 800**  | 800**                                 | 800**                                 |
|                            | PESO MODULO BASE CORSA 0 mm / PESO OGNI 100 mm DI CORSA<br>BASIC MODULE WEIGHT FOR 0 mm STROKE / WEIGHT FOR<br>ADDITIONAL 100 mm STROKE [Kg] | 2,6 / 0,8  | 2,6 / 0,8                             | 2,6 / 0,8                             |
| <b>G<sub>s,max</sub></b>   | GIOCO ASSIALE MASSIMO PER CHIOCCIOLA STANDARD<br>MAX AXIAL BACKLASH FOR STANDARD BALLSCREW ASSEMBLY mm                                       | 0,06   | 0,02                                  | 0,06                                  |
| <b>G<sub>z</sub></b>       | GIOCO "0" DELLA CHIOCCIOLA<br>"0" BACKLASH BALLSCREW ASSEMBLY  | DISPONIBILE / AVAILABLE  |                                       |                                       |
| <b>L<sub>10,Km</sub></b>   | DURATA<br>LIFETIME Km  | VEDI TABELLA / SEE TABLE pag. 64   |                                       |                                       |

\* Per le versioni R00/R01 controllare con i grafici delle pagine 66/67. / For R00/R01 types please check graph at pages 66/67.



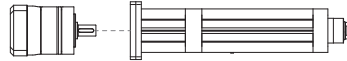




\*\* Per corse superiori, contattare il nostro servizio tecnico. / For longer strokes please contact our technical dpt.



| ISOMOVE IE 63                                  |  | 5   | 10   | 20   |   |
|--|--|---|--|--|---|
| VERSIONI DISPONIBILI<br>AVAILABLE TYPES        |  | D00 / D01 / D02 / R00 / R01 / R02 / A01       |  |  |   |
| $F_{a,p}$                                      | POSSIBILE CON IL RIDUTTORE EPICICLOIDALE INDICATO<br>POSSIBLE VALUE WITH THE INDICATED PLANETARY GEARBOX | [N]   | AE070/7500<br>PGII-060/7500<br>PGII-080/7500 | AE070/7500<br>PGII-060/7500<br>PGII-080/7500 | AE070/7500<br>PGII-060/5700***<br>PGII-080/7500 |
|  | POSSIBILE CON IL RINVIO ANGOLARE INDICATO<br>POSSIBLE VALUE WITH THE INDICATED ANGLE BEVEL GEARBOX       | [N]   | ATB075/7500                                  | ATB075/4500                                  | ATB065/7500                                     |
| ACCESSORI DISPONIBILI<br>AVAILABLE ACCESSORIES |  | VEDI PARAGRAFO / SEE PARAGRAPH 3.10 (pg. 136) |  |  |   |

\*\*\* È il valore massimo ottenibile con il rapporto di riduzione disponibile avente il minore valore di coppia erogabile.  
It is the max obtainable value with the available on tables reduction ratio which has the lowest value of nominal output torque.

**RIDUTTORI-RINVII "STANDARD SETEC GROUP DISPONIBILI"**  
**"STANDARD SETEC GROUP AVAILABLE" PLANETARY-ANGLE BEVEL GEARBOXES**

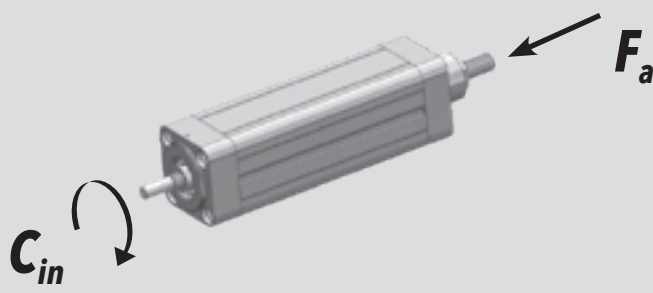
|  |   |   |  |
|--|---|---|--|
| <p>TRASMISSIONE COASSIALE CON RIDUTTORE</p> <p>IN-LINE PLANETARY GEARBOX STAGE</p>   |  <p><b>AE070</b></p> <p>MODULO BASE<br/>BASIC MODULE</p>   |  <p><b>PGII-060</b></p> <p>MODULO BASE<br/>BASIC MODULE</p> |  <p><b>PGII-080</b></p> <p>MODULO BASE<br/>BASIC MODULE</p> |
| <p>TRASMISSIONE PARALLELA CON RIDUTTORE</p> <p>PARALLEL BELT GEARBOX STAGE + IN-LINE PLANETARY GEARBOX REDUCTION STAGE</p> |  <p><b>AE070</b></p> <p>MODULO BASE<br/>BASIC MODULE</p>   |  <p><b>PGII-060</b></p> <p>MODULO BASE<br/>BASIC MODULE</p> |  <p><b>PGII-080</b></p> <p>MODULO BASE<br/>BASIC MODULE</p> |
| <p>TRASMISSIONE ANGOLARE CON RINVIO</p> <p>ANGLE BEVEL GEARBOX STAGE</p>   |  <p><b>ATB075</b></p> <p>MODULO BASE<br/>BASIC MODULE</p> |   |  |

## 3.4.2 Calcolo durata

## 3.4.2 Lifetime calculation



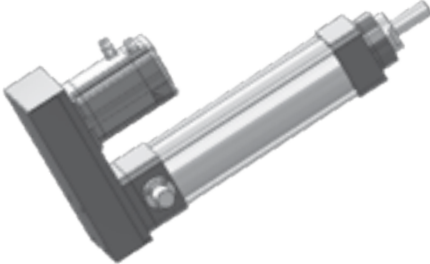
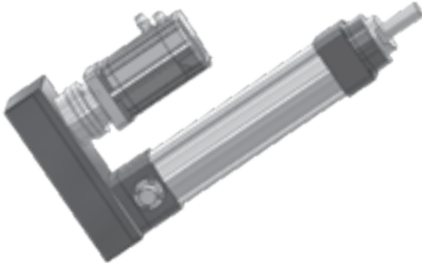
|                                  |  |                                      |
|----------------------------------|--|--------------------------------------|
| <b>IE 63</b><br><b>P = 5 mm</b>  | $L_{10,Km} = \left[ \frac{12100}{F_{eq}} \right]^3 \cdot 5$  | $L_{10,Km} = [Km]$<br>$F_{eq} = [N]$ |
| <b>IE 63</b><br><b>P = 10 mm</b> | $L_{10,Km} = \left[ \frac{9910}{F_{eq}} \right]^3 \cdot 10$  | $L_{10,Km} = [Km]$<br>$F_{eq} = [N]$ |
| <b>IE 63</b><br><b>P = 20 mm</b> | $L_{10,Km} = \left[ \frac{14700}{F_{eq}} \right]^3 \cdot 20$ | $L_{10,Km} = [Km]$<br>$F_{eq} = [N]$ |

3.4.3 Calcolo coppia in ingresso  
al modulo base3.4.3 Torque calculation at basic  
module input shaft

|  |   |                                |
|--|---|--------------------------------|
|  |   |                                |
| <b>IE 63</b><br><b>P = 5 mm</b>  | $C_{in} = \left[ \frac{F_a \cdot 5}{5652} \right]$  | $C_{in} = [Nm]$<br>$F_a = [N]$ |
| <b>IE 63</b><br><b>P = 10 mm</b>   | $C_{in} = \left[ \frac{F_a \cdot 10}{5652} \right]$ | $C_{in} = [Nm]$<br>$F_a = [N]$ |
| <b>IE 63</b><br><b>P = 20 mm</b>   | $C_{in} = \left[ \frac{F_a \cdot 20}{5652} \right]$ | $C_{in} = [Nm]$<br>$F_a = [N]$ |

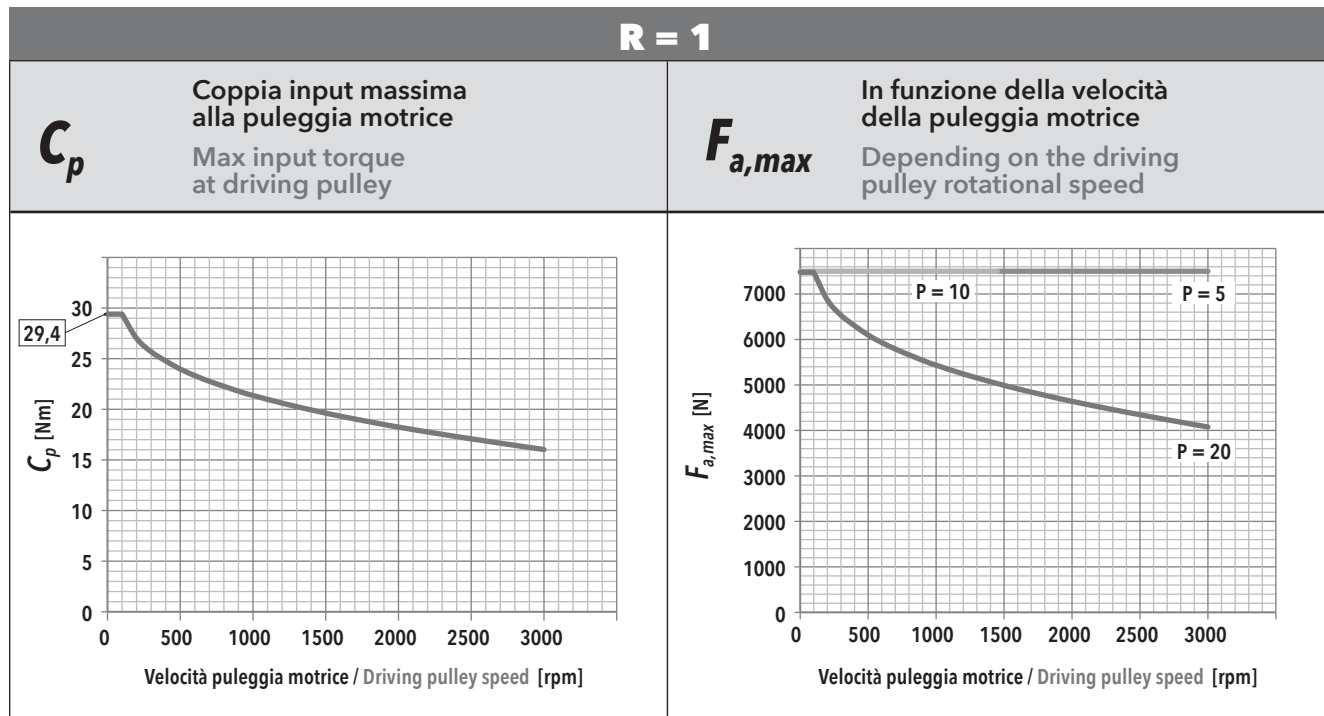
3.4.4 Calcolo coppia motore

3.4.4 Motor torque calculation

|                                 |   |
|---------------------------------|---|
| <p>CASO / CASE<br/><b>1</b></p> | <p><b>ISOMOVE B00 + D00 / D01</b></p>  $C_m = C_{in} \quad [Nm]$   |
| <p>CASO / CASE<br/><b>2</b></p> | <p><b>ISOMOVE B00 + D02 / A01</b></p>  $C_m = \left[ \frac{C_{in}}{R \cdot \eta} \right] + C_s \quad [Nm]$ <p><i>R</i> = rapporto di riduzione riduttore / rinvio<br/>planetary / angle bevel gearbox reduction ratio<br/><i>η</i> = rendimento meccanico / mechanical efficiency = 0,90</p>                              |
| <p>CASO / CASE<br/><b>3</b></p> | <p><b>ISOMOVE B00 + R00 / R01</b></p>  $C_m = \left[ \frac{C_{in}}{R \cdot \eta} \right] \quad [Nm]$ <p><i>R</i> = rapporto di riduzione trasmissione a cinghia, disponibile<br/>R=1 o R=2<br/>belt gearbox reduction ratio, available R=1 or R=2<br/><i>η</i> = rendimento meccanico / mechanical efficiency = 0,90</p> |
| <p>CASO / CASE<br/><b>4</b></p> | <p><b>ISOMOVE B00 + R02</b></p>  $C_m = \left[ \frac{C_{in}}{R \cdot \eta} \right] + C_s \quad [Nm]$ <p><i>R</i> = rapporto di riduzione riduttore epicicloidale<br/>planetary gearbox reduction ratio<br/><i>η</i> = rendimento meccanico / mechanical efficiency = 0,81</p>  |

**3.4.5 Potenza in ingresso alla trasmissione a cinghia (versione R)**

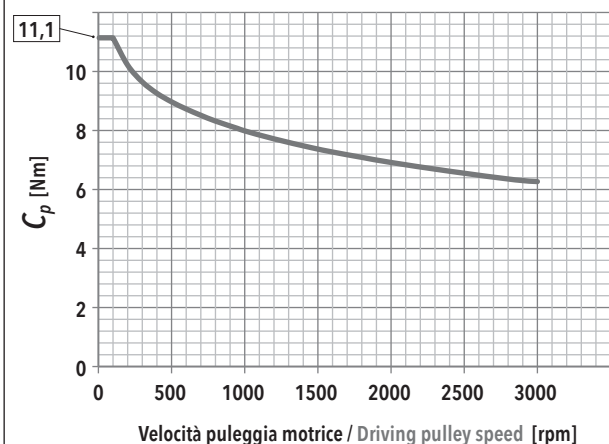
**3.4.5 Mechanical input power at belt gear stage (R type)**



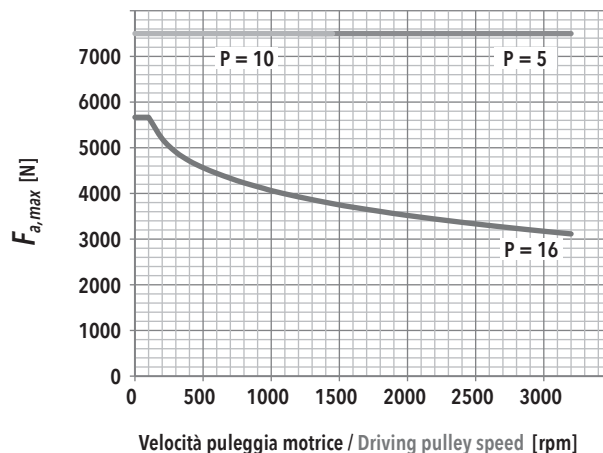
| IE 63 - PASSO / PITCH 5 |            |                  |     |     | IE 63 - PASSO / PITCH 10 |           |            |                  |     | IE 63 - PASSO / PITCH 20 |     |           |            |                  |     |     |      |
|-------------------------|------------|------------------|-----|-----|--------------------------|-----------|------------|------------------|-----|--------------------------|-----|-----------|------------|------------------|-----|-----|------|
| $F_a$ [N]               |            | $V_{out}$ [mm/s] |     |     |                          | $F_a$ [N] |            | $V_{out}$ [mm/s] |     |                          |     | $F_a$ [N] |            | $V_{out}$ [mm/s] |     |     |      |
|                         |            | 25               | 100 | 175 | 250                      |           |            | 50               | 200 | 350                      | 500 |           |            | 100              | 400 | 700 | 1000 |
| 7500                    | $F_r$ [N]  | 264              | 267 | 272 | 281                      | 7500      | $F_r$ [N]  | 528              | 531 | 537                      | 545 | 7500      | $F_r$ [N]  |                  |     |     |      |
|                         | $f_t$ [Hz] | 196              | 197 | 199 | 202                      |           | $f_t$ [Hz] | 277              | 278 | 279                      | 282 |           | $f_t$ [Hz] |                  |     |     |      |
| 6750                    | $F_r$ [N]  | 238              | 240 | 246 | 255                      | 6750      | $F_r$ [N]  | 475              | 478 | 484                      | 492 | 6750      | $F_r$ [N]  | 951              |     |     |      |
|                         | $f_t$ [Hz] | 186              | 187 | 189 | 192                      |           | $f_t$ [Hz] | 263              | 264 | 265                      | 268 |           | $f_t$ [Hz] | 372              |     |     |      |
| 6000                    | $F_r$ [N]  | 211              | 214 | 220 | 228                      | 6000      | $F_r$ [N]  | 423              | 425 | 431                      | 440 | 6000      | $F_r$ [N]  | 845              | 846 |     |      |
|                         | $f_t$ [Hz] | 175              | 176 | 179 | 182                      |           | $f_t$ [Hz] | 248              | 249 | 250                      | 253 |           | $f_t$ [Hz] | 350              | 351 |     |      |
| 5250                    | $F_r$ [N]  | 185              | 188 | 193 | 202                      | 5250      | $F_r$ [N]  | 370              | 372 | 378                      | 387 | 5250      | $F_r$ [N]  | 739              | 742 | 748 |      |
|                         | $f_t$ [Hz] | 164              | 165 | 168 | 171                      |           | $f_t$ [Hz] | 232              | 233 | 234                      | 237 |           | $f_t$ [Hz] | 328              | 328 | 330 |      |
| 4500                    | $F_r$ [N]  | 159              | 161 | 167 | 176                      | 4500      | $F_r$ [N]  | 317              | 320 | 325                      | 334 | 4500      | $F_r$ [N]  | 634              | 636 | 642 | 651  |
|                         | $f_t$ [Hz] | 152              | 153 | 156 | 160                      |           | $f_t$ [Hz] | 215              | 216 | 217                      | 220 |           | $f_t$ [Hz] | 304              | 304 | 305 | 308  |
| 3750                    | $F_r$ [N]  | 132              | 135 | 140 | 149                      | 3750      | $F_r$ [N]  | 264              | 267 | 272                      | 281 | 3750      | $F_r$ [N]  | 528              | 531 | 537 | 545  |
|                         | $f_t$ [Hz] | 139              | 140 | 143 | 147                      |           | $f_t$ [Hz] | 196              | 197 | 199                      | 202 |           | $f_t$ [Hz] | 277              | 278 | 279 | 282  |
| 3000                    | $F_r$ [N]  | 106              | 108 | 114 | 123                      | 3000      | $F_r$ [N]  | 211              | 214 | 220                      | 228 | 3000      | $F_r$ [N]  | 423              | 425 | 431 | 440  |
|                         | $f_t$ [Hz] | 124              | 125 | 129 | 134                      |           | $f_t$ [Hz] | 175              | 176 | 179                      | 182 |           | $f_t$ [Hz] | 248              | 249 | 250 | 253  |
| 2250                    | $F_r$ [N]  | 79               | 82  | 88  | 96                       | 2250      | $F_r$ [N]  | 159              | 161 | 167                      | 176 | 2250      | $F_r$ [N]  | 317              | 320 | 325 | 334  |
|                         | $f_t$ [Hz] | 107              | 109 | 113 | 118                      |           | $f_t$ [Hz] | 152              | 153 | 156                      | 160 |           | $f_t$ [Hz] | 215              | 216 | 217 | 220  |
| 1500                    | $F_r$ [N]  | 53               | 56  | 61  | 70                       | 1500      | $F_r$ [N]  | 106              | 108 | 114                      | 123 | 1500      | $F_r$ [N]  | 211              | 214 | 220 | 228  |
|                         | $f_t$ [Hz] | 88               | 90  | 94  | 101                      |           | $f_t$ [Hz] | 124              | 125 | 129                      | 134 |           | $f_t$ [Hz] | 175              | 176 | 179 | 182  |
| 750                     | $F_r$ [N]  | 27               | 29  | 35  | 44                       | 750       | $F_r$ [N]  | 53               | 56  | 61                       | 70  | 750       | $F_r$ [N]  | 106              | 108 | 114 | 123  |
|                         | $f_t$ [Hz] | 62               | 65  | 71  | 80                       |           | $f_t$ [Hz] | 88               | 90  | 94                       | 101 |           | $f_t$ [Hz] | 124              | 125 | 129 | 134  |

**R = 2**

**$C_p$**  Coppia input massima alla puleggia motrice  
Max input torque at driving pulley



**$F_{a,max}$**  In funzione della velocità della puleggia motrice  
Depending on the driving pulley rotational speed



**$F_r$**  Forza radiale su asse puleggia motrice in funzione di  $C_{in}$   
Radial force on driving pulley as a function of  $C_{in}$

**$f_t$**  Frequenza di vibrazione della cinghia per il tensionamento (al montaggio)  
Vibration frequency of the belt for its tensioning (during assembly)

| IE 63 - PASSO / PITCH 5 |            |                  |     |      | IE 63 - PASSO / PITCH 10 |           |            |                  |     | IE 63 - PASSO / PITCH 20 |     |           |            |                  |     |     |     |
|-------------------------|------------|------------------|-----|------|--------------------------|-----------|------------|------------------|-----|--------------------------|-----|-----------|------------|------------------|-----|-----|-----|
| $F_a$ [N]               |            | $V_{out}$ [mm/s] |     |      |                          | $F_a$ [N] |            | $V_{out}$ [mm/s] |     |                          |     | $F_a$ [N] |            | $V_{out}$ [mm/s] |     |     |     |
|                         |            | 12,5             | 50  | 87,5 | 125                      |           |            | 25               | 100 | 175                      | 250 |           |            | 50               | 200 | 350 | 500 |
| 7500                    | $F_r$ [N]  | 272              | 273 | 275  | 276                      | 7500      | $F_r$ [N]  | 544              | 545 |                          |     | 7500      | $F_r$ [N]  |                  |     |     |     |
|                         | $f_t$ [Hz] | 205              | 205 | 207  | 207                      |           | $f_t$ [Hz] | 291              | 291 |                          |     |           | $f_t$ [Hz] |                  |     |     |     |
| 6750                    | $F_r$ [N]  | 245              | 246 | 248  | 249                      | 6750      | $F_r$ [N]  | 490              | 490 | 492                      |     | 6750      | $F_r$ [N]  |                  |     |     |     |
|                         | $f_t$ [Hz] | 195              | 195 | 197  | 197                      |           | $f_t$ [Hz] | 276              | 276 | 276                      |     |           | $f_t$ [Hz] |                  |     |     |     |
| 6000                    | $F_r$ [N]  | 218              | 219 | 220  | 222                      | 6000      | $F_r$ [N]  | 435              | 436 | 438                      | 439 | 6000      | $F_r$ [N]  |                  |     |     |     |
|                         | $f_t$ [Hz] | 184              | 184 | 186  | 186                      |           | $f_t$ [Hz] | 260              | 261 | 261                      | 261 |           | $f_t$ [Hz] |                  |     |     |     |
| 5250                    | $F_r$ [N]  | 190              | 192 | 194  | 195                      | 5250      | $F_r$ [N]  | 381              | 382 | 384                      | 385 | 5250      | $F_r$ [N]  |                  |     |     |     |
|                         | $f_t$ [Hz] | 172              | 172 | 173  | 174                      |           | $f_t$ [Hz] | 243              | 243 | 244                      | 244 |           | $f_t$ [Hz] |                  |     |     |     |
| 4500                    | $F_r$ [N]  | 163              | 164 | 166  | 167                      | 4500      | $F_r$ [N]  | 326              | 328 | 330                      | 331 | 4500      | $F_r$ [N]  | 653              |     |     |     |
|                         | $f_t$ [Hz] | 159              | 160 | 160  | 161                      |           | $f_t$ [Hz] | 225              | 226 | 227                      | 227 |           | $f_t$ [Hz] | 318              |     |     |     |
| 3750                    | $F_r$ [N]  | 136              | 137 | 138  | 140                      | 3750      | $F_r$ [N]  | 272              | 273 | 274                      | 276 | 3750      | $F_r$ [N]  | 544              | 545 |     |     |
|                         | $f_t$ [Hz] | 145              | 145 | 146  | 148                      |           | $f_t$ [Hz] | 205              | 205 | 206                      | 207 |           | $f_t$ [Hz] | 291              | 291 |     |     |
| 3000                    | $F_r$ [N]  | 109              | 110 | 112  | 113                      | 3000      | $F_r$ [N]  | 218              | 218 | 219                      | 222 | 3000      | $F_r$ [N]  | 435              | 436 | 437 | 439 |
|                         | $f_t$ [Hz] | 130              | 130 | 132  | 132                      |           | $f_t$ [Hz] | 184              | 184 | 186                      | 186 |           | $f_t$ [Hz] | 260              | 260 | 260 | 261 |
| 2250                    | $F_r$ [N]  | 82               | 83  | 84   | 86                       | 2250      | $F_r$ [N]  | 163              | 164 | 165                      | 167 | 2250      | $F_r$ [N]  | 326              | 327 | 328 | 331 |
|                         | $f_t$ [Hz] | 113              | 114 | 115  | 115                      |           | $f_t$ [Hz] | 159              | 159 | 160                      | 161 |           | $f_t$ [Hz] | 225              | 226 | 227 | 227 |
| 1500                    | $F_r$ [N]  | 54               | 56  | 58   | 59                       | 1500      | $F_r$ [N]  | 109              | 110 | 112                      | 113 | 1500      | $F_r$ [N]  | 218              | 219 | 220 | 222 |
|                         | $f_t$ [Hz] | 92               | 93  | 95   | 95                       |           | $f_t$ [Hz] | 130              | 131 | 132                      | 132 |           | $f_t$ [Hz] | 184              | 185 | 186 | 186 |
| 750                     | $F_r$ [N]  | 27               | 28  | 30   | 31                       | 750       | $F_r$ [N]  | 54               | 55  | 58                       | 59  | 750       | $F_r$ [N]  | 109              | 110 | 112 | 113 |
|                         | $f_t$ [Hz] | 65               | 66  | 68   | 70                       |           | $f_t$ [Hz] | 92               | 93  | 94                       | 95  |           | $f_t$ [Hz] | 130              | 131 | 132 | 132 |

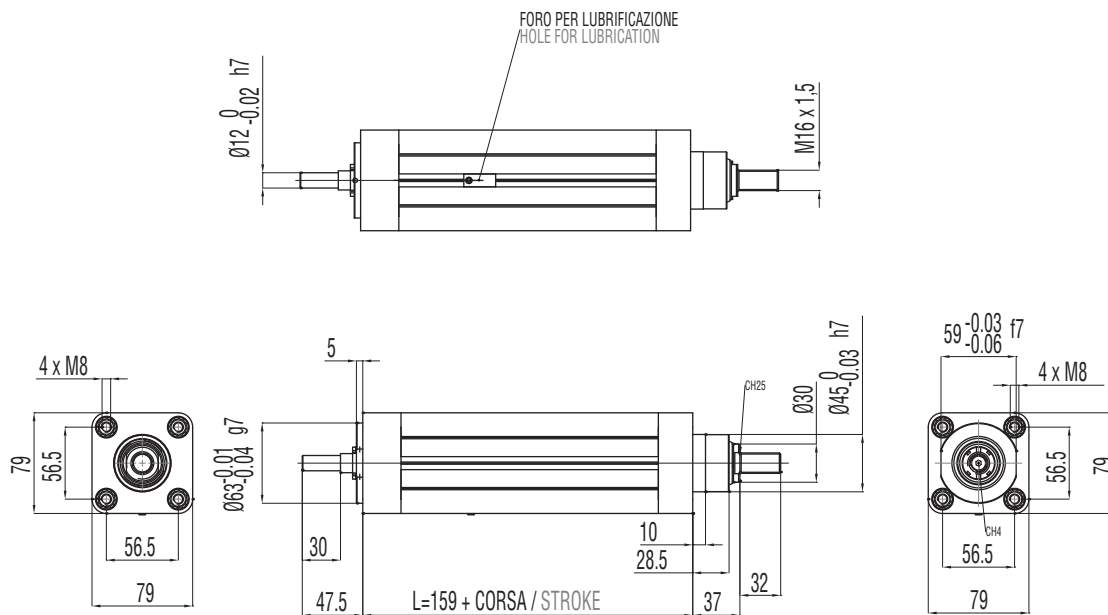
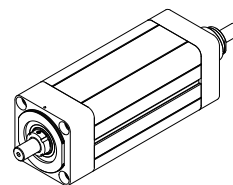
3.4.6 Caratteristiche dimensionali

3.4.6 Overall dimensions

NOTA: Dati categorie motori / riduttori / rinvii al capitolo 4.

REMARK: Motors / Planetary / Angle bevel gearbox categories data at chapter 4.

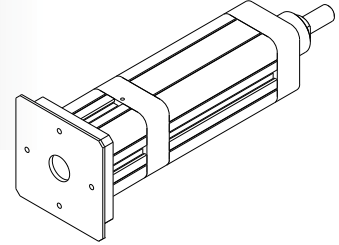
**B00**  
**MODULO BASE**  
**BASIC MODULE**

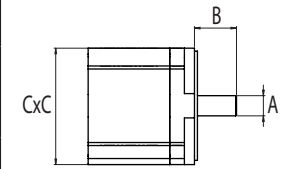


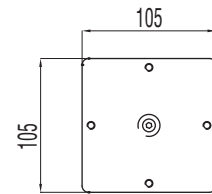
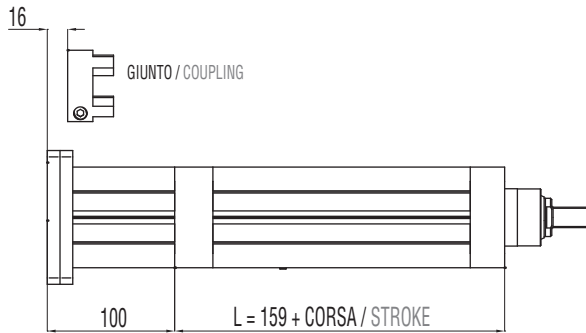
**B00 + D00**

MODULO BASE + TRASMISSIONE COASSIALE PER MOTORE CUSTOM  
(SENZA RIDUTTORE)

**BASIC MODULE + CUSTOM IN-LINE TRANSMISSION W/O REDUCTION STAGE  
FOR CUSTOM MOTORS**



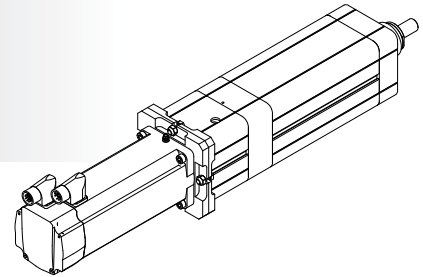
|  | MASSIME DIMENSIONI INTERFACCIA<br>MAX INTERFACE DIMENSIONS |           |                 |           |
|---|--|-----------|-----------------|-----------|
|   | TAGLIA GIUNTO<br>COUPLING SIZE                             | A<br>[mm] | B<br>[mm]       | C<br>[mm] |
|   | <b>60</b>  | 30 max    | 28 min / 42 max | 100 max   |



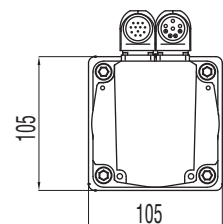
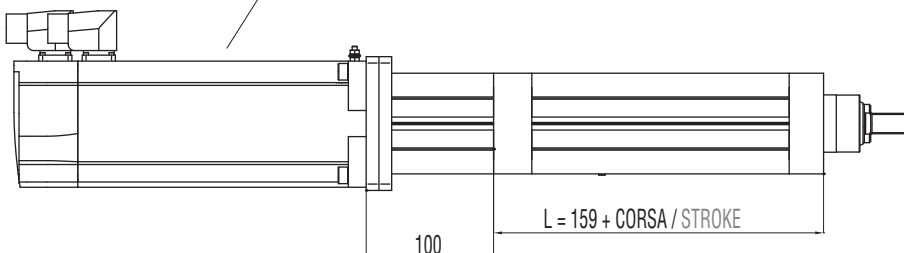
**B00 + D01**

MODULO BASE + TRASMISSIONE COASSIALE PER MOTORE COMPATIBILE  
(SENZA RIDUTTORE)

**BASIC MODULE + IN-LINE TRANSMISSION W/O REDUCTION STAGE FOR  
COMPATIBLE MOTORS**



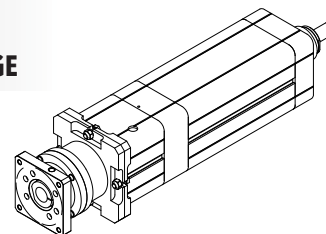
- MOTORE  
MOTOR
- MDA**
- MDB**
- MDC**
- MEA**



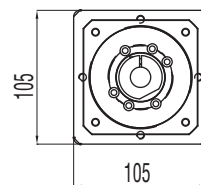
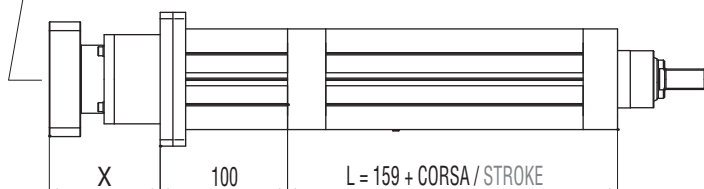
**B00 + D02**

MODULO BASE + RIDUTTORE EPICICLOIDALE COASSIALE COMPATIBILE

**BASIC MODULE + IN-LINE COMPATIBLE PLANETARY GEARBOX REDUCTION STAGE**



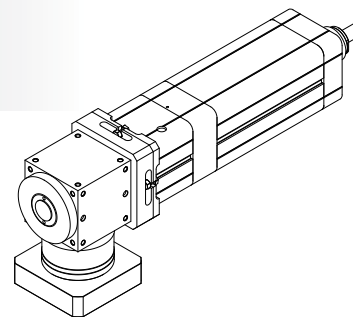
|                                |
|--------------------------------|
| RIDUTTORE<br>PLANETARY GEARBOX |
| <b>GBA</b>                     |
| <b>GBB</b>                     |
| <b>GCB</b>                     |



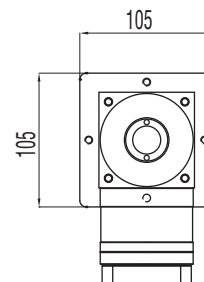
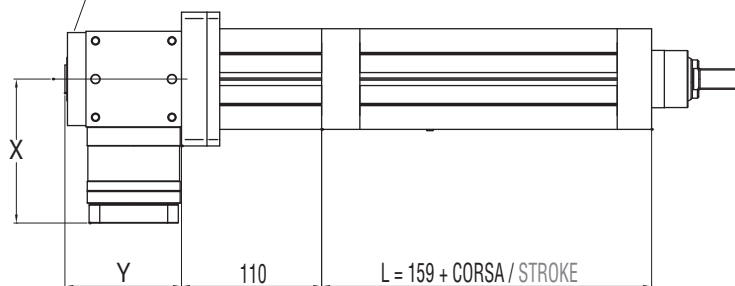
**B00 + A01**

MODULO BASE + RINVIO ANGOLARE COMPATIBILE

**BASIC MODULE + COMPATIBLE ANGLE BEVEL GEARBOX STAGE**



|                         |
|-------------------------|
| RINVIO<br>BEVEL GEARBOX |
| <b>ABA</b>              |

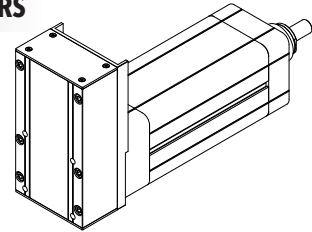




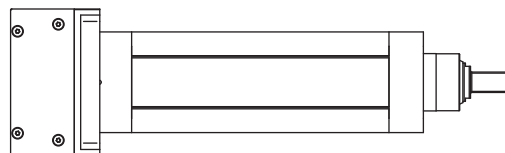
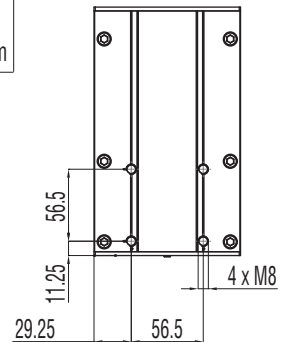
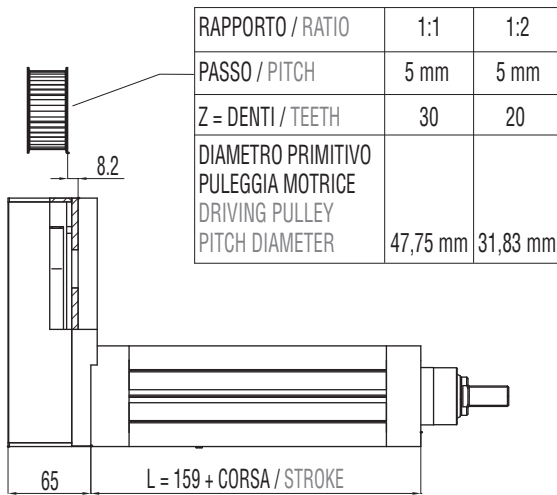
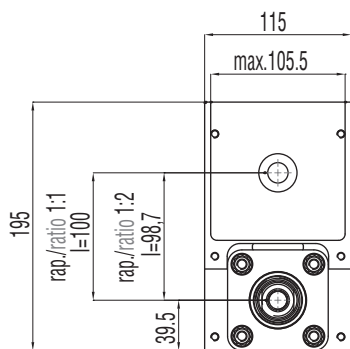
**B00 + R00**

MODULO BASE + TRASMISSIONE A CINGHIA IN PARALLELO PER MOTORE CUSTOM

BASIC MODULE + PARALLEL CUSTOM BELT GEARBOX STAGE FOR CUSTOM MOTORS



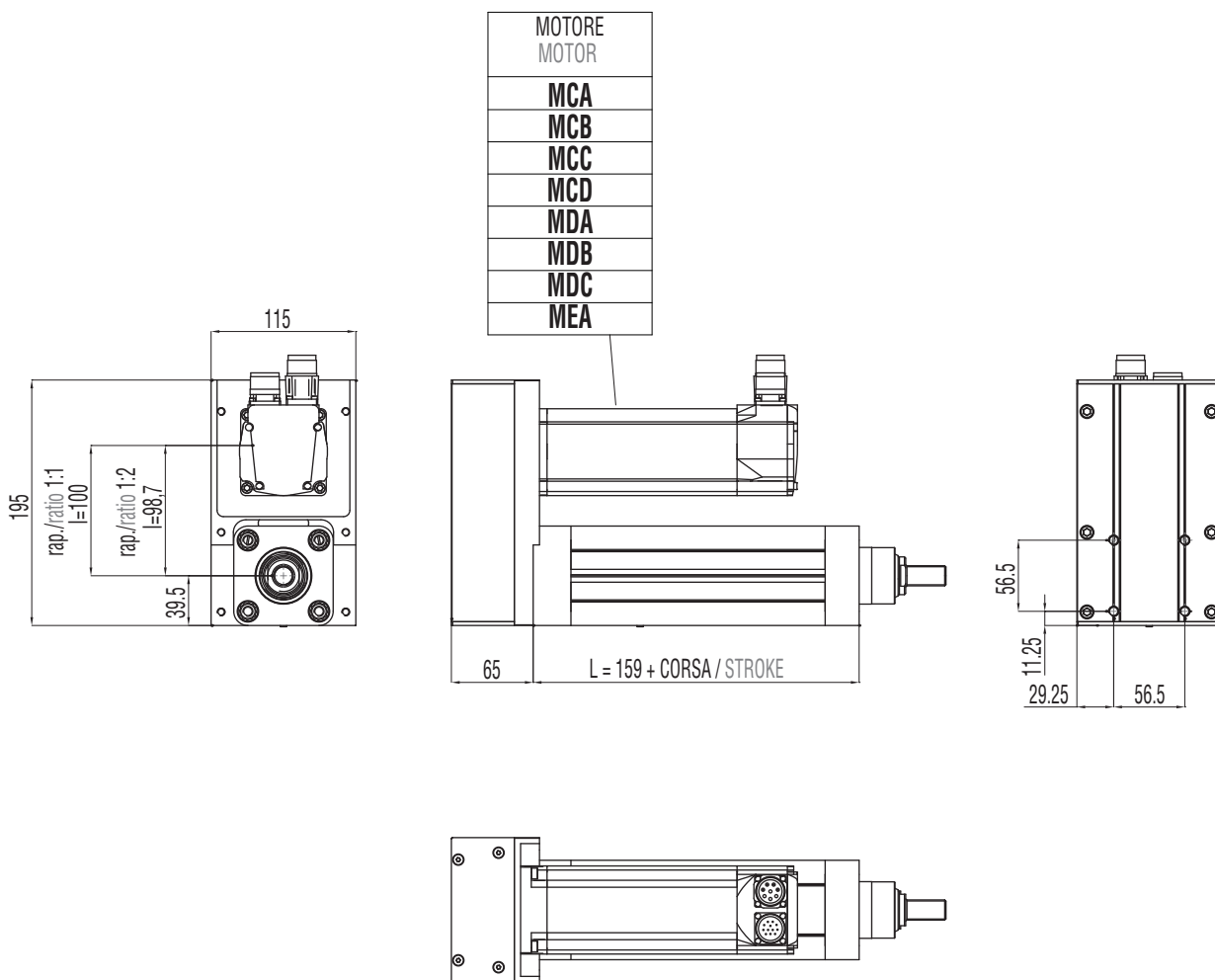
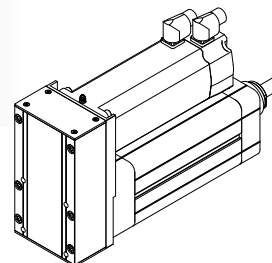
|       | DIMENSIONI LIMITI INTERFACCIA<br>MAX INTERFACE DIMENSIONS |                 |           |
|-------|---|-----------------|-----------|
|       | A<br>[mm]   | B<br>[mm]       | C<br>[mm] |
| R=1:1 | 16 max  | 28 min / 42 max | 100 max   |
| R=1:2 | 14 max  | 30 min / 40 max | 100 max   |



**B00 + R01**

MODULO BASE + TRASMISSIONE A CINGHIA IN PARALLELO PER MOTORE COMPATIBILE

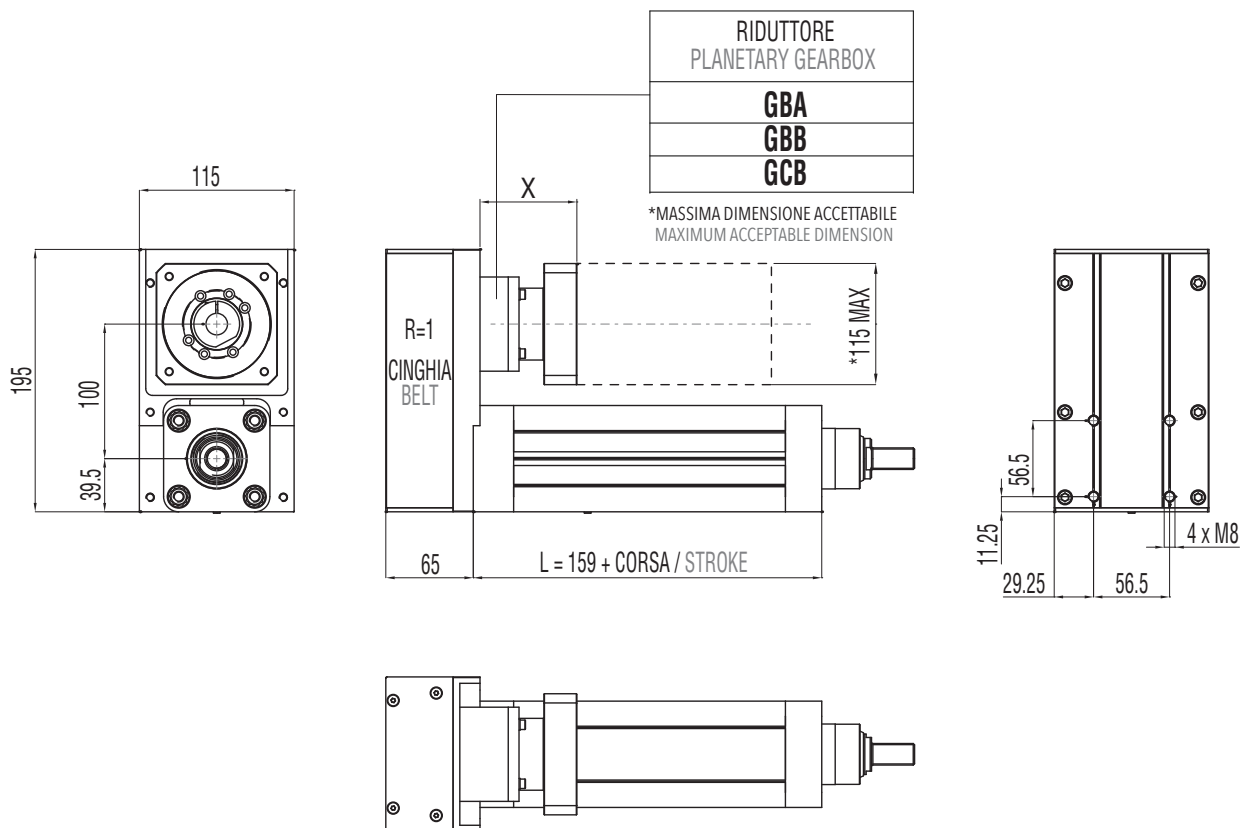
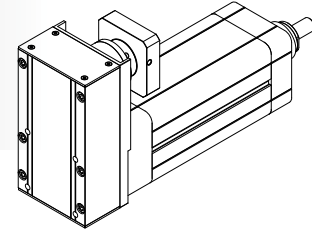
BASIC MODULE + PARALLEL BELT GEARBOX STAGE FOR COMPATIBLE MOTORS



**B00 + R02**

MODULO BASE + TRASMISSIONE A CINGHIA IN PARALLELO +  
RIDUTTORE EPICICLOIDALE COMPATIBILE

**BASIC MODULE + PARALLEL BELT GEARBOX STAGE +  
IN-LINE COMPATIBLE PLANETARY GEARBOX REDUCTION STAGE**



**3.4.7 Accessori disponibili**

Per le tabelle e i disegni tecnici degli accessori disponibili fare riferimento al paragrafo 3.10 (da pag. 136).

**3.4.7 Available accessories**

For tables and drawings please refer to paragraph 3.10 (from page 136).

## 3.5

## IE 80

## 3.5.1 Caratteristiche tecniche

## 3.5.1 Technical features

| ISOMOVE IE 80              |  | 5  | 10                                    | 25                                    |
|----------------------------|--|--|---------------------------------------|---------------------------------------|
| <b>P</b>                   | PASSO VITE<br>SCREW LEAD [mm]  | 5  | 10                                    | 25                                    |
| <b>D</b>                   | DIAMETRO VITE<br>SCREW DIAMETER [mm]   | 25   | 25                                    | 25                                    |
| <b>F<sub>d</sub></b>       | CARICO MASSIMO DINAMICO APPLICABILE<br>MAX ADMISSIBLE DYNAMIC LOAD [N]   | 12000*   | 12000*                                | 12000*                                |
| <b>C<sub>in,max</sub></b>  | PER AVERE $F_a = F_d$<br>TO GET [Nm]   | 10,6   | 21,3                                  | 53                                    |
|                            | "CASO 1" / "CASE 1": B00 + D00/D01 [Nm]  | 10,6   | 21,3                                  | 53                                    |
|                            | "CASO 2" / "CASE 2": B00 + D02/A01 [Nm]  | $\left[ \frac{11,7}{R} \right] + C_s$  | $\left[ \frac{23,6}{R} \right] + C_s$ | $\left[ \frac{58,8}{R} \right] + C_s$ |
|                            |  | R = rapporto di riduzione del riduttore / rinvio angolare<br>R = planetary / angle bevel gearbox reduction ratio                                     |                                       |                                       |
| <b>C<sub>m,max</sub></b>   | "CASO 3" / "CASE 3": B00 + R00/R01 [Nm]  | $\frac{11,7}{R}$   | $\frac{23,6}{R}$                      | $\frac{58,8}{R}$                      |
|                            |  | R = rapporto di riduzione della trasmissione a cinghia<br>(disponibile R=1 oppure R=2)<br>R = belt gearbox reduction ratio<br>(available R=1 or R=2) |                                       |                                       |
|                            | "CASO 4" / "CASE 4": B00 + R02 [Nm]  | $\frac{13}{R}$   | $\frac{26,2}{R}$                      | $\frac{65,3}{R}$                      |
|                            |  | R = rapporto di riduzione del riduttore epicicloidale<br>R = planetary gearbox reduction ratio   |                                       |                                       |
| <b>F<sub>st</sub></b>      | CARICO MASSIMO STATICO APPLICABILE<br>MAX ADMISSIBLE STATIC LOAD [N]   | 12000  | 12000                                 | 12000                                 |
| <b>V<sub>out,max</sub></b> | VELOCITÀ DI TRASLAZIONE MASSIMA IN USCITA / ROTAZIONE<br>MASSIMA VITE RDS [mm/sec]   | 250/3000   | 500/3000                              | 1250/3000                             |
| <b>N<sub>in,max</sub></b>  | MAX OUTPUT SPEED / MAX BALLSCREW ROTATING<br>INPUT SPEED [rpm]   |  |                                       |                                       |
| <b>a<sub>max</sub></b>     | ACCELERAZIONE MASSIMA IN USCITA<br>MAX OUTPUT ACCELERATION [m/sec <sup>2</sup> ]   | 1  | 2                                     | 4                                     |
| <b>S<sub>max</sub></b>     | CORSA MASSIMA STANDARD<br>MAX STANDARD STROKE [mm]   | 1000**   | 1000**                                | 1000**                                |
|                            | PESO MODULO BASE CORSA 0 mm / PESO OGNI 100 mm DI CORSA<br>BASIC MODULE WEIGHT FOR 0 mm STROKE / WEIGHT FOR<br>ADDITIONAL 100 mm STROKE [Kg] | 3,4 / 1,2  | 3,4 / 1,2                             | 3,4 / 1,2                             |
| <b>G<sub>s,max</sub></b>   | GIOCO ASSIALE MASSIMO PER CHIOCCIOLA STANDARD<br>MAX AXIAL BACKLASH FOR STANDARD BALLSCREW ASSEMBLY mm                                       | 0,06   | 0,06                                  | 0,06                                  |
| <b>G<sub>z</sub></b>       | GIOCO "0" DELLA CHIOCCIOLA<br>"0" BACKLASH BALLSCREW ASSEMBLY  | DISPONIBILE / AVAILABLE  |                                       |                                       |
| <b>L<sub>10,Km</sub></b>   | DURATA<br>LIFETIME Km  | VEDI TABELLA / SEE TABLE pg. 76  |                                       |                                       |

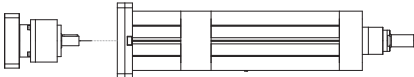
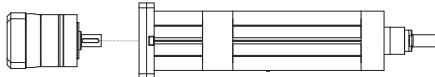
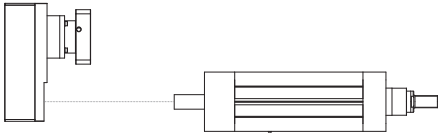
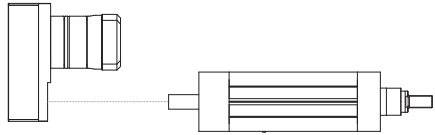
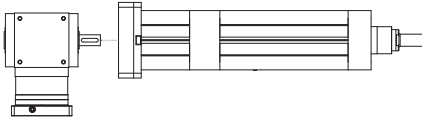
\* Per le versioni R00/R01 controllare con i grafici delle pagine 78/79. / For R00/R01 types please check graph at pages 78/79.

\*\* Per corse superiori, contattare il nostro servizio tecnico. / For longer strokes please contact our technical dept.

| ISOMOVE IE 80                                  |  | 5   | 10                            | 25                            |                                  |
|--|--|---|-------------------------------|-------------------------------|----------------------------------|
| VERSIONI DISPONIBILI<br>AVAILABLE TYPES        |  | D00 / D01 / D02 / R00 / R01 / R02 / A01       |                               |                               |                                  |
| $F_{a,p}$                                      | POSSIBILE CON IL RIDUTTORE EPICICLOIDALE INDICATO<br>POSSIBLE VALUE WITH THE INDICATED PLANETARY GEARBOX | [N]   | AE070/12000<br>PGII-080/12000 | AE070/12000<br>PGII-080/12000 | AE070/7000 ***<br>PGII-080/12000 |
|  | POSSIBILE CON IL RINVIO ANGOLARE INDICATO<br>POSSIBLE VALUE WITH THE INDICATED ANGLE BEVEL GEARBOX       | [N]   | ATB090/12000                  | ATB090/12000                  | ATB090/5800 ***                  |
| ACCESSORI DISPONIBILI<br>AVAILABLE ACCESSORIES |  | VEDI PARAGRAFO / SEE PARAGRAPH 3.10 (pg. 136) |                               |                               |                                  |

\*\*\* È il valore massimo ottenibile con il rapporto di riduzione disponibile avente il minore valore di coppia erogabile.  
It is the max obtainable value with the available on tables reduction ratio which has the lowest value of nominal output torque.

**RIDUTTORI-RINVII "STANDARD SETEC GROUP DISPONIBILI"**  
**"STANDARD SETEC GROUP AVAILABLE" PLANETARY-ANGLE BEVEL GEARBOXES**

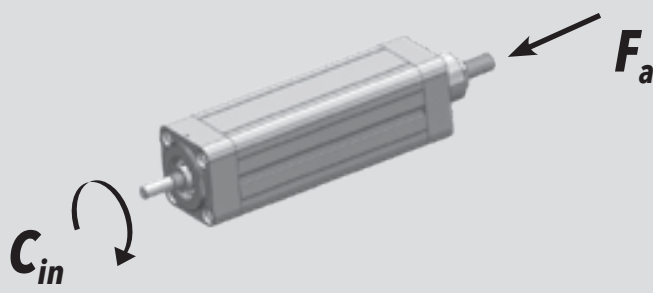
|  |   |  |
|--|---|--|
| <p>TRASMISSIONE COASSIALE<br/>CON RIDUTTORE</p> <p>IN-LINE PLANETARY GEARBOX<br/>STAGE</p>   |  <p><b>AE070</b></p> <p>MODULO BASE<br/>BASIC MODULE</p>   |  <p><b>PGII-080</b></p> <p>MODULO BASE<br/>BASIC MODULE</p> |
| <p>TRASMISSIONE PARALLELA<br/>CON RIDUTTORE</p> <p>PARALLEL BELT GEARBOX<br/>STAGE + IN-LINE PLANETARY<br/>GEARBOX REDUCTION STAGE</p> |  <p><b>AE070</b></p> <p>MODULO BASE<br/>BASIC MODULE</p>   |  <p><b>PGII-080</b></p> <p>MODULO BASE<br/>BASIC MODULE</p> |
| <p>TRASMISSIONE ANGOLARE<br/>CON RINVIO</p> <p>ANGLE BEVEL GEARBOX STAGE</p>   |  <p><b>ATB090</b></p> <p>MODULO BASE<br/>BASIC MODULE</p> |  |

## 3.5.2 Calcolo durata

## 3.5.2 Lifetime calculation



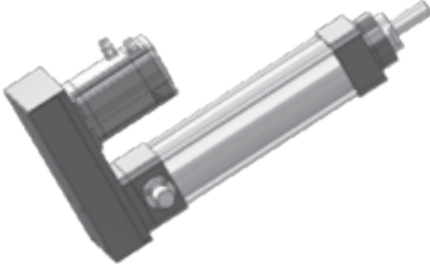
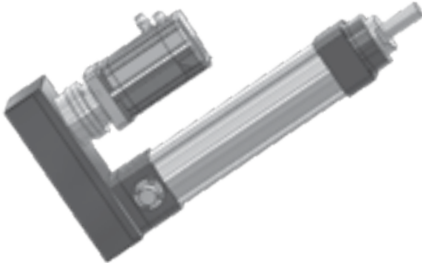
|                                  |  |                                      |
|----------------------------------|--|--------------------------------------|
| <b>IE 80</b><br><b>P = 5 mm</b>  | $L_{10,Km} = \left[ \frac{13700}{F_{eq}} \right]^3 \cdot 5$  | $L_{10,Km} = [Km]$<br>$F_{eq} = [N]$ |
| <b>IE 80</b><br><b>P = 10 mm</b> | $L_{10,Km} = \left[ \frac{25200}{F_{eq}} \right]^3 \cdot 10$ | $L_{10,Km} = [Km]$<br>$F_{eq} = [N]$ |
| <b>IE 80</b><br><b>P = 25 mm</b> | $L_{10,Km} = \left[ \frac{16700}{F_{eq}} \right]^3 \cdot 25$ | $L_{10,Km} = [Km]$<br>$F_{eq} = [N]$ |

3.5.3 Calcolo coppia in ingresso  
al modulo base3.5.3 Torque calculation at basic  
module input shaft

|  |   |                                |
|--|---|--------------------------------|
|  |   |                                |
| <b>IE 80</b><br><b>P = 5 mm</b>  | $C_{in} = \left[ \frac{F_a \cdot 5}{5652} \right]$  | $C_{in} = [Nm]$<br>$F_a = [N]$ |
| <b>IE 80</b><br><b>P = 10 mm</b>   | $C_{in} = \left[ \frac{F_a \cdot 10}{5652} \right]$ | $C_{in} = [Nm]$<br>$F_a = [N]$ |
| <b>IE 80</b><br><b>P = 25 mm</b>   | $C_{in} = \left[ \frac{F_a \cdot 25}{5652} \right]$ | $C_{in} = [Nm]$<br>$F_a = [N]$ |

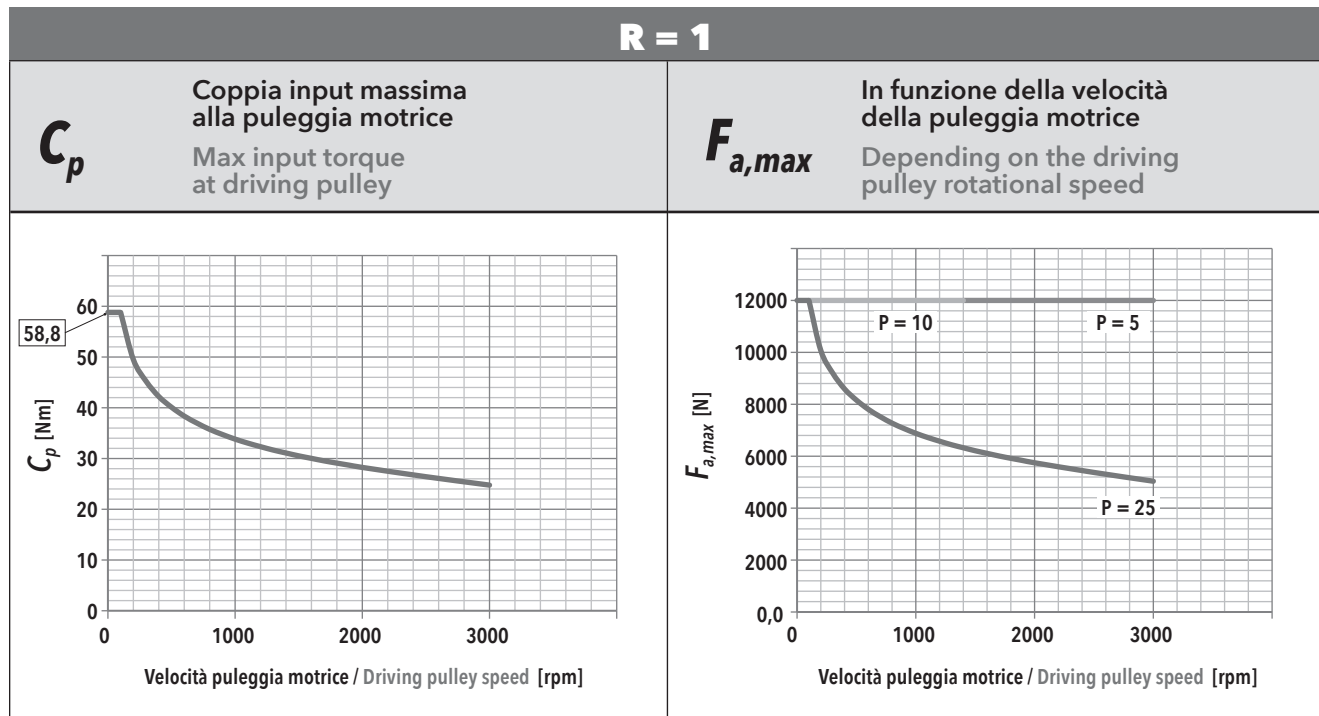
3.5.4 Calcolo coppia motore

3.5.4 Motor torque calculation

|                                 |  |
|---------------------------------|--|
| <p>CASO / CASE<br/><b>1</b></p> | <p><b>ISOMOVE B00 + D00 / D01</b></p>  $C_m = C_{in} \quad [Nm]$  |
| <p>CASO / CASE<br/><b>2</b></p> | <p><b>ISOMOVE B00 + D02 / A01</b></p>  $C_m = \left[ \frac{C_{in}}{R \cdot \eta} \right] + C_s \quad [Nm]$ <p><math>R</math> = rapporto di riduzione riduttore / rinvio<br/>planetary / angle bevel gearbox reduction ratio<br/><math>\eta</math> = rendimento meccanico / mechanical efficiency = 0,90</p>                              |
| <p>CASO / CASE<br/><b>3</b></p> | <p><b>ISOMOVE B00 + R00 / R01</b></p>  $C_m = \left[ \frac{C_{in}}{R \cdot \eta} \right] \quad [Nm]$ <p><math>R</math> = rapporto di riduzione trasmissione a cinghia, disponibile<br/>R=1 o R=2<br/>belt gearbox reduction ratio, available R=1 or R=2<br/><math>\eta</math> = rendimento meccanico / mechanical efficiency = 0,90</p> |
| <p>CASO / CASE<br/><b>4</b></p> | <p><b>ISOMOVE B00 + R02</b></p>  $C_m = \left[ \frac{C_{in}}{R \cdot \eta} \right] + C_s \quad [Nm]$ <p><math>R</math> = rapporto di riduzione riduttore epicicloidale<br/>planetary gearbox reduction ratio<br/><math>\eta</math> = rendimento meccanico / mechanical efficiency = 0,81</p>  |

**3.5.5 Potenza in ingresso alla trasmissione a cinghia (versione R)**

**3.5.5 Mechanical input power at belt gear stage (R type)**



**$F_r$**  Forza radiale su asse puleggia motrice in funzione di  $C_{in}$   
Radial force on driving pulley as a function of  $C_{in}$

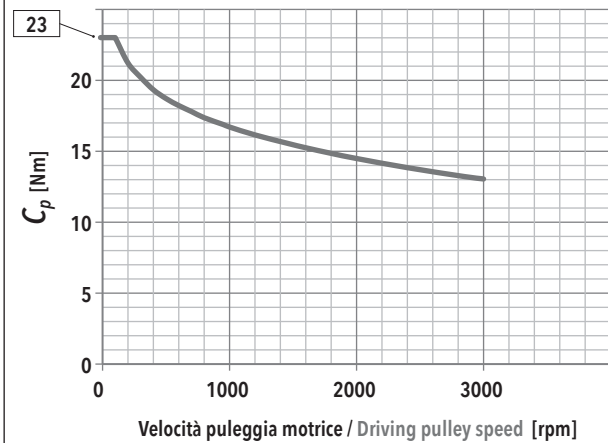
**$f_t$**  Frequenza di vibrazione della cinghia per il tensionamento (al montaggio)  
Vibration frequency of the belt for its tensioning (during assembly)

| IE 80 - PASSO / PITCH 5 |            |                  |     |     | IE 80 - PASSO / PITCH 10 |           |            |                  |     | IE 80 - PASSO / PITCH 25 |     |           |            |                  |      |     |      |  |
|-------------------------|------------|------------------|-----|-----|--------------------------|-----------|------------|------------------|-----|--------------------------|-----|-----------|------------|------------------|------|-----|------|--|
| $F_a$ [N]               |            | $V_{out}$ [mm/s] |     |     |                          | $F_a$ [N] |            | $V_{out}$ [mm/s] |     |                          |     | $F_a$ [N] |            | $V_{out}$ [mm/s] |      |     |      |  |
|                         |            | 25               | 100 | 175 | 250                      |           |            | 50               | 200 | 350                      | 500 |           |            | 125              | 500  | 870 | 1250 |  |
| 12000                   | $F_r$ [N]  | 353              | 360 | 376 | 402                      | 12000     | $F_r$ [N]  | 705              | 712 | 728                      | 754 | 12000     | $F_r$ [N]  |                  |      |     |      |  |
|                         | $f_t$ [Hz] | 156              | 157 | 160 | 174                      |           | $f_t$ [Hz] | 223              | 225 | 226                      | 230 |           | $f_t$ [Hz] |                  |      |     |      |  |
| 10800                   | $F_r$ [N]  | 317              | 325 | 341 | 366                      | 10800     | $F_r$ [N]  | 634              | 642 | 658                      | 683 | 10800     | $F_r$ [N]  |                  |      |     |      |  |
|                         | $f_t$ [Hz] | 148              | 150 | 152 | 156                      |           | $f_t$ [Hz] | 212              | 215 | 218                      | 220 |           | $f_t$ [Hz] |                  |      |     |      |  |
| 9600                    | $F_r$ [N]  | 282              | 290 | 306 | 331                      | 9600      | $F_r$ [N]  | 564              | 571 | 588                      | 613 | 9600      | $F_r$ [N]  | 1409             |      |     |      |  |
|                         | $f_t$ [Hz] | 138              | 141 | 145 | 147                      |           | $f_t$ [Hz] | 199              | 200 | 202                      | 205 |           | $f_t$ [Hz] | 315              |      |     |      |  |
| 8400                    | $F_r$ [N]  | 247              | 254 | 271 | 296                      | 8400      | $F_r$ [N]  | 493              | 495 | 517                      | 542 | 8400      | $F_r$ [N]  | 1233             |      |     |      |  |
|                         | $f_t$ [Hz] | 132              | 135 | 138 | 140                      |           | $f_t$ [Hz] | 190              | 191 | 193                      | 195 |           | $f_t$ [Hz] | 295              |      |     |      |  |
| 7200                    | $F_r$ [N]  | 212              | 219 | 236 | 261                      | 7200      | $F_r$ [N]  | 423              | 430 | 447                      | 472 | 7200      | $F_r$ [N]  | 1057             | 1064 |     |      |  |
|                         | $f_t$ [Hz] | 128              | 130 | 133 | 135                      |           | $f_t$ [Hz] | 174              | 175 | 178                      | 180 |           | $f_t$ [Hz] | 273              | 275  |     |      |  |
| 6000                    | $F_r$ [N]  | 177              | 184 | 200 | 226                      | 6000      | $F_r$ [N]  | 353              | 360 | 376                      | 402 | 6000      | $F_r$ [N]  | 881              | 888  |     |      |  |
|                         | $f_t$ [Hz] | 118              | 120 | 122 | 125                      |           | $f_t$ [Hz] | 164              | 165 | 168                      | 170 |           | $f_t$ [Hz] | 248              | 250  |     |      |  |
| 4800                    | $F_r$ [N]  | 141              | 149 | 165 | 190                      | 4800      | $F_r$ [N]  | 282              | 290 | 306                      | 331 | 4800      | $F_r$ [N]  | 705              | 712  | 728 | 754  |  |
|                         | $f_t$ [Hz] | 105              | 108 | 108 | 110                      |           | $f_t$ [Hz] | 144              | 146 | 148                      | 150 |           | $f_t$ [Hz] | 220              | 222  | 225 | 226  |  |
| 3600                    | $F_r$ [N]  | 106              | 114 | 130 | 155                      | 3600      | $F_r$ [N]  | 212              | 219 | 236                      | 261 | 3600      | $F_r$ [N]  | 529              | 536  | 552 | 578  |  |
|                         | $f_t$ [Hz] | 95               | 96  | 98  | 100                      |           | $f_t$ [Hz] | 130              | 132 | 133                      | 135 |           | $f_t$ [Hz] | 194              | 195  | 196 | 198  |  |
| 2400                    | $F_r$ [N]  | 71               | 78  | 95  | 120                      | 2400      | $F_r$ [N]  | 141              | 149 | 165                      | 190 | 2400      | $F_r$ [N]  | 353              | 360  | 376 | 402  |  |
|                         | $f_t$ [Hz] | 80               | 82  | 84  | 85                       |           | $f_t$ [Hz] | 109              | 110 | 113                      | 115 |           | $f_t$ [Hz] | 160              | 161  | 163 | 165  |  |
| 1200                    | $F_r$ [N]  | 36               | 43  | 59  | 85                       | 1200      | $F_r$ [N]  | 71               | 78  | 95                       | 120 | 1200      | $F_r$ [N]  | 177              | 184  | 200 | 226  |  |
|                         | $f_t$ [Hz] | 64               | 65  | 68  | 70                       |           | $f_t$ [Hz] | 84               | 85  | 88                       | 90  |           | $f_t$ [Hz] | 118              | 120  | 122 | 125  |  |

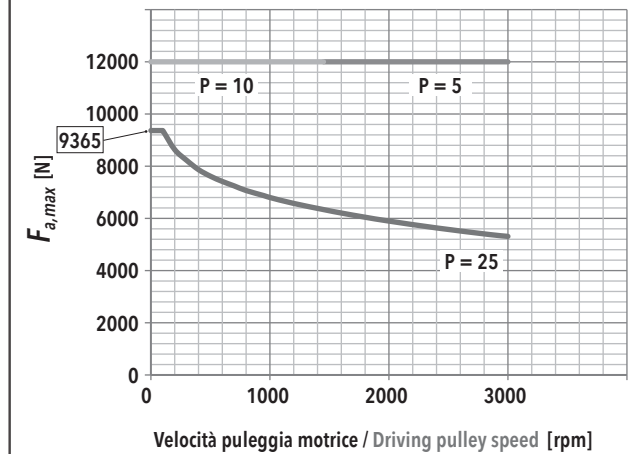


**R = 2**

**$C_p$**  Coppia input massima alla puleggia motrice  
Max input torque at driving pulley



**$F_{a,max}$**  In funzione della velocità della puleggia motrice  
Depending on the driving pulley rotational speed



**$F_r$**  Forza radiale su asse puleggia motrice in funzione di  $C_{in}$   
Radial force on driving pulley as a function of  $C_{in}$

**$f_t$**  Frequenza di vibrazione della cinghia per il tensionamento (al montaggio)  
Vibration frequency of the belt for its tensioning (during assembly)

| IE 80 - PASSO / PITCH 5 |            |                  |     |      | IE 80 - PASSO / PITCH 10 |           |            |                  |     | IE 80 - PASSO / PITCH 25 |     |           |            |                  |      |     |     |
|-------------------------|------------|------------------|-----|------|--------------------------|-----------|------------|------------------|-----|--------------------------|-----|-----------|------------|------------------|------|-----|-----|
| $F_a$ [N]               |            | $V_{out}$ [mm/s] |     |      |                          | $F_a$ [N] |            | $V_{out}$ [mm/s] |     |                          |     | $F_a$ [N] |            | $V_{out}$ [mm/s] |      |     |     |
|                         |            | 12,5             | 50  | 87,5 | 125                      |           |            | 25               | 100 | 175                      | 250 |           |            | 62,5             | 250  | 438 | 625 |
| 12000                   | $F_r$ [N]  | 363              | 365 | 367  | 369                      | 12000     | $F_r$ [N]  | 726              | 728 | 730                      | 732 | 12000     | $F_r$ [N]  |                  |      |     |     |
|                         | $f_t$ [Hz] | 193              | 194 | 195  | 195                      |           | $f_t$ [Hz] | 274              | 274 | 274                      | 275 |           | $f_t$ [Hz] |                  |      |     |     |
| 10800                   | $F_r$ [N]  | 327              | 329 | 331  | 333                      | 10800     | $F_r$ [N]  | 653              | 656 | 658                      | 659 | 10800     | $F_r$ [N]  |                  |      |     |     |
|                         | $f_t$ [Hz] | 184              | 184 | 185  | 185                      |           | $f_t$ [Hz] | 260              | 260 | 261                      | 261 |           | $f_t$ [Hz] |                  |      |     |     |
| 9600                    | $F_r$ [N]  | 290              | 292 | 295  | 296                      | 9600      | $F_r$ [N]  | 581              | 582 | 585                      | 587 | 9600      | $F_r$ [N]  |                  |      |     |     |
|                         | $f_t$ [Hz] | 173              | 173 | 175  | 175                      |           | $f_t$ [Hz] | 245              | 245 | 246                      | 246 |           | $f_t$ [Hz] |                  |      |     |     |
| 8400                    | $F_r$ [N]  | 254              | 256 | 258  | 260                      | 8400      | $F_r$ [N]  | 508              | 510 | 512                      | 514 | 8400      | $F_r$ [N]  | 1270             |      |     |     |
|                         | $f_t$ [Hz] | 162              | 162 | 164  | 164                      |           | $f_t$ [Hz] | 229              | 229 | 230                      | 230 |           | $f_t$ [Hz] | 362              |      |     |     |
| 7200                    | $F_r$ [N]  | 218              | 220 | 222  | 224                      | 7200      | $F_r$ [N]  | 436              | 438 | 440                      | 442 | 7200      | $F_r$ [N]  | 1089             | 1090 |     |     |
|                         | $f_t$ [Hz] | 150              | 151 | 152  | 152                      |           | $f_t$ [Hz] | 212              | 212 | 213                      | 213 |           | $f_t$ [Hz] | 335              | 335  |     |     |
| 6000                    | $F_r$ [N]  | 182              | 185 | 197  | 188                      | 6000      | $F_r$ [N]  | 363              | 365 | 367                      | 369 | 6000      | $F_r$ [N]  | 907              | 908  | 910 |     |
|                         | $f_t$ [Hz] | 137              | 137 | 138  | 139                      |           | $f_t$ [Hz] | 193              | 194 | 195                      | 195 |           | $f_t$ [Hz] | 306              | 306  | 306 |     |
| 4800                    | $F_r$ [N]  | 145              | 147 | 150  | 151                      | 4800      | $F_r$ [N]  | 290              | 292 | 294                      | 296 | 4800      | $F_r$ [N]  | 726              | 728  | 730 | 732 |
|                         | $f_t$ [Hz] | 122              | 123 | 124  | 125                      |           | $f_t$ [Hz] | 173              | 173 | 174                      | 175 |           | $f_t$ [Hz] | 274              | 274  | 275 | 275 |
| 3600                    | $F_r$ [N]  | 109              | 111 | 112  | 115                      | 3600      | $F_r$ [N]  | 218              | 220 | 221                      | 224 | 3600      | $F_r$ [N]  | 544              | 546  | 548 | 551 |
|                         | $f_t$ [Hz] | 106              | 107 | 108  | 109                      |           | $f_t$ [Hz] | 150              | 150 | 152                      | 152 |           | $f_t$ [Hz] | 237              | 237  | 238 | 238 |
| 2400                    | $F_r$ [N]  | 73               | 75  | 78   | 79                       | 2400      | $F_r$ [N]  | 145              | 147 | 150                      | 151 | 2400      | $F_r$ [N]  | 363              | 365  | 368 | 369 |
|                         | $f_t$ [Hz] | 87               | 88  | 89   | 90                       |           | $f_t$ [Hz] | 122              | 123 | 124                      | 125 |           | $f_t$ [Hz] | 193              | 193  | 195 | 195 |
| 1200                    | $F_r$ [N]  | 36               | 37  | 39   | 42                       | 1200      | $F_r$ [N]  | 73               | 73  | 79                       | 79  | 1200      | $F_r$ [N]  | 182              | 184  | 186 | 188 |
|                         | $f_t$ [Hz] | 61               | 63  | 65   | 66                       |           | $f_t$ [Hz] | 87               | 88  | 89                       | 90  |           | $f_t$ [Hz] | 137              | 137  | 139 | 139 |

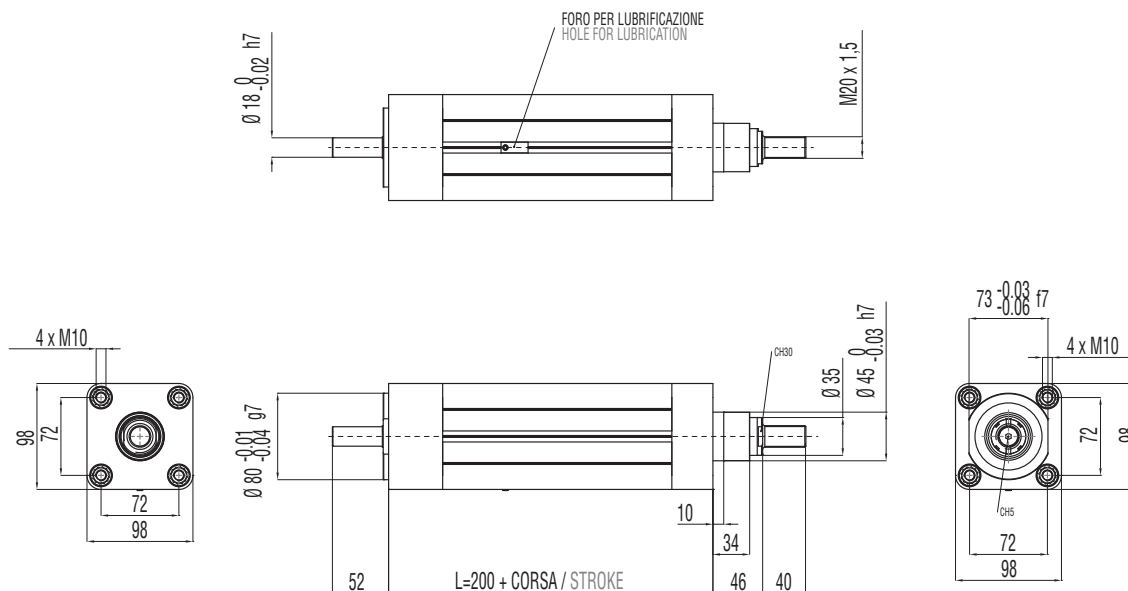
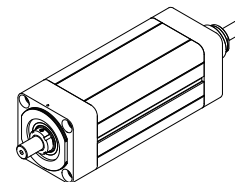
### 3.5.6 Caratteristiche dimensionali

### 3.5.6 Overall dimensions

NOTA: Dati categorie motori / riduttori / rinvii al capitolo 4.

REMARK: Motors / Planetary / Angle bevel gearbox categories data at chapter 4.

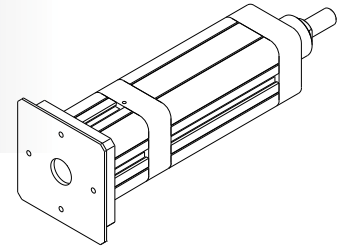
**B00**  
MODULO BASE  
BASIC MODULE



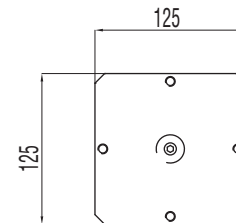
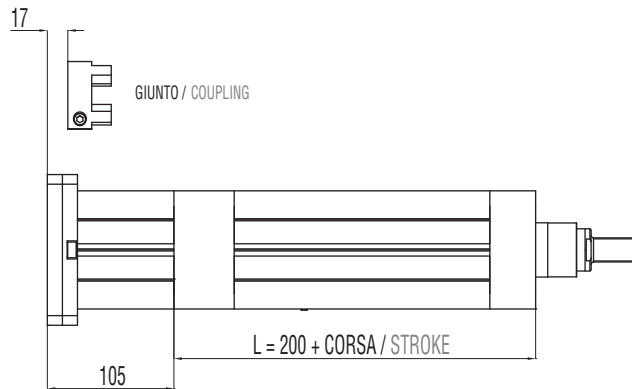
**B00 + D00**

MODULO BASE + TRASMISSIONE COASSIALE PER MOTORE CUSTOM  
(SENZA RIDUTTORE)

**BASIC MODULE + CUSTOM IN-LINE TRANSMISSION W/O REDUCTION STAGE  
FOR CUSTOM MOTORS**



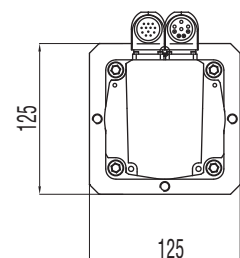
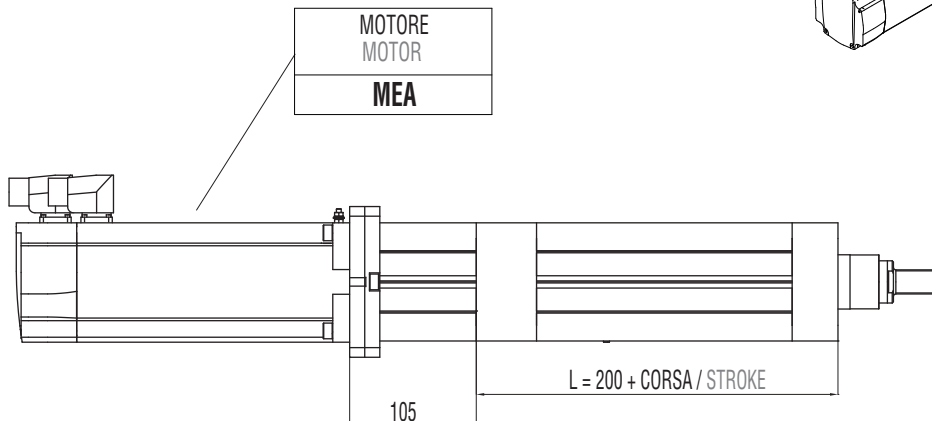
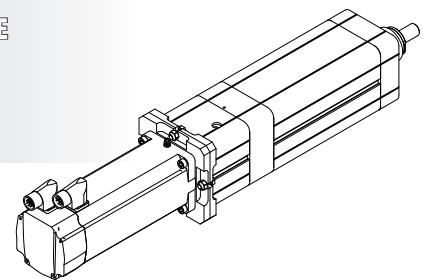
|  | MASSIME DIMENSIONI INTERFACCIA<br>MAX INTERFACE DIMENSIONS |           |                 |           |
|--|--|-----------|-----------------|-----------|
|  | TAGLIA GIUNTO<br>COUPLING SIZE                             | A<br>[mm] | B<br>[mm]       | C<br>[mm] |
|  | 60   | 26 max    | 42 min / 50 max | 110 max   |



**B00 + D01**

MODULO BASE + TRASMISSIONE COASSIALE PER MOTORE COMPATIBILE  
(SENZA RIDUTTORE)

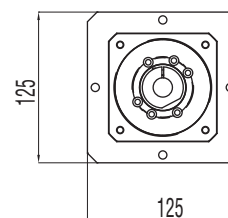
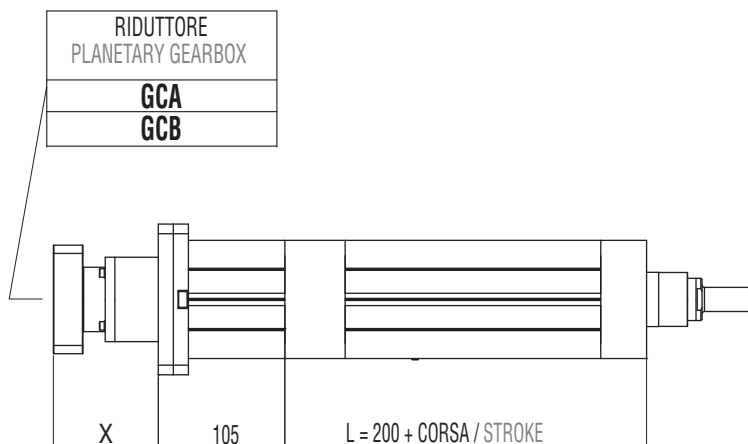
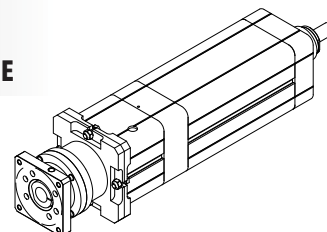
**BASIC MODULE + IN-LINE TRANSMISSION W/O REDUCTION STAGE FOR  
COMPATIBLE MOTORS**



**B00 + D02**

MODULO BASE + RIDUTTORE EPICICLOIDALE COASSIALE COMPATIBILE

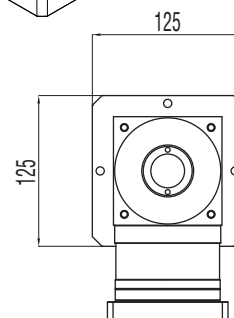
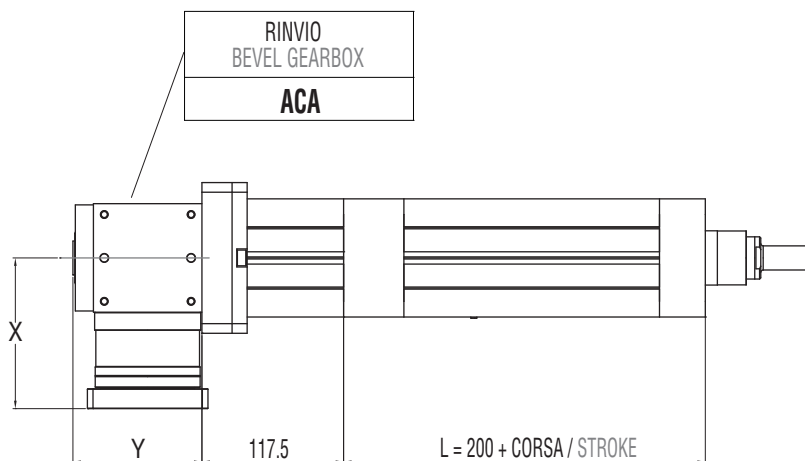
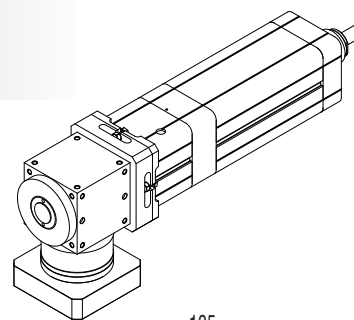
**BASIC MODULE + IN-LINE COMPATIBLE PLANETARY GEARBOX REDUCTION STAGE**



**B00 + A01**

MODULO BASE + RINVIO ANGOLARE COMPATIBILE

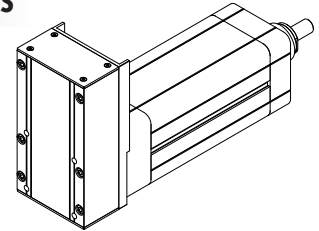
**BASIC MODULE + COMPATIBLE ANGLE BEVEL GEARBOX STAGE**



**B00 + R00**

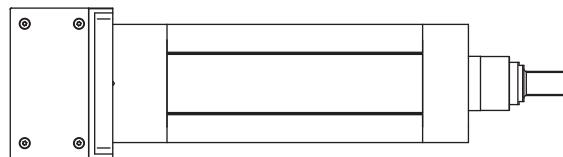
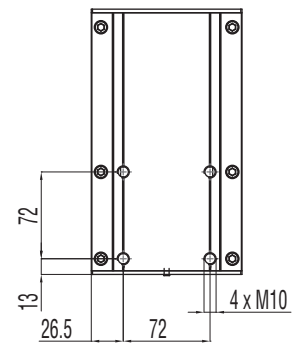
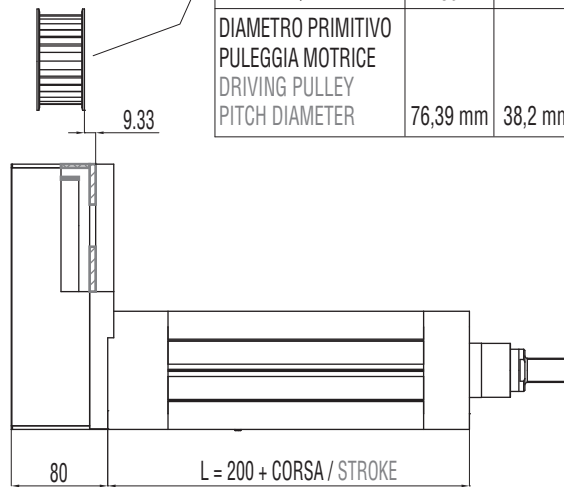
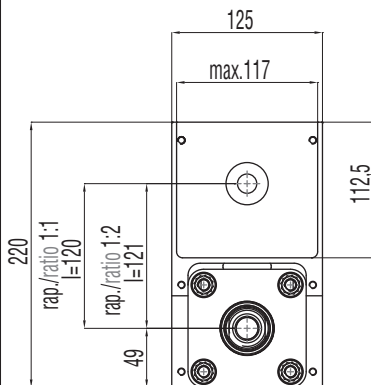
MODULO BASE + TRASMISSIONE A CINGHIA IN PARALLELO PER MOTORE CUSTOM

BASIC MODULE + PARALLEL CUSTOM BELT GEARBOX STAGE FOR CUSTOM MOTORS



|       | DIMENSIONI LIMITI INTERFACCIA<br>MAX INTERFACE DIMENSIONS |                 |           |
|-------|---|-----------------|-----------|
|       | A<br>[mm]   | B<br>[mm]       | C<br>[mm] |
| R=1:1 | 24 max  | 42 min / 58 max | 110 max   |
| R=1:2 | 19 max  | 36 min / 50 max | 110 max   |

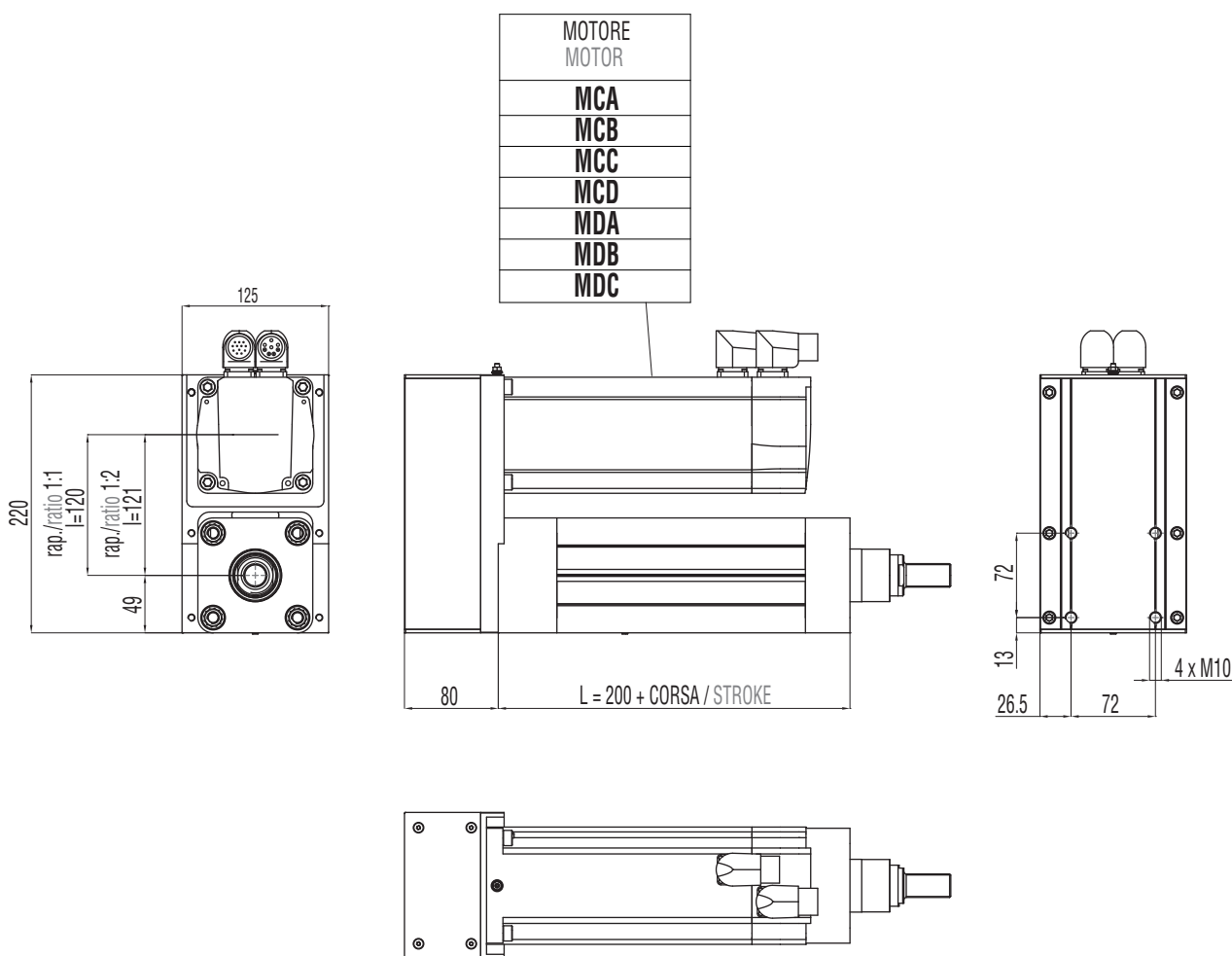
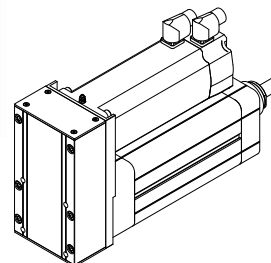
|  |          |         |
|--|----------|---------|
| RAPPORTO / RATIO   | 1:1      | 1:2     |
| PASSO / PITCH  | 8 mm     | 5 mm    |
| Z = DENTI / TEETH  | 30       | 24      |
| DIAMETRO PRIMITIVO<br>PULEGGIA MOTRICE<br>DRIVING PULLEY<br>PITCH DIAMETER | 76,39 mm | 38,2 mm |



**B00 + R01**

MODULO BASE + TRASMISSIONE A CINGHIA IN PARALLELO PER MOTORE COMPATIBILE

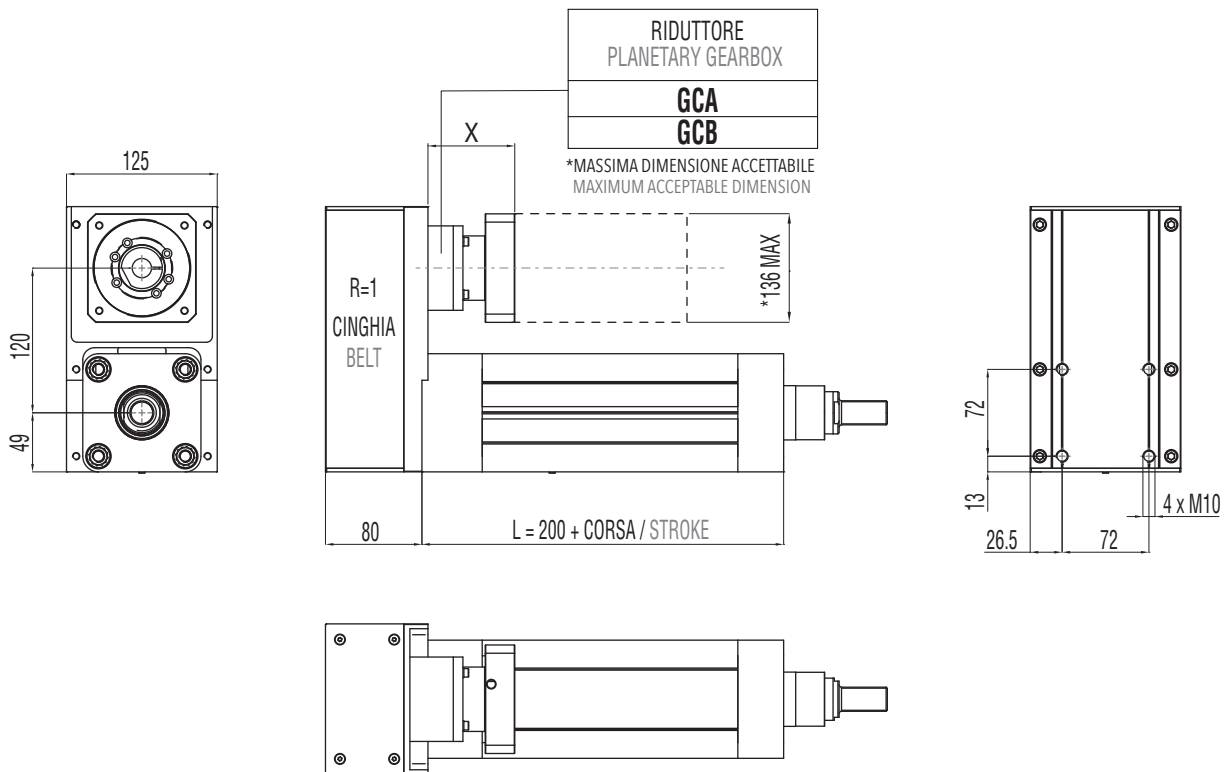
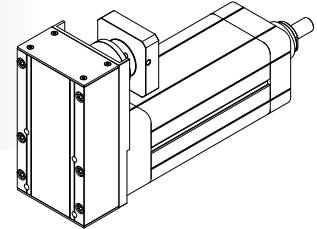
BASIC MODULE + PARALLEL BELT GEARBOX STAGE FOR COMPATIBLE MOTORS



**B00 + R02**

MODULO BASE + TRASMISSIONE A CINGHIA IN PARALLELO +  
RIDUTTORE EPICICLOIDALE COMPATIBILE

**BASIC MODULE + PARALLEL BELT GEARBOX STAGE +  
IN-LINE COMPATIBLE PLANETARY GEARBOX REDUCTION STAGE**



**3.5.7 Accessori disponibili**

Per le tabelle e i disegni tecnici degli accessori disponibili fare riferimento al paragrafo 3.10 (da pag. 136).

**3.5.7 Available accessories**

For tables and drawings please refer to paragraph 3.10 (from page 136).

## 3.6

## IE 80 HL

## 3.6.1 Caratteristiche tecniche

## 3.6.1 Technical features

| ISOMOVE IE 80 HL           |  | 5  | 10                                    | 32                                     |
|----------------------------|--|--|---------------------------------------|--|
| <b>P</b>                   | PASSO VITE<br>SCREW LEAD [mm]  | 5  | 10                                    | 32                                     |
| <b>D</b>                   | DIAMETRO VITE<br>SCREW DIAMETER [mm]   | 32   | 32                                    | 32                                     |
| <b>F<sub>d</sub></b>       | CARICO MASSIMO DINAMICO APPLICABILE<br>MAX ADMISSIBLE DYNAMIC LOAD [N]   | 21000*   | 25000*                                | 18000*                                 |
| <b>C<sub>in,max</sub></b>  | PER AVERE $F_a = F_d$<br>TO GET [Nm]   | 18,5   | 44,3                                  | 101,9                                  |
|                            | "CASO 1" / "CASE 1": B00 + D00/D01 [Nm]  | 18,5   | 44,3                                  | 101,9                                  |
|                            | "CASO 2" / "CASE 2": B00 + D02/A01 [Nm]  | $\left[ \frac{20,5}{R} \right] + C_s$  | $\left[ \frac{49,2}{R} \right] + C_s$ | $\left[ \frac{113,2}{R} \right] + C_s$ |
|                            |  | R = rapporto di riduzione del riduttore / rinvio angolare<br>R = planetary / angle bevel gearbox reduction ratio                                     |                                       |  |
| <b>C<sub>m,max</sub></b>   | "CASO 3" / "CASE 3": B00 + R00/R01 [Nm]  | $\frac{20,5}{R}$   | $\frac{49,2}{R}$                      | $\frac{113,2}{R}$                      |
|                            |  | R = rapporto di riduzione della trasmissione a cinghia<br>(disponibile R=1 oppure R=2)<br>R = belt gearbox reduction ratio<br>(available R=1 or R=2) |                                       |  |
|                            | "CASO 4" / "CASE 4": B00 + R02 [Nm]  | $\frac{22,7}{R}$   | $\frac{54,6}{R}$                      | $\frac{125,7}{R}$                      |
|                            |  | R = rapporto di riduzione del riduttore epicicloidale<br>R = planetary gearbox reduction ratio   |                                       |  |
| <b>F<sub>st</sub></b>      | CARICO MASSIMO STATICO APPLICABILE<br>MAX ADMISSIBLE STATIC LOAD [N]   | 30000  | 30000                                 | 30000                                  |
| <b>V<sub>out,max</sub></b> | VELOCITÀ DI TRASLAZIONE MASSIMA IN USCITA / ROTAZIONE<br>MASSIMA VITE RDS [mm/sec]   | 250/3000   | 500/3000                              | 1600/3000                              |
| <b>N<sub>in,max</sub></b>  | MAX OUTPUT SPEED / MAX BALLSCREW ROTATING<br>INPUT SPEED [rpm]   |  |                                       |  |
| <b>a<sub>max</sub></b>     | ACCELERAZIONE MASSIMA IN USCITA<br>MAX OUTPUT ACCELERATION [m/sec <sup>2</sup> ]   | 1  | 2                                     | 5                                      |
| <b>S<sub>max</sub></b>     | CORSA MASSIMA STANDARD<br>MAX STANDARD STROKE [mm]   | 1000**   | 1000**                                | 1000**                                 |
|                            | PESO MODULO BASE CORSA 0 mm / PESO OGNI 100 mm DI CORSA<br>BASIC MODULE WEIGHT FOR 0 mm STROKE / WEIGHT FOR<br>ADDITIONAL 100 mm STROKE [Kg] | 5,6 / 1,8  | 5,6 / 1,8                             | 5,6 / 1,8                              |
| <b>G<sub>s,max</sub></b>   | GIOCO ASSIALE MASSIMO PER CHIOCCIOLA STANDARD<br>MAX AXIAL BACKLASH FOR STANDARD BALLSCREW ASSEMBLY [mm]                                     | 0,06   | 0,06                                  | 0,02                                   |
| <b>G<sub>z</sub></b>       | GIOCO "0" DELLA CHIOCCIOLA<br>"0" BACKLASH BALLSCREW ASSEMBLY  | DISPONIBILE / AVAILABLE  |                                       |  |
| <b>L<sub>10,Km</sub></b>   | DURATA<br>LIFETIME [Km]  | VEDI TABELLA / SEE TABLE pg. 88  |                                       |  |

\* Per le versioni R00/R01 controllare con i grafici delle pagine 90/91. / For R00/R01 types please check graph at pages 90/91.









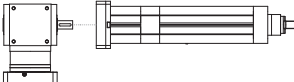
\*\* Per corse superiori, contattare il nostro servizio tecnico. / For longer strokes please contact our technical dept.



| <b>ISOMOVE IE 80 HL</b>                        |  | <b>5</b>   | <b>10</b>  | <b>32</b>   |
|--|--|--|--|---|
| VERSIONI DISPONIBILI<br>AVAILABLE TYPES        |  | D00 / D01 / D02 / R00 / R01 / R02 / A01                        |  |   |
| <b>F<sub>a,p</sub></b>                         | POSSIBILE CON IL RIDUTTORE EPICICLOIDALE INDICATO<br>POSSIBLE VALUE WITH THE INDICATED PLANETARY GEARBOX [N] | AE070/21000<br>AE090/21000<br>PGII-080/21000<br>PGII-120/21000 | AE070/18000<br>AE090/25000<br>PGII-080/25000<br>PGII-120/25000 | AE070/5500 ***<br>AE090/13800***<br>PGII-080/8900 ***<br>PGII-120/18000 |
|  | POSSIBILE CON IL RINVIO ANGOLARE INDICATO<br>POSSIBLE VALUE WITH THE INDICATED ANGLE BEVEL GEARBOX [N]       | ATB090/21000<br>ATB110/21000                                   | ATB090/21000<br>ATB110/25000                                   | ATB090/4500 ***<br>ATB110/11600 ***                                     |
| ACCESSORI DISPONIBILI<br>AVAILABLE ACCESSORIES |  | VEDI PARAGRAFO / SEE PARAGRAPH 3.10 (pg. 136)                  |  |   |

\*\*\* È il valore massimo ottenibile con il rapporto di riduzione disponibile avente il minore valore di coppia erogabile.  
It is the max obtainable value with the available on tables reduction ratio which has the lowest value of nominal output torque.

**RIDUTTORI-RINVII "STANDARD SETEC GROUP DISPONIBILI"**  
**"STANDARD SETEC GROUP AVAILABLE" PLANETARY-ANGLE BEVEL GEARBOXES**

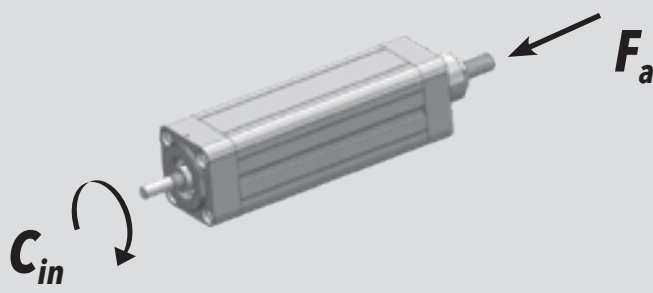
|  |  |   |
|--|--|---|
| <p>TRASMISSIONE COASSIALE<br/>CON RIDUTTORE</p> <p>IN-LINE PLANETARY GEARBOX<br/>STAGE</p>   | <br><b>AE070</b> MODULO BASE<br>BASIC MODULE      | <br><b>AE090</b> MODULO BASE<br>BASIC MODULE    |
|  | <br><b>PGII-080</b> MODULO BASE<br>BASIC MODULE   | <br><b>PGII-120</b> MODULO BASE<br>BASIC MODULE |
| <p>TRASMISSIONE PARALLELA<br/>CON RIDUTTORE</p> <p>PARALLEL BELT GEARBOX<br/>STAGE + IN-LINE PLANETARY<br/>GEARBOX REDUCTION STAGE</p> | <br><b>AE070</b> MODULO BASE<br>BASIC MODULE      | <br><b>AE090</b> MODULO BASE<br>BASIC MODULE    |
|  | <br><b>PGII-080</b> MODULO BASE<br>BASIC MODULE |   |
| <p>TRASMISSIONE ANGOLARE<br/>CON RINVIO</p> <p>ANGLE BEVEL GEARBOX STAGE</p>   | <br><b>ATB090</b> MODULO BASE<br>BASIC MODULE     | <br><b>ATB110</b> MODULO BASE<br>BASIC MODULE   |

## 3.6.2 Calcolo durata

## 3.6.2 Lifetime calculation

|                                     |  |                                      |
|-------------------------------------|--|--------------------------------------|
| <b>IE 80 HL</b><br><b>P = 5 mm</b>  | $L_{10,Km} = \left[ \frac{23900}{F_{eq}} \right]^3 \cdot 5$  | $L_{10,Km} = [Km]$<br>$F_{eq} = [N]$ |
| <b>IE 80 HL</b><br><b>P = 10 mm</b> | $L_{10,Km} = \left[ \frac{31500}{F_{eq}} \right]^3 \cdot 10$ | $L_{10,Km} = [Km]$<br>$F_{eq} = [N]$ |
| <b>IE 80 HL</b><br><b>P = 32 mm</b> | $L_{10,Km} = \left[ \frac{20600}{F_{eq}} \right]^3 \cdot 32$ | $L_{10,Km} = [Km]$<br>$F_{eq} = [N]$ |

3.6.3 Calcolo coppia in ingresso  
al modulo base3.6.3 Torque calculation at basic  
module input shaft



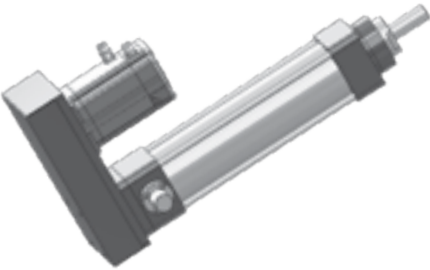
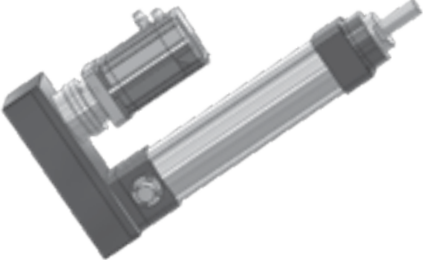


The diagram shows a perspective view of a motor module. A curved arrow labeled  $C_{in}$  indicates the input torque at the front shaft. A straight arrow labeled  $F_a$  points towards the rear shaft, representing the axial force.

|                                     |   |                                |
|-------------------------------------|---|--------------------------------|
| <b>IE 80 HL</b><br><b>P = 5 mm</b>  | $C_{in} = \left[ \frac{F_a \cdot 5}{5652} \right]$  | $C_{in} = [Nm]$<br>$F_a = [N]$ |
| <b>IE 80 HL</b><br><b>P = 10 mm</b> | $C_{in} = \left[ \frac{F_a \cdot 10}{5652} \right]$ | $C_{in} = [Nm]$<br>$F_a = [N]$ |
| <b>IE 80 HL</b><br><b>P = 32 mm</b> | $C_{in} = \left[ \frac{F_a \cdot 32}{5652} \right]$ | $C_{in} = [Nm]$<br>$F_a = [N]$ |

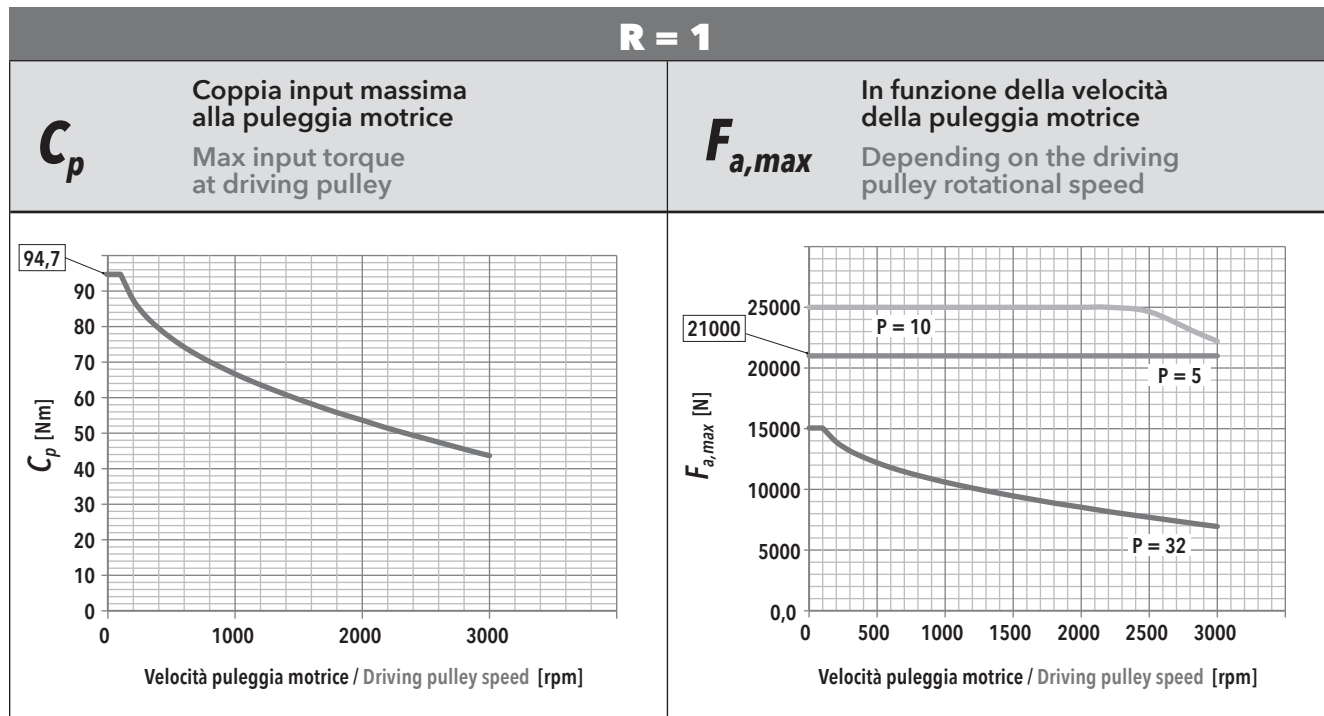
3.6.4 Calcolo coppia motore

3.6.4 Motor torque calculation

|                                 |   |
|---------------------------------|---|
| <p>CASO / CASE<br/><b>1</b></p> | <p style="text-align: center;"><b>ISOMOVE B00 + D00 / D01</b></p>  $C_m = C_{in} \quad [Nm]$   |
| <p>CASO / CASE<br/><b>2</b></p> | <p style="text-align: center;"><b>ISOMOVE B00 + D02 / A01</b></p>  $C_m = \left[ \frac{C_{in}}{R \cdot \eta} \right] + C_s \quad [Nm]$ <p><i>R</i> = rapporto di riduzione riduttore / rinvio<br/>planetary / angle bevel gearbox reduction ratio<br/><i>η</i> = rendimento meccanico / mechanical efficiency = 0,90</p>                              |
| <p>CASO / CASE<br/><b>3</b></p> | <p style="text-align: center;"><b>ISOMOVE B00 + R00 / R01</b></p>  $C_m = \left[ \frac{C_{in}}{R \cdot \eta} \right] \quad [Nm]$ <p><i>R</i> = rapporto di riduzione trasmissione a cinghia, disponibile<br/>R=1 o R=2<br/>belt gearbox reduction ratio, available R=1 or R=2<br/><i>η</i> = rendimento meccanico / mechanical efficiency = 0,90</p> |
| <p>CASO / CASE<br/><b>4</b></p> | <p style="text-align: center;"><b>ISOMOVE B00 + R02</b></p>  $C_m = \left[ \frac{C_{in}}{R \cdot \eta} \right] + C_s \quad [Nm]$ <p><i>R</i> = rapporto di riduzione riduttore epicicloidale<br/>planetary gearbox reduction ratio<br/><i>η</i> = rendimento meccanico / mechanical efficiency = 0,81</p>  |

3.6.5 Potenza in ingresso alla trasmissione a cinghia (versione R)

3.6.5 Mechanical input power at belt gear stage (R type)

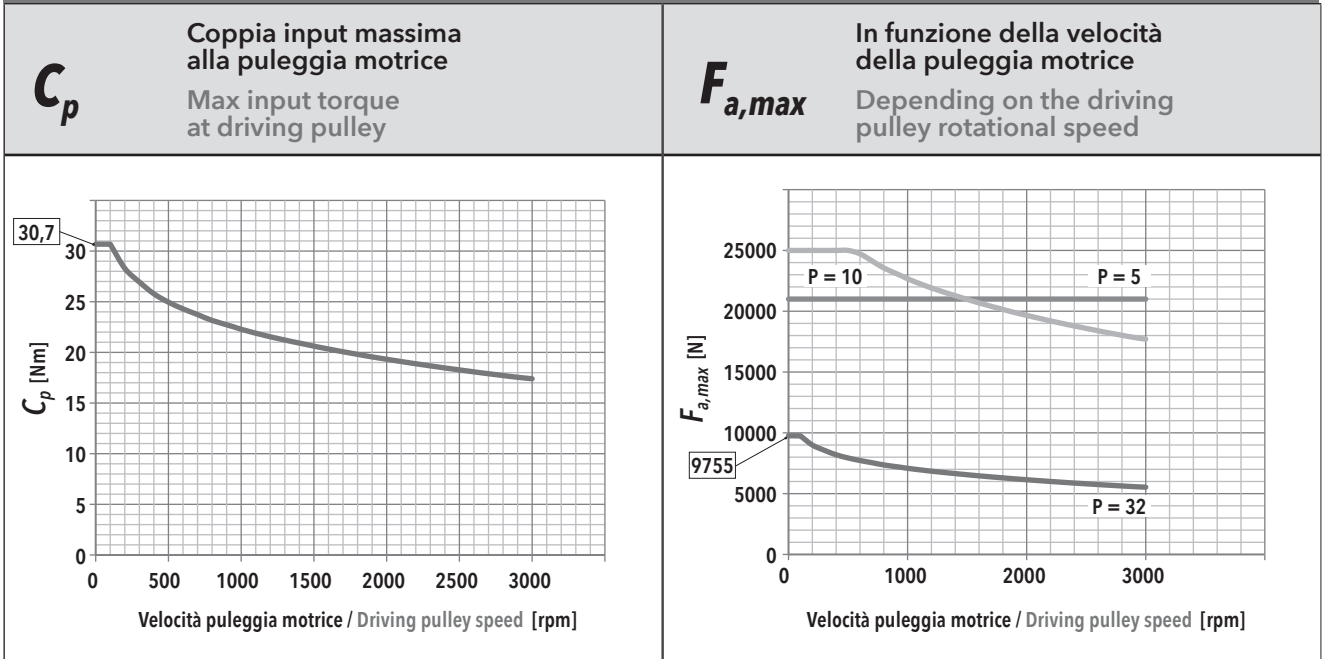


**$F_r$**  Forza radiale su asse puleggia motrice in funzione di  $C_{in}$   
Radial force on driving pulley as a function of  $C_{in}$

**$f_t$**  Frequenza di vibrazione della cinghia per il tensionamento (al montaggio)  
Vibration frequency of the belt for its tensioning (during assembly)

| IE 80 HL - PASSO / PITCH 5 |            |                  |     |     |     | IE 80 HL - PASSO / PITCH 10 |            |                  |      |      |      | IE 80 HL - PASSO / PITCH 32 |            |                  |      |      |      |
|----------------------------|------------|------------------|-----|-----|-----|-----------------------------|------------|------------------|------|------|------|-----------------------------|------------|------------------|------|------|------|
| $F_a$ [N]                  |            | $V_{out}$ [mm/s] |     |     |     | $F_a$ [N]                   |            | $V_{out}$ [mm/s] |      |      |      | $F_a$ [N]                   |            | $V_{out}$ [mm/s] |      |      |      |
|                            |            | 25               | 100 | 175 | 250 |                             |            | 50               | 200  | 350  | 500  |                             |            | 160              | 640  | 1120 | 1600 |
| 21000                      | $F_r$ [N]  | 616              | 622 | 634 | 652 | 25000                       | $F_r$ [N]  | 1467             | 1469 | 1473 |      | 18000                       | $F_r$ [N]  |                  |      |      |      |
|                            | $f_t$ [Hz] | 207              | 208 | 210 | 213 |                             | $f_t$ [Hz] | 320              | 320  | 320  |      |                             | $f_t$ [Hz] |                  |      |      |      |
| 18900                      | $F_r$ [N]  | 555              | 560 | 572 | 590 | 22500                       | $F_r$ [N]  | 1321             | 1322 | 1326 | 1356 | 16200                       | $F_r$ [N]  |                  |      |      |      |
|                            | $f_t$ [Hz] | 197              | 198 | 200 | 203 |                             | $f_t$ [Hz] | 303              | 304  | 304  | 307  |                             | $f_t$ [Hz] |                  |      |      |      |
| 16800                      | $F_r$ [N]  | 493              | 499 | 510 | 529 | 20000                       | $F_r$ [N]  | 1174             | 1176 | 1179 | 1209 | 14400                       | $F_r$ [N]  |                  |      |      |      |
|                            | $f_t$ [Hz] | 185              | 186 | 189 | 192 |                             | $f_t$ [Hz] | 286              | 286  | 287  | 290  |                             | $f_t$ [Hz] |                  |      |      |      |
| 14700                      | $F_r$ [N]  | 432              | 437 | 449 | 467 | 17500                       | $F_r$ [N]  | 1027             | 1029 | 1033 | 1063 | 12600                       | $F_r$ [N]  | 2366             |      |      |      |
|                            | $f_t$ [Hz] | 173              | 175 | 177 | 180 |                             | $f_t$ [Hz] | 268              | 268  | 268  | 272  |                             | $f_t$ [Hz] | 406              |      |      |      |
| 12600                      | $F_r$ [N]  | 370              | 375 | 387 | 406 | 15000                       | $F_r$ [N]  | 881              | 882  | 886  | 916  | 10800                       | $F_r$ [N]  | 2028             | 2034 |      |      |
|                            | $f_t$ [Hz] | 161              | 162 | 164 | 168 |                             | $f_t$ [Hz] | 248              | 248  | 249  | 253  |                             | $f_t$ [Hz] | 376              | 377  |      |      |
| 10500                      | $F_r$ [N]  | 308              | 314 | 326 | 344 | 12500                       | $F_r$ [N]  | 734              | 736  | 739  | 769  | 9000                        | $F_r$ [N]  | 1690             | 1696 | 1707 |      |
|                            | $f_t$ [Hz] | 147              | 148 | 151 | 155 |                             | $f_t$ [Hz] | 226              | 226  | 227  | 232  |                             | $f_t$ [Hz] | 343              | 344  | 345  |      |
| 8400                       | $F_r$ [N]  | 247              | 252 | 264 | 282 | 10000                       | $F_r$ [N]  | 587              | 589  | 593  | 623  | 7200                        | $F_r$ [N]  | 1352             | 1358 | 1369 | 1388 |
|                            | $f_t$ [Hz] | 131              | 133 | 136 | 140 |                             | $f_t$ [Hz] | 202              | 203  | 203  | 208  |                             | $f_t$ [Hz] | 307              | 308  | 309  | 311  |
| 6300                       | $F_r$ [N]  | 185              | 191 | 202 | 221 | 7500                        | $F_r$ [N]  | 440              | 442  | 446  | 476  | 5400                        | $F_r$ [N]  | 1050             | 1020 | 1031 | 1050 |
|                            | $f_t$ [Hz] | 114              | 115 | 119 | 124 |                             | $f_t$ [Hz] | 175              | 176  | 176  | 182  |                             | $f_t$ [Hz] | 271              | 267  | 268  | 271  |
| 4200                       | $F_r$ [N]  | 124              | 129 | 141 | 159 | 5000                        | $F_r$ [N]  | 294              | 296  | 299  | 329  | 3600                        | $F_r$ [N]  | 676              | 682  | 694  | 712  |
|                            | $f_t$ [Hz] | 93               | 95  | 99  | 105 |                             | $f_t$ [Hz] | 143              | 144  | 144  | 152  |                             | $f_t$ [Hz] | 217              | 218  | 220  | 223  |
| 2100                       | $F_r$ [N]  | 62               | 67  | 79  | 97  | 2500                        | $F_r$ [N]  | 147              | 149  | 152  | 183  | 1800                        | $F_r$ [N]  | 676              | 682  | 694  | 712  |
|                            | $f_t$ [Hz] | 66               | 69  | 74  | 82  |                             | $f_t$ [Hz] | 101              | 102  | 103  | 113  |                             | $f_t$ [Hz] | 217              | 218  | 220  | 223  |

**R = 2**



**$F_r$**  Forza radiale su asse puleggia motrice in funzione di  $C_{in}$   
Radial force on driving pulley as a function of  $C_{in}$

**$f_t$**  Frequenza di vibrazione della cinghia per il tensionamento (al montaggio)  
Vibration frequency of the belt for its tensioning (during assembly)

| IE 80 HL - PASSO / PITCH 5 |            |                  |     |      | IE 80 HL - PASSO / PITCH 10 |           |            |                  |      | IE 80 HL - PASSO / PITCH 32 |      |           |            |                  |      |      |     |
|----------------------------|------------|------------------|-----|------|-----------------------------|-----------|------------|------------------|------|-----------------------------|------|-----------|------------|------------------|------|------|-----|
| $F_a$ [N]                  |            | $V_{out}$ [mm/s] |     |      |                             | $F_a$ [N] |            | $V_{out}$ [mm/s] |      |                             |      | $F_a$ [N] |            | $V_{out}$ [mm/s] |      |      |     |
|                            |            | 12,5             | 50  | 87,5 | 125                         |           |            | 25               | 100  | 175                         | 250  |           |            | 80               | 320  | 560  | 800 |
| 21000                      | $F_r$ [N]  | 635              | 637 | 638  | 641                         | 25000     | $F_r$ [N]  | 1512             |      |                             |      | 18000     | $F_r$ [N]  |                  |      |      |     |
|                            | $f_t$ [Hz] | 256              | 256 | 257  | 257                         |           | $f_t$ [Hz] | 395              |      |                             |      |           | $f_t$ [Hz] |                  |      |      |     |
| 18900                      | $F_r$ [N]  | 572              | 574 | 576  | 578                         | 22500     | $F_r$ [N]  | 1361             | 1362 |                             |      | 16200     | $F_r$ [N]  |                  |      |      |     |
|                            | $f_t$ [Hz] | 243              | 243 | 244  | 244                         |           | $f_t$ [Hz] | 375              | 375  |                             |      |           | $f_t$ [Hz] |                  |      |      |     |
| 16800                      | $F_r$ [N]  | 508              | 510 | 512  | 514                         | 20000     | $F_r$ [N]  | 1210             | 1211 | 1213                        |      | 14400     | $F_r$ [N]  |                  |      |      |     |
|                            | $f_t$ [Hz] | 229              | 229 | 230  | 230                         |           | $f_t$ [Hz] | 353              | 353  | 354                         |      |           | $f_t$ [Hz] |                  |      |      |     |
| 14700                      | $F_r$ [N]  | 445              | 448 | 450  | 451                         | 17500     | $F_r$ [N]  | 1059             | 1061 | 1063                        | 1065 | 12600     | $F_r$ [N]  |                  |      |      |     |
|                            | $f_t$ [Hz] | 214              | 214 | 216  | 216                         |           | $f_t$ [Hz] | 330              | 330  | 331                         | 331  |           | $f_t$ [Hz] |                  |      |      |     |
| 12600                      | $F_r$ [N]  | 381              | 384 | 386  | 387                         | 15000     | $F_r$ [N]  | 907              | 910  | 911                         | 913  | 10800     | $F_r$ [N]  |                  |      |      |     |
|                            | $f_t$ [Hz] | 198              | 198 | 200  | 200                         |           | $f_t$ [Hz] | 306              | 306  | 307                         | 307  |           | $f_t$ [Hz] |                  |      |      |     |
| 10500                      | $F_r$ [N]  | 318              | 320 | 322  | 324                         | 12500     | $F_r$ [N]  | 756              | 758  | 760                         | 762  | 9000      | $F_r$ [N]  | 1742             |      |      |     |
|                            | $f_t$ [Hz] | 181              | 181 | 182  | 183                         |           | $f_t$ [Hz] | 279              | 279  | 280                         | 280  |           | $f_t$ [Hz] | 424              |      |      |     |
| 8400                       | $F_r$ [N]  | 254              | 254 | 260  | 260                         | 10000     | $F_r$ [N]  | 605              | 608  | 610                         | 611  | 7200      | $F_r$ [N]  | 1394             | 1395 |      |     |
|                            | $f_t$ [Hz] | 162              | 162 | 164  | 164                         |           | $f_t$ [Hz] | 250              | 250  | 251                         | 251  |           | $f_t$ [Hz] | 379              | 379  |      |     |
| 6300                       | $F_r$ [N]  | 191              | 194 | 196  | 197                         | 7500      | $F_r$ [N]  | 454              | 456  | 458                         | 460  | 5400      | $F_r$ [N]  | 1045             | 1046 | 1048 |     |
|                            | $f_t$ [Hz] | 140              | 140 | 142  | 142                         |           | $f_t$ [Hz] | 216              | 216  | 218                         | 218  |           | $f_t$ [Hz] | 328              | 328  | 329  |     |
| 4200                       | $F_r$ [N]  | 127              | 130 | 131  | 133                         | 5000      | $F_r$ [N]  | 303              | 306  | 307                         | 309  | 3600      | $F_r$ [N]  | 697              | 698  | 700  | 703 |
|                            | $f_t$ [Hz] | 114              | 114 | 117  | 117                         |           | $f_t$ [Hz] | 177              | 177  | 178                         | 178  |           | $f_t$ [Hz] | 268              | 268  | 269  | 269 |
| 2100                       | $F_r$ [N]  | 64               | 66  | 68   | 70                          | 2500      | $F_r$ [N]  | 151              | 153  | 155                         | 157  | 1800      | $F_r$ [N]  | 348              | 350  | 352  | 355 |
|                            | $f_t$ [Hz] | 81               | 81  | 85   | 85                          |           | $f_t$ [Hz] | 125              | 125  | 127                         | 127  |           | $f_t$ [Hz] | 190              | 190  | 191  | 191 |

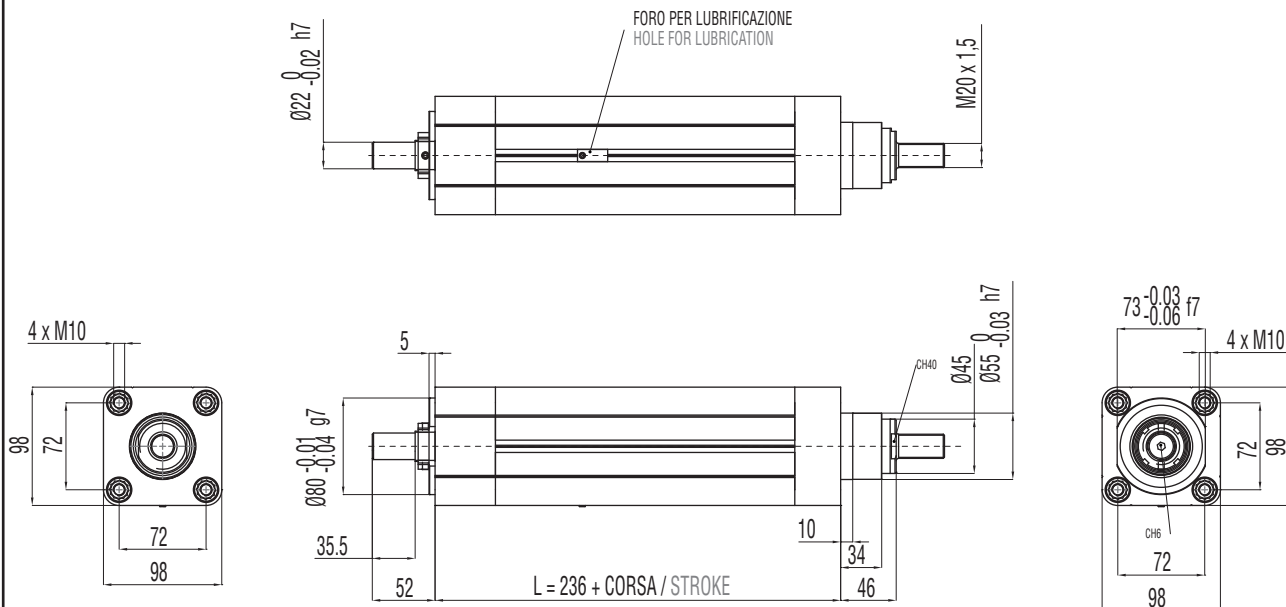
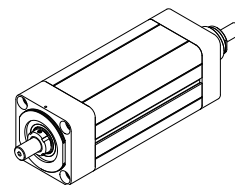
### 3.6.6 Caratteristiche dimensionali

### 3.6.6 Overall dimensions

NOTA: Dati categorie motori / riduttori / rinvi al capitolo 4.

REMARK: Motors / Planetary / Angle bevel gearbox categories data at chapter 4.

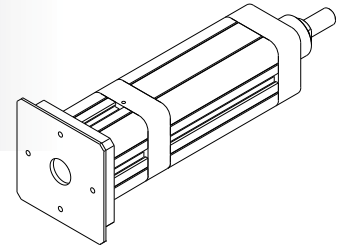
**B00**  
MODULO BASE  
BASIC MODULE



**B00 + D00**

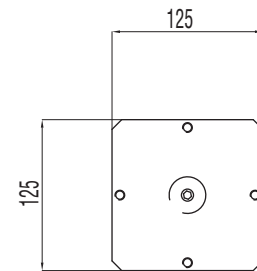
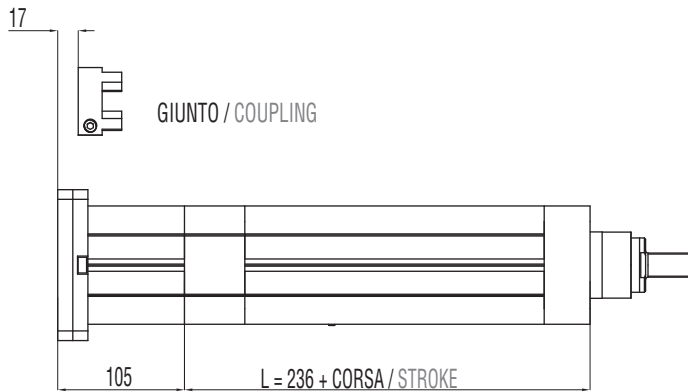
MODULO BASE + TRASMISSIONE COASSIALE PER MOTORE CUSTOM  
(SENZA RIDUTTORE)

**BASIC MODULE + CUSTOM IN-LINE TRANSMISSION W/O REDUCTION STAGE  
FOR CUSTOM MOTORS**



| CxC | B | DIMENSIONI LIMITI INTERFACCIA<br>MAX INTERFACE DIMENSIONS |           |                 |           |
|-----|---|---|-----------|-----------------|-----------|
|     |   | TAGLIA GIUNTO<br>COUPLING SIZE                            | A<br>[mm] | B<br>[mm]       | C<br>[mm] |
|     |   | 60  | 30 max    | 28 min / 50 max | 110 max   |

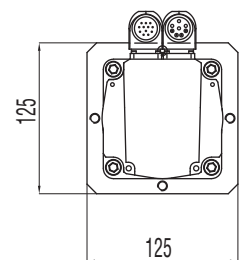
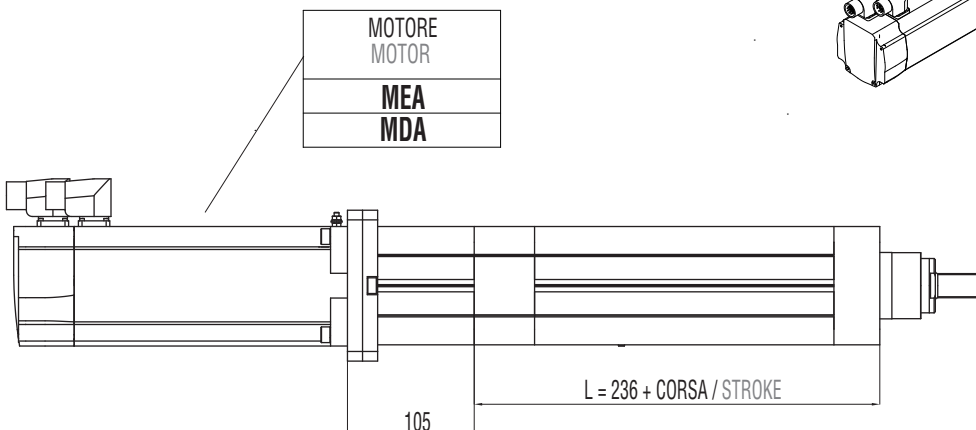
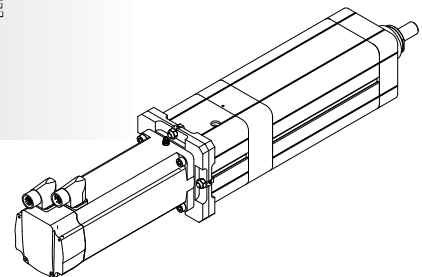
NOTA: Massima coppia in ingresso al giunto pari a 75 Nm.  
REMARK: Max admissible input torque at coupling = 75 Nm.



**B00 + D01**

MODULO BASE + TRASMISSIONE COASSIALE PER MOTORE COMPATIBILE  
(SENZA RIDUTTORE)

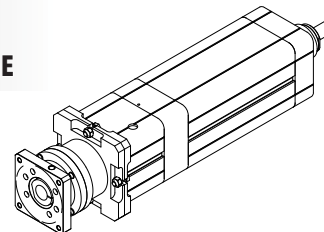
**BASIC MODULE + IN-LINE TRANSMISSION W/O REDUCTION STAGE FOR  
COMPATIBLE MOTORS**



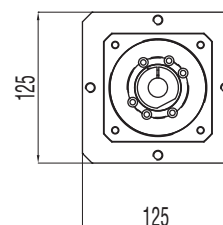
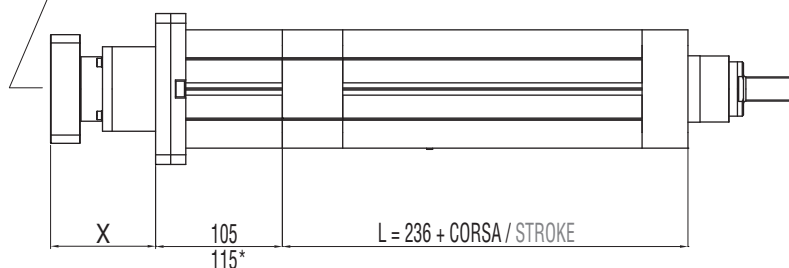
**B00 + D02**

MODULO BASE + RIDUTTORE EPICICLOIDALE COASSIALE COMPATIBILE

**BASIC MODULE + IN-LINE COMPATIBLE PLANETARY GEARBOX REDUCTION STAGE**



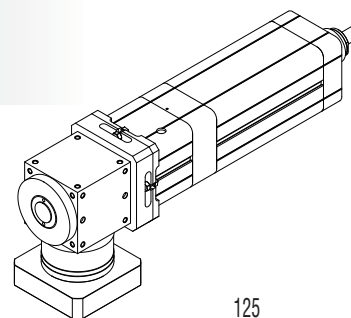
|                                |
|--------------------------------|
| RIDUTTORE<br>PLANETARY GEARBOX |
| <b>GCA</b>                     |
| <b>GDA</b>                     |
| <b>GCB</b>                     |
| <b>GEB*</b>                    |



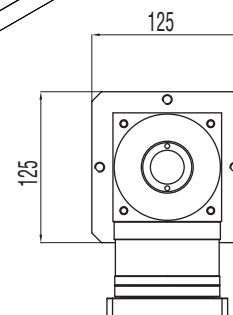
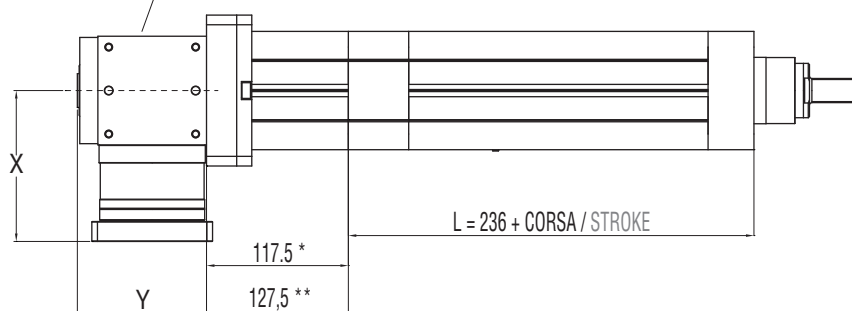
**B00 + A01**

MODULO BASE + RINVIO ANGOLARE COMPATIBILE

**BASIC MODULE + COMPATIBLE ANGLE BEVEL GEARBOX STAGE**



|  |
|--|
| RINVIO ANGOLARE<br>ANGLE BEVEL GEARBOX |
| <b>ACA*</b>                            |
| <b>ADA**</b>                           |

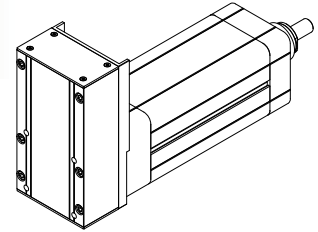




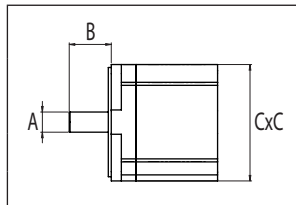
**B00 + R00**

MODULO BASE + TRASMISSIONE A CINGHIA IN PARALLELO PER MOTORE CUSTOM

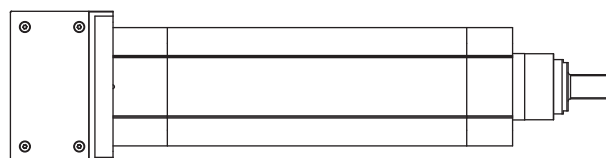
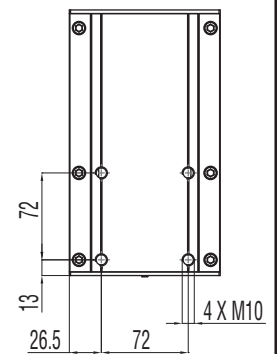
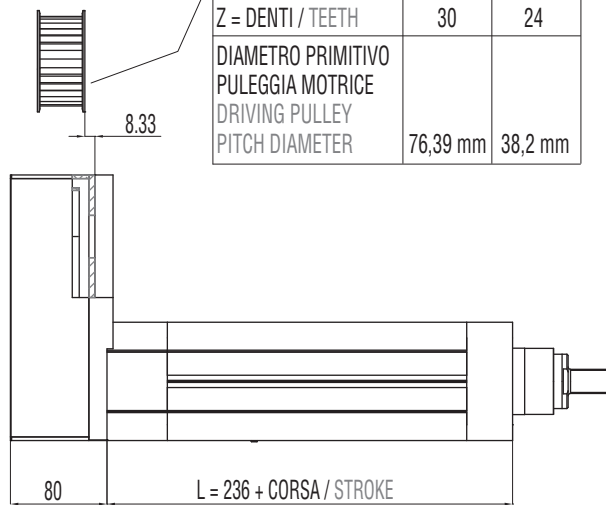
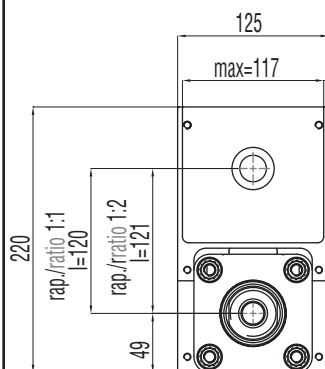
BASIC MODULE + PARALLEL CUSTOM BELT GEARBOX STAGE FOR CUSTOM MOTORS



|              | DIMENSIONI LIMITI INTERFACCIA<br>MAX INTERFACE DIMENSIONS |                 |         |
|--------------|---|-----------------|---------|
|              | A   | B               | C       |
|              | [mm]  | [mm]            | [mm]    |
| <b>R=1:1</b> | 24 max  | 42 min / 58 max | 110 max |
| <b>R=1:2</b> | 19 max  | 36 min / 50 max | 110 max |



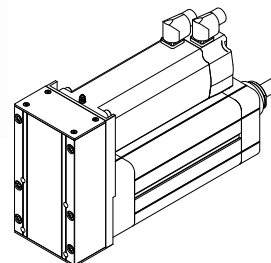
|  |          |         |
|--|----------|---------|
| RAPPORTO / RATIO   | 1:1      | 1:2     |
| PASSO / PITCH  | 8 mm     | 5 mm    |
| Z = DENTI / TEETH  | 30       | 24      |
| DIAMETRO PRIMITIVO<br>PULEGGIA MOTRICE<br>DRIVING PULLEY<br>PITCH DIAMETER | 76,39 mm | 38,2 mm |



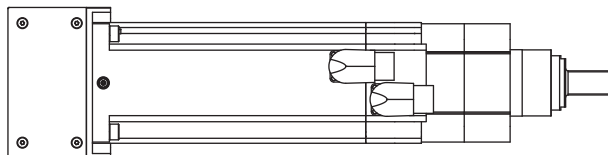
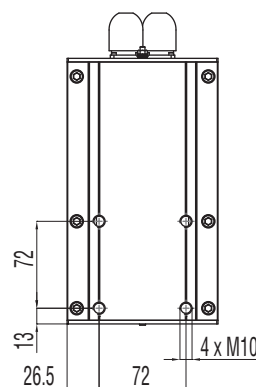
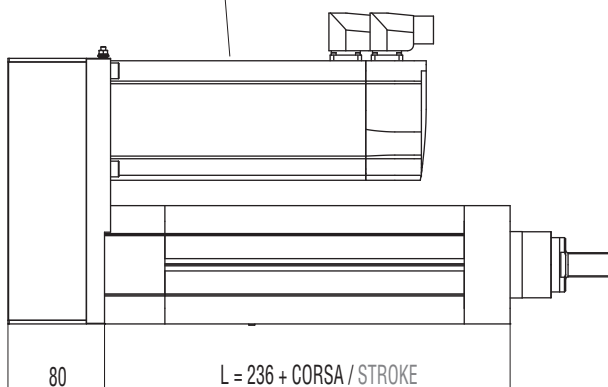
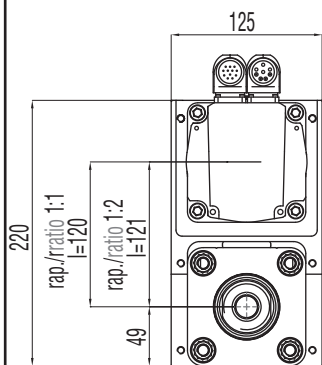
**B00 + R01**

MODULO BASE + TRASMISSIONE A CINGHIA IN PARALLELO PER MOTORE COMPATIBILE

BASIC MODULE + PARALLEL BELT GEARBOX STAGE FOR COMPATIBLE MOTORS



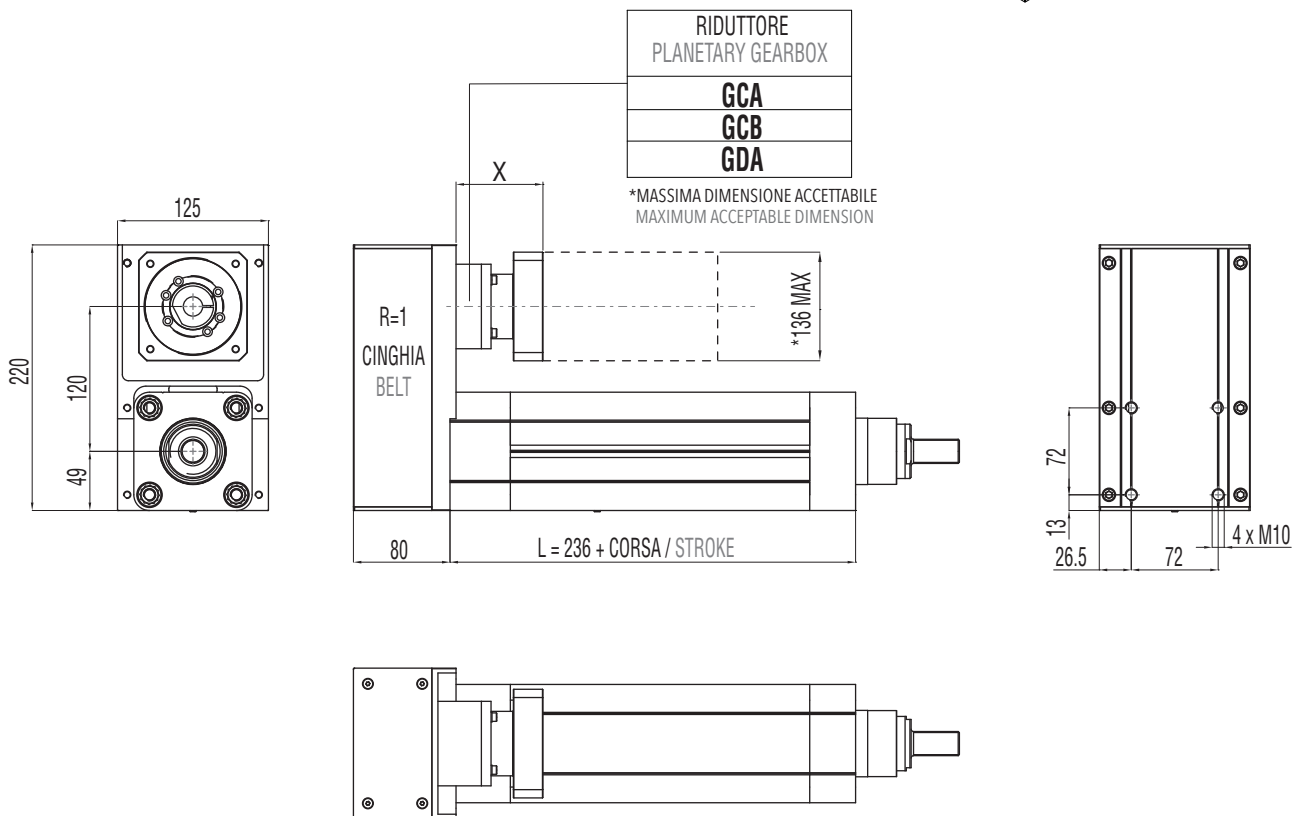
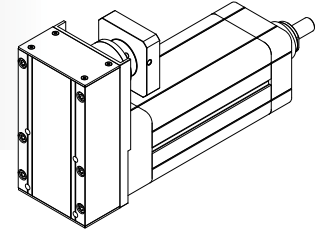
|                 |
|-----------------|
| MOTORE<br>MOTOR |
| <b>MCA</b>      |
| <b>MCB</b>      |
| <b>MCC</b>      |
| <b>MCD</b>      |
| <b>MDA</b>      |
| <b>MDB</b>      |
| <b>MDC</b>      |



**B00 + R02**

MODULO BASE + TRASMISSIONE A CINGHIA IN PARALLELO +  
RIDUTTORE EPICICLOIDALE COMPATIBILE

**BASIC MODULE + PARALLEL BELT GEARBOX STAGE +  
IN-LINE COMPATIBLE PLANETARY GEARBOX REDUCTION STAGE**



**3.6.7 Accessori disponibili**

Per le tabelle e i disegni tecnici degli accessori disponibili fare riferimento al paragrafo 3.10 (da pag. 136).

**3.6.7 Available accessories**

For tables and drawings please refer to paragraph 3.10 (from page 136).

## 3.7

## IE 100

## 3.7.1 Caratteristiche tecniche

## 3.7.1 Technical features

| ISOMOVE IE 100             |  | 5  | 10                                    | 20                                   | 32                                   |
|----------------------------|--|--|---------------------------------------|--------------------------------------|--------------------------------------|
| <b>P</b>                   | PASSO VITE<br>SCREW LEAD<br>[mm]   | 5  | 10                                    | 20                                   | 32                                   |
| <b>D</b>                   | DIAMETRO VITE<br>SCREW DIAMETER<br>[mm]  | 32   | 32                                    | 32                                   | 32                                   |
| <b>F<sub>d</sub></b>       | CARICO MASSIMO DINAMICO APPLICABILE<br>MAX ADMISSIBLE DYNAMIC LOAD<br>[N]  | 21000*   | 25000*                                | 30000*                               | 16000*                               |
| <b>C<sub>in,max</sub></b>  | PER AVERE $F_a = F_d$<br>TO GET<br>[Nm]  | 18,5   | 44,3                                  | 106                                  | 90,5                                 |
|                            | "CASO 1" / "CASE 1": B00 + D00/D01<br>[Nm]   | 18,5   | 44,3                                  | 106                                  | 90,5                                 |
|                            | "CASO 2" / "CASE 2": B00 + D02/A01<br>[Nm]   | $\left[ \frac{20,5}{R} \right] + C_s$  | $\left[ \frac{49,2}{R} \right] + C_s$ | $\left[ \frac{117}{R} \right] + C_s$ | $\left[ \frac{100}{R} \right] + C_s$ |
|                            |  | R = rapporto di riduzione del riduttore / rinvio angolare<br>R = planetary / angle bevel gearbox reduction ratio                                     |                                       |                                      |                                      |
| <b>C<sub>m,max</sub></b>   | "CASO 3" / "CASE 3": B00 + R00/R01<br>[Nm]   | $\frac{20,5}{R}$   | $\frac{49,2}{R}$                      | $\frac{117}{R}$                      | $\frac{100}{R}$                      |
|                            |  | R = rapporto di riduzione della trasmissione a cinghia<br>(disponibile R=1 oppure R=2)<br>R = belt gearbox reduction ratio<br>(available R=1 or R=2) |                                       |                                      |                                      |
|                            | "CASO 4" / "CASE 4": B00 + R02<br>[Nm]   | $\frac{22,7}{R}$   | $\frac{54,6}{R}$                      | $\frac{130}{R}$                      | $\frac{111}{R}$                      |
|                            |  | R = rapporto di riduzione del riduttore epicicloidale<br>R = planetary gearbox reduction ratio   |                                       |                                      |                                      |
| <b>F<sub>st</sub></b>      | CARICO MASSIMO STATICO APPLICABILE<br>MAX ADMISSIBLE STATIC LOAD<br>[N]  | 30000  | 30000                                 | 30000                                | 30000                                |
| <b>V<sub>out,max</sub></b> | VELOCITÀ DI TRASLAZIONE MASSIMA IN USCITA /<br>ROTAZIONE MASSIMA VITE RDS<br>[mm/sec]  | 250/3000   | 500/3000                              | 1000/3000                            | 1600/3000                            |
| <b>N<sub>in,max</sub></b>  | MAX OUTPUT SPEED / MAX BALLSCREW ROTATING<br>INPUT SPEED<br>[rpm]  |  |                                       |                                      |                                      |
| <b>a<sub>max</sub></b>     | ACCELERAZIONE MASSIMA IN USCITA<br>MAX OUTPUT ACCELERATION<br>[m/sec <sup>2</sup> ]  | 1  | 2                                     | 3                                    | 5                                    |
| <b>S<sub>max</sub></b>     | CORSA MASSIMA STANDARD<br>MAX STANDARD STROKE<br>[mm]  | 1100**   | 1100**                                | 1100**                               | 1100**                               |
|                            | PESO MODULO BASE CORSA 0 mm / PESO OGNI 100<br>mm DI CORSA<br>BASIC MODULE WEIGHT FOR 0 mm STROKE / WEIGHT<br>FOR ADDITIONAL 100 mm STROKE<br>[Kg] | 7,1 / 2,3  | 7,1 / 2,3                             | 7,1 / 2,3                            | 7,1 / 2,3                            |
| <b>G<sub>s,max</sub></b>   | GIOCO ASSIALE MASSIMO PER CHIOCCIOLA STANDARD<br>MAX AXIAL BACKLASH FOR STANDARD BALLSCREW<br>ASSEMBLY<br>mm                                       | 0,06   | 0,06                                  | 0,06                                 | 0,06                                 |
| <b>G<sub>z</sub></b>       | GIOCO "0" DELLA CHIOCCIOLA<br>"0" BACKLASH BALLSCREW ASSEMBLY  | DISPONIBILE / AVAILABLE  |                                       |                                      |                                      |
| <b>L<sub>10,Km</sub></b>   | DURATA<br>LIFETIME<br>Km   | VEDI TABELLA / SEE TABLE pg. 100   |                                       |                                      |                                      |






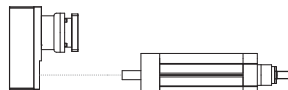

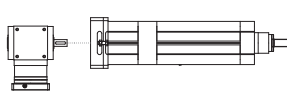
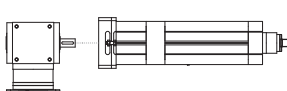
\* Per le versioni R00/R01 controllare con i grafici delle pagine 102/103. / For R00/R01 types please check graph at pages 102/103.

\*\* Per corse superiori, contattare il nostro servizio tecnico. / For longer strokes please contact our technical dpt.

| ISOMOVE IE 100                                 |  | 5  | 10   | 20   | 32   |
|--|--|--|--|--|--|
| VERSIONI DISPONIBILI<br>AVAILABLE TYPES        |  | D00 / D01 / D02 / R00 / R01 / R02 / A01                        |  |  |  |
| <b>F<sub>a,p</sub></b>                         | POSSIBILE CON IL RIDUTTORE EPICICLOIDALE INDICATO<br>POSSIBLE VALUE WITH THE INDICATED PLANETARY GEARBOX [N] | AE070/21000<br>AE090/21000<br>PGII-080/21000<br>PGII-120/21000 | AE070/18000<br>AE090/25000<br>PGII-080/25000<br>PGII-120/25000 | AE070/8800 ***<br>AE090/21900***<br>PGII-080/14300 ***<br>PGII-120/30000 | AE070/8800 ***<br>AE090/21900***<br>PGII-080/14300 ***<br>PGII-120/30000 |
|  | POSSIBILE CON IL RINVIO ANGOLARE INDICATO<br>POSSIBLE VALUE WITH THE INDICATED ANGLE BEVEL GEARBOX [N]       | ATB090/21000<br>ATB110/21000                                   | ATB090/21000***<br>ATB110/25000                                | ATB090/4500 ***<br>ATB110/11600 ***                                      | ATB090/4500 ***<br>ATB110/11600 ***                                      |
| ACCESSORI DISPONIBILI<br>AVAILABLE ACCESSORIES |  | VEDI PARAGRAFO / SEE PARAGRAPH 3.10 (pg. 136)                  |  |  |  |

\*\*\* È il valore massimo ottenibile con il rapporto di riduzione disponibile avente il minore valore di coppia erogabile.  
It is the max obtainable value with the available on tables reduction ratio which has the lowest value of nominal output torque.

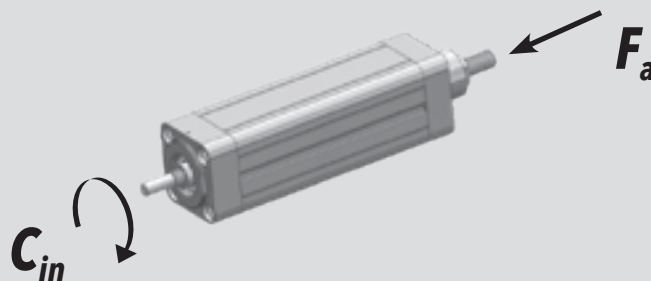
**RIDUTTORI-RINVII "STANDARD SETEC GROUP DISPONIBILI"**  
**"STANDARD SETEC GROUP AVAILABLE" PLANETARY-ANGLE BEVEL GEARBOXES**

|   |   |  |   |  |
|---|---|--|---|--|
| <p>TRASMISSIONE COASSIALE CON RIDUTTORE<br/>IN-LINE PLANETARY GEARBOX STAGE</p>   | <br><b>AE070</b> MODULO BASE BASIC MODULE  | <br><b>AE090</b> MODULO BASE BASIC MODULE  | <br><b>PGII-080</b> MODULO BASE BASIC MODULE   | <br><b>PGII-120</b> MODULO BASE BASIC MODULE |
| <p>TRASMISSIONE PARALLELA CON RIDUTTORE<br/>PARALLEL BELT GEARBOX STAGE + IN-LINE PLANETARY GEARBOX REDUCTION STAGE</p> | <br><b>AE070</b> MODULO BASE BASIC MODULE  | <br><b>AE090</b> MODULO BASE BASIC MODULE  | <br><b>PGII-080</b> MODULO BASE BASIC MODULE |  |
| <p>TRASMISSIONE ANGOLARE CON RINVIO<br/>ANGLE BEVEL GEARBOX STAGE</p>   | <br><b>ATB090</b> MODULO BASE BASIC MODULE | <br><b>ATB110</b> MODULO BASE BASIC MODULE |   |  |

## 3.7.2 Calcolo durata

## 3.7.2 Lifetime calculation



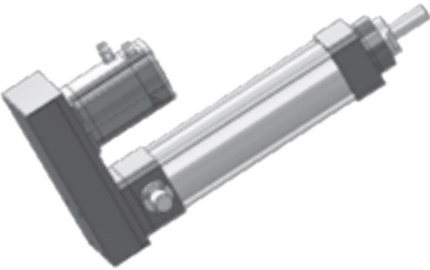
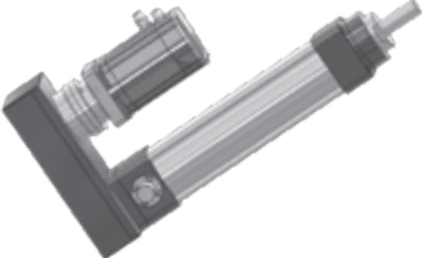
|                                   |  |                                      |
|-----------------------------------|--|--------------------------------------|
| <b>IE 100</b><br><b>P = 5 mm</b>  | $L_{10,Km} = \left[ \frac{23900}{F_{eq}} \right]^3 \cdot 5$  | $L_{10,Km} = [Km]$<br>$F_{eq} = [N]$ |
| <b>IE 100</b><br><b>P = 10 mm</b> | $L_{10,Km} = \left[ \frac{31500}{F_{eq}} \right]^3 \cdot 10$ | $L_{10,Km} = [Km]$<br>$F_{eq} = [N]$ |
| <b>IE 100</b><br><b>P = 20 mm</b> | $L_{10,Km} = \left[ \frac{39300}{F_{eq}} \right]^3 \cdot 20$ | $L_{10,Km} = [Km]$<br>$F_{eq} = [N]$ |
| <b>IE 100</b><br><b>P = 32 mm</b> | $L_{10,Km} = \left[ \frac{18200}{F_{eq}} \right]^3 \cdot 32$ | $L_{10,Km} = [Km]$<br>$F_{eq} = [N]$ |

3.7.3 Calcolo coppia in ingresso  
al modulo base3.7.3 Torque calculation at basic  
module input shaft

|                                   |   |                                |
|-----------------------------------|---|--------------------------------|
| <b>IE 100</b><br><b>P = 5 mm</b>  | $C_{in} = \left[ \frac{F_a \cdot 5}{5652} \right]$  | $C_{in} = [Nm]$<br>$F_a = [N]$ |
| <b>IE 100</b><br><b>P = 10 mm</b> | $C_{in} = \left[ \frac{F_a \cdot 10}{5652} \right]$ | $C_{in} = [Nm]$<br>$F_a = [N]$ |
| <b>IE 100</b><br><b>P = 20 mm</b> | $C_{in} = \left[ \frac{F_a \cdot 20}{5652} \right]$ | $C_{in} = [Nm]$<br>$F_a = [N]$ |
| <b>IE 100</b><br><b>P = 32 mm</b> | $C_{in} = \left[ \frac{F_a \cdot 32}{5652} \right]$ | $C_{in} = [Nm]$<br>$F_a = [N]$ |

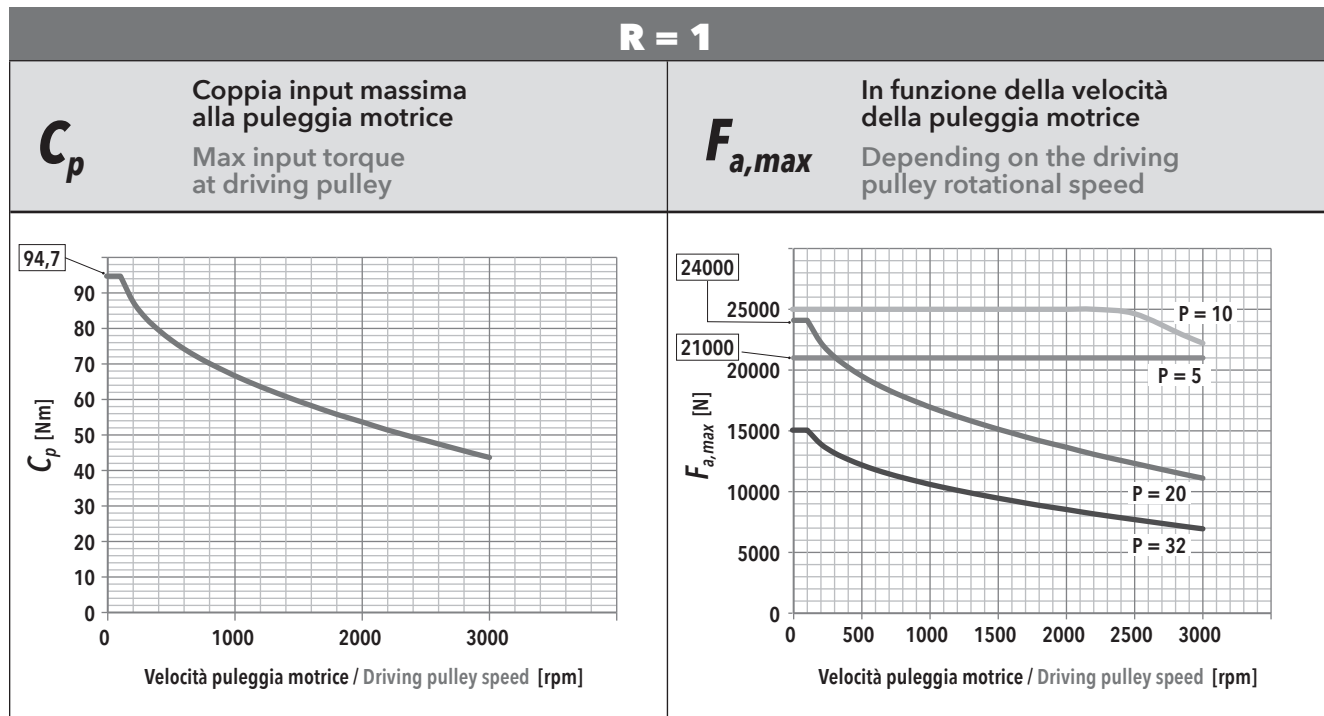
3.7.4 Calcolo coppia motore

3.7.4 Motor torque calculation

|                                 |   |
|---------------------------------|---|
| <p>CASO / CASE<br/><b>1</b></p> | <p><b>ISOMOVE B00 + D00 / D01</b></p>  $C_m = C_{in} \quad [Nm]$   |
| <p>CASO / CASE<br/><b>2</b></p> | <p><b>ISOMOVE B00 + D02 / A01</b></p>  $C_m = \left[ \frac{C_{in}}{R \cdot \eta} \right] + C_s \quad [Nm]$ <p><i>R</i> = rapporto di riduzione riduttore / rinvio<br/>planetary / angle bevel gearbox reduction ratio<br/><i>η</i> = rendimento meccanico / mechanical efficiency = 0,90</p>                              |
| <p>CASO / CASE<br/><b>3</b></p> | <p><b>ISOMOVE B00 + R00 / R01</b></p>  $C_m = \left[ \frac{C_{in}}{R \cdot \eta} \right] \quad [Nm]$ <p><i>R</i> = rapporto di riduzione trasmissione a cinghia, disponibile<br/>R=1 o R=2<br/>belt gearbox reduction ratio, available R=1 or R=2<br/><i>η</i> = rendimento meccanico / mechanical efficiency = 0,90</p> |
| <p>CASO / CASE<br/><b>4</b></p> | <p><b>ISOMOVE B00 + R02</b></p>  $C_m = \left[ \frac{C_{in}}{R \cdot \eta} \right] + C_s \quad [Nm]$ <p><i>R</i> = rapporto di riduzione riduttore epicicloidale<br/>planetary gearbox reduction ratio<br/><i>η</i> = rendimento meccanico / mechanical efficiency = 0,81</p>  |

3.7.5 Potenza in ingresso alla trasmissione a cinghia (versione R)

3.7.5 Mechanical input power at belt gear stage (R type)

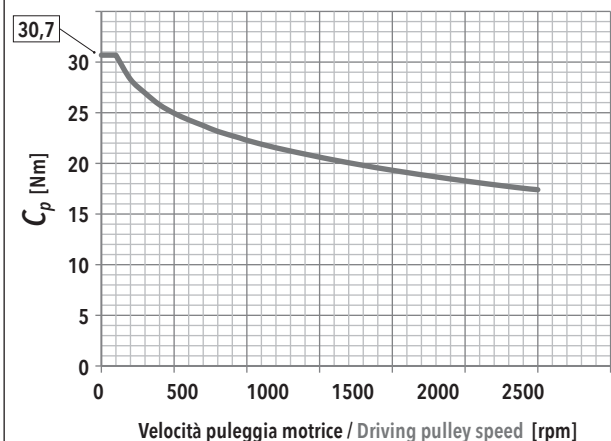


| IE 100 - PASSO / PITCH 5 |            |                  |     |     | IE 100 - PASSO / PITCH 10 |           |            |                  |      | IE 100 - PASSO / PITCH 20 |       |            |            |                  | IE 100 - PASSO / PITCH 32 |      |       |           |           |                  |            |      |      |
|--------------------------|------------|------------------|-----|-----|---------------------------|-----------|------------|------------------|------|---------------------------|-------|------------|------------|------------------|---------------------------|------|-------|-----------|-----------|------------------|------------|------|------|
| $F_a$ [N]                |            | $V_{out}$ [mm/s] |     |     |                           | $F_a$ [N] |            | $V_{out}$ [mm/s] |      |                           |       | $F_a$ [N]  |            | $V_{out}$ [mm/s] |                           |      |       | $F_a$ [N] |           | $V_{out}$ [mm/s] |            |      |      |
|                          |            | 25               | 100 | 175 | 250                       |           |            | 50               | 200  | 350                       | 500   |            |            | 100              | 400                       | 700  | 1000  |           |           | 160              | 640        | 1120 | 1600 |
| 21000                    | $F_r$ [N]  | 616              | 622 | 634 | 652                       | 25000     | $F_r$ [N]  | 1467             | 1469 | 1473                      | 30000 | $F_r$ [N]  |            |                  |                           |      | 16000 | $F_r$ [N] |           |                  |            |      |      |
|                          | $f_t$ [Hz] | 207              | 208 | 210 | 213                       |           | $f_t$ [Hz] | 320              | 320  | 320                       |       | $f_t$ [Hz] |            |                  |                           |      |       |           |           | $f_t$ [Hz]       |            |      |      |
| 18900                    | $F_r$ [N]  | 555              | 560 | 572 | 590                       | 22500     | $F_r$ [N]  | 1321             | 1322 | 1326                      | 1356  | 27000      | $F_r$ [N]  |                  |                           |      |       | 14400     | $F_r$ [N] |                  |            |      |      |
|                          | $f_t$ [Hz] | 197              | 198 | 200 | 203                       |           | $f_t$ [Hz] | 303              | 304  | 304                       | 307   |            | $f_t$ [Hz] |                  |                           |      |       |           |           |                  | $F_r$ [N]  | 2404 |      |
| 16800                    | $F_r$ [N]  | 493              | 499 | 510 | 529                       | 20000     | $F_r$ [N]  | 1174             | 1176 | 1179                      | 1209  | 24000      | $F_r$ [N]  |                  |                           |      |       | 12800     | $F_r$ [N] |                  |            |      |      |
|                          | $f_t$ [Hz] | 185              | 186 | 189 | 192                       |           | $f_t$ [Hz] | 286              | 286  | 287                       | 290   |            | $f_t$ [Hz] |                  |                           |      |       |           |           |                  | $f_t$ [Hz] | 409  |      |
| 14700                    | $F_r$ [N]  | 432              | 437 | 449 | 467                       | 17500     | $F_r$ [N]  | 1027             | 1029 | 1033                      | 1063  | 21000      | $F_r$ [N]  | 2465             |                           |      |       | 11200     | $F_r$ [N] | 2103             |            |      |      |
|                          | $f_t$ [Hz] | 173              | 175 | 177 | 180                       |           | $f_t$ [Hz] | 268              | 268  | 268                       | 272   |            | $f_t$ [Hz] | 415              |                           |      |       |           |           |                  | $f_t$ [Hz] | 383  |      |
| 12600                    | $F_r$ [N]  | 370              | 375 | 387 | 406                       | 15000     | $F_r$ [N]  | 881              | 882  | 886                       | 916   | 18000      | $F_r$ [N]  | 2113             | 2118                      |      |       | 9600      | $F_r$ [N] | 1803             | 1808       |      |      |
|                          | $f_t$ [Hz] | 161              | 162 | 164 | 168                       |           | $f_t$ [Hz] | 248              | 248  | 249                       | 253   |            | $f_t$ [Hz] | 384              | 384                       |      |       |           |           |                  | $f_t$ [Hz] | 355  | 355  |
| 10500                    | $F_r$ [N]  | 308              | 314 | 326 | 344                       | 12500     | $F_r$ [N]  | 734              | 736  | 739                       | 769   | 15000      | $F_r$ [N]  | 1761             | 1766                      | 1768 |       | 8000      | $F_r$ [N] | 1502             | 1508       | 1520 |      |
|                          | $f_t$ [Hz] | 147              | 148 | 151 | 155                       |           | $f_t$ [Hz] | 226              | 226  | 227                       | 232   |            | $f_t$ [Hz] | 350              | 351                       | 351  |       |           |           |                  | $f_t$ [Hz] | 324  | 324  |
| 8400                     | $F_r$ [N]  | 247              | 252 | 264 | 282                       | 10000     | $F_r$ [N]  | 587              | 589  | 593                       | 623   | 12000      | $F_r$ [N]  | 1409             | 1414                      | 1416 | 1444  | 6400      | $F_r$ [N] | 1202             | 1207       | 1219 | 1238 |
|                          | $f_t$ [Hz] | 131              | 133 | 136 | 140                       |           | $f_t$ [Hz] | 202              | 203  | 203                       | 208   |            | $f_t$ [Hz] | 313              | 314                       | 314  | 317   |           |           |                  | $f_t$ [Hz] | 289  | 290  |
| 6300                     | $F_r$ [N]  | 185              | 191 | 202 | 221                       | 7500      | $F_r$ [N]  | 440              | 442  | 446                       | 476   | 9000       | $F_r$ [N]  | 1057             | 1062                      | 1064 | 1092  | 4800      | $F_r$ [N] | 902              | 907        | 919  | 937  |
|                          | $f_t$ [Hz] | 114              | 115 | 119 | 124                       |           | $f_t$ [Hz] | 175              | 176  | 176                       | 182   |            | $f_t$ [Hz] | 271              | 272                       | 272  | 276   |           |           |                  | $f_t$ [Hz] | 251  | 251  |
| 4200                     | $F_r$ [N]  | 124              | 129 | 141 | 159                       | 5000      | $F_r$ [N]  | 294              | 296  | 299                       | 329   | 6000       | $F_r$ [N]  | 704              | 710                       | 712  | 740   | 3200      | $F_r$ [N] | 601              | 607        | 618  | 637  |
|                          | $f_t$ [Hz] | 93               | 95  | 99  | 105                       |           | $f_t$ [Hz] | 143              | 144  | 144                       | 152   |            | $f_t$ [Hz] | 222              | 222                       | 223  | 227   |           |           |                  | $f_t$ [Hz] | 205  | 206  |
| 2100                     | $F_r$ [N]  | 62               | 67  | 79  | 97                        | 2500      | $F_r$ [N]  | 147              | 149  | 152                       | 183   | 3000       | $F_r$ [N]  | 352              | 358                       | 360  | 388   | 1600      | $F_r$ [N] | 301              | 306        | 318  | 336  |
|                          | $f_t$ [Hz] | 66               | 69  | 74  | 82                        |           | $f_t$ [Hz] | 101              | 102  | 103                       | 113   |            | $f_t$ [Hz] | 157              | 158                       | 158  | 164   |           |           |                  | $f_t$ [Hz] | 145  | 146  |

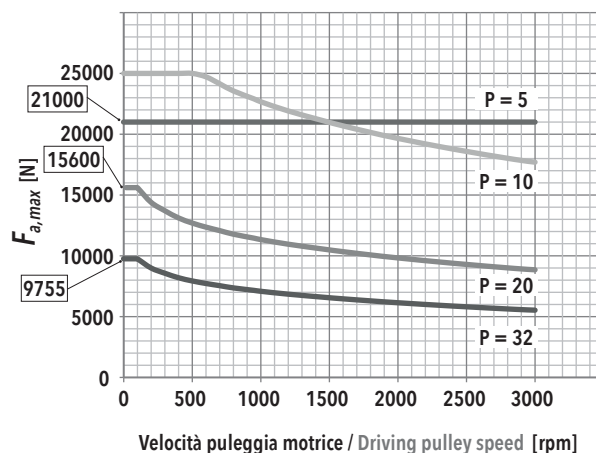


R = 2

**$C_p$**  Coppia input massima alla puleggia motrice  
Max input torque at driving pulley



**$F_{a,max}$**  In funzione della velocità della puleggia motrice  
Depending on the driving pulley rotational speed



**$F_r$**  Forza radiale su asse puleggia motrice in funzione di Cin  
Radial force on driving pulley as a function of Cin

**$f_t$**  Frequenza di vibrazione della cinghia per il tensionamento (al montaggio)  
Vibration frequency of the belt for its tensioning (during assembly)

| IE 100 - PASSO / PITCH 5 |            |                  |     |      |     |
|--------------------------|------------|------------------|-----|------|-----|
| $F_a$ [N]                |            | $V_{out}$ [mm/s] |     |      |     |
|                          |            | 12,5             | 50  | 87,5 | 125 |
| 21000                    | $F_r$ [N]  | 635              | 637 | 638  | 641 |
|                          | $f_t$ [Hz] | 256              | 256 | 257  | 257 |
| 18900                    | $F_r$ [N]  | 572              | 574 | 576  | 578 |
|                          | $f_t$ [Hz] | 243              | 243 | 244  | 244 |
| 16800                    | $F_r$ [N]  | 508              | 510 | 512  | 514 |
|                          | $f_t$ [Hz] | 229              | 229 | 230  | 230 |
| 14700                    | $F_r$ [N]  | 445              | 448 | 450  | 451 |
|                          | $f_t$ [Hz] | 214              | 214 | 216  | 216 |
| 12600                    | $F_r$ [N]  | 381              | 384 | 386  | 387 |
|                          | $f_t$ [Hz] | 198              | 198 | 200  | 200 |
| 10500                    | $F_r$ [N]  | 318              | 320 | 322  | 324 |
|                          | $f_t$ [Hz] | 181              | 181 | 182  | 183 |
| 8400                     | $F_r$ [N]  | 254              | 254 | 260  | 260 |
|                          | $f_t$ [Hz] | 162              | 162 | 164  | 164 |
| 6300                     | $F_r$ [N]  | 191              | 194 | 196  | 197 |
|                          | $f_t$ [Hz] | 140              | 140 | 142  | 142 |
| 4200                     | $F_r$ [N]  | 127              | 130 | 131  | 133 |
|                          | $f_t$ [Hz] | 114              | 114 | 117  | 117 |
| 2100                     | $F_r$ [N]  | 64               | 66  | 68   | 70  |
|                          | $f_t$ [Hz] | 81               | 81  | 85   | 85  |

| IE 100 - PASSO / PITCH 10 |            |                  |      |      |      |
|---------------------------|------------|------------------|------|------|------|
| $F_a$ [N]                 |            | $V_{out}$ [mm/s] |      |      |      |
|                           |            | 25               | 100  | 175  | 250  |
| 25000                     | $F_r$ [N]  | 1512             |      |      |      |
|                           | $f_t$ [Hz] | 395              |      |      |      |
| 22500                     | $F_r$ [N]  | 1361             | 1362 |      |      |
|                           | $f_t$ [Hz] | 375              | 375  |      |      |
| 20000                     | $F_r$ [N]  | 1210             | 1211 | 1213 |      |
|                           | $f_t$ [Hz] | 353              | 353  | 354  |      |
| 17500                     | $F_r$ [N]  | 1059             | 1061 | 1063 | 1065 |
|                           | $f_t$ [Hz] | 330              | 330  | 331  | 331  |
| 15000                     | $F_r$ [N]  | 907              | 910  | 911  | 913  |
|                           | $f_t$ [Hz] | 306              | 306  | 307  | 307  |
| 12500                     | $F_r$ [N]  | 756              | 758  | 760  | 762  |
|                           | $f_t$ [Hz] | 279              | 279  | 280  | 280  |
| 10000                     | $F_r$ [N]  | 605              | 608  | 610  | 611  |
|                           | $f_t$ [Hz] | 250              | 250  | 251  | 251  |
| 7500                      | $F_r$ [N]  | 454              | 456  | 458  | 460  |
|                           | $f_t$ [Hz] | 216              | 216  | 218  | 218  |
| 5000                      | $F_r$ [N]  | 303              | 306  | 307  | 309  |
|                           | $f_t$ [Hz] | 177              | 177  | 178  | 178  |
| 2500                      | $F_r$ [N]  | 151              | 153  | 155  | 157  |
|                           | $f_t$ [Hz] | 125              | 125  | 127  | 127  |

| IE 100 - PASSO / PITCH 20 |            |                  |      |      |     |
|---------------------------|------------|------------------|------|------|-----|
| $F_a$ [N]                 |            | $V_{out}$ [mm/s] |      |      |     |
|                           |            | 50               | 200  | 350  | 500 |
| 30000                     | $F_r$ [N]  |                  |      |      |     |
|                           | $f_t$ [Hz] |                  |      |      |     |
| 27000                     | $F_r$ [N]  |                  |      |      |     |
|                           | $f_t$ [Hz] |                  |      |      |     |
| 24000                     | $F_r$ [N]  |                  |      |      |     |
|                           | $f_t$ [Hz] |                  |      |      |     |
| 21000                     | $F_r$ [N]  |                  |      |      |     |
|                           | $f_t$ [Hz] |                  |      |      |     |
| 18000                     | $F_r$ [N]  |                  |      |      |     |
|                           | $f_t$ [Hz] |                  |      |      |     |
| 15000                     | $F_r$ [N]  |                  |      |      |     |
|                           | $f_t$ [Hz] |                  |      |      |     |
| 12000                     | $F_r$ [N]  | 1452             |      |      |     |
|                           | $f_t$ [Hz] | 387              |      |      |     |
| 9000                      | $F_r$ [N]  | 1089             | 1090 | 1092 |     |
|                           | $f_t$ [Hz] | 335              | 335  | 336  |     |
| 6000                      | $F_r$ [N]  | 726              | 727  | 729  | 732 |
|                           | $f_t$ [Hz] | 274              | 274  | 274  | 275 |
| 3000                      | $F_r$ [N]  | 363              | 364  | 366  | 369 |
|                           | $f_t$ [Hz] | 193              | 194  | 194  | 195 |

| IE 100 - PASSO / PITCH 32 |            |                  |      |      |     |
|---------------------------|------------|------------------|------|------|-----|
| $F_a$ [N]                 |            | $V_{out}$ [mm/s] |      |      |     |
|                           |            | 80               | 320  | 560  | 800 |
| 16000                     | $F_r$ [N]  |                  |      |      |     |
|                           | $f_t$ [Hz] |                  |      |      |     |
| 14400                     | $F_r$ [N]  |                  |      |      |     |
|                           | $f_t$ [Hz] |                  |      |      |     |
| 12800                     | $F_r$ [N]  |                  |      |      |     |
|                           | $f_t$ [Hz] |                  |      |      |     |
| 11200                     | $F_r$ [N]  |                  |      |      |     |
|                           | $f_t$ [Hz] |                  |      |      |     |
| 9600                      | $F_r$ [N]  |                  |      |      |     |
|                           | $f_t$ [Hz] |                  |      |      |     |
| 8000                      | $F_r$ [N]  |                  | 1549 |      |     |
|                           | $f_t$ [Hz] |                  | 400  |      |     |
| 6400                      | $F_r$ [N]  |                  | 1239 | 1240 |     |
|                           | $f_t$ [Hz] |                  | 357  | 358  |     |
| 4800                      | $F_r$ [N]  | 929              | 930  | 932  | 935 |
|                           | $f_t$ [Hz] | 310              | 310  | 310  | 311 |
| 3200                      | $F_r$ [N]  | 619              | 620  | 622  | 626 |
|                           | $f_t$ [Hz] | 253              | 253  | 253  | 254 |
| 1600                      | $F_r$ [N]  | 310              | 311  | 313  | 316 |
|                           | $f_t$ [Hz] | 179              | 179  | 180  | 180 |

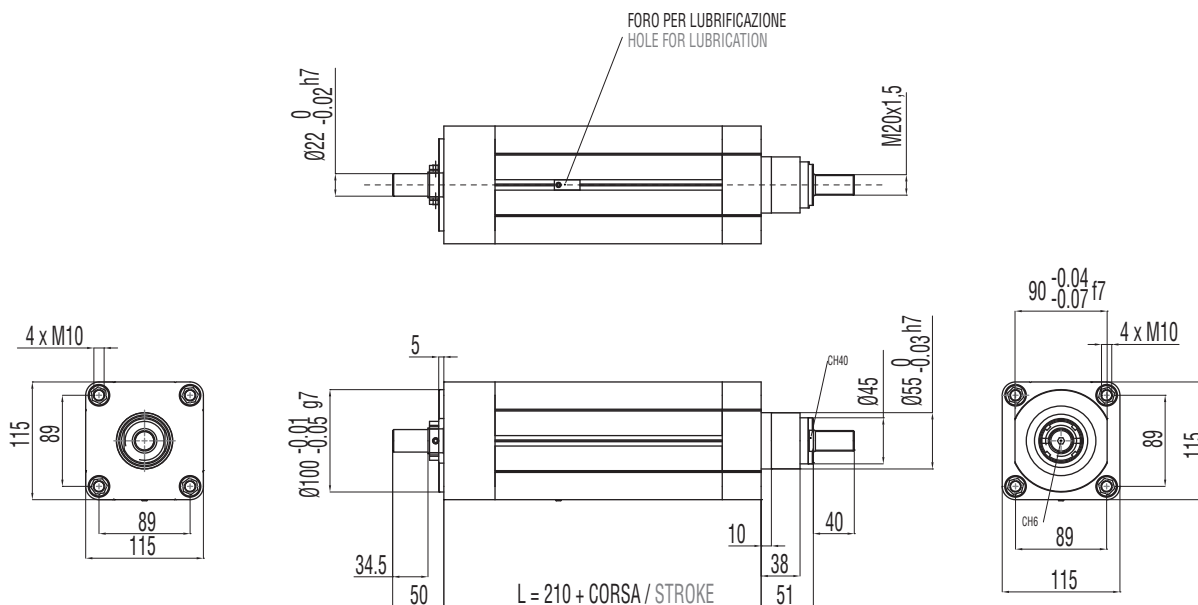
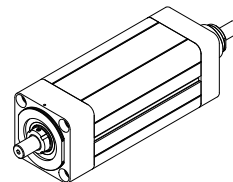
3.7.6 Caratteristiche dimensionali

3.7.6 Overall dimensions

NOTA: Dati categorie motori / riduttori / rinvii al capitolo 4.

REMARK: Motors / Planetary / Angle bevel gearbox categories data at chapter 4.

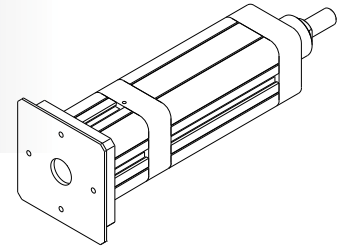
**B00**  
MODULO BASE  
BASIC MODULE



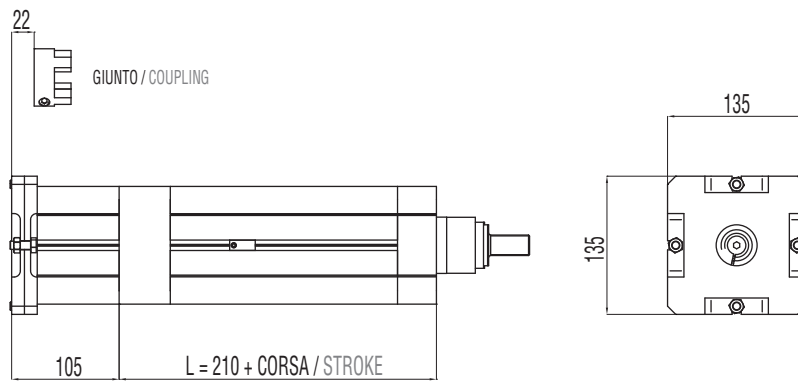
**B00 + D00**

MODULO BASE + TRASMISSIONE COASSIALE PER MOTORE CUSTOM  
(SENZA RIDUTTORE)

**BASIC MODULE + CUSTOM IN-LINE TRANSMISSION W/O REDUCTION STAGE  
FOR CUSTOM MOTORS**



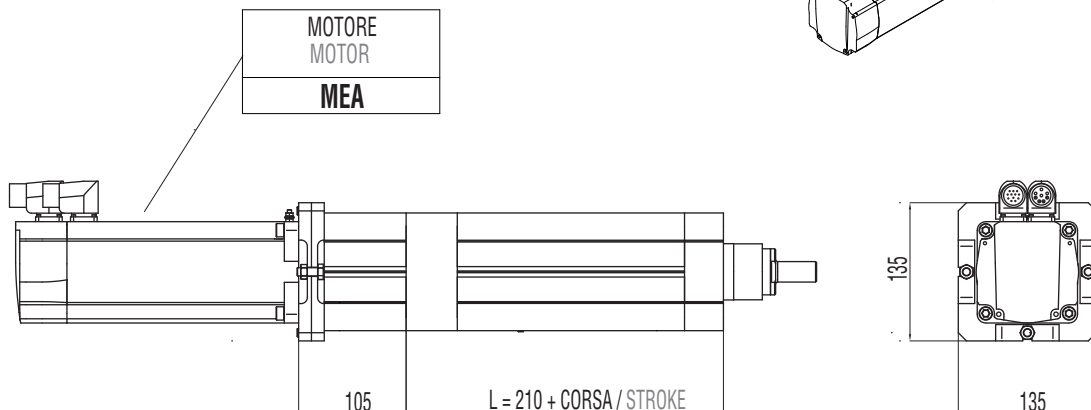
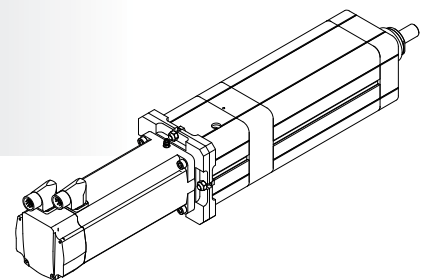
| Cx C       | B | DIMENSIONI LIMITI INTERFACCIA<br>MAX INTERFACE DIMENSIONS |                 |         |
|------------|---|---|-----------------|---------|
|            |   | TAGLIA GIUNTO<br>COUPLING SIZE                            | A               | B       |
|            |   | [mm]  | [mm]            | [mm]    |
| <b>150</b> |   | 30 max  | 40 min / 52 max | 130 max |



**B00 + D01**

MODULO BASE + TRASMISSIONE COASSIALE PER MOTORE COMPATIBILE  
(SENZA RIDUTTORE)

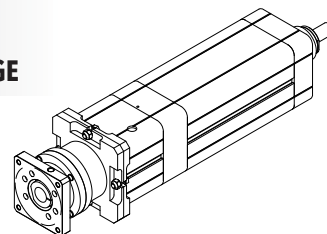
**BASIC MODULE + IN-LINE TRANSMISSION W/O REDUCTION STAGE FOR  
COMPATIBLE MOTORS**



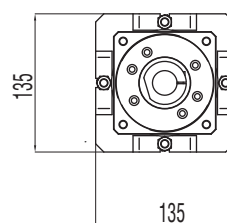
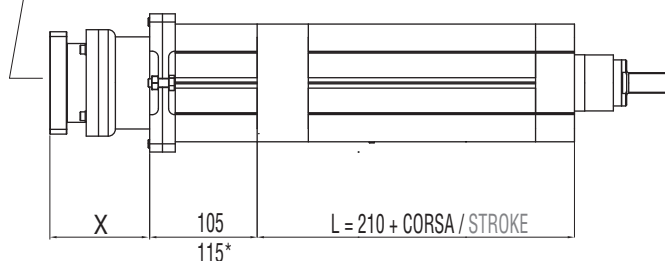
**B00 + D02**

MODULO BASE + RIDUTTORE EPICICLOIDALE COASSIALE COMPATIBILE

**BASIC MODULE + IN-LINE COMPATIBLE PLANETARY GEARBOX REDUCTION STAGE**



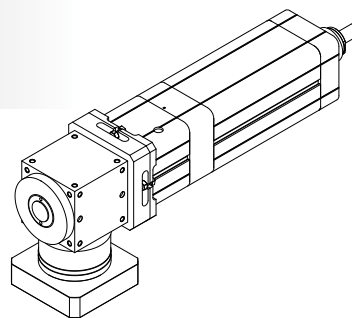
|                                |
|--------------------------------|
| RIDUTTORE<br>PLANETARY GEARBOX |
| <b>GCA</b>                     |
| <b>GDA</b>                     |
| <b>GCB</b>                     |
| <b>GEB*</b>                    |



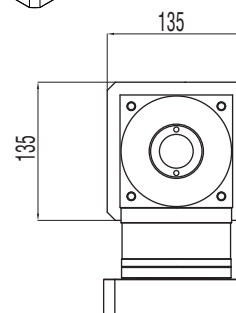
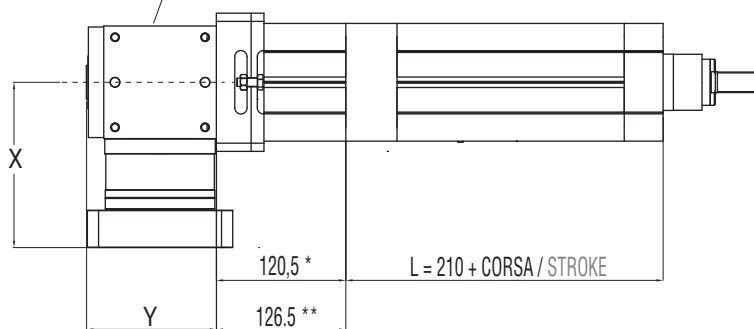
**B00 + A01**

MODULO BASE + RINVIO ANGOLARE COMPATIBILE

**BASIC MODULE + COMPATIBLE ANGLE BEVEL GEARBOX STAGE**



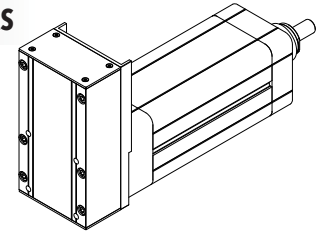
|  |
|--|
| RINVIO ANGOLARE<br>ANGLE BEVEL GEARBOX |
| <b>ACA*</b>                            |
| <b>ADA**</b>                           |



**B00 + R00**

MODULO BASE + TRASMISSIONE A CINGHIA IN PARALLELO PER MOTORE CUSTOM

BASIC MODULE + PARALLEL CUSTOM BELT GEARBOX STAGE FOR CUSTOM MOTORS



|       | DIMENSIONI LIMITI INTERFACCIA<br>MAX INTERFACE DIMENSIONS |                 |           |
|-------|---|-----------------|-----------|
|       | A<br>[mm]   | B<br>[mm]       | C<br>[mm] |
| R=1:1 | 24 max  | 42 min / 58 max | 110 max   |
| R=1:2 | 19 max  | 36 min / 50 max | 110 max   |

| RAPPORTO / RATIO   | 1:1      | 1:2     |
|--|----------|---------|
| PASSO / PITCH  | 8 mm     | 5 mm    |
| Z = DENTI / TEETH  | 30       | 24      |
| DIAMETRO PRIMITIVO<br>PULEGGIA MOTRICE<br>DRIVING PULLEY<br>PITCH DIAMETER | 76,39 mm | 38,2 mm |

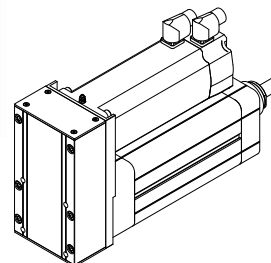
Technical drawing details:

- Front view: Total height 230 mm. Motor section height 57.5 mm. Gear section height 106.5 mm. Gear width 125 mm, max. 117 mm.
- Side view: Base width 80 mm. Total length L = 210 + CORSA / STROKE. Gear tooth detail with pitch diameter 6.33 mm.
- Detail view: Mounting holes with 4 x M10 screws. Dimensions 13, 18, 89 mm.

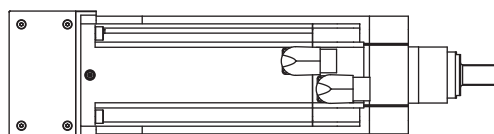
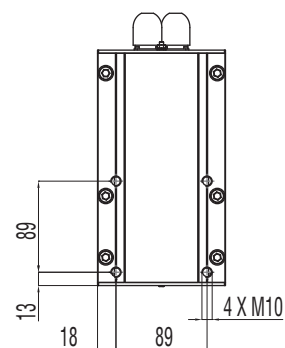
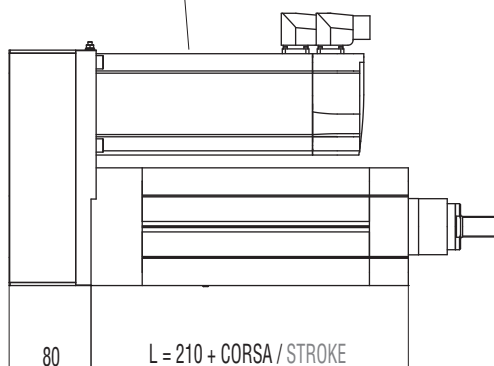
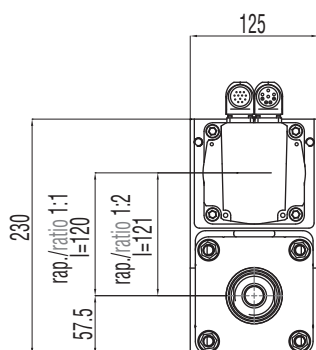
**B00 + R01**

MODULO BASE + TRASMISSIONE A CINGHIA IN PARALLELO PER MOTORE COMPATIBILE

BASIC MODULE + PARALLEL BELT GEARBOX STAGE FOR COMPATIBLE MOTORS



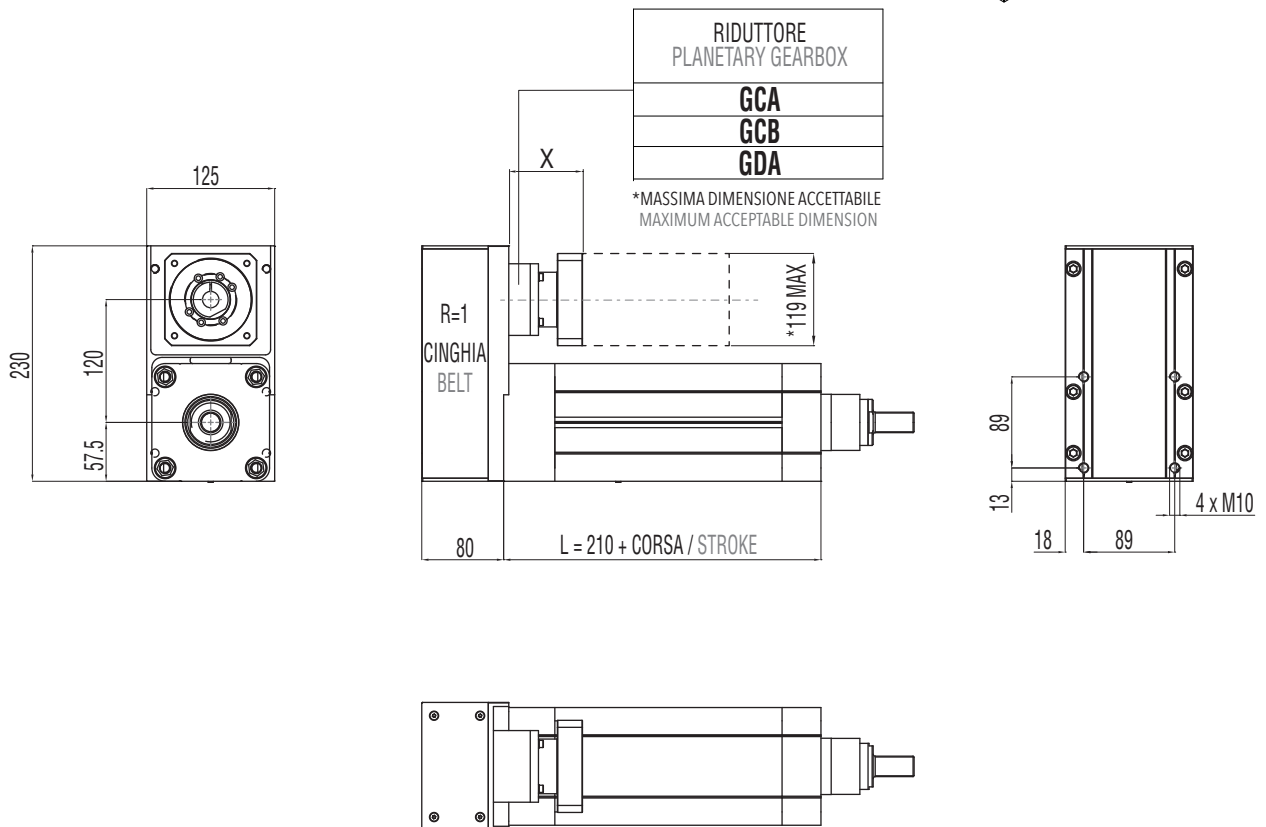
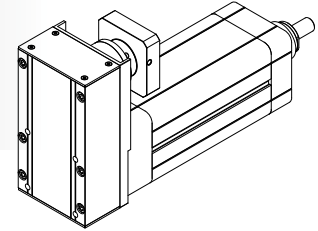
| MOTORE<br>MOTOR |
|-----------------|
| <b>MEA</b>      |
| <b>MCA</b>      |
| <b>MCB</b>      |
| <b>MCC</b>      |
| <b>MCD</b>      |
| <b>MDA</b>      |
| <b>MDB</b>      |
| <b>MDC</b>      |



**B00 + R02**

MODULO BASE + TRASMISSIONE A CINGHIA IN PARALLELO +  
RIDUTTORE EPICICLOIDALE COMPATIBILE

**BASIC MODULE + PARALLEL BELT GEARBOX STAGE +  
IN-LINE COMPATIBLE PLANETARY GEARBOX REDUCTION STAGE**



**3.7.7 Accessori disponibili**

Per le tabelle e i disegni tecnici degli accessori disponibili fare riferimento al paragrafo 3.10 (da pag. 136).

**3.7.7 Available accessories**

For tables and drawings please refer to paragraph 3.10 (from page 136).

## 3.8

## IE 100 HL

## 3.8.1 Caratteristiche tecniche

## 3.8.1 Technical features

| ISOMOVE IE 100 HL SENZA TIRANTI<br>ISOMOVE IE 100 HL W/O TENSION RODS |  |                       | 5  | 10                                    | 20                                     | 40                                     |
|---|--|-----------------------|--|---------------------------------------|--|--|
| <b>P</b>  | PASSO VITE<br>SCREW LEAD   | [mm]                  | 5  | 10                                    | 20                                     | 40                                     |
| <b>D</b>  | DIAMETRO VITE<br>SCREW DIAMETER  | [mm]                  | 40   | 40                                    | 40                                     | 40                                     |
| <b>F<sub>d</sub></b>  | CARICO MASSIMO DINAMICO APPLICABILE<br>MAX ADMISSIBLE DYNAMIC LOAD   | [N]                   | 23000*   | 30000*                                | 30000*                                 | 30000*                                 |
| <b>C<sub>in,max</sub></b>   | PER AVERE $F_a = F_d$<br>TO GET  | [Nm]                  | 20,3   | 53                                    | 106                                    | 212                                    |
|   | "CASO 1" / "CASE 1": B00 + D00/D01   | [Nm]                  | 20,3   | 53                                    | 106                                    | 212                                    |
|   | "CASO 2" / "CASE 2": B00 + D02/A01   | [Nm]                  | $\left[ \frac{22,5}{R} \right] + C_s$  | $\left[ \frac{58,8}{R} \right] + C_s$ | $\left[ \frac{117,7}{R} \right] + C_s$ | $\left[ \frac{235,5}{R} \right] + C_s$ |
|   |  |                       | R = rapporto di riduzione del riduttore / rinvio angolare<br>R = planetary / angle bevel gearbox reduction ratio                                     |                                       |  |  |
| <b>C<sub>m,max</sub></b>  | "CASO 3" / "CASE 3": B00 + R00/R01   | [Nm]                  | $\frac{22,5}{R}$   | $\frac{58,8}{R}$                      | $\frac{117,7}{R}$                      | $\frac{235,5}{R}$                      |
|   |  |                       | R = rapporto di riduzione della trasmissione a cinghia<br>(disponibile R=1 oppure R=2)<br>R = belt gearbox reduction ratio<br>(available R=1 or R=2) |                                       |  |  |
|   | "CASO 4" / "CASE 4": B00 + R02   | [Nm]                  | $\frac{25}{R}$   | $\frac{65,3}{R}$                      | $\frac{130,7}{R}$                      | $\frac{261,6}{R}$                      |
|   |  |                       | R = rapporto di riduzione del riduttore epicicloidale<br>R = planetary gearbox reduction ratio   |                                       |  |  |
| <b>F<sub>st</sub></b>   | CARICO MASSIMO STATICO APPLICABILE<br>MAX ADMISSIBLE STATIC LOAD   | [N]                   | 30000  | 30000                                 | 30000                                  | 30000                                  |
| <b>V<sub>out,max</sub></b>  | VELOCITÀ DI TRASLAZIONE MASSIMA IN USCITA /<br>ROTAZIONE MASSIMA VITE RDS  | [mm/sec]              | 208/2496   | 416/2496                              | 833/2496                               | 1660/2490                              |
| <b>N<sub>in,max</sub></b>   | MAX OUTPUT SPEED / MAX BALLSCREW ROTATING<br>INPUT SPEED   | [rpm]                 |  |                                       |  |  |
| <b>a<sub>max</sub></b>  | ACCELERAZIONE MASSIMA IN USCITA<br>MAX OUTPUT ACCELERATION   | [m/sec <sup>2</sup> ] | 1  | 2                                     | 3                                      | 6                                      |
| <b>S<sub>max</sub></b>  | CORSA MASSIMA STANDARD<br>MAX STANDARD STROKE  | [mm]                  | 1100**   | 1100**                                | 1100**                                 | 1100**                                 |
|   | PESO MODULO BASE CORSA 0 mm / PESO OGNI 100<br>mm DI CORSA<br>BASIC MODULE WEIGHT FOR 0 mm STROKE / WEIGHT<br>FOR ADDITIONAL 100 mm STROKE | [Kg]                  | 9,3 / 2,9  | 9,3 / 2,9                             | 9,3 / 2,9                              | 9,3 / 2,9                              |
| <b>G<sub>s,max</sub></b>  | GIOCO ASSIALE MASSIMO PER CHIOCCIOLA STANDARD<br>MAX AXIAL BACKLASH FOR STANDARD BALLSCREW<br>ASSEMBLY                                     | mm                    | 0,06   | 0,06                                  | 0,06                                   | 0,06                                   |
| <b>G<sub>z</sub></b>  | GIOCO "0" DELLA CHIOCCIOLA<br>"0" BACKLASH BALLSCREW ASSEMBLY  |                       | DISPONIBILE / AVAILABLE  |                                       |  |  |
| <b>L<sub>10,Km</sub></b>  | DURATA<br>LIFETIME   | Km                    | VEDI TABELLA / SEE TABLE pg. 114   |                                       |  |  |

\* Per le versioni R00/R01 controllare con i grafici delle pagine 116/117. / For R00/R01 types please check graph at pages 116/117.

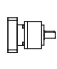

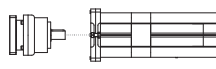
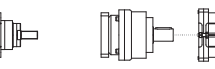
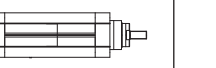



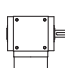
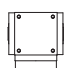
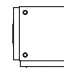
\*\* Per corse superiori, contattare il nostro servizio tecnico. / For longer strokes please contact our technical dept.



| <b>ISOMOVE IE 100 HL SENZA TIRANTI</b><br><b>ISOMOVE IE 100 HL W/O TENSION RODS</b> |  | <b>5</b>  | <b>10</b>   | <b>20</b>   | <b>40</b>   |
|---|--|---|---|---|---|
| VERSIONI DISPONIBILI<br>AVAILABLE TYPES   |  | D00 / D01 / D02 / R00 / R01 / R02 / A01                                       |   |   |   |
| <b>F<sub>a,p</sub></b>  | POSSIBILE CON IL RIDUTTORE EPICICLOIDALE INDICATO<br>POSSIBLE VALUE WITH THE INDICATED PLANETARY GEARBOX [N] | AE070/23000<br>AE090/23000<br>AE120/23000<br>PGII-080/23000<br>PGII-120/23000 | AE070/21750***<br>AE090/30000<br>AE120/30000<br>PGII-080/28000***<br>PGII-120/30000 | AE070/8800***<br>AE090/21900***<br>AE120/30000<br>PGII-080/14300***<br>PGII-120/30000 | AE070/4400***<br>AE090/11000***<br>AE120/23000***<br>PGII-080/7150***<br>PGII-120/16500 |
|   | POSSIBILE CON IL RINVIO ANGOLARE INDICATO<br>POSSIBLE VALUE WITH THE INDICATED ANGLE BEVEL GEARBOX [N]       | ATB090/23000<br>ATB110/23000<br>ATB140/23000                                  | ATB090/18650***<br>ATB110/30000<br>ATB140/30000                                     | ATB090/9350***<br>ATB110/18630***<br>ATB140/20000***                                  | ATB090/4390***<br>ATB110/18630***<br>ATB140/21540***                                    |
| ACCESSORI DISPONIBILI<br>AVAILABLE ACCESSORIES                                      |  | VEDI PARAGRAFO / SEE PARAGRAPH 3.10 (pg. 136)                                 |   |   |   |

\*\*\* È il valore massimo ottenibile con il rapporto di riduzione disponibile avente il minore valore di coppia erogabile.  
It is the max obtainable value with the available on tables reduction ratio which has the lowest value of nominal output torque.

**RIDUTTORI-RINVII "STANDARD SETEC GROUP DISPONIBILI"**  
**"STANDARD SETEC GROUP AVAILABLE" PLANETARY-ANGLE BEVEL GEARBOXES**

|   |  |  |  |  |  |
|---|--|--|--|--|--|
| <b>TRASMISSIONE COASSIALE CON RIDUTTORE</b><br><br><b>IN-LINE PLANETARY GEARBOX STAGE</b>   | <br><b>AE070</b>  | <br><b>AE090</b>  | <br><b>AE120</b>     | <br><b>PGII-080</b> | <br><b>PGII-120</b> |
|   | MODULO BASE<br>BASIC MODULE  |  | MODULO BASE<br>BASIC MODULE  |  | MODULO BASE<br>BASIC MODULE  |
| <b>TRASMISSIONE PARALLELA CON RIDUTTORE</b><br><br><b>PARALLEL BELT GEARBOX STAGE + IN-LINE PLANETARY GEARBOX REDUCTION STAGE</b> | <br><b>AE070</b>  | <br><b>AE090</b>  | <br><b>PGII-080</b> |  |  |
|   | MODULO BASE<br>BASIC MODULE  |  | MODULO BASE<br>BASIC MODULE  |  | MODULO BASE<br>BASIC MODULE  |
| <b>TRASMISSIONE ANGOLARE CON RINVIO</b><br><br><b>ANGLE BEVEL GEARBOX STAGE</b>   | <br><b>ATB090</b> | <br><b>ATB110</b> | <br><b>ATB140</b>   |  |  |
|   | MODULO BASE<br>BASIC MODULE  |  | MODULO BASE<br>BASIC MODULE  |  | MODULO BASE<br>BASIC MODULE  |

| ISOMOVE IE 100 HL CON TIRANTI<br>ISOMOVE IE 100 HL WITH TENSION RODS |   | 5  | 10                                    | 20                                     | 40                                     |
|--|---|--|---------------------------------------|--|--|
| <b>P</b>   | PASSO VITE<br>SCREW LEAD [mm]   | 5  | 10                                    | 20                                     | 40                                     |
| <b>D</b>   | DIAMETRO VITE<br>SCREW DIAMETER [mm]  | 40   | 40                                    | 40                                     | 40                                     |
| <b>F<sub>d</sub></b>   | CARICO MASSIMO DINAMICO APPLICABILE<br>MAX ADMISSIBLE DYNAMIC LOAD [N]  | 23000*   | 41000*                                | 40000*                                 | 40000*                                 |
| <b>C<sub>in,max</sub></b>  | PER AVERE $F_a = F_d$<br>TO GET [Nm]  | 20,3   | 72,5                                  | 142                                    | 283                                    |
|  | "CASO 1" / "CASE 1": B00 + D00/D01 [Nm]   | 20,3   | 72,5                                  | 142                                    | 283                                    |
|  | "CASO 2" / "CASE 2": B00 + D02/A01 [Nm]   | $\left[ \frac{22,5}{R} \right] + C_s$  | $\left[ \frac{80,5}{R} \right] + C_s$ | $\left[ \frac{117,7}{R} \right] + C_s$ | $\left[ \frac{235,5}{R} \right] + C_s$ |
|  |   | R = rapporto di riduzione del riduttore / rinvio angolare<br>R = planetary / angle bevel gearbox reduction ratio                                     |                                       |  |  |
| <b>C<sub>m,max</sub></b>   | "CASO 3" / "CASE 3": B00 + R00/R01 [Nm]   | $\frac{22,5}{R}$   | $\frac{80,5}{R}$                      | $\frac{117,7}{R}$                      | $\frac{235,5}{R}$                      |
|  |   | R = rapporto di riduzione della trasmissione a cinghia<br>(disponibile R=1 oppure R=2)<br>R = belt gearbox reduction ratio<br>(available R=1 or R=2) |                                       |  |  |
|  | "CASO 4" / "CASE 4": B00 + R02 [Nm]   | $\frac{25}{R}$   | $\frac{89}{R}$                        | $\frac{130,7}{R}$                      | $\frac{261,6}{R}$                      |
|  |   | R = rapporto di riduzione del riduttore epicicloidale<br>R = planetary gearbox reduction ratio   |                                       |  |  |
| <b>F<sub>st</sub></b>  | CARICO MASSIMO STATICO APPLICABILE<br>MAX ADMISSIBLE STATIC LOAD [N]  | 41000  | 41000                                 | 40000                                  | 40000                                  |
| <b>V<sub>out,max</sub></b>   | VELOCITÀ DI TRASLAZIONE MASSIMA IN USCITA /<br>ROTAZIONE MASSIMA VITE RDS [mm/sec]  | 208/2496   | 416/2496                              | 833/2496                               | 1660/2490                              |
| <b>N<sub>in,max</sub></b>  | MAX OUTPUT SPEED / MAX BALLSCREW ROTATING<br>INPUT SPEED [rpm]  |  |                                       |  |  |
| <b>a<sub>max</sub></b>   | ACCELERAZIONE MASSIMA IN USCITA<br>MAX OUTPUT ACCELERATION [m/sec <sup>2</sup> ]  | 1  | 2                                     | 3                                      | 6                                      |
| <b>S<sub>max</sub></b>   | CORSA MASSIMA STANDARD<br>MAX STANDARD STROKE [mm]  | 1100**   | 1100**                                | 1100**                                 | 1100**                                 |
|  | PESO MODULO BASE CORSA 0 mm / PESO OGNI 100<br>mm DI CORSA [Kg]<br>BASIC MODULE WEIGHT FOR 0 mm STROKE / WEIGHT<br>FOR ADDITIONAL 100 mm STROKE | 9,6 / 4,2  | 9,6 / 4,2                             | 9,6 / 4,2                              | 9,6 / 4,2                              |
| <b>G<sub>s,max</sub></b>   | GIOCO ASSIALE MASSIMO PER CHIOCCIOLA STANDARD<br>MAX AXIAL BACKLASH FOR STANDARD BALLSCREW<br>ASSEMBLY mm                                       | 0,06   | 0,06                                  | 0,06                                   | 0,06                                   |
| <b>G<sub>z</sub></b>   | GIOCO "0" DELLA CHIOCCIOLA<br>"0" BACKLASH BALLSCREW ASSEMBLY   | DISPONIBILE / AVAILABLE  |                                       |  |  |
| <b>L<sub>10,Km</sub></b>   | DURATA<br>LIFETIME Km   | VEDI TABELLA / SEE TABLE pg. 114   |                                       |  |  |

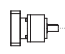

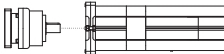
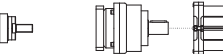
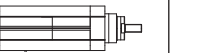
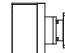
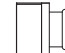

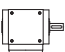
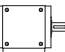

\* Per le versioni R00/R01 controllare con i grafici delle pagine 116/117. / For R00/R01 types please check graph at pages 116/117.

\*\* Per corse superiori, contattare il nostro servizio tecnico. / For longer strokes please contact our technical dpt.

| <b>ISOMOVE IE 100 HL CON TIRANTI</b><br><b>ISOMOVE IE 100 HL WITH TENSION RODS</b> |  | <b>5</b>  | <b>10</b>   | <b>20</b>   | <b>40</b>   |
|--|--|---|---|---|---|
| VERSIONI DISPONIBILI<br>AVAILABLE TYPES  |  | D00 / D01 / D02 / R00 / R01 / R02 / A01                                       |   |   |   |
| <b>F<sub>a,p</sub></b>   | POSSIBILE CON IL RIDUTTORE EPICICLOIDALE INDICATO<br>POSSIBLE VALUE WITH THE INDICATED PLANETARY GEARBOX [N] | AE070/23000<br>AE090/23000<br>AE120/23000<br>PGII-080/23000<br>PGII-120/23000 | AE070/21750***<br>AE090/30000<br>AE120/30000<br>PGII-080/28000***<br>PGII-120/30000 | AE070/8800***<br>AE090/21900***<br>AE120/30000<br>PGII-080/14300***<br>PGII-120/30000 | AE070/4400***<br>AE090/11000***<br>AE120/23000***<br>PGII-080/7150***<br>PGII-120/16500 |
|  | POSSIBILE CON IL RINVIO ANGOLARE INDICATO<br>POSSIBLE VALUE WITH THE INDICATED ANGLE BEVEL GEARBOX [N]       | ATB090/23000<br>ATB110/23000<br>ATB140/23000                                  | ATB090/18650***<br>ATB110/30000<br>ATB140/30000                                     | ATB090/9350***<br>ATB110/18630***<br>ATB140/20000***                                  | ATB090/4390***<br>ATB110/18630***<br>ATB140/21540***                                    |
| ACCESSORI DISPONIBILI<br>AVAILABLE ACCESSORIES                                     |  | VEDI PARAGRAFO / SEE PARAGRAPH 3.10 (pg. 134)                                 |   |   |   |

\*\*\* È il valore massimo ottenibile con il rapporto di riduzione disponibile avente il minore valore di coppia erogabile.  
It is the max obtainable value with the available on tables reduction ratio which has the lowest value of nominal output torque.

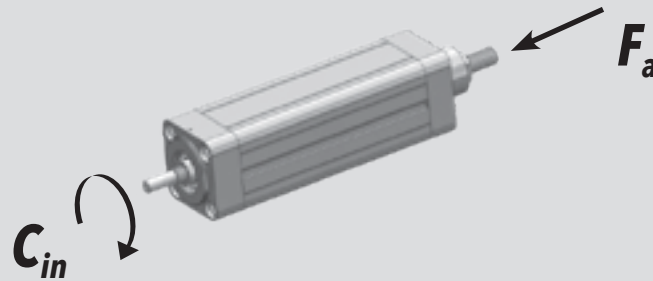
**RIDUTTORI-RINVII "STANDARD SETEC GROUP DISPONIBILI"**  
**"STANDARD SETEC GROUP AVAILABLE" PLANETARY-ANGLE BEVEL GEARBOXES**

|   |   |   |   |   |   |
|---|---|---|---|---|---|
| <b>TRASMISSIONE COASSIALE CON RIDUTTORE</b><br><br><b>IN-LINE PLANETARY GEARBOX STAGE</b>   |  <b>AE070</b>  |  <b>AE090</b>  |  <b>AE120</b>     |  <b>PGII-080</b> |  <b>PGII-120</b> |
|   | MODULO BASE<br>BASIC MODULE   |   | MODULO BASE<br>BASIC MODULE   |   | MODULO BASE<br>BASIC MODULE   |
| <b>TRASMISSIONE PARALLELA CON RIDUTTORE</b><br><br><b>PARALLEL BELT GEARBOX STAGE + IN-LINE PLANETARY GEARBOX REDUCTION STAGE</b> |  <b>AE070</b>  |  <b>AE090</b>  |  <b>PGII-080</b> |   |   |
|   | MODULO BASE<br>BASIC MODULE   |   | MODULO BASE<br>BASIC MODULE   |   | MODULO BASE<br>BASIC MODULE   |
| <b>TRASMISSIONE ANGOLARE CON RINVIO</b><br><br><b>ANGLE BEVEL GEARBOX STAGE</b>   |  <b>ATB090</b> |  <b>ATB110</b> |  <b>ATB140</b>   |   |   |
|   | MODULO BASE<br>BASIC MODULE   |   | MODULO BASE<br>BASIC MODULE   |   | MODULO BASE<br>BASIC MODULE   |

## 3.8.2 Calcolo durata

## 3.8.2 Lifetime calculation



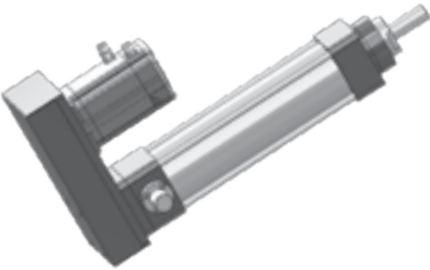
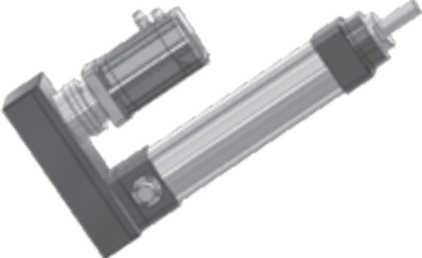
|                                      |  |                                      |
|--------------------------------------|--|--------------------------------------|
| <b>IE 100 HL</b><br><b>P = 5 mm</b>  | $L_{10,Km} = \left[ \frac{25900}{F_{eq}} \right]^3 \cdot 5$  | $L_{10,Km} = [Km]$<br>$F_{eq} = [N]$ |
| <b>IE 100 HL</b><br><b>P = 10 mm</b> | $L_{10,Km} = \left[ \frac{59200}{F_{eq}} \right]^3 \cdot 10$ | $L_{10,Km} = [Km]$<br>$F_{eq} = [N]$ |
| <b>IE 100 HL</b><br><b>P = 20 mm</b> | $L_{10,Km} = \left[ \frac{59200}{F_{eq}} \right]^3 \cdot 20$ | $L_{10,Km} = [Km]$<br>$F_{eq} = [N]$ |
| <b>IE 100 HL</b><br><b>P = 40 mm</b> | $L_{10,Km} = \left[ \frac{59200}{F_{eq}} \right]^3 \cdot 40$ | $L_{10,Km} = [Km]$<br>$F_{eq} = [N]$ |

3.8.3 Calcolo coppia in ingresso  
al modulo base3.8.3 Torque calculation at basic  
module input shaft

|                                      |   |                                |
|--------------------------------------|---|--------------------------------|
| <b>IE 100 HL</b><br><b>P = 5 mm</b>  | $C_{in} = \left[ \frac{F_a \cdot 5}{5652} \right]$  | $C_{in} = [Nm]$<br>$F_a = [N]$ |
| <b>IE 100 HL</b><br><b>P = 10 mm</b> | $C_{in} = \left[ \frac{F_a \cdot 10}{5652} \right]$ | $C_{in} = [Nm]$<br>$F_a = [N]$ |
| <b>IE 100 HL</b><br><b>P = 20 mm</b> | $C_{in} = \left[ \frac{F_a \cdot 20}{5652} \right]$ | $C_{in} = [Nm]$<br>$F_a = [N]$ |
| <b>IE 100 HL</b><br><b>P = 40 mm</b> | $C_{in} = \left[ \frac{F_a \cdot 40}{5652} \right]$ | $C_{in} = [Nm]$<br>$F_a = [N]$ |

3.8.4 Calcolo coppia motore

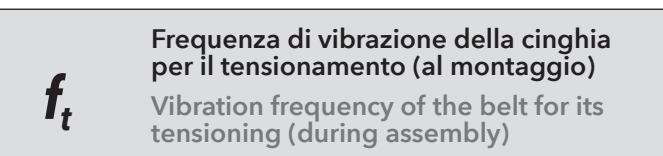
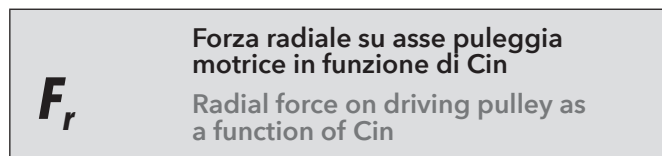
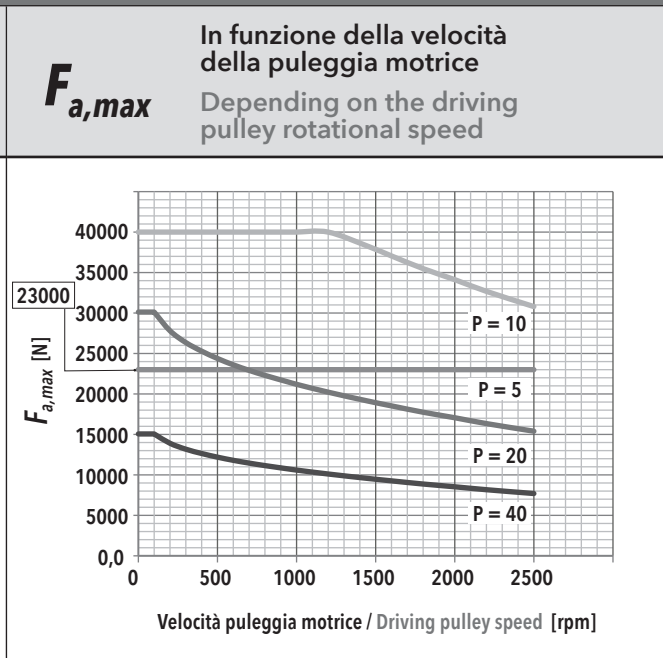
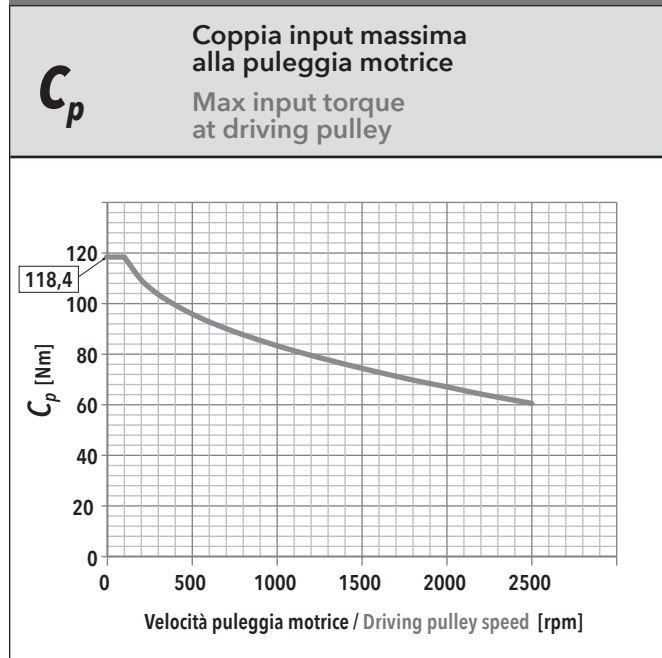
3.8.4 Motor torque calculation

|                                    |   |
|------------------------------------|---|
| <p>CASO / CASE</p> <p><b>1</b></p> | <p><b>ISOMOVE B00 + D00 / D01</b></p>  $C_m = C_{in} \quad [Nm]$   |
| <p>CASO / CASE</p> <p><b>2</b></p> | <p><b>ISOMOVE B00 + D02 / A01</b></p>  $C_m = \left[ \frac{C_{in}}{R \cdot \eta} \right] + C_s \quad [Nm]$ <p><i>R</i> = rapporto di riduzione riduttore / rinvio<br/>planetary / angle bevel gearbox reduction ratio<br/><i>η</i> = rendimento meccanico / mechanical efficiency = 0,90</p>                              |
| <p>CASO / CASE</p> <p><b>3</b></p> | <p><b>ISOMOVE B00 + R00 / R01</b></p>  $C_m = \left[ \frac{C_{in}}{R \cdot \eta} \right] \quad [Nm]$ <p><i>R</i> = rapporto di riduzione trasmissione a cinghia, disponibile<br/>R=1 o R=2<br/>belt gearbox reduction ratio, available R=1 or R=2<br/><i>η</i> = rendimento meccanico / mechanical efficiency = 0,90</p> |
| <p>CASO / CASE</p> <p><b>4</b></p> | <p><b>ISOMOVE B00 + R02</b></p>  $C_m = \left[ \frac{C_{in}}{R \cdot \eta} \right] + C_s \quad [Nm]$ <p><i>R</i> = rapporto di riduzione riduttore epicicloidale<br/>planetary gearbox reduction ratio<br/><i>η</i> = rendimento meccanico / mechanical efficiency = 0,81</p>  |

3.8.5 Potenza in ingresso alla trasmissione a cinghia (versione R)

3.8.5 Mechanical input power at belt gear stage (R type)

R = 1



| IE 100 HL - PASSO / PITCH 5 |            |                  |      |       |     |
|-----------------------------|------------|------------------|------|-------|-----|
| $F_a$ [N]                   |            | $V_{out}$ [mm/s] |      |       |     |
|                             |            | 20,8             | 83,2 | 145,6 | 208 |
| 23000                       | $F_r$ [N]  | 675              | 679  | 687   | 700 |
|                             | $f_t$ [Hz] | 217              | 218  | 219   | 221 |
| 20700                       | $F_r$ [N]  | 608              | 611  | 619   | 632 |
|                             | $f_t$ [Hz] | 206              | 206  | 208   | 210 |
| 18400                       | $F_r$ [N]  | 540              | 544  | 552   | 565 |
|                             | $f_t$ [Hz] | 194              | 195  | 196   | 198 |
| 16100                       | $F_r$ [N]  | 473              | 476  | 485   | 497 |
|                             | $f_t$ [Hz] | 182              | 182  | 184   | 186 |
| 13800                       | $F_r$ [N]  | 405              | 409  | 417   | 430 |
|                             | $f_t$ [Hz] | 168              | 169  | 171   | 173 |
| 11500                       | $F_r$ [N]  | 338              | 341  | 350   | 362 |
|                             | $f_t$ [Hz] | 153              | 154  | 156   | 159 |
| 9200                        | $F_r$ [N]  | 270              | 274  | 282   | 295 |
|                             | $f_t$ [Hz] | 137              | 138  | 140   | 143 |
| 6900                        | $F_r$ [N]  | 203              | 206  | 215   | 227 |
|                             | $f_t$ [Hz] | 119              | 120  | 122   | 126 |
| 4600                        | $F_r$ [N]  | 135              | 139  | 147   | 160 |
|                             | $f_t$ [Hz] | 97               | 98   | 101   | 106 |
| 2300                        | $F_r$ [N]  | 68               | 71   | 80    | 92  |
|                             | $f_t$ [Hz] | 69               | 71   | 75    | 80  |

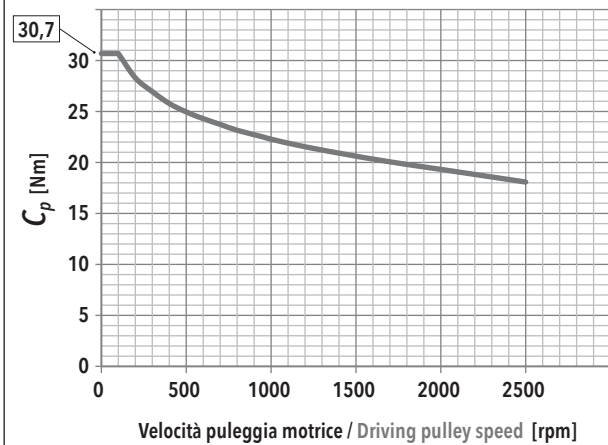
| IE 100 HL - PASSO / PITCH 10 |            |                  |       |       |      |
|------------------------------|------------|------------------|-------|-------|------|
| $F_a$ [N]                    |            | $V_{out}$ [mm/s] |       |       |      |
|                              |            | 41,6             | 166,4 | 291,2 | 416  |
| 41000                        | $F_r$ [N]  | 2406             | 2410  |       |      |
|                              | $f_t$ [Hz] | 410              | 410   |       |      |
| 36900                        | $F_r$ [N]  | 2165             | 2169  | 2177  |      |
|                              | $f_t$ [Hz] | 389              | 389   | 390   |      |
| 32800                        | $F_r$ [N]  | 1925             | 1929  | 1937  | 1949 |
|                              | $f_t$ [Hz] | 366              | 367   | 367   | 369  |
| 28700                        | $F_r$ [N]  | 1684             | 1688  | 1696  | 1709 |
|                              | $f_t$ [Hz] | 343              | 343   | 344   | 345  |
| 24600                        | $F_r$ [N]  | 1444             | 1447  | 1456  | 1468 |
|                              | $f_t$ [Hz] | 317              | 318   | 319   | 320  |
| 20500                        | $F_r$ [N]  | 1203             | 1207  | 1215  | 1228 |
|                              | $f_t$ [Hz] | 290              | 290   | 291   | 293  |
| 16400                        | $F_r$ [N]  | 963              | 966   | 974   | 987  |
|                              | $f_t$ [Hz] | 259              | 260   | 261   | 262  |
| 12300                        | $F_r$ [N]  | 722              | 726   | 734   | 747  |
|                              | $f_t$ [Hz] | 224              | 225   | 226   | 228  |
| 8200                         | $F_r$ [N]  | 481              | 485   | 493   | 506  |
|                              | $f_t$ [Hz] | 183              | 184   | 185   | 188  |
| 4100                         | $F_r$ [N]  | 241              | 245   | 253   | 265  |
|                              | $f_t$ [Hz] | 130              | 131   | 133   | 136  |

| IE 100 HL - PASSO / PITCH 20 |            |                  |      |      |      |
|------------------------------|------------|------------------|------|------|------|
| $F_a$ [N]                    |            | $V_{out}$ [mm/s] |      |      |      |
|                              |            | 83               | 333  | 583  | 833  |
| 40000                        | $F_r$ [N]  |                  |      |      |      |
|                              | $f_t$ [Hz] |                  |      |      |      |
| 36000                        | $F_r$ [N]  |                  |      |      |      |
|                              | $f_t$ [Hz] |                  |      |      |      |
| 32000                        | $F_r$ [N]  |                  |      |      |      |
|                              | $f_t$ [Hz] |                  |      |      |      |
| 28000                        | $F_r$ [N]  |                  |      |      |      |
|                              | $f_t$ [Hz] |                  |      |      |      |
| 24000                        | $F_r$ [N]  | 2817             |      |      |      |
|                              | $f_t$ [Hz] | 443              |      |      |      |
| 20000                        | $F_r$ [N]  | 2347             | 2351 |      |      |
|                              | $f_t$ [Hz] | 405              | 405  |      |      |
| 16000                        | $F_r$ [N]  | 1878             | 1882 | 1890 |      |
|                              | $f_t$ [Hz] | 362              | 362  | 363  |      |
| 12000                        | $F_r$ [N]  | 1408             | 1412 | 1420 | 1433 |
|                              | $f_t$ [Hz] | 313              | 314  | 315  | 316  |
| 8000                         | $F_r$ [N]  | 939              | 943  | 951  | 964  |
|                              | $f_t$ [Hz] | 256              | 256  | 257  | 259  |
| 4000                         | $F_r$ [N]  | 470              | 473  | 482  | 494  |
|                              | $f_t$ [Hz] | 181              | 182  | 183  | 186  |

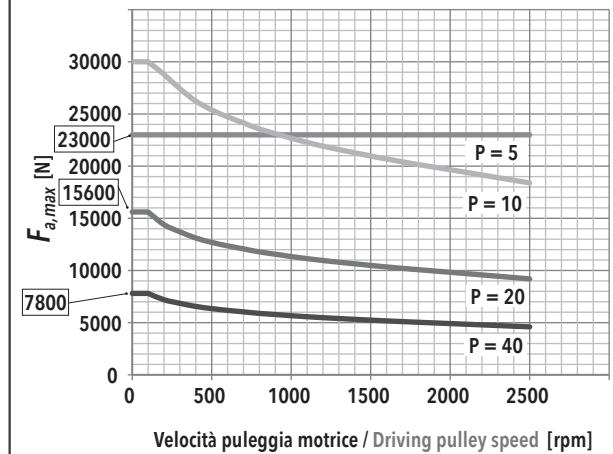
| IE 100 HL - PASSO / PITCH 40 |            |                  |      |      |      |
|------------------------------|------------|------------------|------|------|------|
| $F_a$ [N]                    |            | $V_{out}$ [mm/s] |      |      |      |
|                              |            | 166              | 664  | 1162 | 1660 |
| 40000                        | $F_r$ [N]  |                  |      |      |      |
|                              | $f_t$ [Hz] |                  |      |      |      |
| 36000                        | $F_r$ [N]  |                  |      |      |      |
|                              | $f_t$ [Hz] |                  |      |      |      |
| 32000                        | $F_r$ [N]  |                  |      |      |      |
|                              | $f_t$ [Hz] |                  |      |      |      |
| 28000                        | $F_r$ [N]  |                  |      |      |      |
|                              | $f_t$ [Hz] |                  |      |      |      |
| 24000                        | $F_r$ [N]  |                  |      |      |      |
|                              | $f_t$ [Hz] |                  |      |      |      |
| 20000                        | $F_r$ [N]  |                  |      |      |      |
|                              | $f_t$ [Hz] |                  |      |      |      |
| 16000                        | $F_r$ [N]  |                  |      |      |      |
|                              | $f_t$ [Hz] |                  |      |      |      |
| 12000                        | $F_r$ [N]  | 2817             |      |      |      |
|                              | $f_t$ [Hz] | 443              |      |      |      |
| 8000                         | $F_r$ [N]  | 1878             | 1882 | 1890 |      |
|                              | $f_t$ [Hz] | 362              | 362  | 363  |      |
| 4000                         | $F_r$ [N]  | 939              | 943  | 951  | 964  |
|                              | $f_t$ [Hz] | 256              | 256  | 257  | 259  |

**R = 2**

**$C_p$**  Coppia input massima alla puleggia motrice  
Max input torque at driving pulley



**$F_{a,max}$**  In funzione della velocità della puleggia motrice  
Depending on the driving pulley rotational speed



**$F_r$**  Forza radiale su asse puleggia motrice in funzione di Cin  
Radial force on driving pulley as a function of Cin

**$f_t$**  Frequenza di vibrazione della cinghia per il tensionamento (al montaggio)  
Vibration frequency of the belt for its tensioning (during assembly)

| IE 100 HL - PASSO / PITCH 5 |            |                  |      |      | IE 100 HL - PASSO / PITCH 10 |           |            |                  |      | IE 100 HL - PASSO / PITCH 20 |     |           |            |                  | IE 100 HL - PASSO / PITCH 40 |     |     |           |            |                  |            |     |     |
|-----------------------------|------------|------------------|------|------|------------------------------|-----------|------------|------------------|------|------------------------------|-----|-----------|------------|------------------|------------------------------|-----|-----|-----------|------------|------------------|------------|-----|-----|
| $F_a$ [N]                   |            | $V_{out}$ [mm/s] |      |      |                              | $F_a$ [N] |            | $V_{out}$ [mm/s] |      |                              |     | $F_a$ [N] |            | $V_{out}$ [mm/s] |                              |     |     | $F_a$ [N] |            | $V_{out}$ [mm/s] |            |     |     |
|                             |            | 10,4             | 41,6 | 72,8 | 104                          |           |            | 20,8             | 83,2 | 145,6                        | 208 |           |            | 41               | 166                          | 291 | 416 |           |            | 83               | 332        | 581 | 830 |
| 23000                       | $F_r$ [N]  | 696              | 696  | 700  | 700                          | 41000     | $F_r$ [N]  |                  |      |                              |     | 40000     | $F_r$ [N]  |                  |                              |     |     | 40000     | $F_r$ [N]  |                  |            |     |     |
|                             | $f_t$ [Hz] | 268              | 268  | 269  | 269                          |           | $f_t$ [Hz] |                  |      |                              |     |           |            | $f_t$ [Hz]       |                              |     |     |           |            |                  | $f_t$ [Hz] |     |     |
| 20700                       | $F_r$ [N]  | 626              | 626  | 630  | 630                          | 36900     | $F_r$ [N]  |                  |      |                              |     | 36000     | $F_r$ [N]  |                  |                              |     |     | 36000     | $F_r$ [N]  |                  |            |     |     |
|                             | $f_t$ [Hz] | 254              | 254  | 255  | 255                          |           | $f_t$ [Hz] |                  |      |                              |     |           |            | $f_t$ [Hz]       |                              |     |     |           |            |                  | $f_t$ [Hz] |     |     |
| 18400                       | $F_r$ [N]  | 557              | 557  | 561  | 561                          | 32800     | $F_r$ [N]  |                  |      |                              |     | 32000     | $F_r$ [N]  |                  |                              |     |     | 32000     | $F_r$ [N]  |                  |            |     |     |
|                             | $f_t$ [Hz] | 240              | 240  | 240  | 240                          |           | $f_t$ [Hz] |                  |      |                              |     |           |            | $f_t$ [Hz]       |                              |     |     |           |            |                  | $f_t$ [Hz] |     |     |
| 16100                       | $F_r$ [N]  | 487              | 487  | 491  | 491                          | 28700     | $F_r$ [N]  |                  |      |                              |     | 28000     | $F_r$ [N]  |                  |                              |     |     | 28000     | $F_r$ [N]  |                  |            |     |     |
|                             | $f_t$ [Hz] | 224              | 224  | 225  | 225                          |           | $f_t$ [Hz] |                  |      |                              |     |           |            | $f_t$ [Hz]       |                              |     |     |           |            |                  | $f_t$ [Hz] |     |     |
| 13800                       | $F_r$ [N]  | 417              | 417  | 422  | 422                          | 24600     | $F_r$ [N]  | 1488             |      |                              |     | 24000     | $F_r$ [N]  |                  |                              |     |     | 24000     | $F_r$ [N]  |                  |            |     |     |
|                             | $f_t$ [Hz] | 207              | 207  | 208  | 208                          |           | $f_t$ [Hz] | 392              |      |                              |     |           |            | $f_t$ [Hz]       |                              |     |     |           |            |                  | $f_t$ [Hz] |     |     |
| 11500                       | $F_r$ [N]  | 348              | 348  | 352  | 352                          | 20500     | $F_r$ [N]  | 1240             | 1241 | 1242                         |     | 20000     | $F_r$ [N]  |                  |                              |     |     | 20000     | $F_r$ [N]  |                  |            |     |     |
|                             | $f_t$ [Hz] | 189              | 189  | 191  | 191                          |           | $f_t$ [Hz] | 358              | 358  | 358                          |     |           | $f_t$ [Hz] |                  |                              |     |     |           |            |                  | $f_t$ [Hz] |     |     |
| 9200                        | $F_r$ [N]  | 278              | 278  | 282  | 282                          | 16400     | $F_r$ [N]  | 992              | 993  | 994                          | 996 | 16000     | $F_r$ [N]  |                  |                              |     |     | 16000     | $F_r$ [N]  |                  |            |     |     |
|                             | $f_t$ [Hz] | 169              | 169  | 171  | 171                          |           | $f_t$ [Hz] | 320              | 320  | 320                          | 320 |           | $f_t$ [Hz] |                  |                              |     |     |           |            |                  | $f_t$ [Hz] |     |     |
| 6900                        | $F_r$ [N]  | 209              | 209  | 213  | 213                          | 12300     | $F_r$ [N]  | 744              | 744  | 748                          | 748 | 12000     | $F_r$ [N]  | 1452             |                              |     |     | 12000     | $F_r$ [N]  |                  |            |     |     |
|                             | $f_t$ [Hz] | 147              | 147  | 148  | 148                          |           | $f_t$ [Hz] | 277              | 277  | 278                          | 278 |           | $f_t$ [Hz] | 387              |                              |     |     |           |            |                  | $f_t$ [Hz] |     |     |
| 4600                        | $F_r$ [N]  | 139              | 139  | 143  | 143                          | 8200      | $F_r$ [N]  | 496              | 496  | 500                          | 500 | 8000      | $F_r$ [N]  | 968              | 969                          | 970 |     | 8000      | $F_r$ [N]  |                  |            |     |     |
|                             | $f_t$ [Hz] | 120              | 120  | 122  | 122                          |           | $f_t$ [Hz] | 226              | 227  | 227                          | 227 |           | $f_t$ [Hz] | 316              | 316                          | 316 |     |           | $f_t$ [Hz] |                  |            |     |     |
| 2300                        | $F_r$ [N]  | 70               | 70   | 74   | 74                           | 4100      | $F_r$ [N]  | 248              | 248  | 252                          | 252 | 4000      | $F_r$ [N]  | 484              | 485                          | 486 | 488 | 4000      | $F_r$ [N]  | 968              | 969        | 970 | 972 |
|                             | $f_t$ [Hz] | 85               | 85   | 87   | 87                           |           | $f_t$ [Hz] | 160              | 160  | 161                          | 161 |           | $f_t$ [Hz] | 223              | 224                          | 224 | 224 |           | $f_t$ [Hz] | 316              | 316        | 316 | 317 |

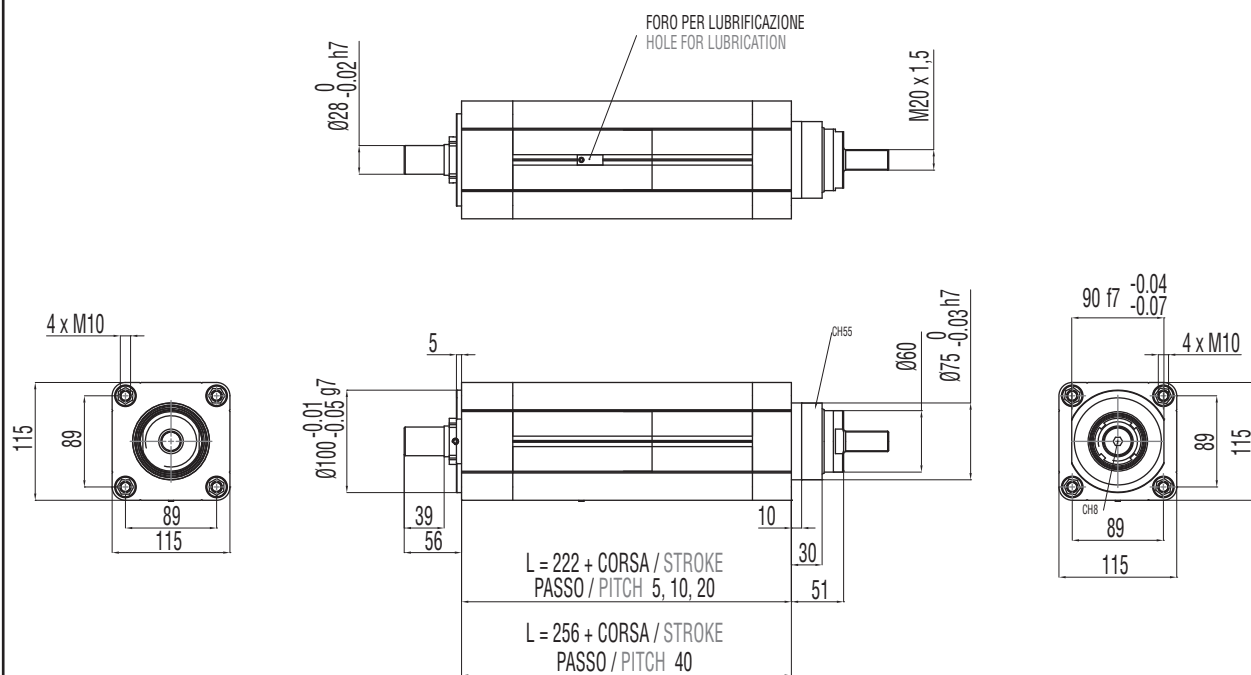
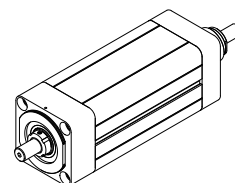
3.8.6 Caratteristiche dimensionali

3.8.6 Overall dimensions

NOTA: Dati categorie motori / riduttori / rinvii al capitolo 4.

REMARK: Motors / Planetary / Angle bevel gearbox categories data at chapter 4.

**B00**  
MODULO BASE  
BASIC MODULE

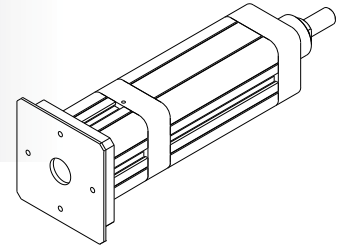




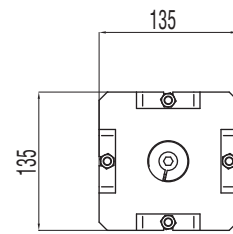
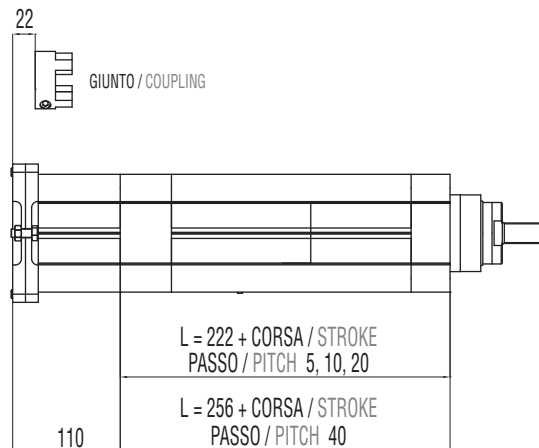
**B00 + D00**

MODULO BASE + TRASMISSIONE COASSIALE PER MOTORE CUSTOM  
(SENZA RIDUTTORE)

BASIC MODULE + CUSTOM IN-LINE TRANSMISSION W/O REDUCTION STAGE  
FOR CUSTOM MOTORS



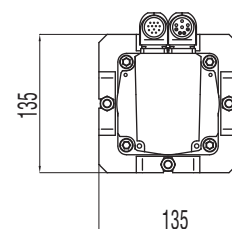
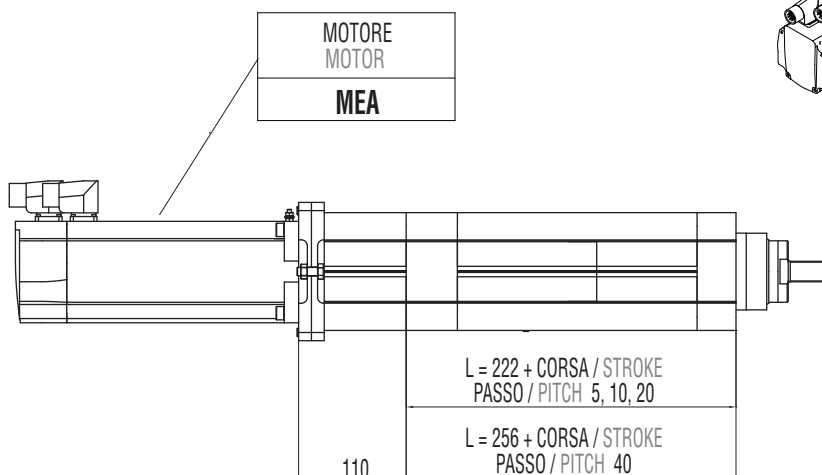
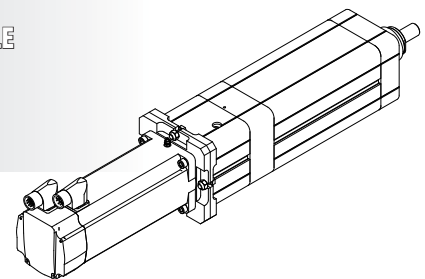
|  | DIMENSIONI LIMITI INTERFACCIA<br>MAX INTERFACE DIMENSIONS |           |                 |           |
|--|---|-----------|-----------------|-----------|
|  | TAGLIA GIUNTO<br>COUPLING SIZE                            | A<br>[mm] | B<br>[mm]       | C<br>[mm] |
|  | 150   | 30 max    | 40 min / 52 max | 130 max   |



**B00 + D01**

MODULO BASE + TRASMISSIONE COASSIALE PER MOTORE COMPATIBILE  
(SENZA RIDUTTORE)

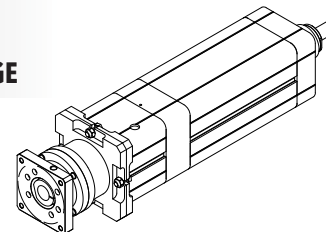
BASIC MODULE + IN-LINE TRANSMISSION W/O REDUCTION STAGE FOR  
COMPATIBLE MOTORS



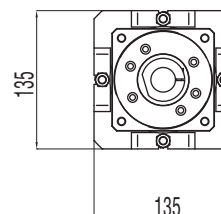
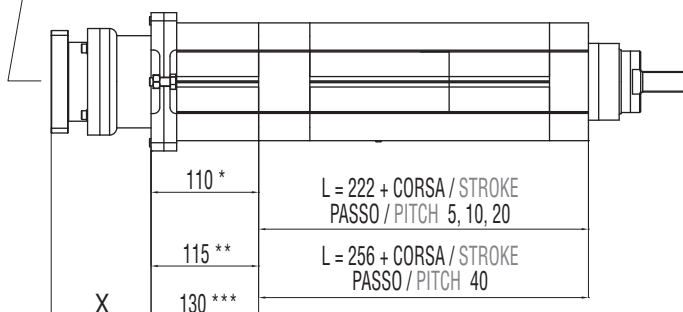
**B00 + D02**

MODULO BASE + RIDUTTORE EPICICLOIDALE COASSIALE COMPATIBILE

**BASIC MODULE + IN-LINE COMPATIBLE PLANETARY GEARBOX REDUCTION STAGE**



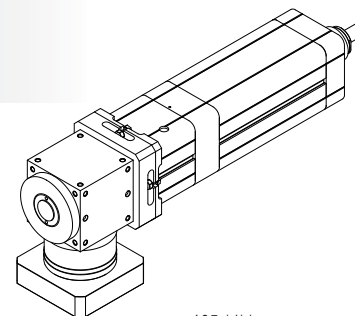
|                                  |
|----------------------------------|
| RIDUTTORE /<br>PLANETARY GEARBOX |
| <b>GCA*</b>                      |
| <b>GDA**</b>                     |
| <b>GEA***</b>                    |
| <b>GCB*</b>                      |
| <b>GEB**</b>                     |



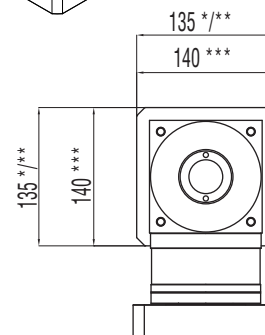
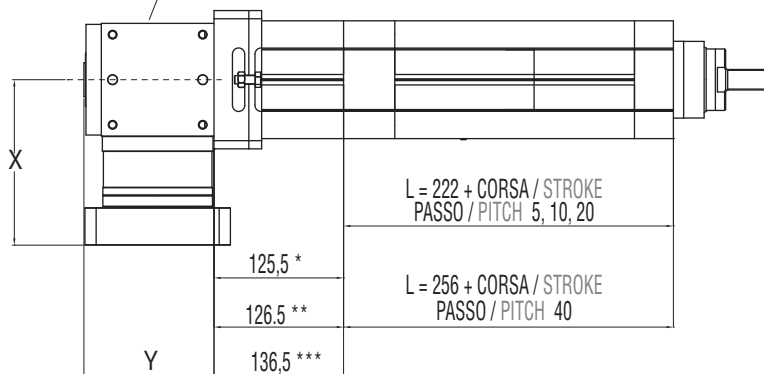
**B00 + A01**

MODULO BASE + RINVIO ANGOLARE COMPATIBILE

**BASIC MODULE + COMPATIBLE ANGLE BEVEL GEARBOX STAGE**



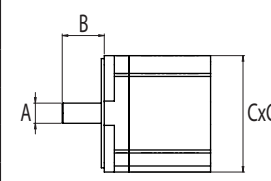
|  |
|--|
| RINVIO ANGOLARE<br>ANGLE BEVEL GEARBOX |
| <b>ACA*</b>                            |
| <b>ADA**</b>                           |
| <b>AEA***</b>                          |



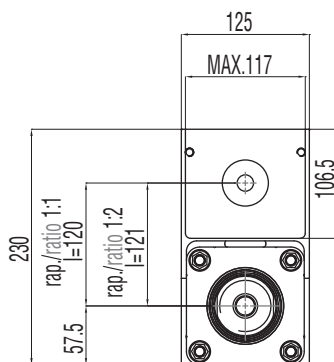
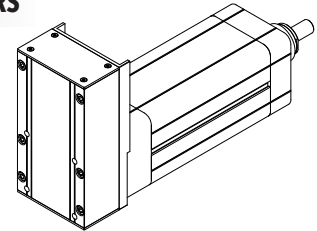
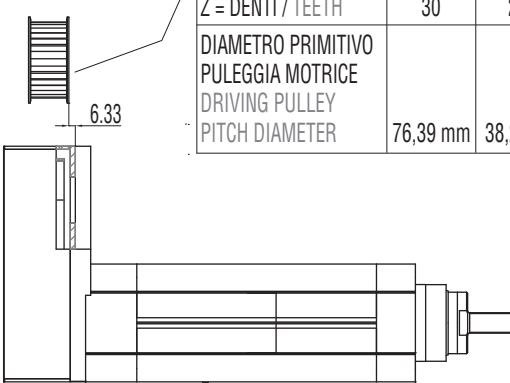
**B00 + R00**

MODULO BASE + TRASMISSIONE A CINGHIA IN PARALLELO PER MOTORE CUSTOM

BASIC MODULE + PARALLEL CUSTOM BELT GEARBOX STAGE FOR CUSTOM MOTORS



| DIMENSIONI LIMITI INTERFACCIA<br>MAX INTERFACE DIMENSIONS |        |                 |         |
|---|--------|-----------------|---------|
|   | A      | B               | C       |
|   | [mm]   | [mm]            | [mm]    |
| <b>R=1:1</b>  | 24 max | 42 min / 58 max | 110 max |
| <b>R=1:2</b>  | 19 max | 36 min / 50 max | 110 max |

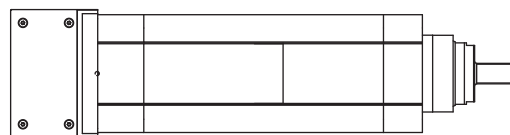
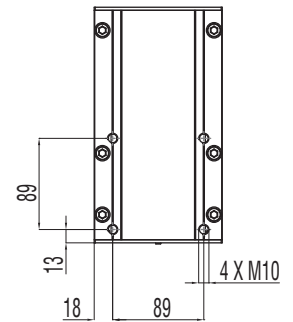



| RAPPORTO / RATIO   | 1:1      | 1:2     |
|--|----------|---------|
| PASSO / PITCH  | 8 mm     | 5 mm    |
| Z = DENTI / TEETH  | 30       | 24      |
| DIAMETRO PRIMITIVO PULEGGIA MOTRICE<br>DRIVING PULLEY PITCH DIAMETER | 76,39 mm | 38,2 mm |

80

L = 222 + CORSA / STROKE  
PASSO / PITCH 5, 10, 20

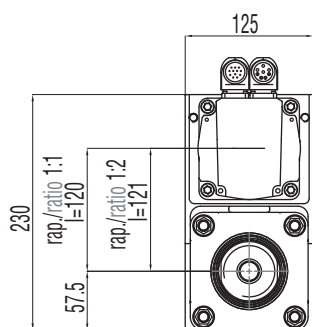
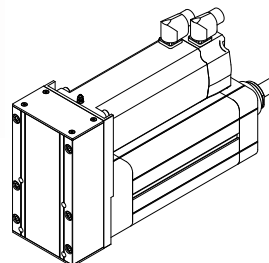
L = 256 + CORSA / STROKE  
PASSO / PITCH 40



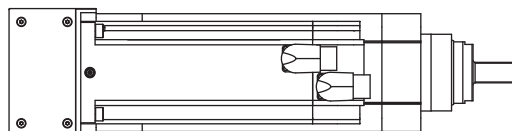
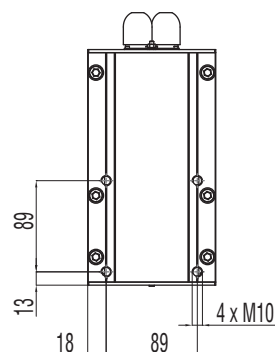
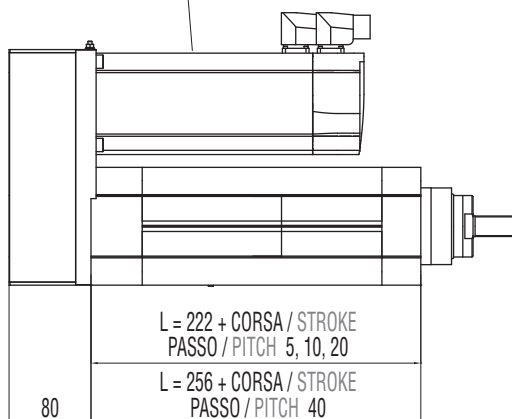
**B00 + R01**

MODULO BASE + TRASMISSIONE A CINGHIA IN PARALLELO PER MOTORE COMPATIBILE

BASIC MODULE + PARALLEL BELT GEARBOX STAGE FOR COMPATIBLE MOTORS



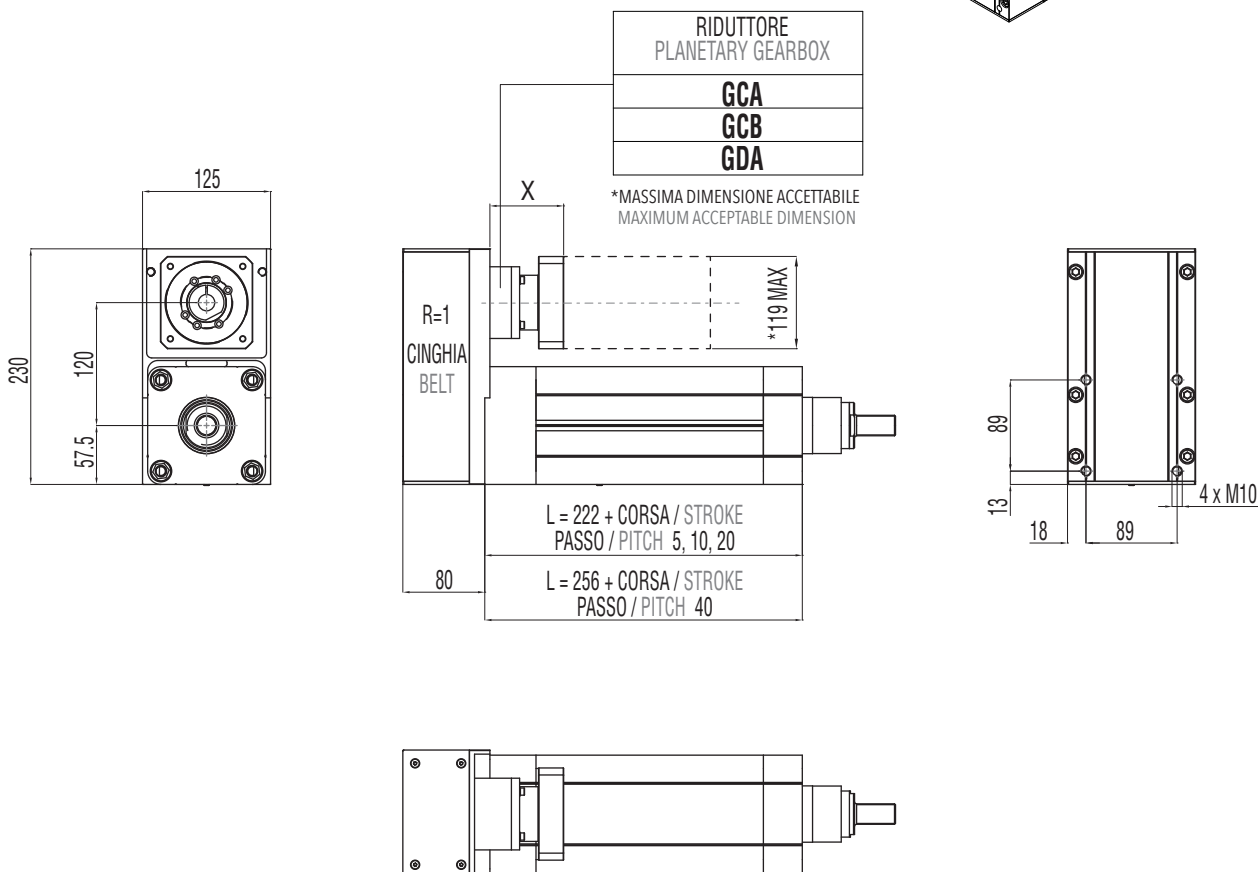
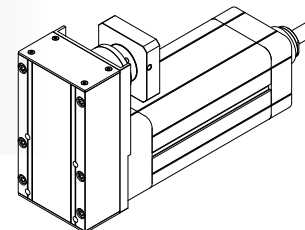
|                 |
|-----------------|
| MOTORE<br>MOTOR |
| <b>MEA</b>      |
| <b>MCA</b>      |
| <b>MCB</b>      |
| <b>MCC</b>      |
| <b>MCD</b>      |
| <b>MDA</b>      |
| <b>MDB</b>      |
| <b>MDC</b>      |



**B00 + R02**

MODULO BASE + TRASMISSIONE A CINGHIA IN PARALLELO +  
RIDUTTORE EPICICLOIDALE COMPATIBILE

**BASIC MODULE + PARALLEL BELT GEARBOX STAGE +  
IN-LINE COMPATIBLE PLANETARY GEARBOX REDUCTION STAGE**



**3.8.7 Accessori disponibili**

Per le tabelle e i disegni tecnici degli accessori disponibili fare riferimento al paragrafo 3.10 (da pag. 136).

**3.8.7 Available accessories**

For tables and drawings please refer to paragraph 3.10 (from page 136).

## 3.9

## IE 100 XL

## 3.9.1 Caratteristiche tecniche

## 3.9.1 Technical features

| ISOMOVE IE 100 XL CON TIRANTI<br>ISOMOVE IE 100 XL WITH TENSION RODS |   |                       | 10  |
|--|---|-----------------------|---|
| <b>P</b>   | PASSO VITE<br>SCREW LEAD  | [mm]                  | 10  |
| <b>D</b>   | DIAMETRO VITE<br>SCREW DIAMETER   | [mm]                  | 50  |
| <b>F<sub>d</sub></b>   | CARICO MASSIMO DINAMICO APPLICABILE<br>MAX ADMISSIBLE DYNAMIC LOAD  | [N]                   | 52000*  |
| <b>C<sub>in,max</sub></b>  | PER AVERE $F_a = F_d$<br>TO GET   | [Nm]                  | 92  |
|  | "CASO 1" / "CASE 1": B00 + D00/D01  | [Nm]                  | 92  |
|  | "CASO 2" / "CASE 2": B00 + D02/A01  | [Nm]                  | $\left[ \frac{102,2}{R} \right] + C_s$<br>R = rapporto di riduzione del riduttore / rinvio angolare<br>R = planetary / angle bevel gearbox reduction ratio                |
| <b>C<sub>m,max</sub></b>   | "CASO 3" / "CASE 3": B00 + R00/R01  | [Nm]                  | $\frac{102,2}{R}$<br>R = rapporto di riduzione della trasmissione a cinghia<br>(disponibile R=1 oppure R=2)<br>R = belt gearbox reduction ratio<br>(available R=1 or R=2) |
|  | "CASO 4" / "CASE 4": B00 + R02  | [Nm]                  | $\frac{113,5}{R}$<br>R = rapporto di riduzione del riduttore epicicloidale<br>R = planetary gearbox reduction ratio   |
| <b>F<sub>st</sub></b>  | CARICO MASSIMO STATICO APPLICABILE<br>MAX ADMISSIBLE STATIC LOAD  | [N]                   | 52000*  |
| <b>V<sub>out,max</sub></b>   | VELOCITÀ DI TRASLAZIONE MASSIMA IN USCITA / ROTAZIONE<br>MASSIMA VITE RDS   | [mm/sec]              | 333/1998  |
| <b>N<sub>in,max</sub></b>  | MAX OUTPUT SPEED / MAX BALLSCREW ROTATING INPUT SPEED   | [rpm]                 |   |
| <b>a<sub>max</sub></b>   | ACCELERAZIONE MASSIMA IN USCITA<br>MAX OUTPUT ACCELERATION  | [m/sec <sup>2</sup> ] | 2   |
| <b>S<sub>max</sub></b>   | CORSA MASSIMA STANDARD<br>MAX STANDARD STROKE   | [mm]                  | 1100**  |
|  | PESO MODULO BASE CORSA 0 mm / PESO OGNI 100 mm DI CORSA<br>BASIC MODULE WEIGHT FOR 0 mm STROKE / WEIGHT FOR<br>ADDITIONAL 100 mm STROKE | [Kg]                  | 11,6 / 4,8  |
| <b>G<sub>s,max</sub></b>   | GIOCO ASSIALE MASSIMO PER CHIOCCIOLA STANDARD<br>MAX AXIAL BACKLASH FOR STANDARD BALLSCREW ASSEMBLY                                     | mm                    | 0,06  |
| <b>G<sub>z</sub></b>   | GIOCO "0" DELLA CHIOCCIOLA<br>"0" BACKLASH BALLSCREW ASSEMBLY   |                       | DISPONIBILE / AVAILABLE   |
| <b>L<sub>10,Km</sub></b>   | DURATA<br>LIFETIME  | Km                    | VEDI TABELLA / SEE TABLE pg. 126  |












\* Per le versioni R00/R01 controllare con i grafici delle pagine 128/129. / For R00/R01 types please check graph at pages 128/129.

\*\* Per corse superiori, contattare il nostro servizio tecnico. / For longer strokes please contact our technical dpt.

| <b>ISOMOVE IE 100 XL CON TIRANTI</b><br><b>ISOMOVE IE 100 XL WITH TENSION RODS</b>   | <b>10</b>  |
|--|--|
| VERSIONI DISPONIBILI<br>AVAILABLE TYPES  | D00 / D01 / D02 / R00 / R01 / R02 / A01  |
| <b>F<sub>a,p</sub></b><br>POSSIBILE CON IL RIDUTTORE EPICICLOIDALE INDICATO<br>POSSIBLE VALUE WITH THE INDICATED PLANETARY GEARBOX [N] | AE070/17600***<br>AE090/43960***<br>AE120/52000<br>PGII-080/28575***<br>PGII-120/52000 |
| POSSIBILE CON IL RINVIO ANGOLARE INDICATO<br>POSSIBLE VALUE WITH THE INDICATED ANGLE BEVEL GEARBOX [N]                                 | ATB090/17600***<br>ATB0110/37400***<br>ATB0140/52000                                   |
| ACCESSORI DISPONIBILI<br>AVAILABLE ACCESSORIES   | VEDI PARAGRAFO / SEE PARAGRAPH 3.10 (pg. 136)  |

\*\*\* È il valore massimo ottenibile con il rapporto di riduzione disponibile avente il minore valore di coppia erogabile.  
It is the max obtainable value with the available on tables reduction ratio which has the lowest value of nominal output torque.

**RIDUTTORI-RINVII "STANDARD SETEC GROUP DISPONIBILI"**  
**"STANDARD SETEC GROUP AVAILABLE" PLANETARY-ANGLE BEVEL GEARBOXES**

|   |  |   |  |
|---|--|---|--|
| <b>TRASMISSIONE COASSIALE CON RIDUTTORE</b><br><br><b>IN-LINE PLANETARY GEARBOX STAGE</b>   | <br><b>AE070</b> MODULO BASE<br>BASIC MODULE    | <br><b>AE090</b> MODULO BASE<br>BASIC MODULE    | <br><b>AE120</b> MODULO BASE<br>BASIC MODULE    |
|   | <br><b>PGII-080</b> MODULO BASE<br>BASIC MODULE | <br><b>PGII-120</b> MODULO BASE<br>BASIC MODULE |  |
| <b>TRASMISSIONE PARALLELA CON RIDUTTORE</b><br><br><b>PARALLEL BELT GEARBOX STAGE + IN-LINE PLANETARY GEARBOX REDUCTION STAGE</b> | <br><b>AE070</b> MODULO BASE<br>BASIC MODULE    | <br><b>AE090</b> MODULO BASE<br>BASIC MODULE    | <br><b>PGII-080</b> MODULO BASE<br>BASIC MODULE |
| <b>TRASMISSIONE ANGOLARE CON RINVIO</b><br><br><b>ANGLE BEVEL GEARBOX STAGE</b>   | <br><b>ATB090</b> MODULO BASE<br>BASIC MODULE   | <br><b>ATB110</b> MODULO BASE<br>BASIC MODULE   | <br><b>ATB140</b> MODULO BASE<br>BASIC MODULE   |

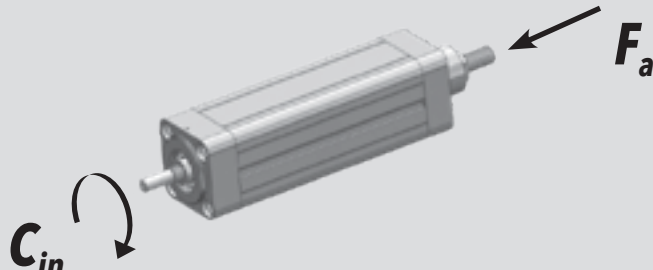
## 3.9.2 Calcolo durata

## 3.9.2 Lifetime calculation

|  |  |
|--|--|
| <p><b>IE 100 XL</b><br/><b>P = 10 mm</b></p> | $L_{10,Km} = \left[ \frac{79300}{F_{eq}} \right]^3 \cdot 10$ <p style="text-align: right;"><math>L_{10,Km} = [Km]</math><br/><math>F_{eq} = [N]</math></p> |
|--|--|

## 3.9.3 Calcolo coppia in ingresso al modulo base



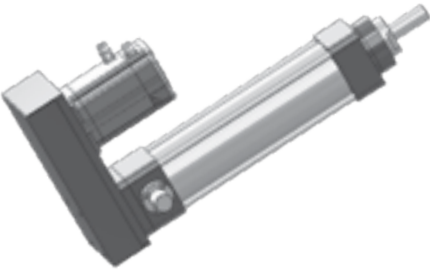
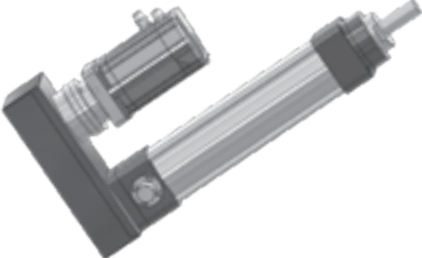
## 3.9.3 Torque calculation at basic module input shaft

|  |   |
|--|---|
|  <p>The diagram shows a motor with an input shaft. A curved arrow labeled <math>C_{in}</math> indicates the input torque at the shaft. A straight arrow labeled <math>F_a</math> indicates the axial force applied to the shaft.</p> |   |
| <p><b>IE 100 XL</b><br/><b>P = 10 mm</b></p>   | $C_{in} = \left[ \frac{F_a \cdot 10}{5652} \right]$ <p style="text-align: right;"><math>C_{in} = [Nm]</math><br/><math>F_a = [N]</math></p> |



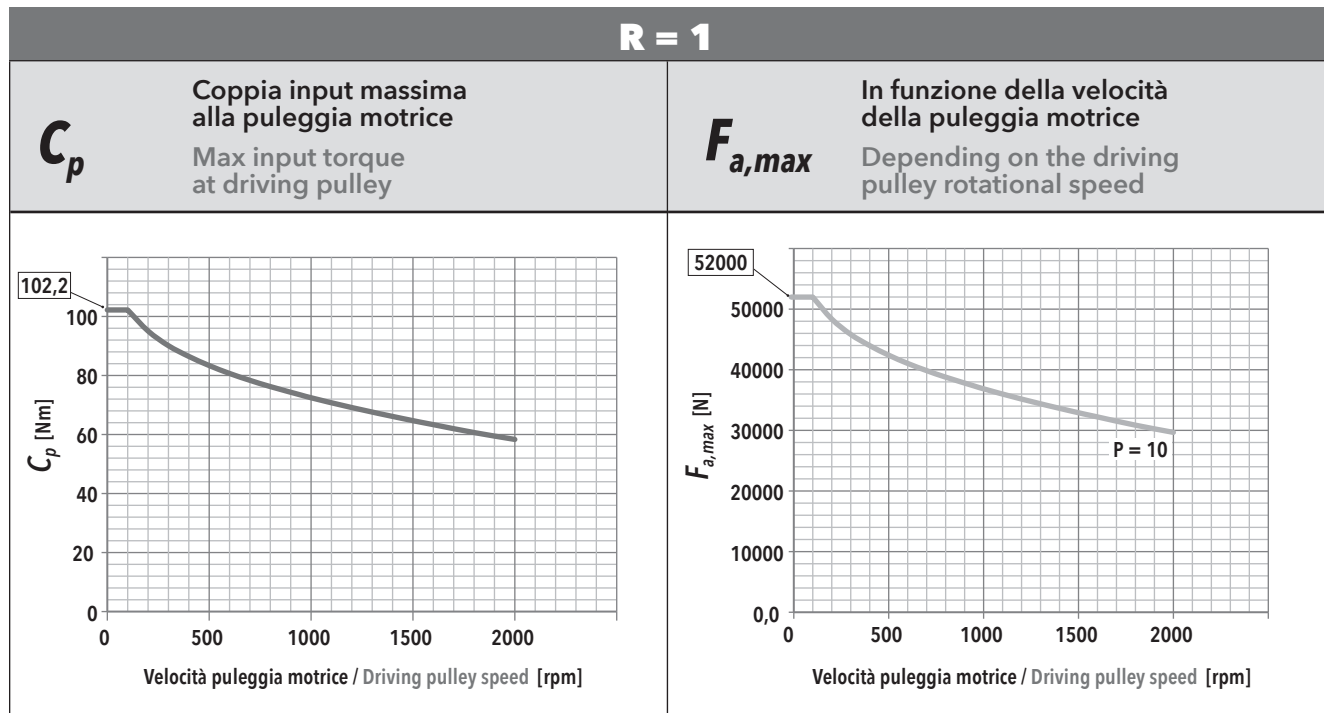
3.9.4 Calcolo coppia motore

3.9.4 Motor torque calculation

|                                 |   |
|---------------------------------|---|
| <p>CASO / CASE<br/><b>1</b></p> | <p><b>ISOMOVE B00 + D00 / D01</b></p>  $C_m = C_{in} \quad [Nm]$   |
| <p>CASO / CASE<br/><b>2</b></p> | <p><b>ISOMOVE B00 + D02 / A01</b></p>  $C_m = \left[ \frac{C_{in}}{R \cdot \eta} \right] + C_s \quad [Nm]$ <p><i>R</i> = rapporto di riduzione riduttore / rinvio<br/>planetary / angle bevel gearbox reduction ratio<br/><i>η</i> = rendimento meccanico / mechanical efficiency = 0,90</p>                              |
| <p>CASO / CASE<br/><b>3</b></p> | <p><b>ISOMOVE B00 + R00 / R01</b></p>  $C_m = \left[ \frac{C_{in}}{R \cdot \eta} \right] \quad [Nm]$ <p><i>R</i> = rapporto di riduzione trasmissione a cinghia, disponibile<br/>R=1 o R=2<br/>belt gearbox reduction ratio, available R=1 or R=2<br/><i>η</i> = rendimento meccanico / mechanical efficiency = 0,90</p> |
| <p>CASO / CASE<br/><b>4</b></p> | <p><b>ISOMOVE B00 + R02</b></p>  $C_m = \left[ \frac{C_{in}}{R \cdot \eta} \right] + C_s \quad [Nm]$ <p><i>R</i> = rapporto di riduzione riduttore epicicloidale<br/>planetary gearbox reduction ratio<br/><i>η</i> = rendimento meccanico / mechanical efficiency = 0,81</p>  |

**3.9.5 Potenza in ingresso alla trasmissione a cinghia (versione R)**

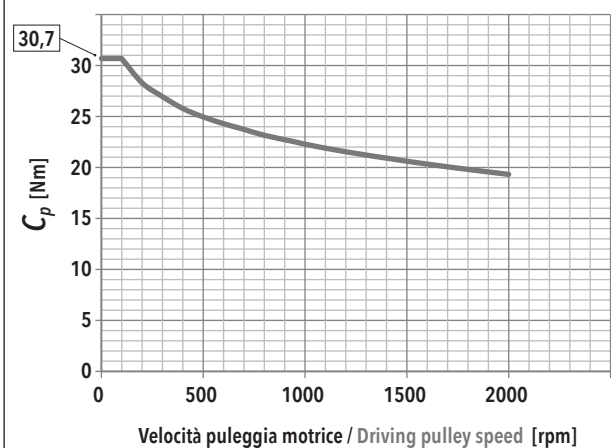
**3.9.5 Mechanical input power at belt gear stage (R type)**



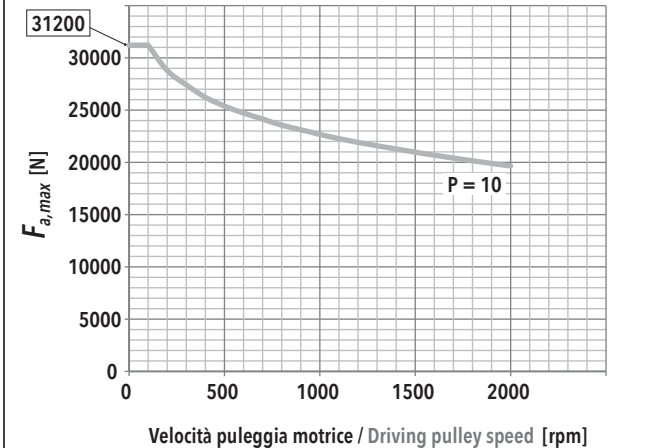
| <b><math>F_r</math></b><br>Forza radiale su asse puleggia motrice in funzione di $C_{in}$<br>Radial force on driving pulley as a function of $C_{in}$ | <b><math>f_t</math></b><br>Frequenza di vibrazione della cinghia per il tensionamento (al montaggio)<br>Vibration frequency of the belt for its tensioning (during assembly) |      |      |      |      |
|---|--|------|------|------|------|
| <b>IE 100 XL - PASSO / PITCH 10</b>   |  |      |      |      |      |
| <b><math>F_a</math> [N]</b>   | <b><math>V_{out}</math> [mm/s]</b>   |      |      |      |      |
|   | 33      133      233      333  |      |      |      |      |
| 52000   | $F_r$ [N]  | 3051 |      |      |      |
|   | $f_t$ [Hz]   | 461  |      |      |      |
| 46800   | $F_r$ [N]  | 2746 |      |      |      |
|   | $f_t$ [Hz]   | 438  |      |      |      |
| 41600   | $F_r$ [N]  | 2441 | 2443 |      |      |
|   | $f_t$ [Hz]   | 413  | 413  |      |      |
| 36400   | $F_r$ [N]  | 2136 | 2138 |      |      |
|   | $f_t$ [Hz]   | 386  | 386  |      |      |
| 31200   | $F_r$ [N]  | 1831 | 1833 | 1838 |      |
|   | $f_t$ [Hz]   | 357  | 357  | 358  |      |
| 26000   | $F_r$ [N]  | 1526 | 1528 | 1533 | 1541 |
|   | $f_t$ [Hz]   | 326  | 326  | 327  | 328  |
| 20800   | $F_r$ [N]  | 1221 | 1223 | 1228 | 1236 |
|   | $f_t$ [Hz]   | 292  | 292  | 293  | 294  |
| 15600   | $F_r$ [N]  | 916  | 918  | 923  | 931  |
|   | $f_t$ [Hz]   | 253  | 253  | 254  | 255  |
| 10400   | $F_r$ [N]  | 610  | 613  | 618  | 626  |
|   | $f_t$ [Hz]   | 206  | 207  | 208  | 209  |
| 5200  | $F_r$ [N]  | 309  | 311  | 317  | 325  |
|   | $f_t$ [Hz]   | 147  | 147  | 149  | 150  |

**R = 2**

**$C_p$**  Coppia input massima alla puleggia motrice  
Max input torque at driving pulley



**$F_{a,max}$**  In funzione della velocità della puleggia motrice  
Depending on the driving pulley rotational speed



**$F_r$**  Forza radiale su asse puleggia motrice in funzione di  $C_{in}$   
Radial force on driving pulley as a function of  $C_{in}$

**$f_t$**  Frequenza di vibrazione della cinghia per il tensionamento (al montaggio)  
Vibration frequency of the belt for its tensioning (during assembly)

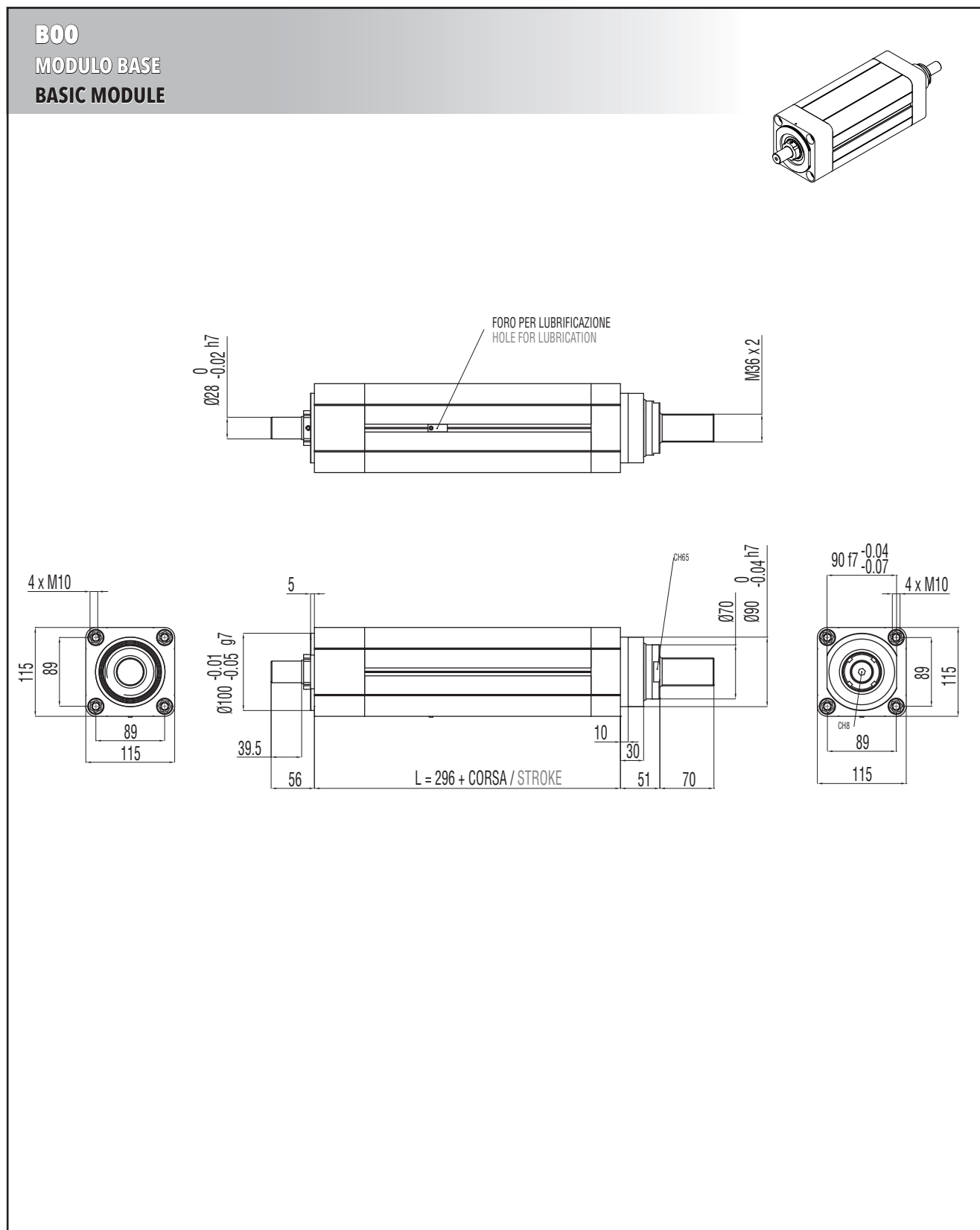
| IE 100 XL - PASSO / PITCH 10 |            |                  |      |       |     |
|------------------------------|------------|------------------|------|-------|-----|
| $F_a$ [N]                    |            | $V_{out}$ [mm/s] |      |       |     |
|                              |            | 16,6             | 66,4 | 116,2 | 166 |
| 52000                        | $F_r$ [N]  |                  |      |       |     |
|                              | $f_t$ [Hz] |                  |      |       |     |
| 46800                        | $F_r$ [N]  |                  |      |       |     |
|                              | $f_t$ [Hz] |                  |      |       |     |
| 41600                        | $F_r$ [N]  |                  |      |       |     |
|                              | $f_t$ [Hz] |                  |      |       |     |
| 36400                        | $F_r$ [N]  |                  |      |       |     |
|                              | $f_t$ [Hz] |                  |      |       |     |
| 31200                        | $F_r$ [N]  |                  |      |       |     |
|                              | $f_t$ [Hz] |                  |      |       |     |
| 26000                        | $F_r$ [N]  | 1573             |      |       |     |
|                              | $f_t$ [Hz] | 403              |      |       |     |
| 20800                        | $F_r$ [N]  | 1258             | 1259 | 1260  |     |
|                              | $f_t$ [Hz] | 360              | 360  | 360   |     |
| 15600                        | $F_r$ [N]  | 944              | 944  | 946   | 946 |
|                              | $f_t$ [Hz] | 312              | 312  | 312   | 312 |
| 10400                        | $F_r$ [N]  | 629              | 630  | 631   | 632 |
|                              | $f_t$ [Hz] | 255              | 255  | 255   | 255 |
| 5200                         | $F_r$ [N]  | 315              | 315  | 317   | 317 |
|                              | $f_t$ [Hz] | 180              | 180  | 181   | 181 |

### 3.9.6 Caratteristiche dimensionali

### 3.9.6 Overall dimensions

NOTA: Dati categorie motori / riduttori / rinvi al capitolo 4.

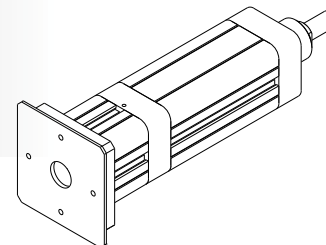
REMARK: Motors / Planetary / Angle bevel gearbox categories data at chapter 4.



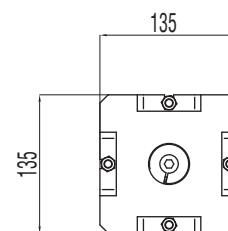
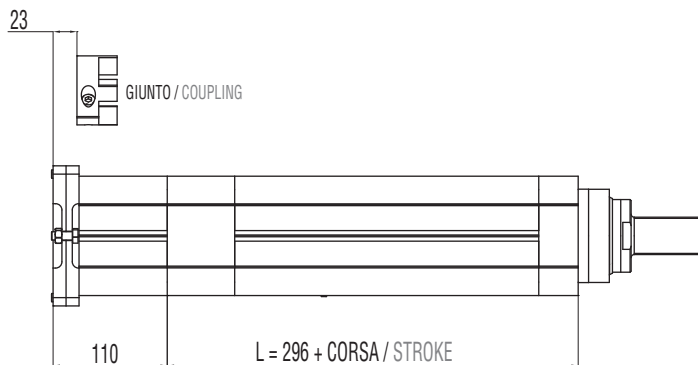
**B00 + D00**

MODULO BASE + TRASMISSIONE COASSIALE PER MOTORE CUSTOM  
(SENZA RIDUTTORE)

**BASIC MODULE + CUSTOM IN-LINE TRANSMISSION W/O REDUCTION STAGE  
FOR CUSTOM MOTORS**



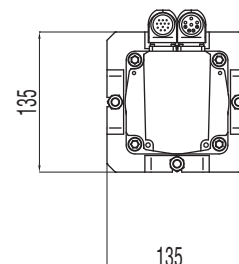
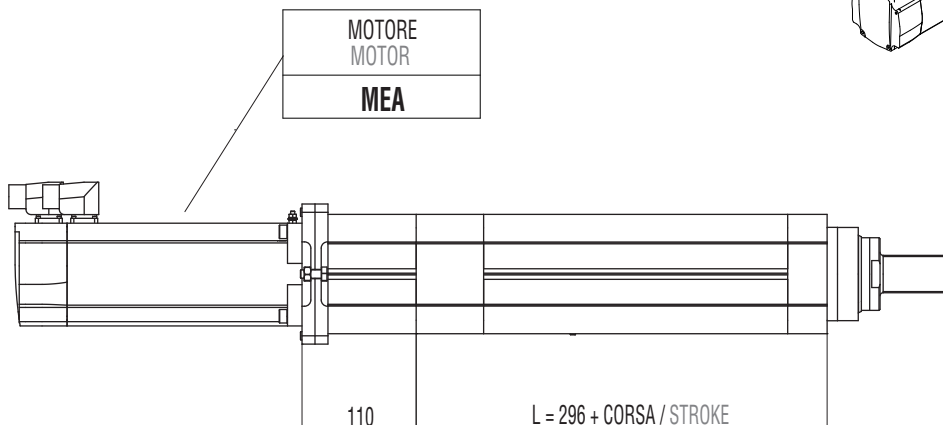
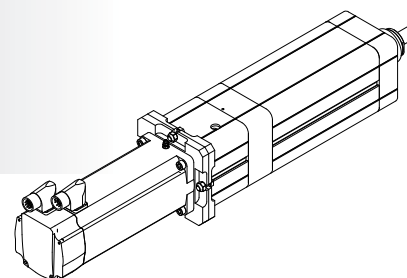
|  | DIMENSIONI LIMITI INTERFACCIA<br>MAX INTERFACE DIMENSIONS |           |                 |           |
|--|---|-----------|-----------------|-----------|
|  | TAGLIA GIUNTO<br>COUPLING SIZE                            | A<br>[mm] | B<br>[mm]       | C<br>[mm] |
|  | 150   | 30 max    | 40 min / 52 max | 130 max   |



**B00 + D01**

MODULO BASE + TRASMISSIONE COASSIALE PER MOTORE COMPATIBILE  
(SENZA RIDUTTORE)

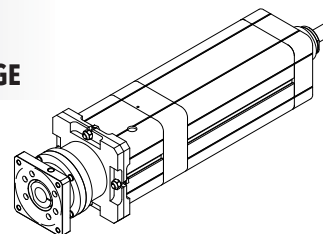
**BASIC MODULE + IN-LINE TRANSMISSION W/O REDUCTION STAGE FOR  
COMPATIBLE MOTORS**



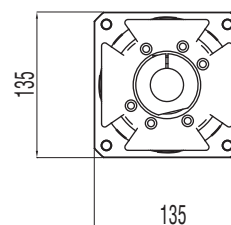
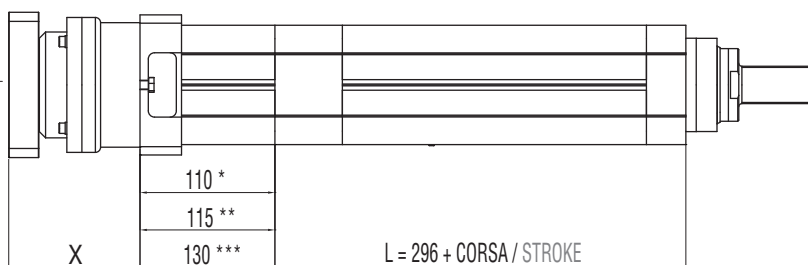
**B00 + D02**

MODULO BASE + RIDUTTORE EPICICLOIDALE COASSIALE COMPATIBILE

**BASIC MODULE + IN-LINE COMPATIBLE PLANETARY GEARBOX REDUCTION STAGE**



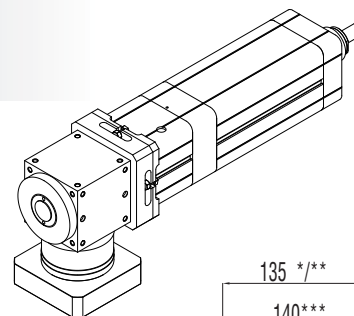
|                                  |
|----------------------------------|
| RIDUTTORE /<br>PLANETARY GEARBOX |
| <b>GCA*</b>                      |
| <b>GDA**</b>                     |
| <b>GEA***</b>                    |
| <b>GCB*</b>                      |
| <b>GEB**</b>                     |



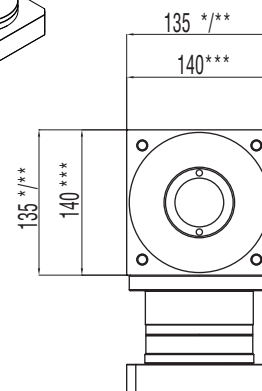
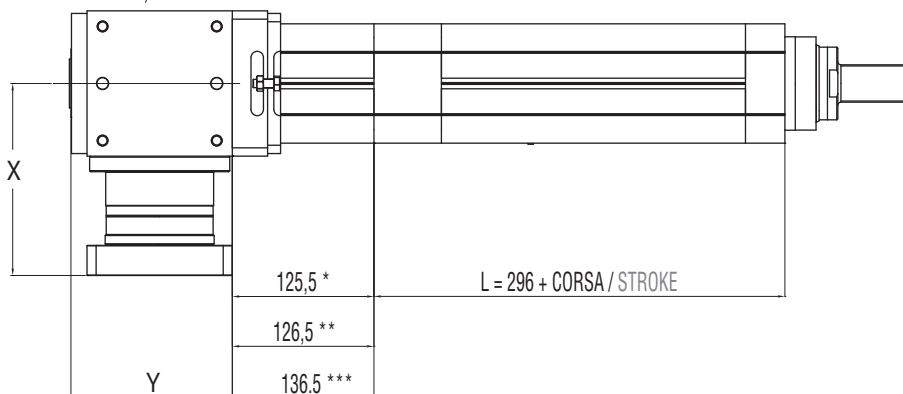
**B00 + A01**

MODULO BASE + RINVIO ANGOLARE COMPATIBILE

**BASIC MODULE + COMPATIBLE ANGLE BEVEL GEARBOX STAGE**



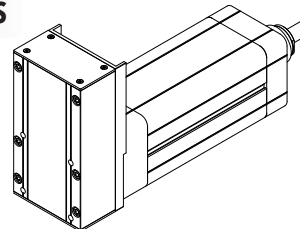
|  |
|--|
| RINVIO ANGOLARE<br>ANGLE BEVEL GEARBOX |
| <b>ACA*</b>                            |
| <b>ADA**</b>                           |
| <b>AEA***</b>                          |



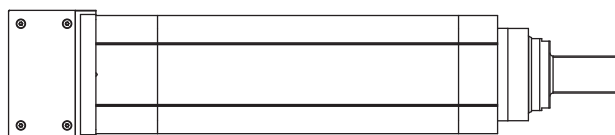
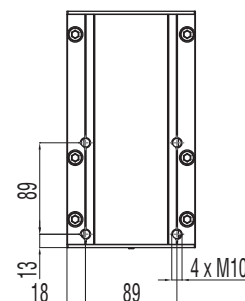
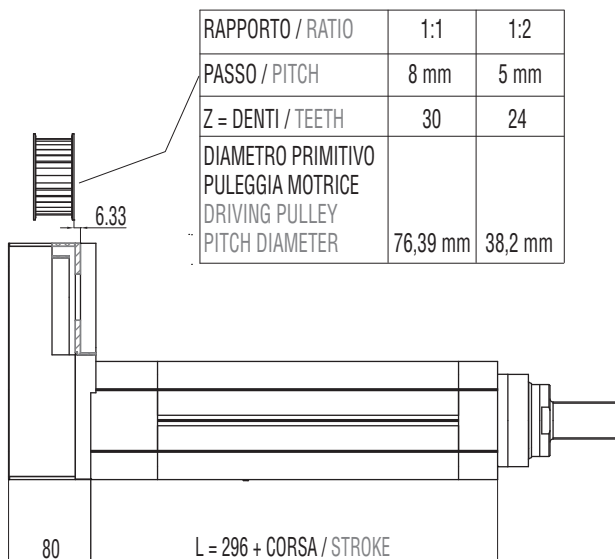
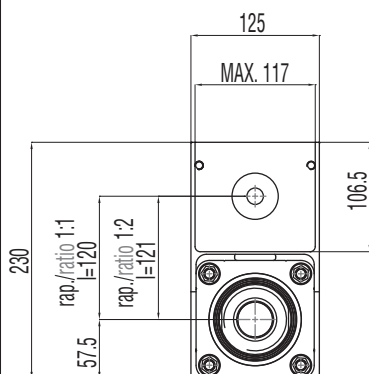
**B00 + R00**

MODULO BASE + TRASMISSIONE A CINGHIA IN PARALLELO PER MOTORE CUSTOM

BASIC MODULE + PARALLEL CUSTOM BELT GEARBOX STAGE FOR CUSTOM MOTORS



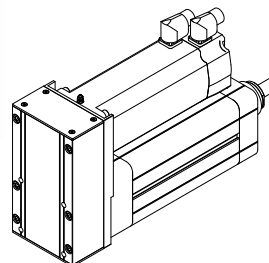
|              | DIMENSIONI LIMITI INTERFACCIA<br>MAX INTERFACE DIMENSIONS |                 |         |
|--------------|---|-----------------|---------|
|              | A   | B               | C       |
|              | [mm]  | [mm]            | [mm]    |
| <b>R=1:1</b> | 24 max  | 42 min / 58 max | 110 max |
| <b>R=1:2</b> | 19 max  | 36 min / 50 max | 110 max |



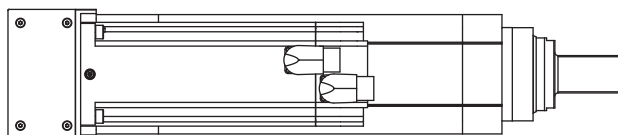
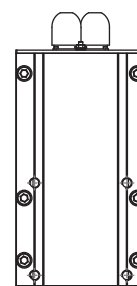
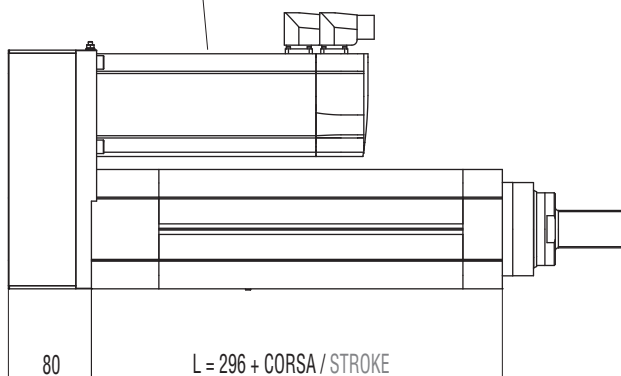
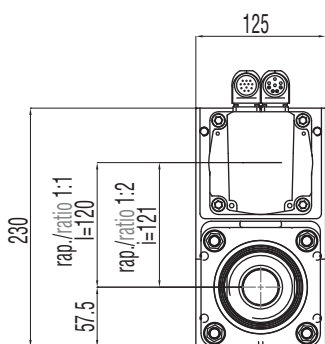
**B00 + R01**

MODULO BASE + TRASMISSIONE A CINGHIA IN PARALLELO PER MOTORE COMPATIBILE

BASIC MODULE + PARALLEL BELT GEARBOX STAGE FOR COMPATIBLE MOTORS



| MOTORE<br>MOTOR |
|-----------------|
| MEA             |
| MCA             |
| MCB             |
| MCC             |
| MCD             |
| MDA             |
| MDB             |
| MDC             |

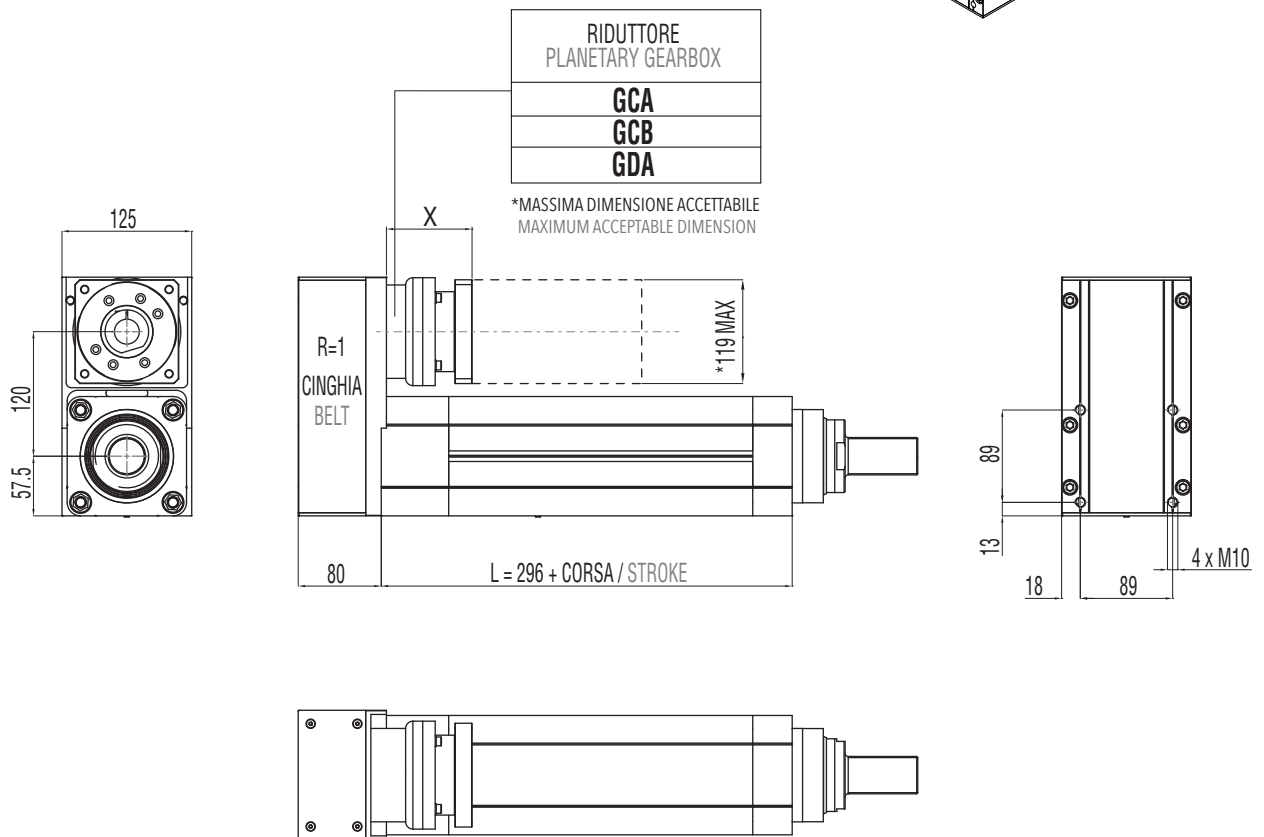
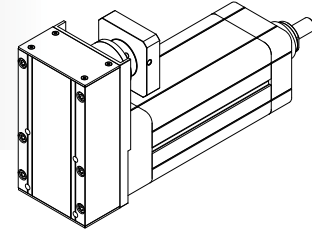




**B00 + R02**

MODULO BASE + TRASMISSIONE A CINGHIA IN PARALLELO +  
RIDUTTORE EPICICLOIDALE COMPATIBILE

**BASIC MODULE + PARALLEL BELT GEARBOX STAGE +  
IN-LINE COMPATIBLE PLANETARY GEARBOX REDUCTION STAGE**



**3.9.7 Accessori disponibili**

Per le tabelle e i disegni tecnici degli accessori disponibili fare riferimento al paragrafo 3.10 (da pag. 136).

**3.9.7 Available accessories**

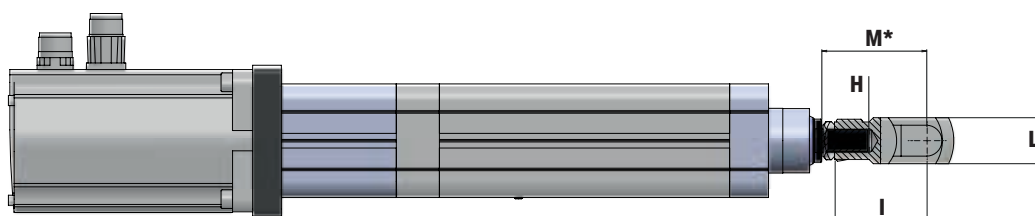
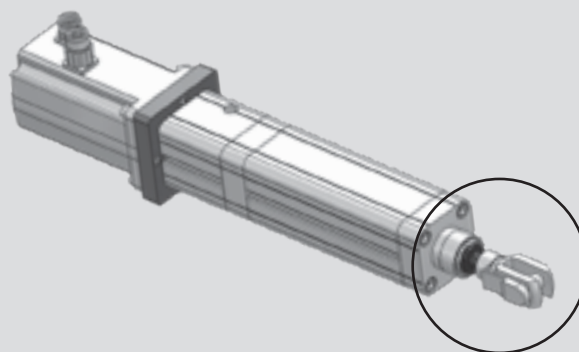
For tables and drawings please refer to paragraph 3.10 (from page 136).

3.10

Accessori da grandezze IE 32 a IE 100 XL  
Accessories from IE 32 to IE 100 XL sizes

3.10.1

**FS** Forcella Stelo  
Rod Fork

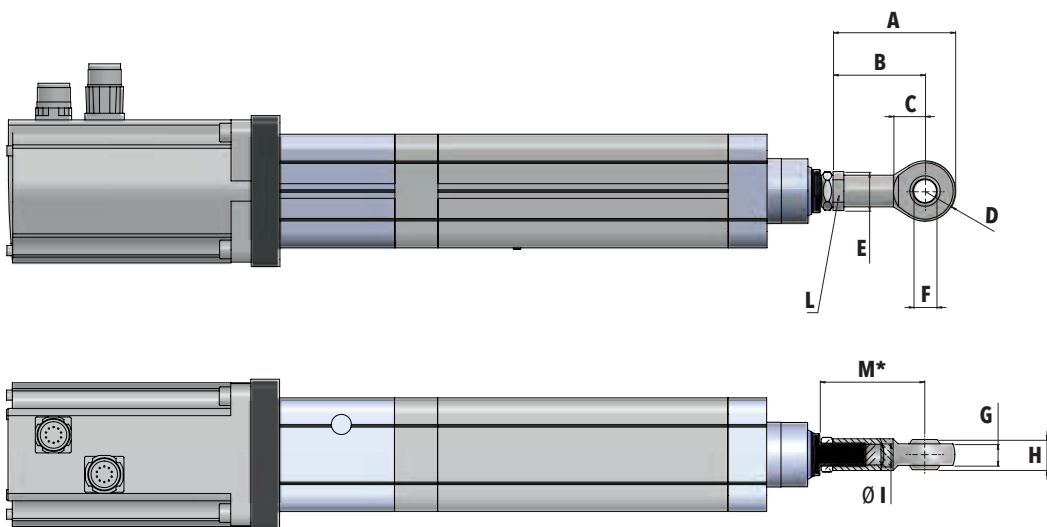
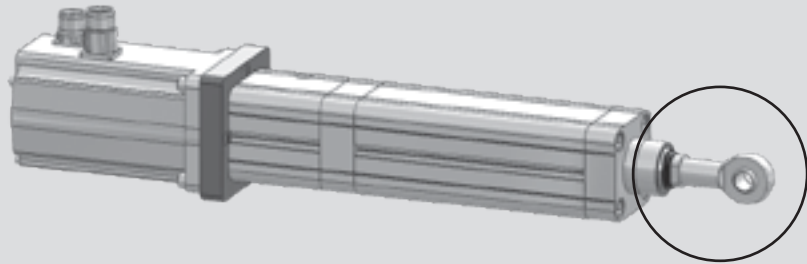


\*QUOTA MINIMA, REGOLAZIONE A CARICO DEL CLIENTE  
MINIMUM DIMENSION, REGULATION MADE BY THE CUSTOMER

| TAGLIA / SIZES | A   | B  | C  | D  | E  | F    | G        | H          | I   | L  | M   |
|----------------|-----|----|----|----|----|------|----------|------------|-----|----|-----|
| 32             | 52  | 20 | 10 | 20 | 26 | Ø 18 | Ø 10 h 8 | M10 x 1.25 | 40  | 20 | 48  |
| 40             | 62  | 24 | 12 | 24 | 32 | Ø 20 | Ø 12 h 8 | M12 x 1.25 | 48  | 24 | 57  |
| 50             | 83  | 32 | 16 | 32 | 40 | Ø 26 | Ø 16 h 8 | M16 x 1.5  | 64  | 32 | 74  |
| 63             | 83  | 32 | 16 | 32 | 40 | Ø 26 | Ø 16 h 8 | M16 x 1.5  | 64  | 32 | 74  |
| 80             | 105 | 40 | 20 | 40 | 48 | Ø 34 | Ø 20 h 8 | M20 x 1.5  | 80  | 40 | 92  |
| 80HL           | 105 | 40 | 20 | 40 | 48 | Ø 34 | Ø 20 h 8 | M20 x 1.5  | 80  | 40 | 92  |
| 100            | 105 | 40 | 20 | 40 | 48 | Ø 34 | Ø 20 h 8 | M20 x 1.5  | 80  | 40 | 92  |
| 100HL          | 105 | 40 | 20 | 40 | 48 | Ø 34 | Ø 20 h 8 | M20 x 1.5  | 80  | 40 | 92  |
| 100XL          | 188 | 72 | 35 | 70 | 83 | Ø 60 | Ø 35 h 8 | M36 x 2    | 144 | 70 | 162 |

3.10.2

**SS** Snodo Sferico  
Swivel Joint

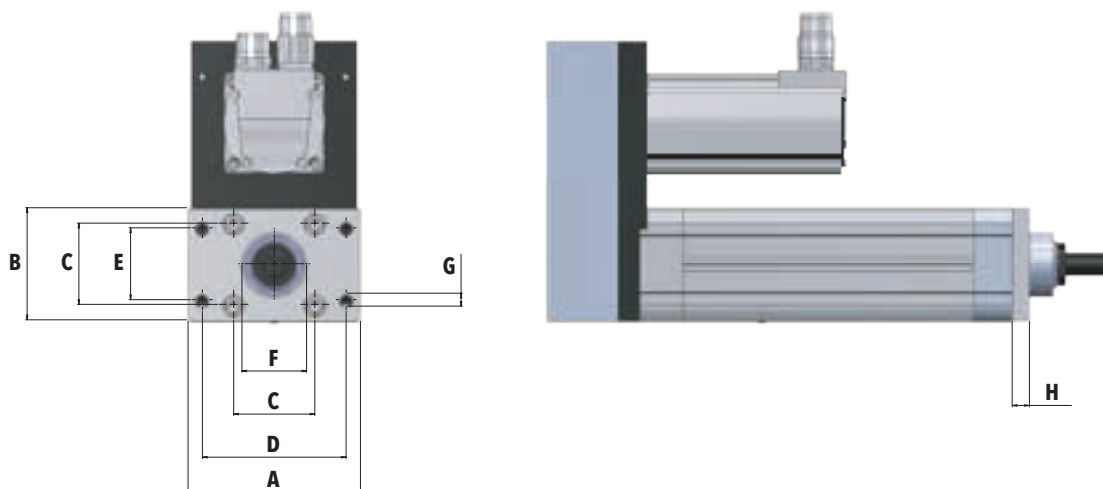
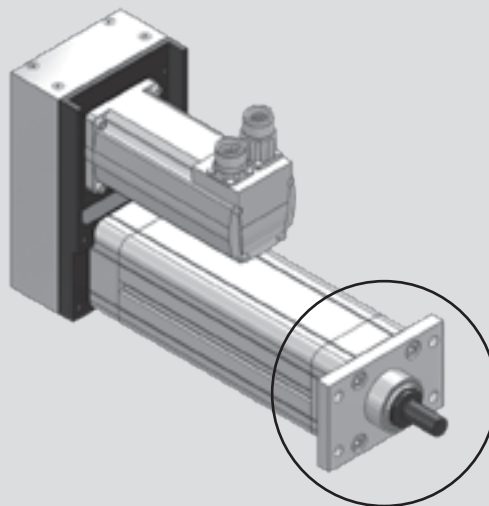


\*QUOTA MINIMA, REGOLAZIONE A CARICO DEL CLIENTE  
MINIMUM DIMENSION, REGULATION MADE BY THE CUSTOMER

| TAGLIA / SIZES | A   | B   | C  | D  | E    | F        | G    | H  | I          | L    | M   |
|----------------|-----|-----|----|----|------|----------|------|----|------------|------|-----|
| 32             | 57  | 43  | 15 | 14 | Ø 19 | Ø 10 H 7 | 10.5 | 14 | M10 x 1.25 | CH17 | 51  |
| 40             | 66  | 50  | 16 | 16 | Ø 22 | Ø 12 H 7 | 12   | 16 | M12 x 1.25 | CH19 | 59  |
| 50             | 85  | 64  | 22 | 21 | Ø 27 | Ø 16 H 7 | 15   | 21 | M16 x 1.5  | CH22 | 74  |
| 63             | 85  | 64  | 22 | 21 | Ø 27 | Ø 16 H 7 | 15   | 21 | M16 x 1.5  | CH22 | 74  |
| 80             | 102 | 77  | 26 | 25 | Ø 34 | Ø 20 H 7 | 18   | 25 | M20 x 1.5  | CH30 | 89  |
| 80HL           | 102 | 77  | 26 | 25 | Ø 34 | Ø 20 H 7 | 18   | 25 | M20 x 1.5  | CH30 | 89  |
| 100            | 102 | 77  | 26 | 25 | Ø 34 | Ø 20 H 7 | 18   | 25 | M20 x 1.5  | CH30 | 89  |
| 100HL          | 102 | 77  | 26 | 25 | Ø 34 | Ø 20 H 7 | 18   | 25 | M20 x 1.5  | CH30 | 89  |
| 100XL          | 165 | 125 | 41 | 40 | Ø 58 | Ø 35 H 7 | 28   | 43 | M36 x 2    | CH50 | 143 |

3.10.3

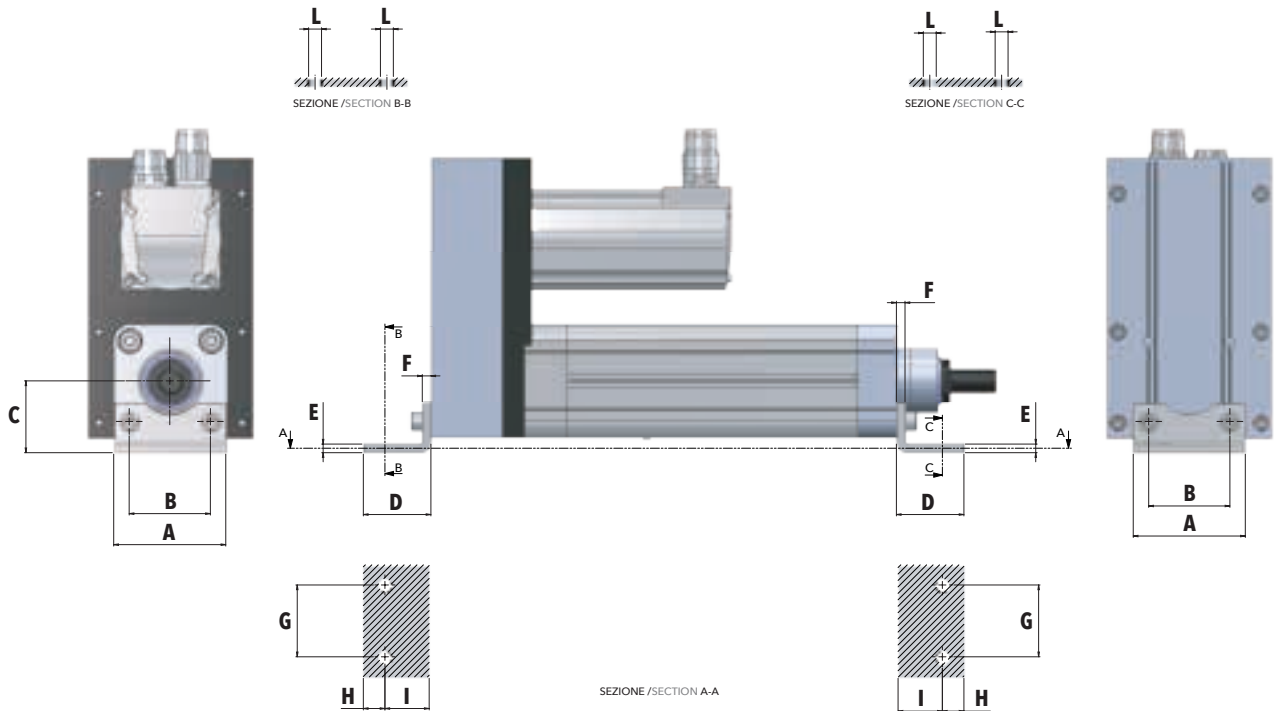
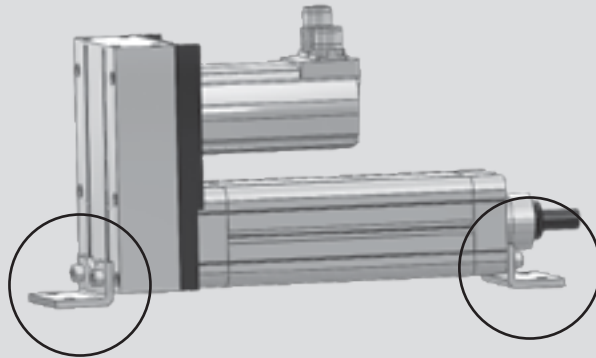
**FV** Flangia Frontale  
Front Flange



| TAGLIA / SIZES | A   | B   | C    | D   | E  | F       | G        | H  |
|----------------|-----|-----|------|-----|----|---------|----------|----|
| 32             | 80  | 50  | 32,5 | 64  | 32 | Ø 30 H7 | 4 x Ø 7  | 10 |
| 40             | 90  | 55  | 38   | 72  | 36 | Ø 35 H7 | 4 x Ø 9  | 10 |
| 50             | 110 | 66  | 46,5 | 90  | 45 | Ø 40 H7 | 4 x Ø 9  | 12 |
| 63             | 120 | 78  | 56,5 | 100 | 50 | Ø 45 H7 | 4 x Ø 9  | 12 |
| 80             | 153 | 98  | 72   | 126 | 63 | Ø 45 H7 | 4 x Ø 12 | 16 |
| 80HL           | 153 | 98  | 72   | 126 | 63 | Ø 55 H7 | 4 x Ø 12 | 16 |
| 100            | 178 | 115 | 89   | 150 | 75 | Ø 55 H7 | 4 x Ø 14 | 16 |
| 100HL          | 178 | 115 | 89   | 150 | 75 | Ø 75 H7 | 4 x Ø 14 | 16 |
| 100XL          | 178 | 115 | 89   | 150 | 75 | Ø 90 H7 | 4 x Ø 14 | 16 |

3.10.4

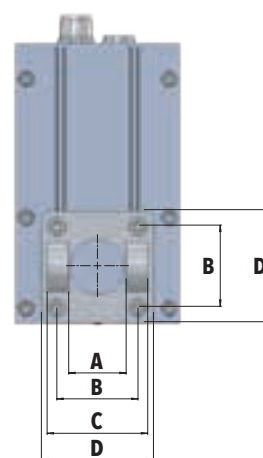
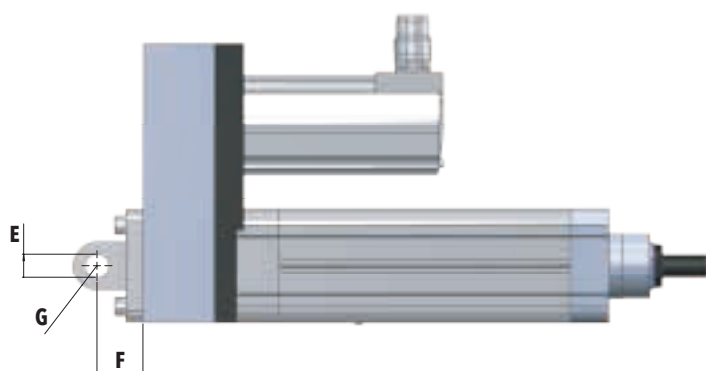
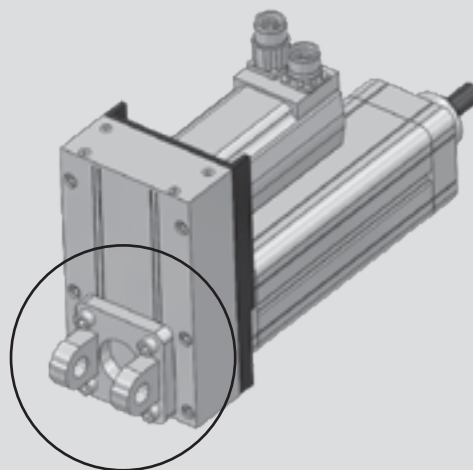
**PV** Piedino Verticale  
Angle Foot



| TAGLIA / SIZES | A   | B    | C  | D  | E | F | G  | H  | I  | L    |
|----------------|-----|------|----|----|---|---|----|----|----|------|
| 32             | 47  | 32,5 | 32 | 35 | 5 | 5 | 32 | 11 | 24 | Ø 7  |
| 40             | 54  | 38   | 36 | 43 | 5 | 5 | 36 | 15 | 28 | Ø 9  |
| 50             | 66  | 46,5 | 45 | 47 | 6 | 6 | 45 | 15 | 32 | Ø 9  |
| 63             | 78  | 56,5 | 50 | 47 | 6 | 6 | 50 | 15 | 32 | Ø 9  |
| 80             | 98  | 72   | 63 | 61 | 7 | 7 | 63 | 20 | 41 | Ø 12 |
| 80HL           | 98  | 72   | 63 | 61 | 7 | 7 | 63 | 20 | 41 | Ø 12 |
| 100            | 115 | 89   | 71 | 66 | 7 | 7 | 75 | 25 | 41 | Ø 14 |
| 100HL          | 115 | 89   | 71 | 66 | 7 | 7 | 75 | 25 | 41 | Ø 14 |
| 100XL          | 115 | 89   | 71 | 66 | 7 | 7 | 75 | 25 | 41 | Ø 14 |

3.10.5

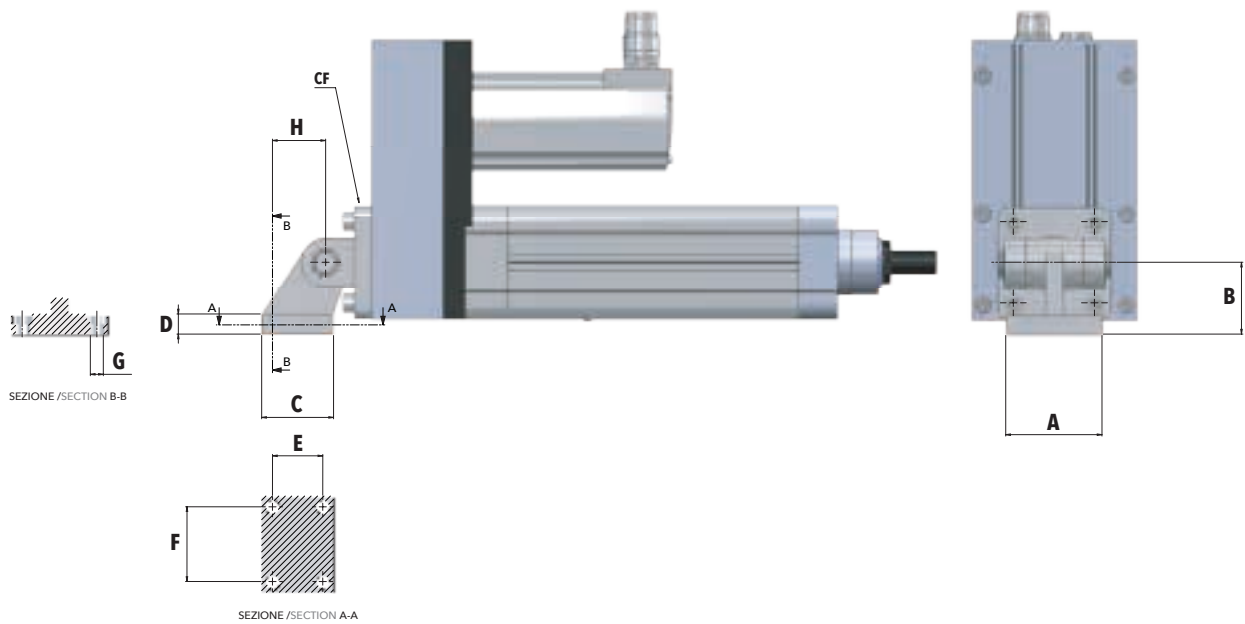
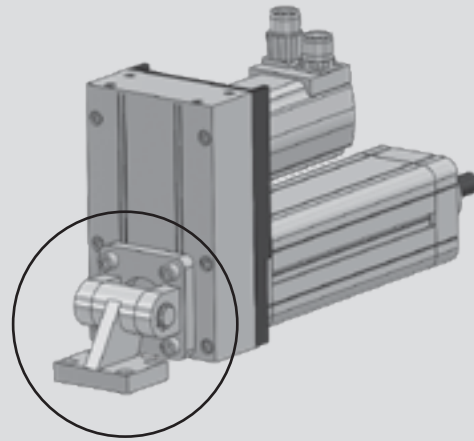
**CF** Cerniera Femmina  
Rear Female Clevis with Pin



| TAGLIA / SIZES | A  | B    | C   | D   | E       | F  | G  |
|----------------|----|------|-----|-----|---------|----|----|
| 32             | 26 | 32,5 | 45  | 47  | Ø 10 H9 | 22 | 11 |
| 40             | 28 | 38   | 52  | 54  | Ø 12 H9 | 25 | 13 |
| 50             | 32 | 46,5 | 60  | 66  | Ø 12 H9 | 27 | 13 |
| 63             | 40 | 56,5 | 70  | 78  | Ø 16 H9 | 32 | 17 |
| 80             | 50 | 72   | 90  | 98  | Ø 16 H9 | 36 | 17 |
| 80HL           | 50 | 72   | 90  | 98  | Ø 16 H9 | 36 | 17 |
| 100            | 60 | 89   | 110 | 115 | Ø 20 H9 | 41 | 21 |
| 100HL          | 60 | 89   | 110 | 115 | Ø 20 H9 | 41 | 21 |
| 100XL          | 60 | 89   | 110 | 115 | Ø 20 H9 | 41 | 21 |

3.10.6

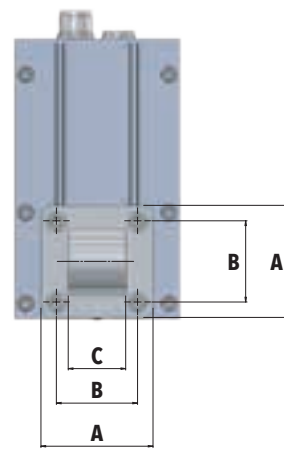
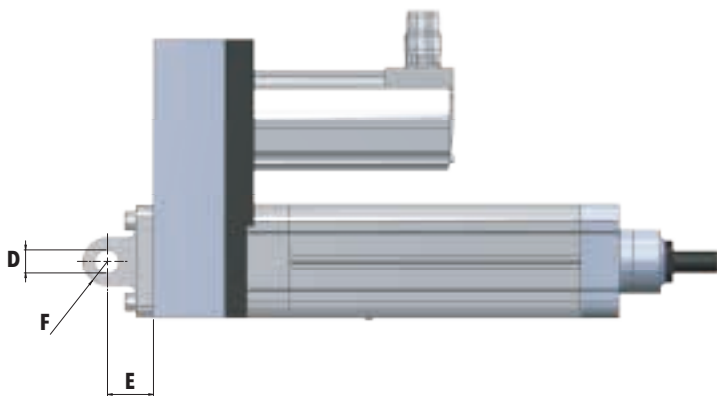
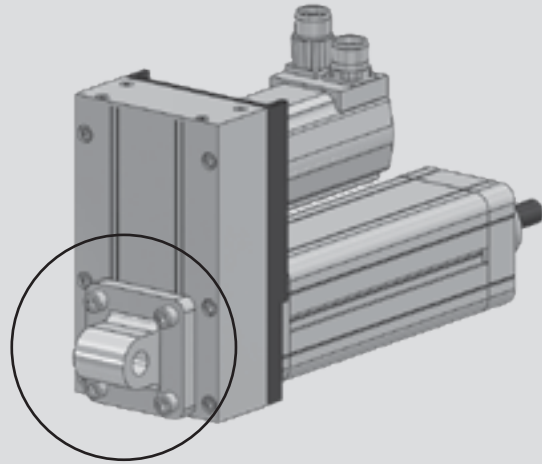
**KO** Controcerniera Orizzontale  
Square Horizontal Counterclevis



| TAGLIA / SIZES | A  | B  | C  | D  | E  | F  | G     | H  |
|----------------|----|----|----|----|----|----|-------|----|
| 32             | 51 | 32 | 31 | 8  | 18 | 38 | Ø 6,6 | 21 |
| 40             | 54 | 36 | 35 | 10 | 22 | 41 | Ø 6,6 | 24 |
| 50             | 65 | 45 | 45 | 12 | 30 | 50 | Ø 9   | 33 |
| 63             | 67 | 50 | 50 | 14 | 35 | 52 | Ø 9   | 37 |
| 80             | 86 | 63 | 60 | 14 | 40 | 66 | Ø 11  | 47 |
| 80HL           | 86 | 63 | 60 | 14 | 40 | 66 | Ø 11  | 47 |
| 100            | 96 | 71 | 70 | 17 | 50 | 76 | Ø 11  | 55 |
| 100HL          | 96 | 71 | 70 | 17 | 50 | 76 | Ø 11  | 55 |
| 100XL          | 96 | 71 | 70 | 17 | 50 | 76 | Ø 11  | 55 |

3.10.7

**KM** Controcerniera Maschio  
Male Clevis

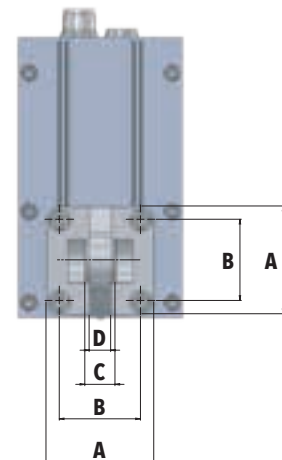
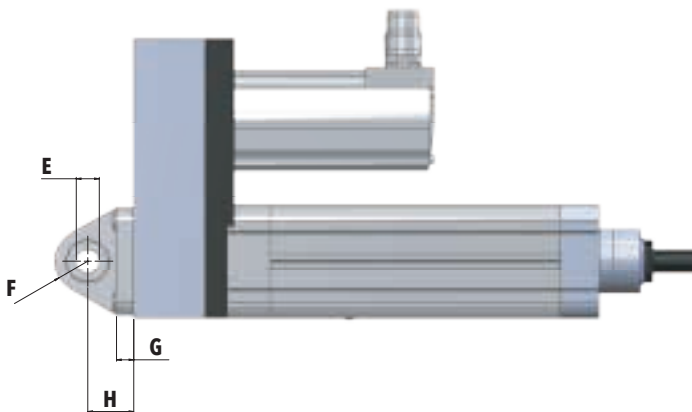
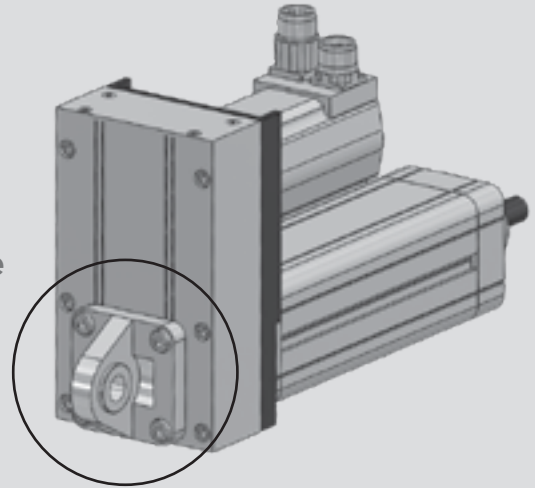


| TAGLIA / SIZES | A   | B    | C  | D       | E  | F  |
|----------------|-----|------|----|---------|----|----|
| 32             | 47  | 32,5 | 26 | Ø 10 H7 | 22 | 11 |
| 40             | 54  | 38   | 28 | Ø 12 H7 | 25 | 13 |
| 50             | 66  | 46,5 | 32 | Ø 12 H7 | 27 | 13 |
| 63             | 78  | 56,5 | 40 | Ø 16 H7 | 32 | 17 |
| 80             | 98  | 72   | 50 | Ø 16 H7 | 36 | 17 |
| 80HL           | 98  | 72   | 50 | Ø 16 H7 | 36 | 17 |
| 100            | 115 | 89   | 60 | Ø 20 H7 | 41 | 21 |
| 100HL          | 115 | 89   | 60 | Ø 20 H7 | 41 | 21 |
| 100XL          | 115 | 89   | 60 | Ø 20 H7 | 41 | 21 |



3.10.8

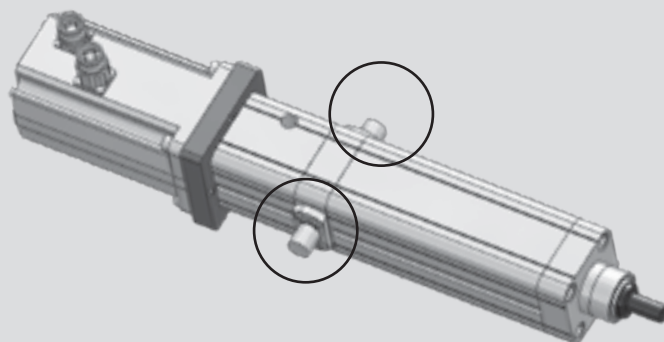
**KS** Controcerniera Sferica  
Male Clevis with Spherical Knuckle



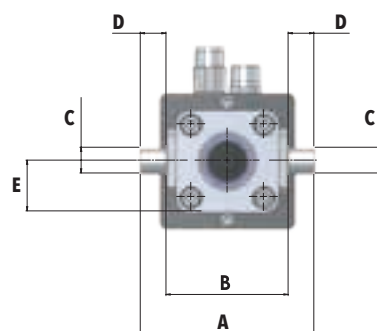
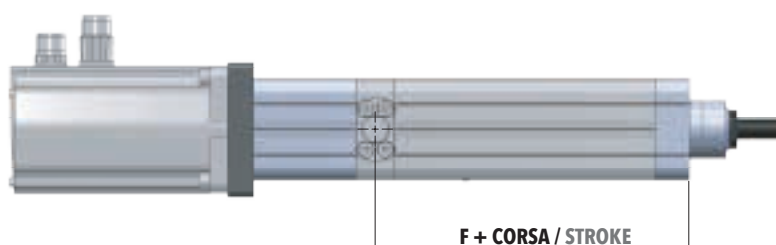
| TAGLIA / SIZES | A   | B    | C  | D    | E       | F  | G  | H  |
|----------------|-----|------|----|------|---------|----|----|----|
| 32             | 45  | 32,5 | 14 | 10,5 | Ø 10 H7 | 15 | 10 | 22 |
| 40             | 55  | 38   | 16 | 12   | Ø 12 H7 | 18 | 10 | 25 |
| 50             | 65  | 46,5 | 21 | 15   | Ø 16 H7 | 20 | 10 | 27 |
| 63             | 75  | 56,5 | 21 | 15   | Ø 16 H7 | 23 | 12 | 32 |
| 80             | 95  | 72   | 25 | 18   | Ø 20 H7 | 27 | 14 | 36 |
| 80HL           | 95  | 72   | 25 | 18   | Ø 20 H7 | 27 | 14 | 36 |
| 100            | 115 | 89   | 25 | 18   | Ø 20 H7 | 30 | 16 | 41 |
| 100HL          | 115 | 89   | 25 | 18   | Ø 20 H7 | 30 | 16 | 41 |
| 100XL          | 115 | 89   | 25 | 18   | Ø 20 H7 | 30 | 16 | 41 |

3.10.9

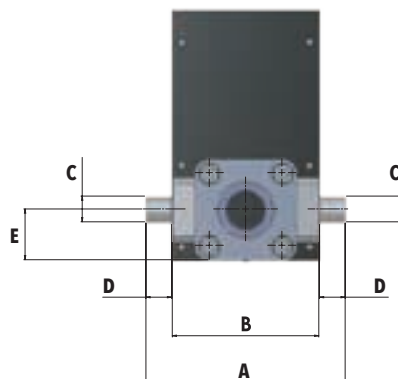
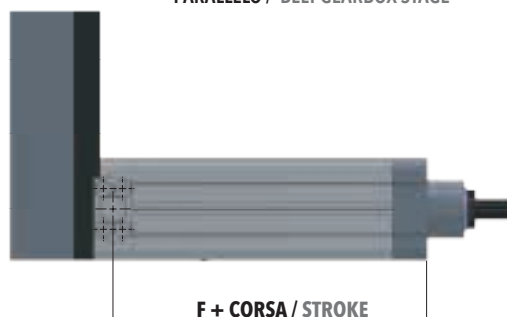
**PE** Perni Oscillanti  
Pivoting Pins



COASSIALE / IN-LINE VERSION



PARALLELO / BELT GEARBOX STAGE



| TAGLIA / SIZES | A<br>COASSIALE<br>IN-LINE VERSION | A<br>PARALLELO<br>BELT GEARBOX STAGE | B<br>COASSIALE<br>IN-LINE VERSION | B<br>PARALLELO<br>BELT GEARBOX STAGE | C       | D  | E    | F     |
|----------------|-----------------------------------|--------------------------------------|-----------------------------------|--------------------------------------|---------|----|------|-------|
| 32             | 91                                | 91                                   | 67                                | 67                                   | Ø 12 g7 | 12 | 25   | 130   |
| 40             | 96                                | 96                                   | 72                                | 72                                   | Ø 12 g7 | 12 | 27,5 | 130   |
| 50             | 120                               | 147                                  | 88                                | 115                                  | Ø 16 g7 | 16 | 34   | 122,5 |
| 63             | 135                               | 155                                  | 95                                | 115                                  | Ø 20 g7 | 20 | 39,5 | 144   |
| 80             | 169                               | 169                                  | 129                               | 129                                  | Ø 20 g7 | 20 | 49   | 175   |
| 80HL           | 169                               | 169                                  | 129                               | 129                                  | Ø 20 g7 | 20 | 49   | 211   |
| 100            | 190                               | 190                                  | 140                               | 140                                  | Ø 25 g7 | 25 | 57,5 | 185   |
| 100HL*         | 190                               | 190                                  | 140                               | 140                                  | Ø 25 g7 | 25 | 57,5 | 197   |
| 100HL**        | 190                               | 190                                  | 140                               | 140                                  | Ø 25 g7 | 25 | 57,5 | 231   |
| 100XL          | 190                               | 190                                  | 140                               | 140                                  | Ø 25 g7 | 25 | 57,5 | 263,5 |

\* Vite Ø 40 con passo 5, 10, 20 / Ballscrew Ø 40 with pitch 5, 10, 20

\*\* Vite Ø 40 con passo 40 / Ballscrew Ø 40 with pitch 40

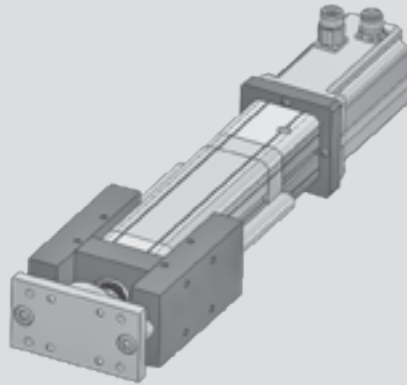
3.11

Sistemi di guida  
Guiding unit

3.11.1

Tipo "H"  
"H" Type

COASSIALE / IN-LINE VERSION



PARALLELO / BELT GEARBOX STAGE

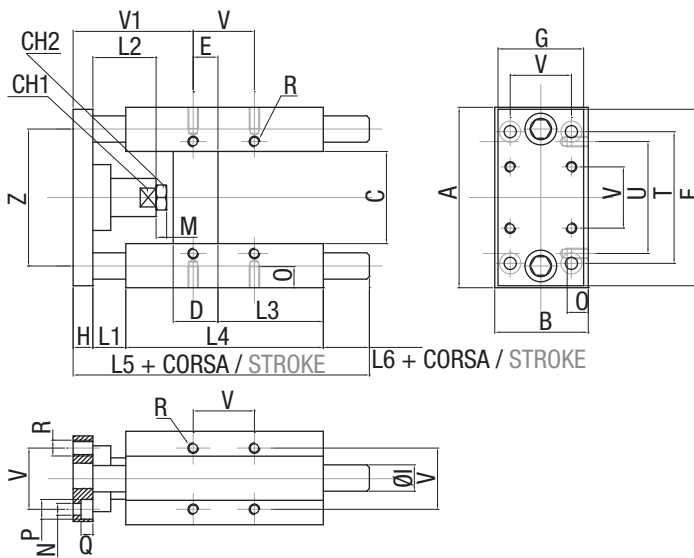
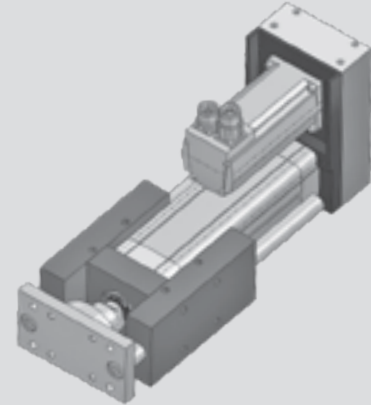


TABELLA PESI / WEIGHT

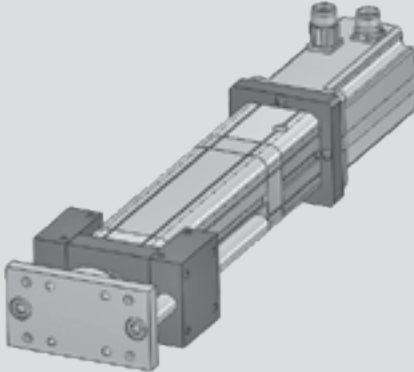
| TAGLIA<br>SIZES         | PESO CORSA<br>WEIGHT STROKE | PESO ogni 100 mm<br>di CORSA<br>WEIGHT a 100 mm<br>STROKE |
|-------------------------|-----------------------------|---|
| Ø [mm]                  | [kg]                        | [kg]  |
| 32                      | 1,3                         | 0,18  |
| 40                      | 2,4                         | 0,31  |
| 50                      | 3,5                         | 0,48  |
| 63                      | 4,6                         | 0,48  |
| 80<br>80 HL             | 8,4                         | 0,77  |
| 100<br>100 HL<br>100 XL | 11,8                        | 0,77  |

TABELLA DIMENSIONALE / OVERALL DIMENSION

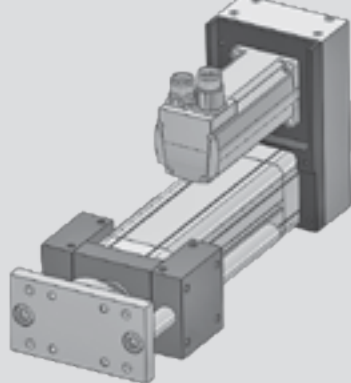
| TAGLIA<br>SIZES         | GIUNTO LUNGO<br>LONG COUPLING |     |     |     |     |    |      |     |     |    |    |    |    |     |     |     |    |   |     |    | GIUNTO CORTO<br>SHORT COUPLING |     |     |     |     |      |      |     |    |    |    |      |
|-------------------------|-------------------------------|-----|-----|-----|-----|----|------|-----|-----|----|----|----|----|-----|-----|-----|----|---|-----|----|--------------------------------|-----|-----|-----|-----|------|------|-----|----|----|----|------|
|                         | A                             | B   | C   | CH1 | CH2 | D  | E    | F   | G   | H  | I  | L1 | L2 | L3  | L4  | L5  | L6 | M | N   | O  | P                              | Q   | R   | T   | U   | V    | V1   | Z   | L1 | L2 | L6 | V    |
| Ø [mm]                  | [mm]                          |     |     |     |     |    |      |     |     |    |    |    |    |     |     |     |    |   |     |    |                                |     |     |     |     |      |      |     |    |    |    |      |
| 32                      | 97                            | 49  | 51  | 15  | 17  | 24 | 4,3  | 93  | 45  | 12 | 12 | 25 | 42 | 75  | 125 | 187 | 25 | 6 | 6,6 | 12 | 11                             | 6,5 | M6  | 78  | 61  | 32,5 | 82,7 | 74  | 3  | 19 | 47 | 60,7 |
| 40                      | 115                           | 58  | 58  | 15  | 19  | 28 | 11   | 112 | 55  | 12 | 16 | 25 | 42 | 80  | 140 | 207 | 30 | 7 | 6,6 | 12 | 11                             | 6,5 | M6  | 84  | 69  | 38   | 86   | 87  | 3  | 24 | 52 | 64   |
| 50                      | 137                           | 70  | 70  | 20  | 24  | 34 | 18,8 | 134 | 65  | 15 | 20 | 25 | 50 | 78  | 148 | 223 | 35 | 8 | 9   | 16 | 15                             | 9   | M8  | 100 | 85  | 46,5 | 92   | 104 | 3  | 27 | 57 | 70   |
| 63                      | 152                           | 85  | 85  | 20  | 24  | 34 | 15,3 | 147 | 80  | 15 | 20 | 25 | 50 | 106 | 178 | 243 | 25 | 8 | 9   | 16 | 15                             | 9   | M8  | 105 | 100 | 56,5 | 96,7 | 119 | 3  | 27 | 47 | 74,7 |
| 80<br>80 HL             | 189                           | 105 | 105 | 26  | 30  | 50 | 25   | 180 | 100 | 20 | 25 | 25 | 50 | 111 | 195 | 267 | 27 | 9 | 11  | 20 | 18                             | 11  | M10 | 130 | 130 | 72   | 104  | 148 | 3  | 27 | 49 | 82   |
| 100<br>100 HL<br>100 XL | 213                           | 130 | 131 | 26  | 30  | 55 | 30   | 206 | 120 | 20 | 25 | 25 | 50 | 128 | 218 | 290 | 27 | 9 | 11  | 20 | 18                             | 11  | M10 | 150 | 150 | 89   | 105  | 173 | 3  | 27 | 49 | 83   |

## 3.11.2

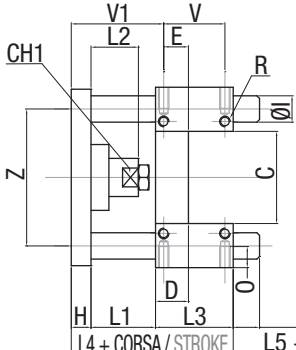
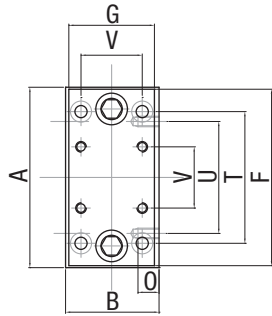
COASSIALE / IN-LINE VERSION



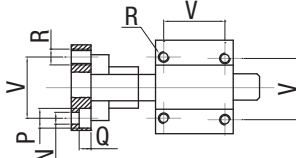
PARALLELO / BELT GEARBOX STAGE



**Tipo "U"**  
"U" Type

L4 + CORSA / STROKE      L5 + CORSA / STROKE



**TABELLA DIMENSIONALE / OVERALL DIMENSION**

| TAGLIA<br>SIZES | GIUNTO LUNGO / LONG COUPLING |    |      |    |    |      |     |    |    |    |    |    |    |     |    |     |    |    |     |    |     |     |      |       |     |  |
|-----------------|------------------------------|----|------|----|----|------|-----|----|----|----|----|----|----|-----|----|-----|----|----|-----|----|-----|-----|------|-------|-----|--|
|                 | A                            | B  | C    | CH | D  | E    | F   | G  | H  | I  | L1 | L2 | L3 | L4  | L5 | N   | O  | P  | Q   | R  | T   | U   | V    | V1    | Z   |  |
| Ø [mm]          | [mm]                         |    |      |    |    |      |     |    |    |    |    |    |    |     |    |     |    |    |     |    |     |     |      |       |     |  |
| 32              | 97                           | 49 | 51   | 15 | 17 | 9,25 | 93  | 45 | 12 | 12 | 42 | 25 | 48 | 102 | 18 | 6,6 | 12 | 11 | 6,5 | M6 | 78  | 61  | 32,5 | 61,75 | 74  |  |
| 40              | 115                          | 58 | 58,2 | 15 | 21 | 11   | 112 | 55 | 12 | 16 | 43 | 25 | 58 | 113 | 17 | 6,6 | 12 | 11 | 6,5 | M6 | 84  | 69  | 38   | 65    | 87  |  |
| 50              | 137                          | 70 | 70,2 | 20 | 25 | 18,8 | 134 | 65 | 15 | 20 | 49 | 29 | 59 | 123 | 20 | 9   | 16 | 15 | 8,5 | M8 | 100 | 85  | 46,5 | 70,2  | 104 |  |
| 63              | 152                          | 85 | 85,2 | 20 | 25 | 15,3 | 147 | 80 | 15 | 20 | 49 | 29 | 76 | 140 | 21 | 9   | 16 | 15 | 9   | M8 | 105 | 100 | 56,5 | 73,7  | 119 |  |

### 3.11.3 Codice di ordinazione

### 3.11.3 Designation code

| VERSIONE<br>TYPE  | ALESAGGIO CILINDRO<br>BORE CYLINDER                         | CORSA / STROKE<br>[mm] | CARATTERISTICHE SPECIALI<br>SPECIAL FEATURES |
|---|---|------------------------|--|
| SUGM    Unità tipo "H" con manicotti a ricircolo di sfere<br>Guiding unit type "H" with vall sleeves                            | 32<br>40<br>50<br>63<br>80 / 80 HL<br>100 / 100 HL / 100 XL |                        |  |
| SUGB    Unità tipo "H" con bussole sinterizzate autolubrificanti<br>Guiding unit type "H" with self lubricating sintered bronze |   |                        |  |
| SUGU    Unità tipo "U" con bussole sinterizzate autolubrificanti<br>Guiding unit type "U" with self lubricating sintered bronze |   |                        |  |

**ESEMPIO / EXAMPLE**

|      |   |    |   |     |   |   |
|------|---|----|---|-----|---|---|
| SUGB | - | 63 | - | 200 | - | - |
|------|---|----|---|-----|---|---|

# 4.

## Categorie Motori/Riduttori/Rinvii angolari compatibili (32÷ 100XL)

Compatible Motors/ Planetary  
gearboxes/Angle bevel gearboxes  
categories (32 ÷ 100XL Sizes)

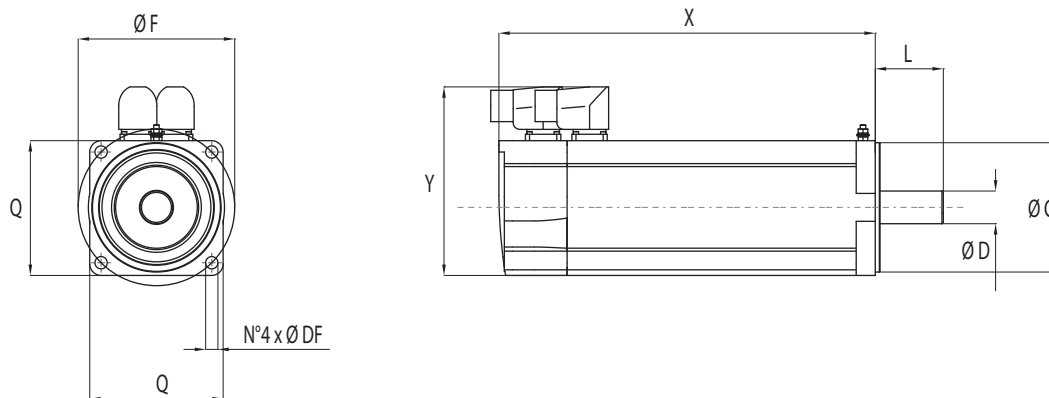
Motori / Motors pg. 148

Riduttori / Planetary gearboxes pg. 149

Rinvii angolari / Angle bevel gearboxes pg. 150

## 4.1

## Motori Motors



| MOTORE<br>MOTOR | D  | L  | C   | F   | DF  | Q*  | X** | Y** |
|-----------------|----|----|-----|-----|-----|-----|-----|-----|
| MAA             | 9  | 20 | 40  | 63  | 5,5 | 55  |     |     |
| MBA             | 11 | 23 | 60  | 75  | 5,5 | 70  |     |     |
| MBB             | 11 | 23 | 60  | 90  | 5,8 | 75  |     |     |
| MBC             | 11 | 30 | 50  | 70  | 4,5 | 60  |     |     |
| MCA             | 14 | 30 | 60  | 75  | 5,5 | 70  |     |     |
| MCB             | 14 | 30 | 60  | 90  | 5,8 | 75  |     |     |
| MCC             | 14 | 30 | 80  | 100 | 6,5 | 92  |     |     |
| MCD             | 14 | 30 | 50  | 70  | 4,5 | 60  |     |     |
| MCE             | 14 | 30 | 60  | 75  | 6,5 | 72  |     |     |
| MCF             | 14 | 30 | 50  | 70  | 5,5 | 60  |     |     |
| MDA             | 19 | 40 | 95  | 115 | 9   | 105 |     |     |
| MDB             | 19 | 40 | 80  | 100 | 7   | 96  |     |     |
| MDC             | 19 | 35 | 70  | 90  | 6   | 80  |     |     |
| MDD             | 19 | 35 | 70  | 90  | 7   | 80  |     |     |
| MEA             | 24 | 50 | 95  | 115 | 9   | 100 |     |     |
| MEB             | 24 | 50 | 110 | 130 | 10  | 115 |     |     |
| MFA             | 16 | 40 | 80  | 100 | 7   | 90  |     |     |
| MFB             | 16 | 40 | 70  | 90  | 7   | 80  |     |     |
| MGA             | 10 | 32 | 80  | 100 | 6,6 | 90  |     |     |

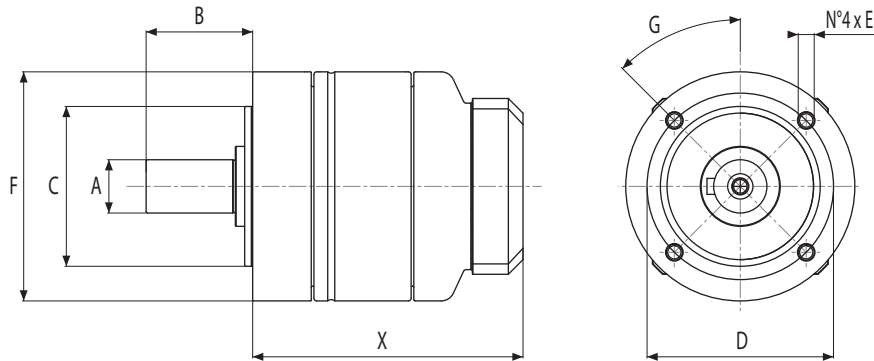
\* Il valore "Q" è indicativo e varia a seconda della sigla e marca del motore. /  
"Q" value is indicative and it depends on the motor type and brand.

\*\* I valori "X" e "Y" variano a seconda della sigla e marca del motore. / "X" and  
"Y" values depend on the motor type and brand.

| MOTORE<br>MOTOR | ESEMPIO DI MARCA E MODELLO<br>BRAND AND TYPE EXAMPLE   |
|-----------------|--|
| MAA             | SCHNEIDER (BSH/BMH 0551 / 0552 / 0553)<br>SIEMENS (1FK7022)<br>PARKER (SMB60.9X20)<br>DANAHER (DBL2)<br>OSAI (B28)                   |
| MBA             | SCHNEIDER (BSH/BMH 0701 / 0702)<br>PARKER (SMB60.11x23 / SMB82.11x23)<br>OSAI (B36)<br>LENZE (MCS06)<br>SEW (CMP 50S M L BP)         |
| MBB             | DANAHER (DBL 3-11x23)  |
| MBC             | OMRON (R88M-K20030 11x23)  |
| MCA             | SCHNEIDER (BSH/BMH 0703)<br>ELAU (ISH070-60-030)<br>PARKER (SMB 82. 14x30)   |
| MCB             | DANAHER (DBL3. 14x30)  |
| MCC             | OSAI (B56)<br>LENZE (MCS09)<br>SEW (DFS 56)  |
| MCD             | OMRON (R88M-K20030 14x30)  |
| MCE             | SIEMENS (1FK7032 / 1FK7034)  |
| MCF             | DENSO (R2AA080)  |
| MDA             | SCHNEIDER (BSH/BMH 1001 / 1002 / 1003)<br>PARKER (SMB82.19x40 / SMB100.19x40)<br>DANAHER (DBL4)<br>OSAI (B63)<br>OMRON (R88M-K1K030) |
| MDB             | SIEMENS (1FK 7040 / 1FK 7041)  |
| MDC             | OMRON (R88M.K75030)  |
| MDD             | DELTA ELECTRONICS (ECMA C0807)<br>SIBONI (S 080 2B)  |
| MEA             | SCHNEIDER (BSH/BMH 1004)<br>PARKER (SMB 100.24x50)   |
| MEB             | EMERSON - CONTROLTECHNIQUE 115<br>STOBER - EZ503U<br>ALLEN-BRADLEY MPL-B4560   |
| MFA             | ALLEN-BRADLEY MPL-B 330P   |
| MFB             | DELTA ECMA C20807<br>YASKAWA SGMP H07  |
| MGA             | FANUC ALPHA IS2-5000   |

## 4.2

## Riduttori epicicloidali Planetary gearboxes

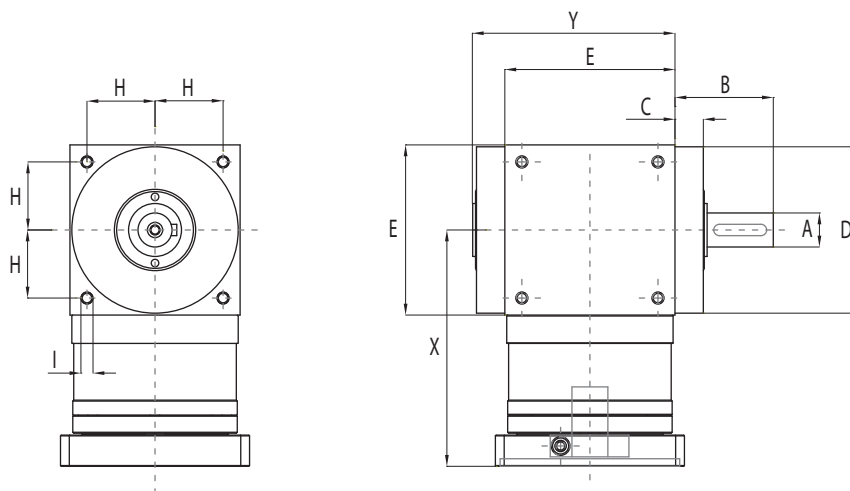


| <b>RIDUTTORE<br/>PLANETARY GEARBOX</b> | <b>A</b> | <b>B</b> | <b>C</b> | <b>D</b> | <b>E</b> | <b>F</b> | <b>G</b> | <b>X*<br/>1 STAGE</b> | <b>X*<br/>2 STAGES</b> |
|--|----------|----------|----------|----------|----------|----------|----------|-----------------------|------------------------|
| GBA                                    | 12       | 24,5     | 35       | 44       | M4       | 50       | 0°       | 66,5                  | 93,5                   |
| GBB                                    | 14       | 35       | 40       | 52       | M5       | 60       | 45°      | 90                    | 123                    |
| GCA                                    | 16       | 36       | 52       | 62       | M5       | 70       | 0°       | 81                    | 107                    |
| GCB                                    | 20       | 40       | 60       | 70       | M6       | 86       | 45°      | 115                   | 154,5                  |
| GDA                                    | 22       | 46       | 68       | 80       | M6       | 90       | 0°       | 97,5                  | 132,5                  |
| GEA                                    | 32       | 70       | 90       | 108      | M8       | 120      | 0°       | 116,5                 | 155,5                  |
| GEB                                    | 25       | 55       | 80       | 100      | M10      | 114      | 45°      | 149                   | 202                    |

\* Il valore "X" varia a seconda della sigla della marca e del rapporto di riduzione del riduttore.  
"X" value depends on the planetary gearbox type, brand and reduction ratio.

| <b>RIDUTTORE<br/>PLANETARY GEARBOX</b> | <b>ESEMPIO DI MARCA E MODELLO<br/>BRAND AND TYPE EXAMPLE</b>                        |
|--|---|
| GBA                                    | APEX (AE 050)<br>WITTENSTEIN (LP 050)<br>NEUGART (PLPE 050)                         |
| GBB                                    | APEX (PGII 060)<br>WITTENSTEIN (CP 060)<br>NEUGART (PLE 060)<br>SCHNEIDER (GBX 060) |
| GCA                                    | APEX (AE 070)<br>WITTENSTEIN (LP 070)<br>NEUGART (PLPE 070)                         |
| GCB                                    | APEX (PGII 080)<br>WITTENSTEIN (CP 080)<br>NEUGART (PLE 080)<br>SCHNEIDER (GBX 080) |
| GDA                                    | APEX (AE090)<br>WITTENSTEIN (LP 090)<br>NEUGART (PLPE 090)                          |
| GEA                                    | APEX (AE 120)<br>WITTENSTEIN (LP120)<br>NEUGART (PLE 120)                           |
| GEB                                    | APEX (PGII 120)<br>WITTENSTEIN (CP 115)<br>NEUGART (PLE 120)<br>SCHNEIDER (GBX 120) |

4.3 Rinvii angolari  
Angle bevel gearboxes



| <b>RINVIO ANGOLORE<br/>ANGLE BEVEL GEARBOX</b> | <b>A</b> | <b>B</b> | <b>C</b> | <b>D</b> | <b>E</b> | <b>H</b> | <b>I</b> | <b>X*<br/>1 STAGE</b> | <b>X*<br/>2 STAGES</b> | <b>Y</b> |
|--|----------|----------|----------|----------|----------|----------|----------|-----------------------|------------------------|----------|
| AAA  | 13       | 19,5     | 13       | 63       | 65       | 27       | M4       | 101                   | 129                    | 80       |
| ABA  | 16       | 30       | 14,5     | 73       | 75       | 30       | M6       | 117                   | 143,5                  | 91,5     |
| ACA  | 18       | 35       | 15       | 88       | 90       | 36       | M6       | 125                   | 165,5                  | 107      |
| ADA  | 22       | 40       | 15       | 108      | 110      | 44       | M8       | 141,5                 | 197                    | 127      |
| AEA  | 32       | 50       | 15       | 135      | 140      | 55       | M10      | 175                   | 234,5                  | 157      |

\* Il valore "X" varia a seconda della sigla della marca e del rapporto di riduzione del rinvio angolare.  
"X" value depends on the bevel gearbox type, brand and reduction ratio.

| <b>RINVIO ANGOLORE<br/>ANGLE BEVEL GEARBOX</b> | <b>ESEMPIO DI MARCA E MODELLO<br/>BRAND AND TYPE EXAMPLE</b> |
|--|--|
| AAA  | APEX ATB065  |
| ABA  | APEX ATB075  |
| ACA  | APEX ATB090  |
| ADA  | APEX ATB110  |
| AEA  | APEX ATB140  |



5.

## Grandezze 125 / 160 / 240

### 125 / 160 / 240 Sizes

|        |         |
|--------|---------|
| IE 125 | pg. 152 |
| IE 160 | pg. 162 |
| IE 240 | pg. 174 |

## 5.1

## IE 125

## 5.1.1 Caratteristiche tecniche

## 5.1.1 Technical features

| ISOMOVE IE 125             |  | 10   | 20                                   |
|----------------------------|--|--|--------------------------------------|
| <b>P</b>                   | PASSO VITE<br>SCREW LEAD [mm]  | 10   | 20                                   |
| <b>D</b>                   | DIAMETRO VITE<br>SCREW DIAMETER [mm]   | 63   | 50                                   |
| <b>F<sub>d</sub></b>       | CARICO MASSIMO DINAMICO APPLICABILE<br>MAX ADMISSIBLE DYNAMIC LOAD [N]   | 80000*   | 80000*                               |
| <b>C<sub>in,max</sub></b>  | PER AVERE $F_a = F_d$<br>TO GET [Nm]   | 141,5  | 283                                  |
|                            | "CASO 1" / "CASE 1": B [Nm]  | 141,5  | 283                                  |
|                            | "CASO 2" / "CASE 2": B+D / B+A [Nm]  | $\left[ \frac{157}{R} \right] + C_s$   | $\left[ \frac{314}{R} \right] + C_s$ |
|                            |  | R = rapporto di riduzione del riduttore / rinvio angolare<br>R = planetary / angle bevel gearbox reduction ratio             |                                      |
| <b>C<sub>m,max</sub></b>   | "CASO 3" / "CASE 3": B+R (R00) [Nm]  | 157  | 314                                  |
|                            |  | R = rapporto di riduzione della trasmissione a cinghia (disponibile R=1)<br>R = belt gearbox reduction ratio (available R=1) |                                      |
|                            | "CASO 4" / "CASE 4": B+R (R120) [Nm]   | $\frac{174}{R}$  | $\frac{349}{R}$                      |
|                            |  | R = rapporto di riduzione del riduttore epicicloidale<br>R = planetary gearbox reduction ratio                               |                                      |
| <b>F<sub>st</sub></b>      | CARICO MASSIMO STATICO APPLICABILE<br>MAX ADMISSIBLE STATIC LOAD [N]   | 100000   | 100000                               |
| <b>V<sub>out,max</sub></b> | VELOCITÀ DI TRASLAZIONE MASSIMA IN USCITA / ROTAZIONE<br>MASSIMA VITE RDS [mm/sec]   | 265/1590   | 667/2000                             |
| <b>N<sub>in,max</sub></b>  | MAX OUTPUT SPEED / MAX BALLSCREW ROTATING INPUT SPEED [rpm]  |  |                                      |
| <b>a<sub>max</sub></b>     | ACCELERAZIONE MASSIMA IN USCITA<br>MAX OUTPUT ACCELERATION [m/sec <sup>2</sup> ]   | 2  | 3                                    |
| <b>S<sub>max</sub></b>     | CORSA MASSIMA STANDARD<br>MAX STANDARD STROKE [mm]   | 1200**   | 1200**                               |
|                            | PESO MODULO BASE CORSA 0 mm / PESO OGNI 100 mm DI CORSA<br>BASIC MODULE WEIGHT FOR 0 mm STROKE / WEIGHT FOR<br>ADDITIONAL 100 mm STROKE [Kg] | 15 / 5,3   | 14 / 4,8                             |
| <b>G<sub>s,max</sub></b>   | GIOCO ASSIALE MASSIMO PER CHIOCCIOLA STANDARD<br>MAX AXIAL BACKLASH FOR STANDARD BALLSCREW ASSEMBLY mm                                       | 0,06   | 0,06                                 |
| <b>G<sub>z</sub></b>       | GIOCO "0" DELLA CHIOCCIOLA<br>"0" BACKLASH BALLSCREW ASSEMBLY  | A RICHIESTA / UPON REQUEST   |                                      |
| <b>L<sub>10,Km</sub></b>   | DURATA<br>LIFETIME Km  | VEDI TABELLA / SEE TABLE pg. 154   |                                      |

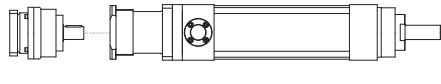
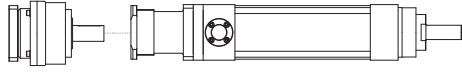
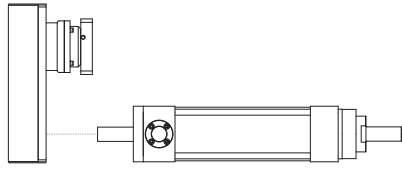
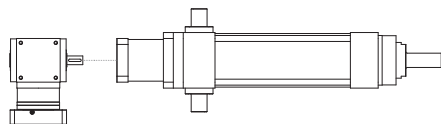
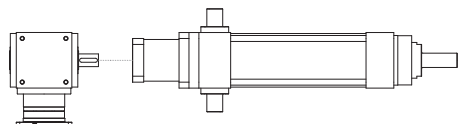
\* Per le versioni R00/R01 controllare con i grafici delle pagina 156. / For R00/R01 types please check graph at page 156.

\*\* Per corse superiori, contattare il nostro servizio tecnico. / For longer strokes please contact our technical dept.

| ISOMOVE IE 125                                 |  | 10   | 20                                 |
|--|--|--|------------------------------------|
| VERSIONI DISPONIBILI<br>AVAILABLE TYPES        |  | R00 / R120 / A110 / A140 / D-R120 / D-R155 |                                    |
| $F_{a,p}$                                      | POSSIBILE CON IL RIDUTTORE EPICICLOIDALE INDICATO<br>POSSIBLE VALUE WITH THE INDICATED PLANETARY GEARBOX | [N]<br>AE120/80000<br>AE155/80000          | AE120/45000***<br>AE155/75200***   |
|  | POSSIBILE CON IL RINVIO ANGOLARE INDICATO<br>POSSIBLE VALUE WITH THE INDICATED ANGLE BEVEL GEARBOX       | [N]<br>ATB110/37400***<br>ATB140/80000     | ATB110/18600***<br>ATB140/43000*** |
| ACCESSORI DISPONIBILI<br>AVAILABLE ACCESSORIES |  | NON DISPONIBILE / NOT AVAILABLE            |                                    |

\*\*\* È il valore massimo ottenibile con il rapporto di riduzione disponibile avente il minore valore di coppia erogabile.  
It is the max obtainable value with the available on tables reduction ratio which has the lowest value of nominal output torque.

**RIDUTTORI-RINVII "STANDARD SETEC GROUP DISPONIBILI"**  
**"STANDARD SETEC GROUP AVAILABLE" PLANETARY-ANGLE BEVEL GEARBOXES**

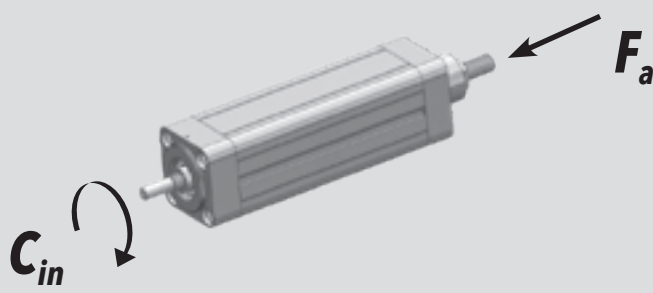
|  |  |
|--|--|
| <p>TRASMISSIONE COASSIALE<br/>CON RIDUTTORE</p> <p>IN-LINE PLANETARY GEARBOX<br/>STAGE</p> <p><b>B+D</b></p>   |  <p><b>AE120</b>      MODULO BASE<br/>BASIC MODULE</p>  <p><b>AE155</b>      MODULO BASE<br/>BASIC MODULE</p>   |
| <p>TRASMISSIONE PARALLELA<br/>CON RIDUTTORE</p> <p>PARALLEL BELT GEARBOX<br/>STAGE + IN-LINE PLANETARY<br/>GEARBOX REDUCTION STAGE</p> <p><b>B+R</b></p> |  <p><b>AE120</b>      MODULO BASE<br/>BASIC MODULE</p>   |
| <p>TRASMISSIONE ANGOLARE<br/>CON RINVIO</p> <p>ANGLE BEVEL GEARBOX STAGE</p> <p><b>B+A</b></p>   |  <p><b>ATB110</b>      MODULO BASE<br/>BASIC MODULE</p>  <p><b>ATB140</b>      MODULO BASE<br/>BASIC MODULE</p> |

## 5.1.2 Calcolo durata

## 5.1.2 Lifetime calculation



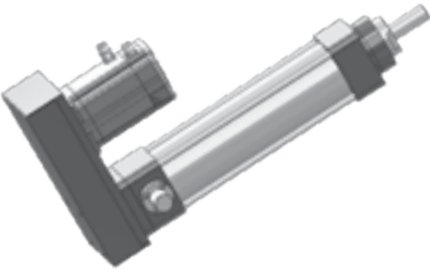
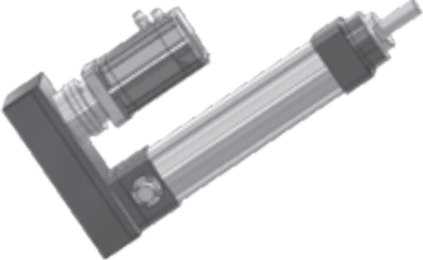
|                                   |   |                                      |
|-----------------------------------|---|--------------------------------------|
| <b>IE 125</b><br><b>P = 10 mm</b> | $L_{10,Km} = \left[ \frac{107400}{F_{eq}} \right]^3 \cdot 10$ | $L_{10,Km} = [Km]$<br>$F_{eq} = [N]$ |
| <b>IE 125</b><br><b>P = 20 mm</b> | $L_{10,Km} = \left[ \frac{84000}{F_{eq}} \right]^3 \cdot 20$  | $L_{10,Km} = [Km]$<br>$F_{eq} = [N]$ |

5.1.3 Calcolo coppia in ingresso  
al modulo base5.1.3 Torque calculation at basic  
module input shaft

|  |   |                                |
|--|---|--------------------------------|
|  |   |                                |
| <b>IE 125</b><br><b>P = 10 mm</b>  | $C_{in} = \left[ \frac{F_a \cdot 10}{5652} \right]$ | $C_{in} = [Nm]$<br>$F_a = [N]$ |
| <b>IE 125</b><br><b>P = 20 mm</b>  | $C_{in} = \left[ \frac{F_a \cdot 20}{5652} \right]$ | $C_{in} = [Nm]$<br>$F_a = [N]$ |

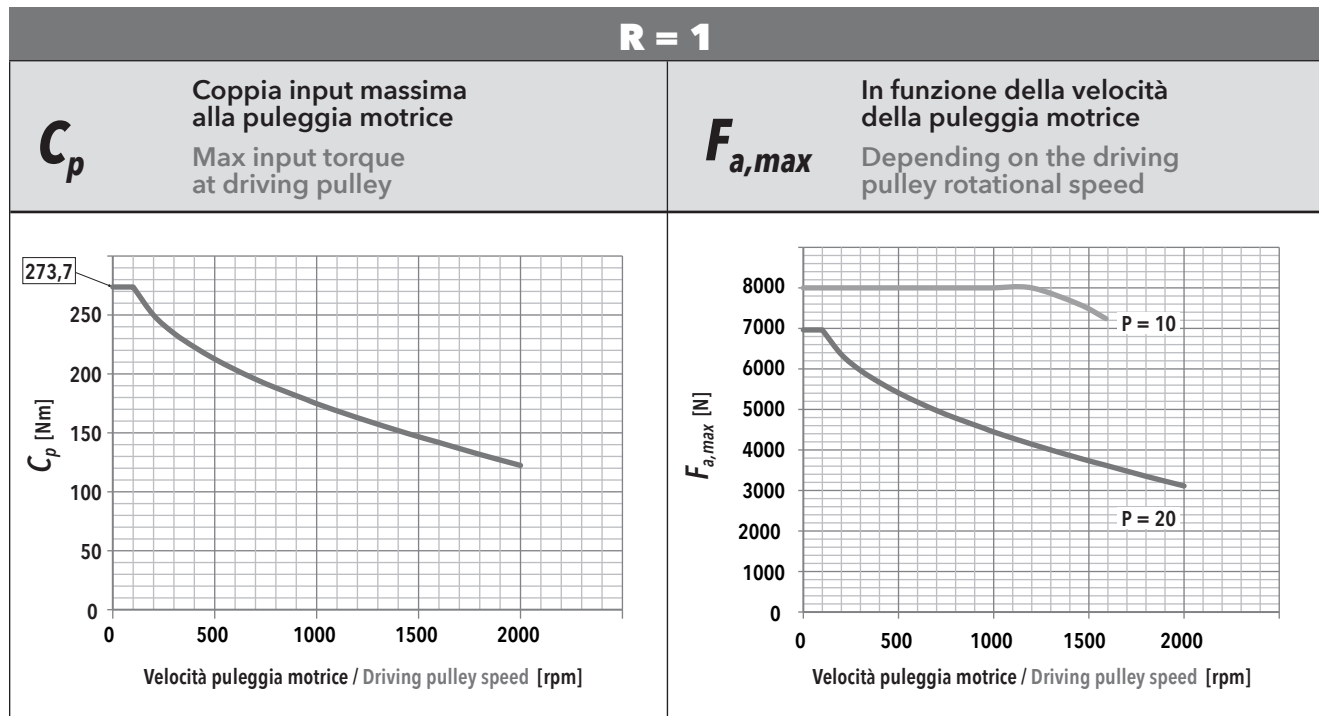
5.1.4 Calcolo coppia motore

5.1.4 Motor torque calculation

|                                 |  |
|---------------------------------|--|
| <p>CASO / CASE<br/><b>1</b></p> | <p style="text-align: center;"><b>ISOMOVE B</b></p>  $C_m = C_{in} \quad [Nm]$  |
| <p>CASO / CASE<br/><b>2</b></p> | <p style="text-align: center;"><b>ISOMOVE B+D / B+A</b></p>  $C_m = \left[ \frac{C_{in}}{R \cdot \eta} \right] + C_s \quad [Nm]$ <p><i>R</i> = rapporto di riduzione riduttore / rinvio<br/>planetary / angle bevel gearbox reduction ratio<br/><i>η</i> = rendimento meccanico / mechanical efficiency = 0,90</p>             |
| <p>CASO / CASE<br/><b>3</b></p> | <p style="text-align: center;"><b>ISOMOVE B+R (R00)</b></p>  $C_m = \left[ \frac{C_{in}}{R \cdot \eta} \right] \quad [Nm]$ <p><i>R</i> = rapporto di riduzione trasmissione a cinghia, disponibile R=1<br/>belt gearbox reduction ratio, available R=1<br/><i>η</i> = rendimento meccanico / mechanical efficiency = 0,90</p> |
| <p>CASO / CASE<br/><b>4</b></p> | <p style="text-align: center;"><b>ISOMOVE B+R (R120)</b></p>  $C_m = \left[ \frac{C_{in}}{R \cdot \eta} \right] + C_s \quad [Nm]$ <p><i>R</i> = rapporto di riduzione riduttore epicicloidale<br/>planetary gearbox reduction ratio<br/><i>η</i> = rendimento meccanico / mechanical efficiency = 0,81</p>                    |

5.1.5 Potenza in ingresso alla trasmissione a cinghia (versione R)

5.1.5 Mechanical input power at belt gear stage (R type)

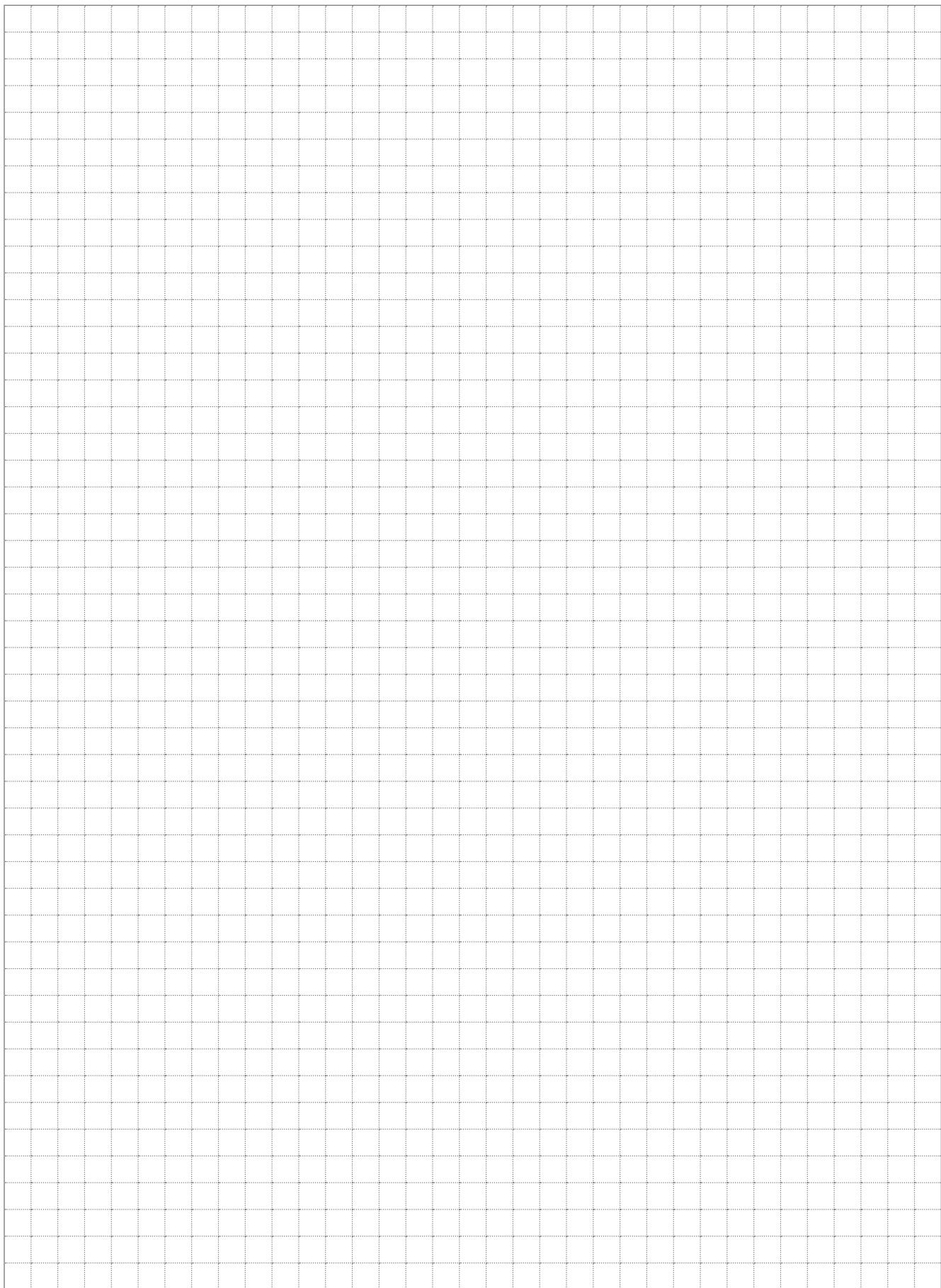


**$F_r$**  Forza radiale su asse puleggia motrice in funzione di  $C_{in}$   
Radial force on driving pulley as a function of  $C_{in}$

**$f_t$**  Frequenza di vibrazione della cinghia per il tensionamento (al montaggio)  
Vibration frequency of the belt for its tensioning (during assembly)

| IE 125 - PASSO / PITCH 10 |            |                  |      |       |      |
|---------------------------|------------|------------------|------|-------|------|
| $F_a$ [N]                 |            | $V_{out}$ [mm/s] |      |       |      |
|                           |            | 26,5             | 106  | 185,5 | 265  |
| 80000                     | $F_r$ [N]  | 2547             | 2561 | 2591  |      |
|                           | $f_t$ [Hz] | 120              | 121  | 121   |      |
| 72000                     | $F_r$ [N]  | 2292             | 2306 | 2337  | 2384 |
|                           | $f_t$ [Hz] | 114              | 114  | 115   | 116  |
| 64000                     | $F_r$ [N]  | 2038             | 2052 | 2082  | 2129 |
|                           | $f_t$ [Hz] | 108              | 108  | 109   | 110  |
| 56000                     | $F_r$ [N]  | 1783             | 1797 | 1827  | 1875 |
|                           | $f_t$ [Hz] | 101              | 101  | 102   | 103  |
| 48000                     | $F_r$ [N]  | 1529             | 1542 | 1573  | 1620 |
|                           | $f_t$ [Hz] | 93               | 94   | 95    | 96   |
| 40000                     | $F_r$ [N]  | 1274             | 1288 | 1318  | 1365 |
|                           | $f_t$ [Hz] | 85               | 86   | 87    | 88   |
| 32000                     | $F_r$ [N]  | 1019             | 1033 | 1063  | 1111 |
|                           | $f_t$ [Hz] | 76               | 77   | 78    | 79   |
| 24000                     | $F_r$ [N]  | 765              | 779  | 809   | 856  |
|                           | $f_t$ [Hz] | 66               | 67   | 68    | 70   |
| 16000                     | $F_r$ [N]  | 510              | 524  | 554   | 602  |
|                           | $f_t$ [Hz] | 54               | 55   | 56    | 58   |
| 8000                      | $F_r$ [N]  | 255              | 269  | 300   | 347  |
|                           | $f_t$ [Hz] | 38               | 39   | 41    | 44   |

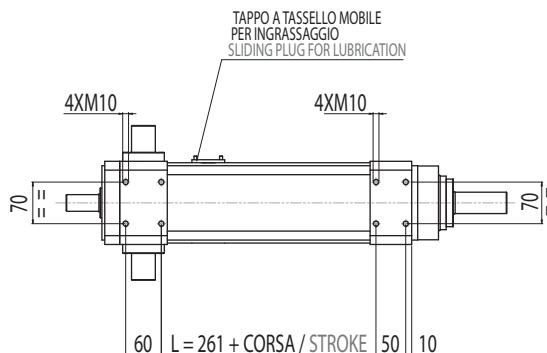
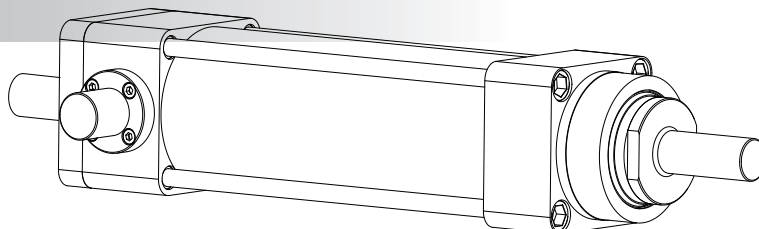
| IE 125 - PASSO / PITCH 20 |            |                  |       |       |      |
|---------------------------|------------|------------------|-------|-------|------|
| $F_a$ [N]                 |            | $V_{out}$ [mm/s] |       |       |      |
|                           |            | 66,7             | 266,8 | 466,9 | 667  |
| 80000                     | $F_r$ [N]  |                  |       |       |      |
|                           | $f_t$ [Hz] |                  |       |       |      |
| 72000                     | $F_r$ [N]  |                  |       |       |      |
|                           | $f_t$ [Hz] |                  |       |       |      |
| 64000                     | $F_r$ [N]  | 4075             |       |       |      |
|                           | $f_t$ [Hz] | 152              |       |       |      |
| 56000                     | $F_r$ [N]  | 3566             |       |       |      |
|                           | $f_t$ [Hz] | 142              |       |       |      |
| 48000                     | $F_r$ [N]  | 3057             | 3079  |       |      |
|                           | $f_t$ [Hz] | 132              | 132   |       |      |
| 40000                     | $F_r$ [N]  | 2548             | 2569  |       |      |
|                           | $f_t$ [Hz] | 120              | 121   |       |      |
| 32000                     | $F_r$ [N]  | 2038             | 2060  | 2108  |      |
|                           | $f_t$ [Hz] | 108              | 108   | 109   |      |
| 24000                     | $F_r$ [N]  | 1529             | 1551  | 1599  |      |
|                           | $f_t$ [Hz] | 93               | 94    | 95    |      |
| 16000                     | $F_r$ [N]  | 1020             | 1042  | 1090  | 1165 |
|                           | $f_t$ [Hz] | 76               | 77    | 79    | 81   |
| 8000                      | $F_r$ [N]  | 656              | 532   | 581   | 656  |
|                           | $f_t$ [Hz] | 61               | 55    | 57    | 61   |



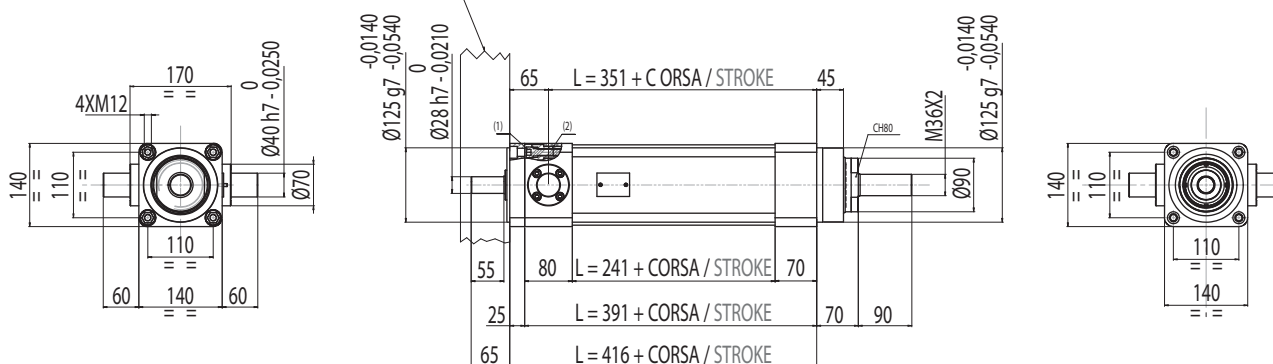
5.1.6 Caratteristiche dimensionali

5.1.6 Overall dimensions

**B**  
**MODULO BASE**  
**BASIC MODULE**



Per fissare la flangia indicata, rimuovere le 4 viti M12 (1) ed utilizzare le 4 filettature (2)  
To assembly the flange indicated, unscrew the 4 screws M12 (1) and use the 4 screws (2)

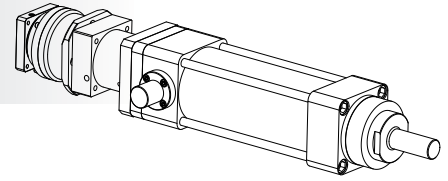




**B+D**

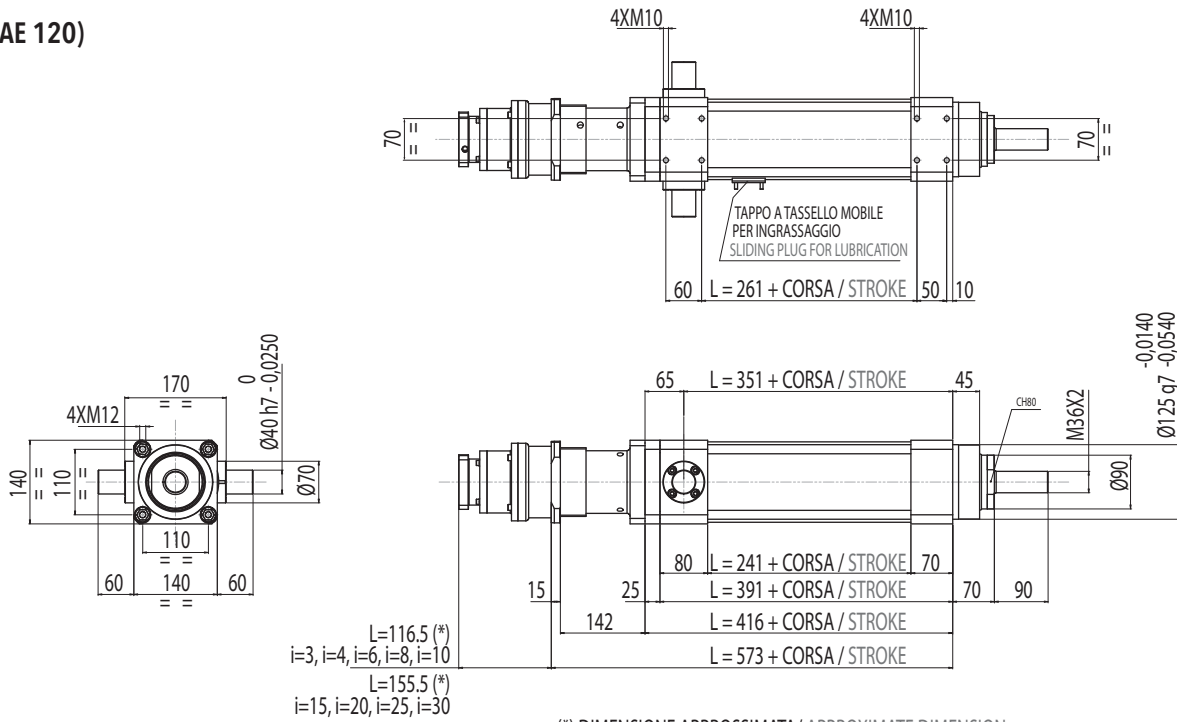
MODULO BASE + RIDUTTORE EPICICLOIDALE COASSIALE

BASIC MODULE + IN-LINE PLANETARY GEARBOX REDUCTION STAGE



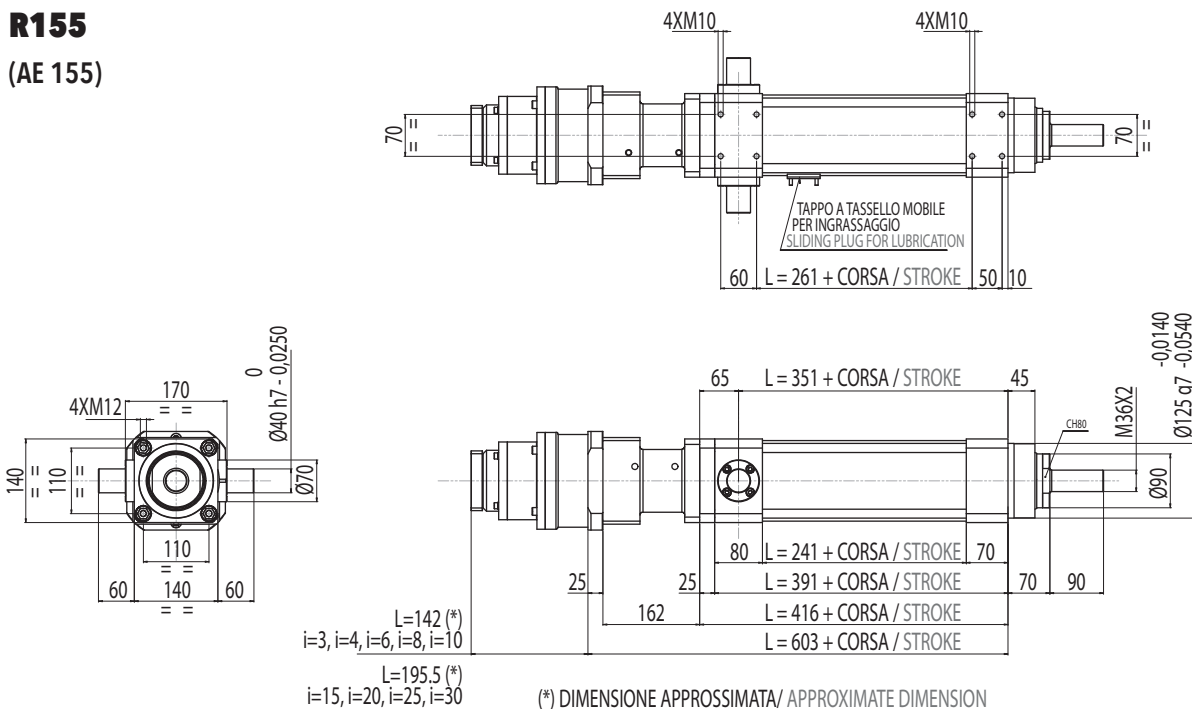
**R120**

(AE 120)

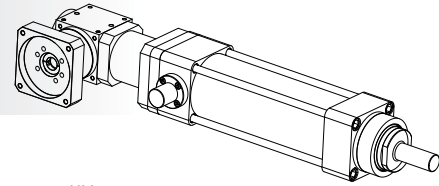


**R155**

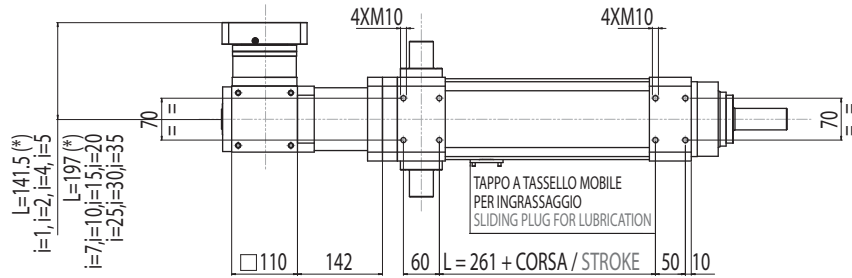
(AE 155)



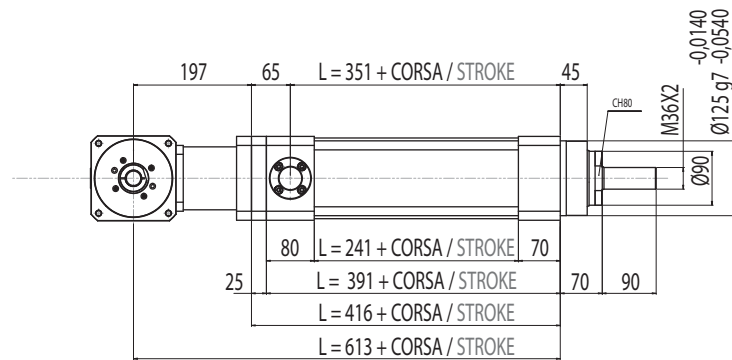
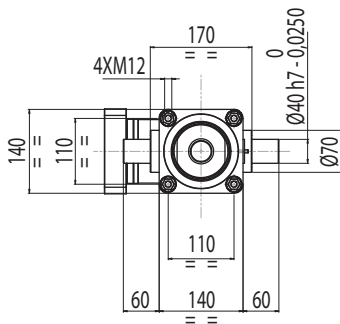
**B+A**  
MODULO BASE + RINVIO ANGOLARE  
BASIC MODULE + ANGLE BEVEL GEARBOX STAGE



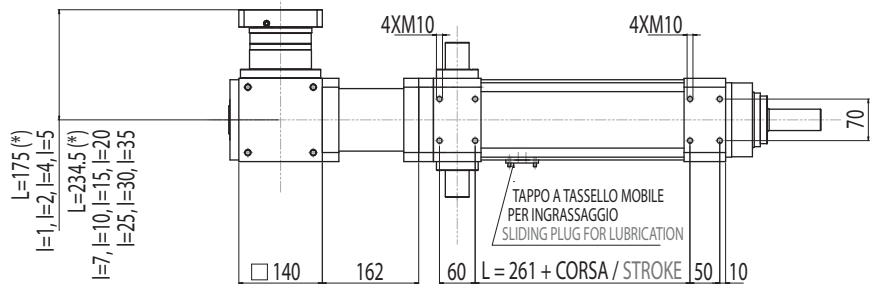
**A110**  
(ATB110-FL1)



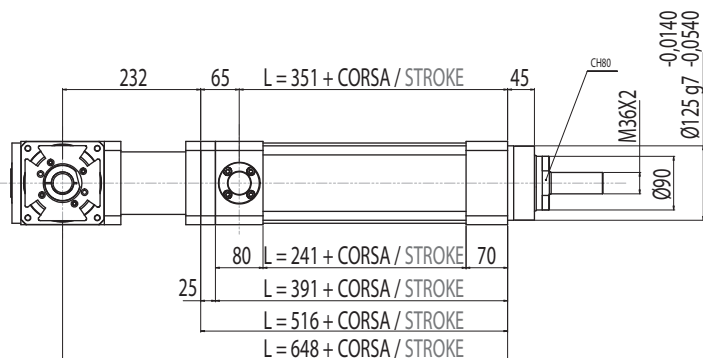
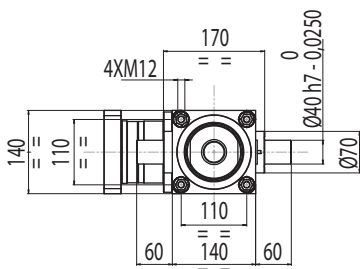
(\*) DIMENSIONE APPROSSIMATA/ APPROXIMATE DIMENSION



**A140**  
(ATB140-FL1)



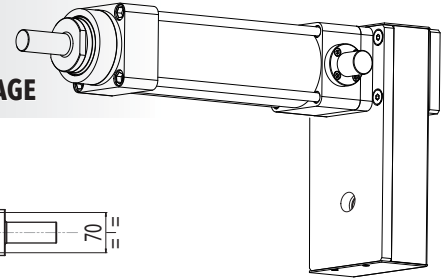
(\*) DIMENSIONE APPROSSIMATA/ APPROXIMATE DIMENSION



**B+R**

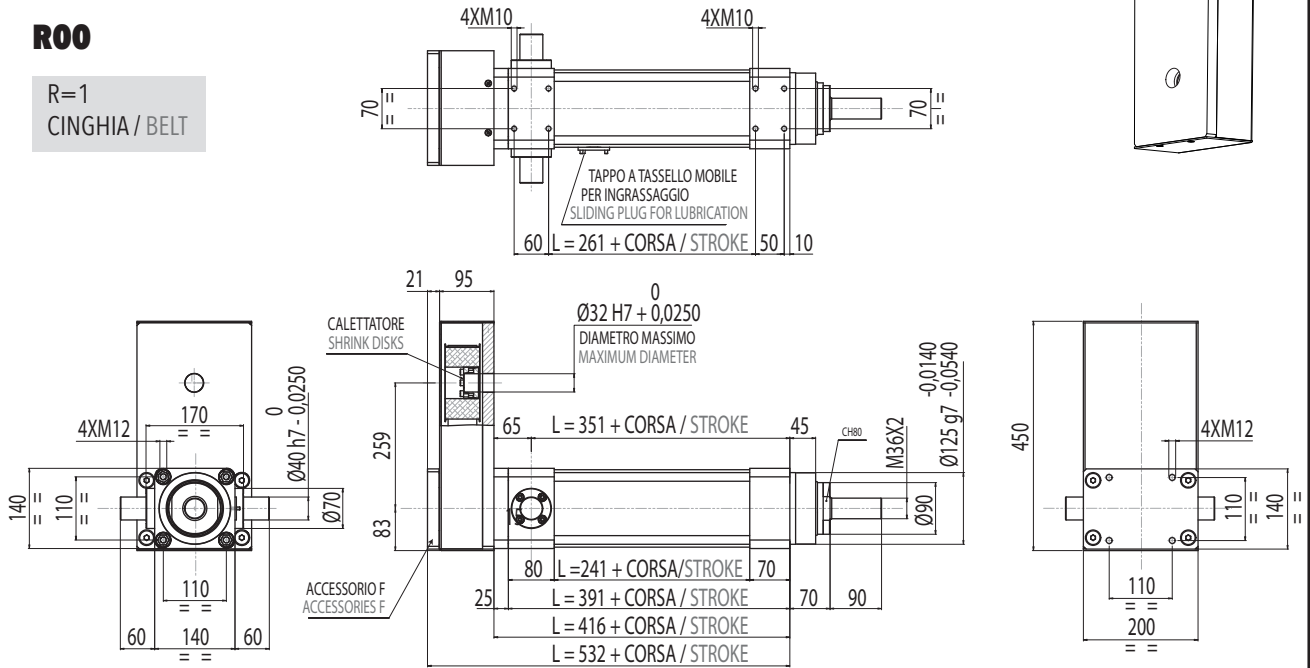
MODULO BASE + TRASMISSIONE A CINGHIA IN PARALLELO  
PER MOTORE CUSTOM

BASIC MODULE + PARALLEL FOR CUSTOM MOTORS BELT GEARBOX STAGE



**R00**

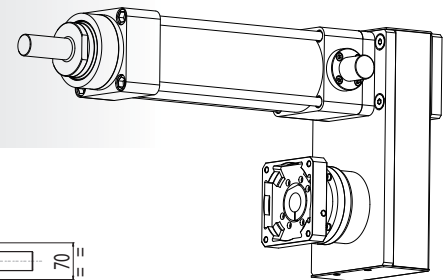
R=1  
CINGHIA / BELT



**B+R**

MODULO BASE + TRASMISSIONE A CINGHIA IN PARALLELO  
+ RIDUTTORE EPICICLOIDALE R120

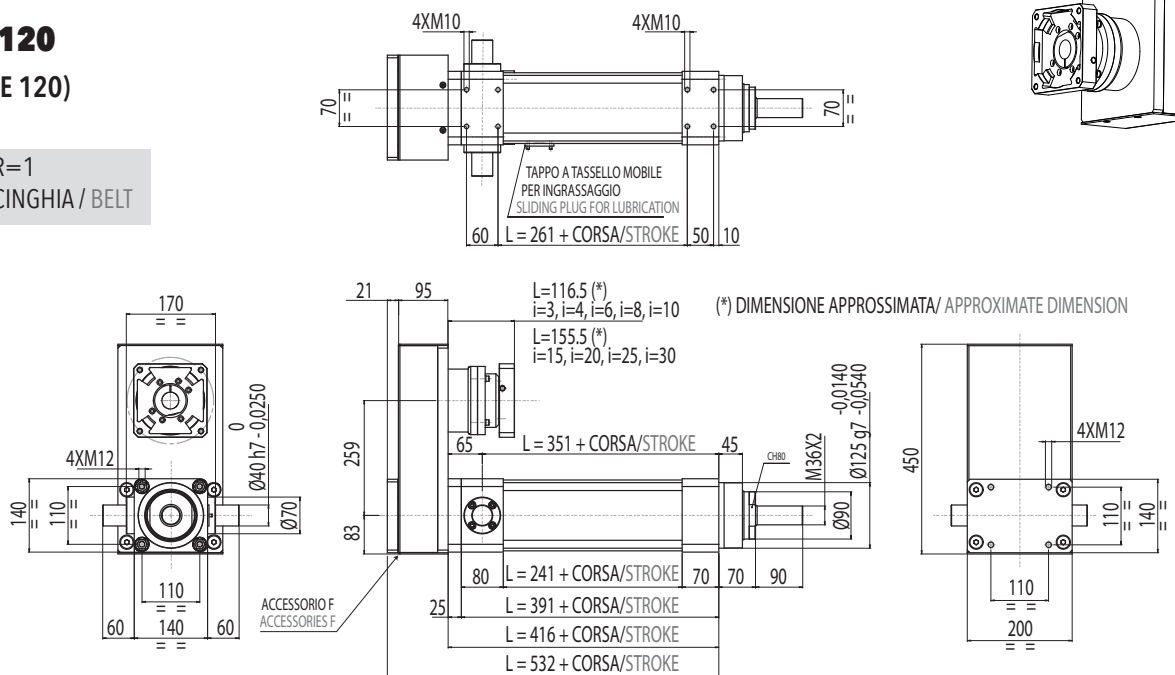
BASIC MODULE + PARALLEL BELT GEARBOX STAGE  
+ IN-LINE PLANETARY GEARBOX REDUCTION STAGE R120



**R120**

(AE 120)

R=1  
CINGHIA / BELT



## 5.2

## IE 160

## 5.2.1 Caratteristiche tecniche

## 5.2.1 Technical features

| ISOMOVE IE 160             |  | 10   | 20                                   |
|----------------------------|--|--|--------------------------------------|
| <b>P</b>                   | PASSO VITE<br>SCREW LEAD [mm]  | 10   | 20                                   |
| <b>D</b>                   | DIAMETRO VITE<br>SCREW DIAMETER [mm]   | 80   | 80                                   |
| <b>F<sub>d</sub></b>       | CARICO MASSIMO DINAMICO APPLICABILE<br>MAX ADMISSIBLE DYNAMIC LOAD [N]   | 100.000*   | 120.000*                             |
| <b>C<sub>in,max</sub></b>  | PER AVERE $F_a = F_d$<br>TO GET [Nm]   | 177  | 424                                  |
|                            | "CASO 1" / "CASE 1": B [Nm]  | 177  | 424                                  |
|                            | "CASO 2" / "CASE 2": B+D / B+A [Nm]  | $\left[ \frac{197}{R} \right] + C_s$   | $\left[ \frac{471}{R} \right] + C_s$ |
|                            |  | R = rapporto di riduzione del riduttore / rinvio angolare<br>R = planetary / angle bevel gearbox reduction ratio             |                                      |
| <b>C<sub>m,max</sub></b>   | "CASO 3" / "CASE 3": B+R (R00) [Nm]  | 197  | 471                                  |
|                            |  | R = rapporto di riduzione della trasmissione a cinghia (disponibile R=1)<br>R = belt gearbox reduction ratio (available R=1) |                                      |
|                            | "CASO 4" / "CASE 4": B+R (R120 / R155) [Nm]  | $\frac{218}{R}$  | $\frac{523}{R}$                      |
|                            |  | R = rapporto di riduzione del riduttore epicicloidale<br>R = planetary gearbox reduction ratio                               |                                      |
| <b>F<sub>st</sub></b>      | CARICO MASSIMO STATICO APPLICABILE<br>MAX ADMISSIBLE STATIC LOAD [N]   | 160.000  | 160.000                              |
| <b>V<sub>out,max</sub></b> | VELOCITÀ DI TRASLAZIONE MASSIMA IN USCITA / ROTAZIONE<br>MASSIMA VITE RDS [mm/sec]   | 208/1248   | 417/1251                             |
| <b>N<sub>in,max</sub></b>  | MAX OUTPUT SPEED / MAX BALLSCREW ROTATING<br>INPUT SPEED [rpm]   |  |                                      |
| <b>a<sub>max</sub></b>     | ACCELERAZIONE MASSIMA IN USCITA<br>MAX OUTPUT ACCELERATION [m/sec <sup>2</sup> ]   | 2  | 3                                    |
| <b>S<sub>max</sub></b>     | CORSA MASSIMA STANDARD<br>MAX STANDARD STROKE [mm]   | 1200**   | 1200**                               |
|                            | PESO MODULO BASE CORSA 0 mm / PESO OGNI 100 mm DI CORSA<br>BASIC MODULE WEIGHT FOR 0 mm STROKE / WEIGHT FOR<br>ADDITIONAL 100 mm STROKE [Kg] | 19,5 / 7   | 19,5 / 7                             |
| <b>G<sub>s,max</sub></b>   | GIOCO ASSIALE MASSIMO PER CHIOCCIOLA STANDARD<br>MAX AXIAL BACKLASH FOR STANDARD BALLSCREW ASSEMBLY mm                                       | 0,06   | 0,06                                 |
| <b>G<sub>z</sub></b>       | GIOCO "0" DELLA CHIOCCIOLA<br>"0" BACKLASH BALLSCREW ASSEMBLY  | NON DISPONIBILE / NOT AVAILABLE  |                                      |
| <b>L<sub>10,Km</sub></b>   | DURATA<br>LIFETIME Km  | VEDI TABELLA / SEE TABLE pg. 164   |                                      |

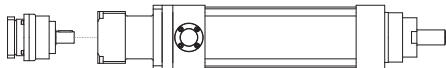
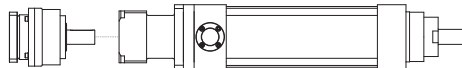
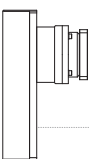
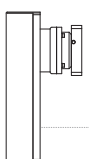
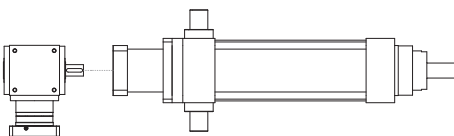
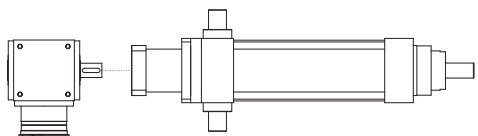
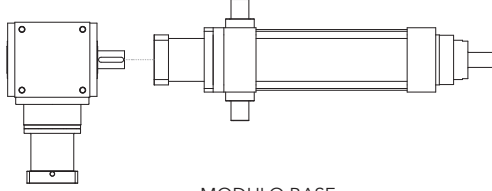
\* Per le versioni R00/R01 controllare con i grafici della pagina 166. / For R00/R01 types please check graph at page 166.

\*\* Per corse superiori, contattare il nostro servizio tecnico. / For longer strokes please contact our technical dpt.

| ISOMOVE IE 160                                 |  | 5  | 20  |
|--|--|--|---|
| VERSIONI DISPONIBILI<br>AVAILABLE TYPES        |  | R00 / R120 / R155 / A140 / A170 / A210 / D-R120 / D-R155 |   |
| $F_{a,p}$                                      | POSSIBILE CON IL RIDUTTORE EPICICLOIDALE INDICATO<br>POSSIBLE VALUE WITH THE INDICATED PLANETARY GEARBOX | [N]  | AE120/91000***<br>AE155/100000                    |
|  | POSSIBILE CON IL RINVIO ANGOLARE INDICATO<br>POSSIBLE VALUE WITH THE INDICATED ANGLE BEVEL GEARBOX       | [N]  | ATB140/86000***<br>ATB170/100000<br>ATB210/100000 |
| ACCESSORI DISPONIBILI<br>AVAILABLE ACCESSORIES |  | NON DISPONIBILE / NOT AVAILABLE                          |   |

\*\*\* È il valore massimo ottenibile con il rapporto di riduzione disponibile avente il minore valore di coppia erogabile.  
It is the max obtainable value with the available on tables reduction ratio which has the lowest value of nominal output torque.

**RIDUTTORI-RINVII "STANDARD SETEC GROUP DISPONIBILI"**  
**"STANDARD SETEC GROUP AVAILABLE" PLANETARY-ANGLE BEVEL GEARBOXES**

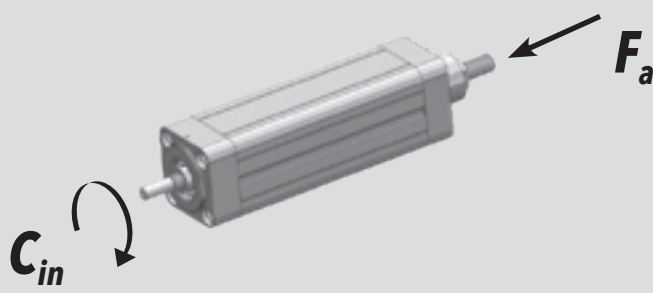
|  |  |                                     |   |                                     |
|--|--|-------------------------------------|---|-------------------------------------|
| <p>TRASMISSIONE COASSIALE<br/>CON RIDUTTORE<br/>IN-LINE PLANETARY GEARBOX<br/>STAGE<br/><b>B+D</b></p>   | <br><b>AE120</b>  | <p>MODULO BASE<br/>BASIC MODULE</p> | <br><b>AE155</b>  | <p>MODULO BASE<br/>BASIC MODULE</p> |
| <p>TRASMISSIONE PARALLELA<br/>CON RIDUTTORE<br/>PARALLEL BELT GEARBOX<br/>STAGE + IN-LINE PLANETARY<br/>GEARBOX REDUCTION STAGE<br/><b>B+R</b></p> | <br><b>AE155</b>  | <p>MODULO BASE<br/>BASIC MODULE</p> | <br><b>AE120</b>  | <p>MODULO BASE<br/>BASIC MODULE</p> |
| <p>TRASMISSIONE ANGOLARE<br/>CON RINVIO<br/>ANGLE BEVEL GEARBOX STAGE<br/><b>B+A</b></p>   | <br><b>ATB140</b> | <p>MODULO BASE<br/>BASIC MODULE</p> | <br><b>ATB170</b> | <p>MODULO BASE<br/>BASIC MODULE</p> |
|  | <br><b>ATB210</b> | <p>MODULO BASE<br/>BASIC MODULE</p> |   |                                     |

## 5.2.2 Calcolo durata

## 5.2.2 Lifetime calculation



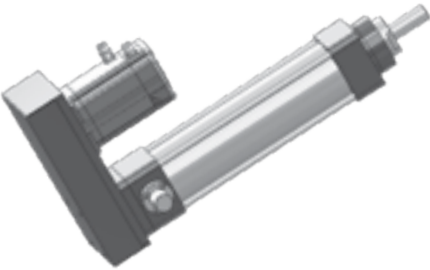
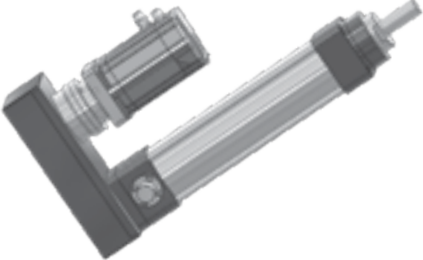
|                                   |   |                                      |
|-----------------------------------|---|--------------------------------------|
| <b>IE 160</b><br><b>P = 10 mm</b> | $L_{10,Km} = \left[ \frac{123800}{F_{eq}} \right]^3 \cdot 10$ | $L_{10,Km} = [Km]$<br>$F_{eq} = [N]$ |
| <b>IE 160</b><br><b>P = 20 mm</b> | $L_{10,Km} = \left[ \frac{174000}{F_{eq}} \right]^3 \cdot 20$ | $L_{10,Km} = [Km]$<br>$F_{eq} = [N]$ |

5.2.3 Calcolo coppia in ingresso  
al modulo base5.2.3 Torque calculation at basic  
module input shaft

|  |   |                                |
|--|---|--------------------------------|
|  |   |                                |
| <b>IE 160</b><br><b>P = 10 mm</b>  | $C_{in} = \left[ \frac{F_a \cdot 10}{5652} \right]$ | $C_{in} = [Nm]$<br>$F_a = [N]$ |
| <b>IE 160</b><br><b>P = 20 mm</b>  | $C_{in} = \left[ \frac{F_a \cdot 20}{5652} \right]$ | $C_{in} = [Nm]$<br>$F_a = [N]$ |

5.2.4 Calcolo coppia motore

5.2.4 Motor torque calculation

|                                 |  |
|---------------------------------|--|
| <p>CASO / CASE<br/><b>1</b></p> | <p style="text-align: center;"><b>ISOMOVE B</b></p>  $C_m = C_{in} \quad [Nm]$  |
| <p>CASO / CASE<br/><b>2</b></p> | <p style="text-align: center;"><b>ISOMOVE B+D / B+A</b></p>  $C_m = \left[ \frac{C_{in}}{R \cdot \eta} \right] + C_s \quad [Nm]$ <p><i>R</i> = rapporto di riduzione riduttore / rinvio<br/>planetary / angle bevel gearbox reduction ratio<br/><i>η</i> = rendimento meccanico / mechanical efficiency = 0,90</p>             |
| <p>CASO / CASE<br/><b>3</b></p> | <p style="text-align: center;"><b>ISOMOVE B+R (R00)</b></p>  $C_m = \left[ \frac{C_{in}}{R \cdot \eta} \right] \quad [Nm]$ <p><i>R</i> = rapporto di riduzione trasmissione a cinghia, disponibile R=1<br/>belt gearbox reduction ratio, available R=1<br/><i>η</i> = rendimento meccanico / mechanical efficiency = 0,90</p> |
| <p>CASO / CASE<br/><b>4</b></p> | <p style="text-align: center;"><b>ISOMOVE B+R (R120 / R155)</b></p>  $C_m = \left[ \frac{C_{in}}{R \cdot \eta} \right] + C_s \quad [Nm]$ <p><i>R</i> = rapporto di riduzione riduttore epicicloidale<br/>planetary gearbox reduction ratio<br/><i>η</i> = rendimento meccanico / mechanical efficiency = 0,81</p>             |

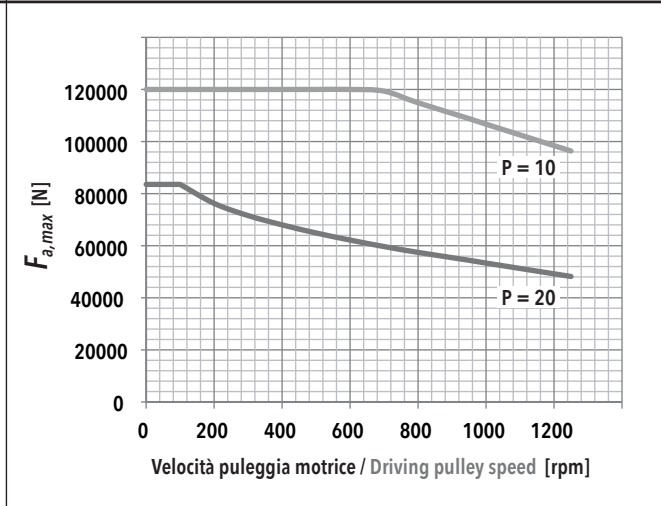
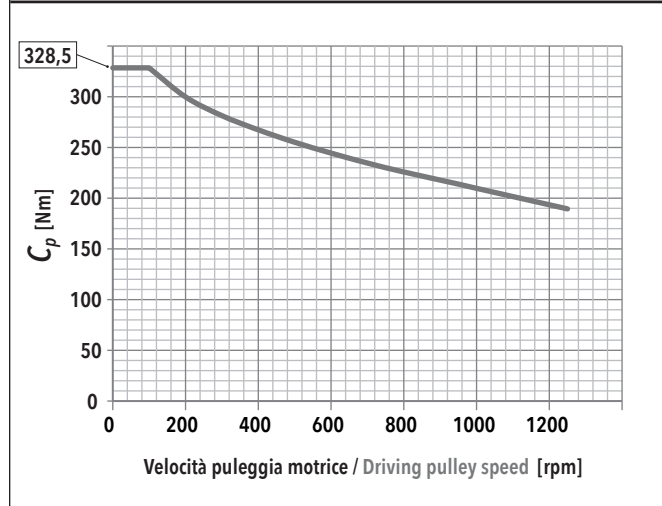
**5.2.5 Potenza in ingresso alla trasmissione a cinghia (versione R)**

**5.2.5 Mechanical input power at belt gear stage (R type)**

**R = 1**

**$C_p$**  Coppia input massima alla puleggia motrice  
Max input torque at driving pulley

**$F_{a,max}$**  In funzione della velocità della puleggia motrice  
Depending on the driving pulley rotational speed



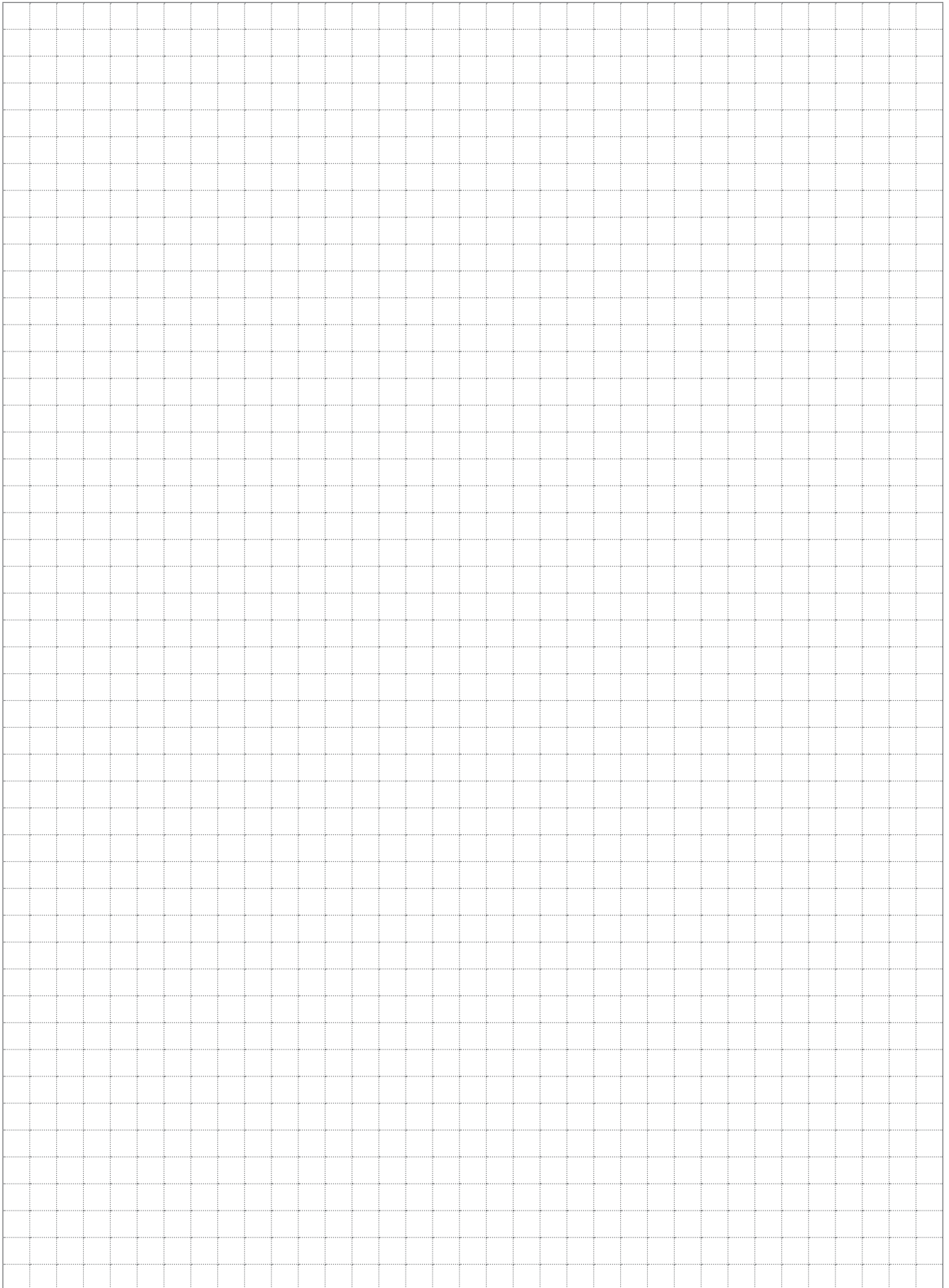
**$F_r$**  Forza radiale su asse puleggia motrice in funzione di  $C_{in}$   
Radial force on driving pulley as a function of  $C_{in}$

**$f_t$**  Frequenza di vibrazione della cinghia per il tensionamento (al montaggio)  
Vibration frequency of the belt for its tensioning (during assembly)

| IE 160 - PASSO / PITCH 10 |            |                  |      |       |      |
|---------------------------|------------|------------------|------|-------|------|
| $F_a$ [N]                 |            | $V_{out}$ [mm/s] |      |       |      |
|                           |            | 20,8             | 83,2 | 145,6 | 208  |
| 100000                    | $F_r$ [N]  | 3183             | 3192 | 3210  |      |
|                           | $f_t$ [Hz] | 134              | 135  | 135   |      |
| 90000                     | $F_r$ [N]  | 2865             | 2873 | 2892  | 2921 |
|                           | $f_t$ [Hz] | 128              | 128  | 128   | 129  |
| 80000                     | $F_r$ [N]  | 2547             | 2555 | 2574  | 2603 |
|                           | $f_t$ [Hz] | 120              | 120  | 121   | 122  |
| 70000                     | $F_r$ [N]  | 2228             | 2237 | 2255  | 2285 |
|                           | $f_t$ [Hz] | 113              | 113  | 113   | 114  |
| 60000                     | $F_r$ [N]  | 1910             | 1919 | 1937  | 1966 |
|                           | $f_t$ [Hz] | 104              | 104  | 105   | 106  |
| 50000                     | $F_r$ [N]  | 1592             | 1600 | 1619  | 1648 |
|                           | $f_t$ [Hz] | 95               | 95   | 96    | 97   |
| 40000                     | $F_r$ [N]  | 1274             | 1282 | 1301  | 1330 |
|                           | $f_t$ [Hz] | 85               | 85   | 86    | 87   |
| 30000                     | $F_r$ [N]  | 955              | 964  | 982   | 1012 |
|                           | $f_t$ [Hz] | 74               | 74   | 75    | 76   |
| 20000                     | $F_r$ [N]  | 637              | 646  | 664   | 693  |
|                           | $f_t$ [Hz] | 60               | 61   | 61    | 63   |
| 10000                     | $F_r$ [N]  | 319              | 327  | 346   | 375  |
|                           | $f_t$ [Hz] | 43               | 43   | 44    | 46   |

| IE 160 - PASSO / PITCH 20 |            |                  |       |       |      |
|---------------------------|------------|------------------|-------|-------|------|
| $F_a$ [N]                 |            | $V_{out}$ [mm/s] |       |       |      |
|                           |            | 41,7             | 166,8 | 291,9 | 417  |
| 120000                    | $F_r$ [N]  |                  |       |       |      |
|                           | $f_t$ [Hz] |                  |       |       |      |
| 108000                    | $F_r$ [N]  |                  |       |       |      |
|                           | $f_t$ [Hz] |                  |       |       |      |
| 96000                     | $F_r$ [N]  |                  |       |       |      |
|                           | $f_t$ [Hz] |                  |       |       |      |
| 84000                     | $F_r$ [N]  | 5347             |       |       |      |
|                           | $f_t$ [Hz] | 174              |       |       |      |
| 72000                     | $F_r$ [N]  | 4583             |       |       |      |
|                           | $f_t$ [Hz] | 161              |       |       |      |
| 60000                     | $F_r$ [N]  | 3820             | 3828  |       |      |
|                           | $f_t$ [Hz] | 147              | 147   |       |      |
| 48000                     | $F_r$ [N]  | 3056             | 3064  | 3083  |      |
|                           | $f_t$ [Hz] | 132              | 132   | 132   |      |
| 36000                     | $F_r$ [N]  | 2292             | 2301  | 2320  | 2349 |
|                           | $f_t$ [Hz] | 114              | 114   | 115   | 116  |
| 24000                     | $F_r$ [N]  | 1528             | 1537  | 1556  | 1585 |
|                           | $f_t$ [Hz] | 93               | 93    | 94    | 95   |
| 12000                     | $F_r$ [N]  | 764              | 773   | 792   | 821  |
|                           | $f_t$ [Hz] | 66               | 66    | 67    | 68   |

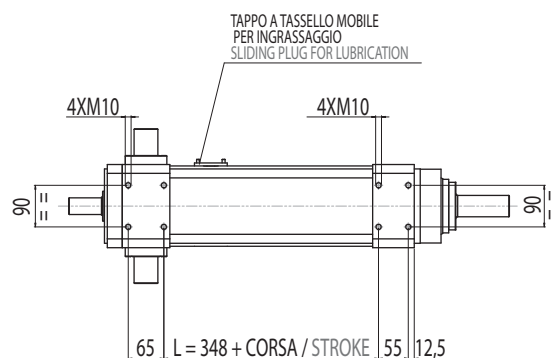
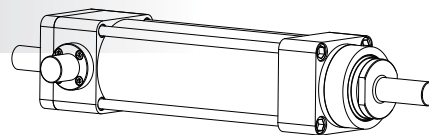




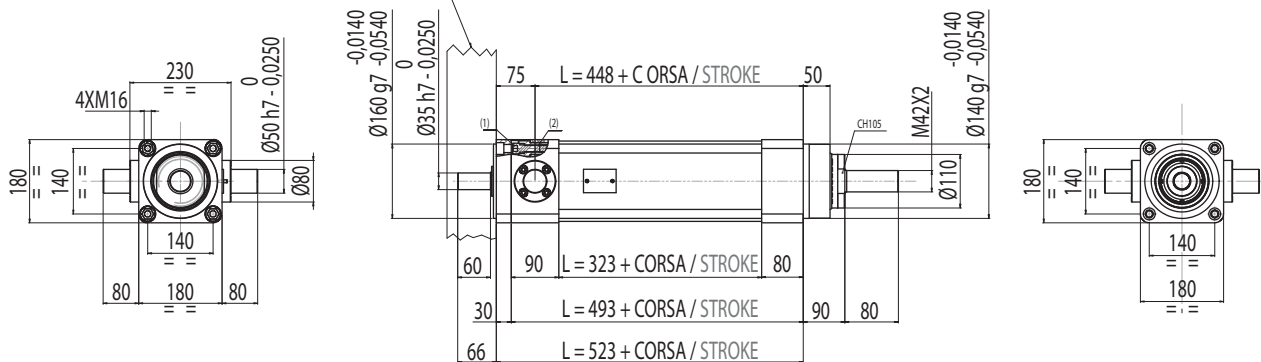
5.2.6 Caratteristiche dimensionali

5.2.6 Overall dimensions

**B**  
**MODULO BASE**  
**BASIC MODULE**



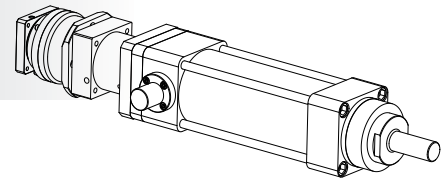
Per fissare la flangia indicata, rimuovere le 4 viti M12 (1) ed utilizzare le 4 filettature (2)  
To assembly the flange indicated, unscrew the 4 screws M12 (1) and use the 4 screws (2)



**B+D**

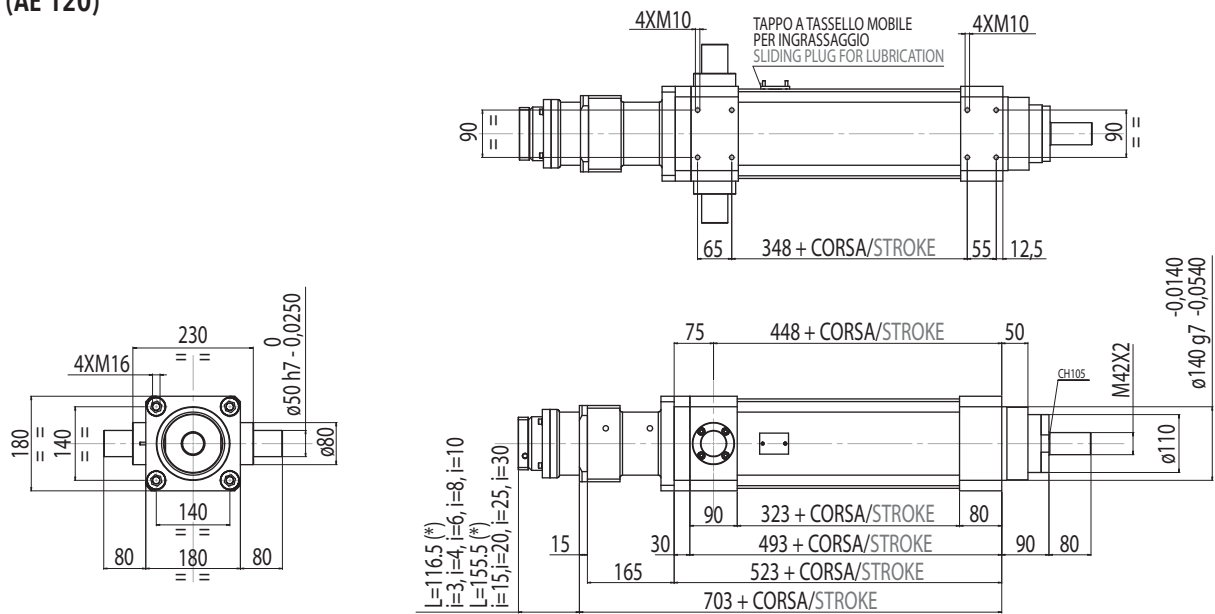
**MODULO BASE + RIDUTTORE EPICICLOIDALE COASSIALE**

**BASIC MODULE + IN-LINE PLANETARY GEARBOX REDUCTION STAGE**



**R120**

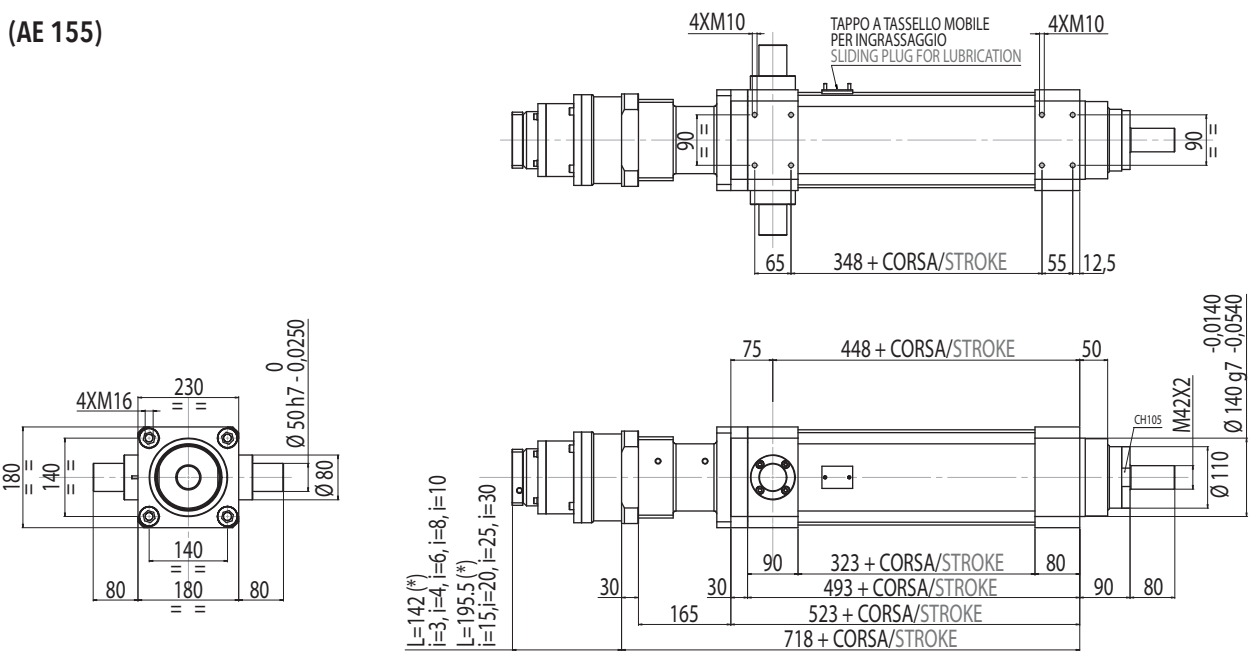
(AE 120)



(\*) DIMENSIONE APPROSSIMATA / APPROXIMATE DIMENSION

**R155**

(AE 155)

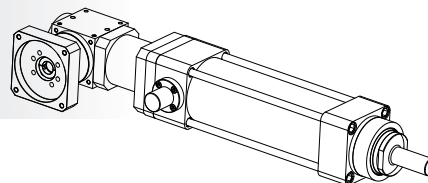


(\*) DIMENSIONE APPROSSIMATA / APPROXIMATE DIMENSION

**B+A**

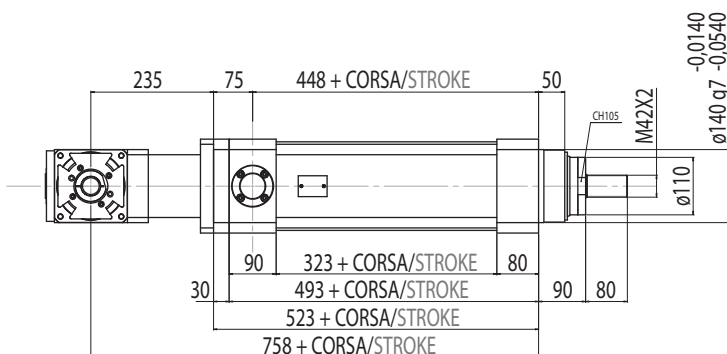
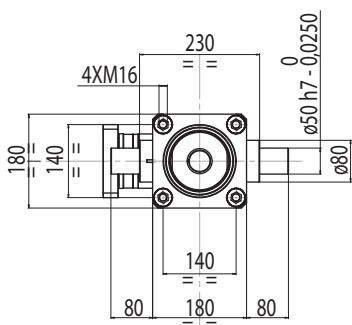
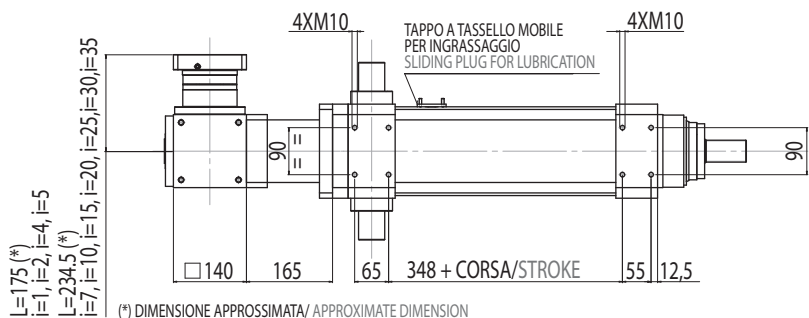
**MODULO BASE + RINVIO ANGOLARE**

**BASIC MODULE + ANGLE BEVEL GEARBOX STAGE**



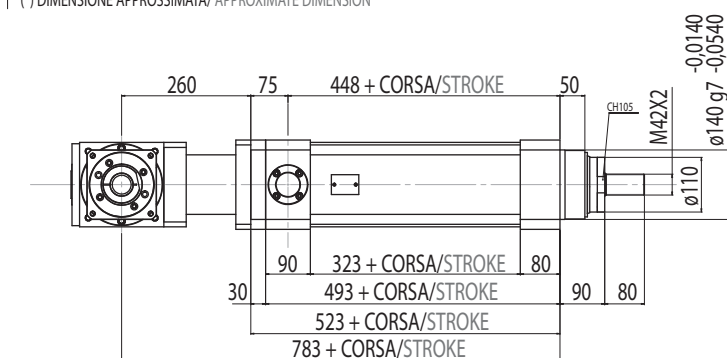
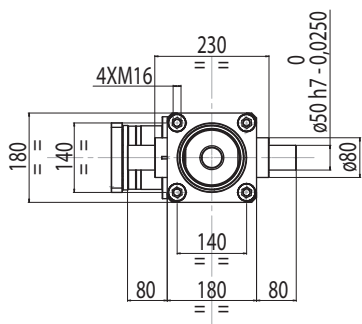
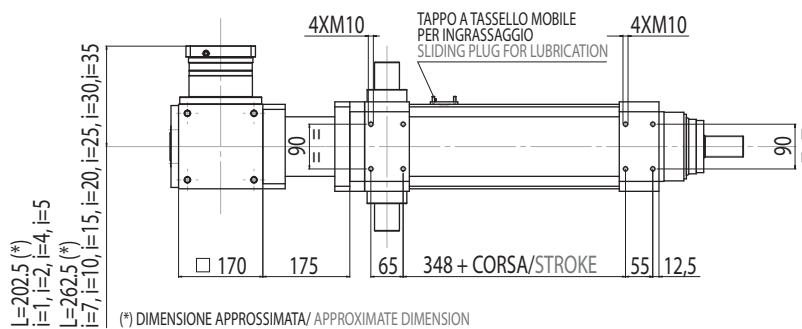
**A140**

(ATB140-FL1)



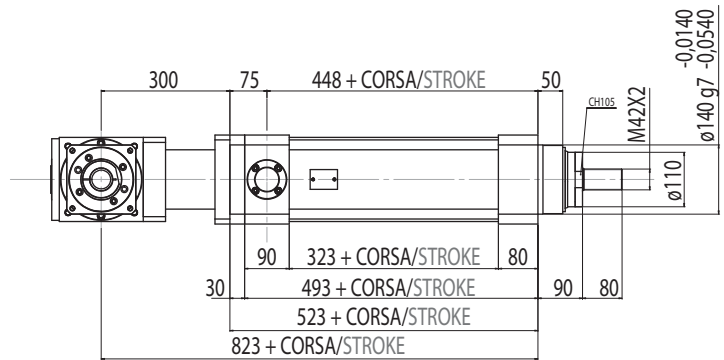
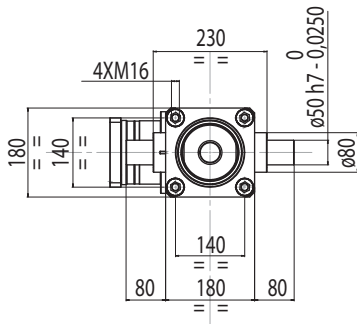
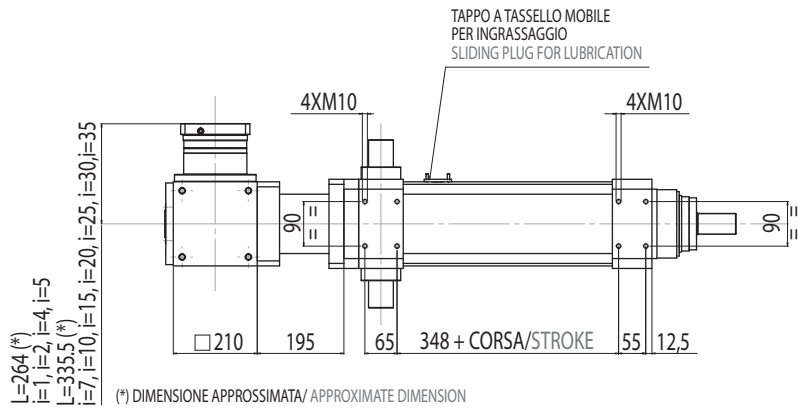
**A170**

(ATB170-FL1)



**A210**

(ATB210-FL1)

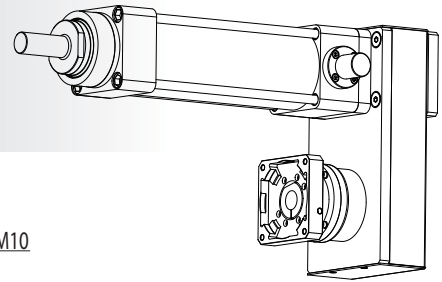




**B+R**

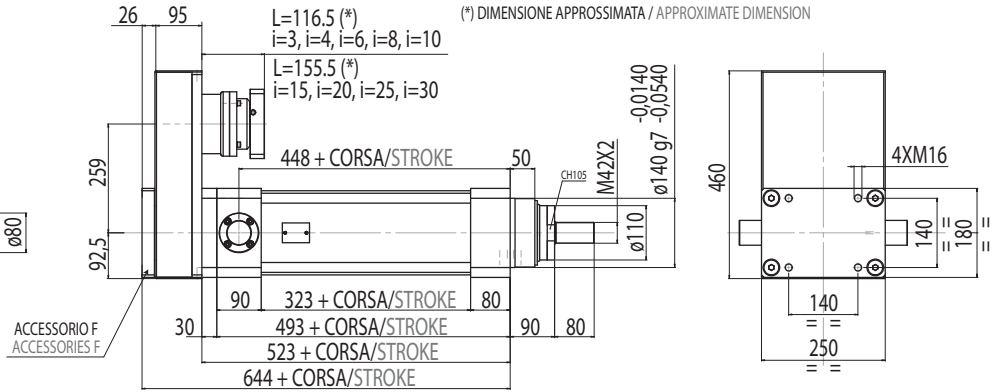
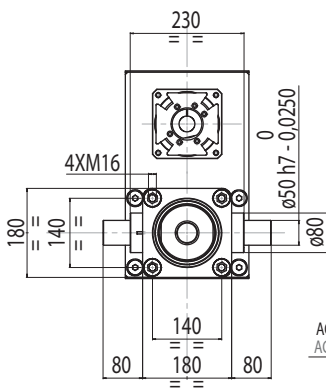
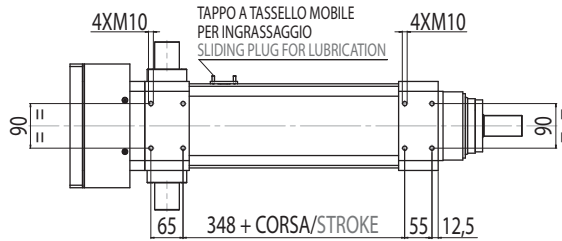
**MODULO BASE + TRASMISSIONE A CINGHIA IN PARALLELO  
+ RIDUTTORE EPICICLOIDALE R120/R155**

**BASIC MODULE + PARALLEL BELT GEARBOX STAGE  
+ IN-LINE PLANETARY GEARBOX REDUCTION STAGE R120/R155**



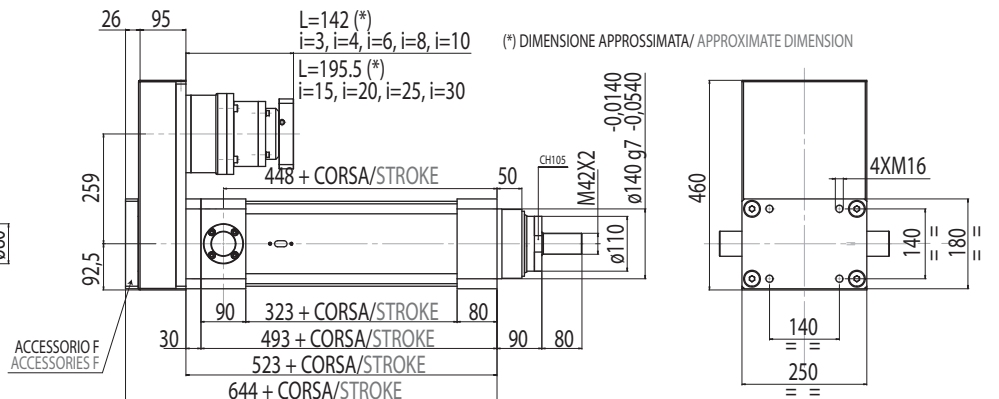
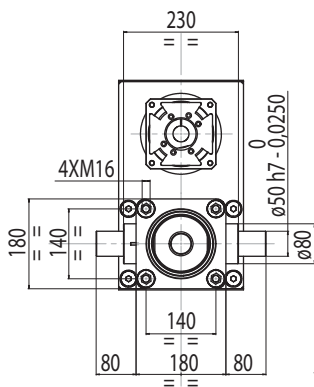
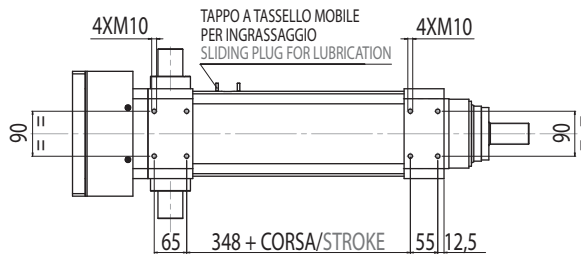
**R120**

(AE 120)



**R155**

(AE 155)



## 5.3

## IE 240

## 5.3.1 Caratteristiche tecniche

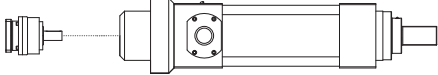
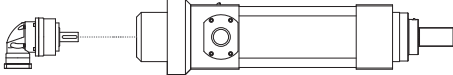
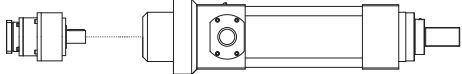
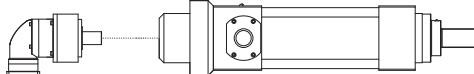
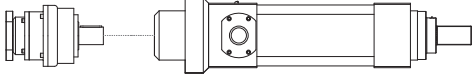
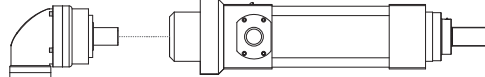
## 5.3.1 Technical features

| ISOMOVE IE 240             |  |          | 25   |
|----------------------------|--|----------|--|
| <b>P</b>                   | PASSO VITE<br>SCREW LEAD   | [mm]     | 25   |
| <b>D</b>                   | DIAMETRO VITE<br>SCREW DIAMETER  | [mm]     | 80   |
| <b>F<sub>d</sub></b>       | CARICO MASSIMO DINAMICO APPLICABILE<br>MAX ADMISSIBLE DYNAMIC LOAD                                       | [N]      | 350000   |
| <b>C<sub>in,max</sub></b>  | PER AVERE<br>TO GET $F_a = F_d$  | [Nm]     | 1548   |
| <b>C<sub>m,max</sub></b>   | "CASO 1" / "CASE 1": B   | [Nm]     | 1548   |
|                            | "CASO 2" / "CASE 2": B+D (R155/R205/R235/RA155/RA205/RA235)  | [Nm]     | $\left[ \frac{1720}{R} \right] + C_s$<br>R = rapporto di riduzione del riduttore / riduttore rinviato<br>R = planetary / angle bevel gearbox reduction ratio |
| <b>F<sub>st</sub></b>      | CARICO MASSIMO STATICO APPLICABILE<br>MAX ADMISSIBLE STATIC LOAD   | [N]      | 500000   |
| <b>V<sub>out,max</sub></b> | VELOCITÀ DI TRASLAZIONE MASSIMA IN USCITA / ROTAZIONE<br>MASSIMA VITE RDS                                | [mm/sec] | 417/1000   |
| <b>N<sub>in,max</sub></b>  | MAX OUTPUT SPEED / MAX BALLSCREW ROTATING INPUT SPEED  | [rpm]    |  |
| <b>S<sub>max</sub></b>     | CORSA MASSIMA STANDARD<br>MAX STANDARD STROKE  | [mm]     | 1100**   |
| <b>G<sub>s,max</sub></b>   | GIOCO ASSIALE MASSIMO PER CHIOCCIOLA STANDARD<br>MAX AXIAL BACKLASH FOR STANDARD BALLSCREW ASSEMBLY      | mm       | 0,05   |
| <b>G<sub>z</sub></b>       | GIOCO "0" DELLA CHIOCCIOLA<br>"0" BACKLASH BALLSCREW ASSEMBLY  |          | A RICHIESTA / UPON REQUEST   |
| <b>L<sub>10,Km</sub></b>   | DURATA<br>LIFETIME   | Km       | VEDI TABELLA / SEE TABLE pg. 175   |
|                            | VERSIONI DISPONIBILI<br>AVAILABLE TYPES  |          | D-R155 / D-R205 / D-R235<br>D-RA155 / D-RA205 / D-RA235  |
| <b>F<sub>a,max</sub></b>   | POSSIBILE CON IL RIDUTTORE EPICICLOIDALE INDICATO<br>POSSIBLE VALUE WITH THE INDICATED PLANETARY GEARBOX | [N]      | AE155-AER155/60200***<br>AE205-AER205/103000***<br>AE235-AER235/350000***  |
|                            | ACCESSORI DISPONIBILI<br>AVAILABLE ACCESSORIES   |          | NON DISPONIBILE / NOT AVAILABLE  |

\*\*\* È il valore massimo ottenibile con il rapporto di riduzione disponibile avente il minore valore di coppia erogabile.  
It is the max obtainable value with the available on tables reduction ratio which has the lowest value of nominal output torque.



**RIDUTTORI-RINVII "STANDARD SETEC GROUP DISPONIBILI"**  
**"STANDARD SETEC GROUP AVAILABLE" PLANETARY-ANGLE BEVEL GEARBOXES**

|  |   |                             |  |                             |
|--|---|-----------------------------|--|-----------------------------|
| TRASMISSIONE<br>CON RIDUTTORE<br><br>PLANETARY GEARBOX STAGE | <br><b>AE155</b> | MODULO BASE<br>BASIC MODULE | <br><b>AER155</b> | MODULO BASE<br>BASIC MODULE |
|  | <br><b>AE205</b> | MODULO BASE<br>BASIC MODULE | <br><b>AER205</b>  | MODULO BASE<br>BASIC MODULE |
|  | <br><b>AE235</b> | MODULO BASE<br>BASIC MODULE | <br><b>AER235</b>  | MODULO BASE<br>BASIC MODULE |

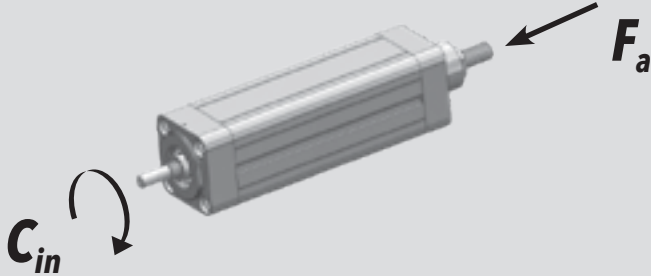
**5.3.2 Calcolo durata**

**5.3.2 Lifetime calculation**

|                                   |   |  |
|-----------------------------------|---|--|
| <b>IE 240</b><br><b>P = 25 mm</b> | $L_{10,Km} = \left[ \frac{800000}{F_{eq}} \right]^3 \cdot 25$ | <b>L<sub>10,Km</sub></b> = [Km]<br><b>F<sub>eq</sub></b> = [N] |
|-----------------------------------|---|--|



**5.2.3 Calcolo coppia in ingresso  
al modulo base**

**5.2.3 Torque calculation at basic  
module input shaft**

|  |   |  |
|--|---|--|
|  |   |  |
| <b>IE 240</b><br><b>P = 25 mm</b>  | $C_{in} = \left[ \frac{F_a \cdot 25}{5652} \right]$ | <b>C<sub>in</sub></b> = [Nm]<br><b>F<sub>a</sub></b> = [N] |

## 5.3.4 Calcolo coppia motore

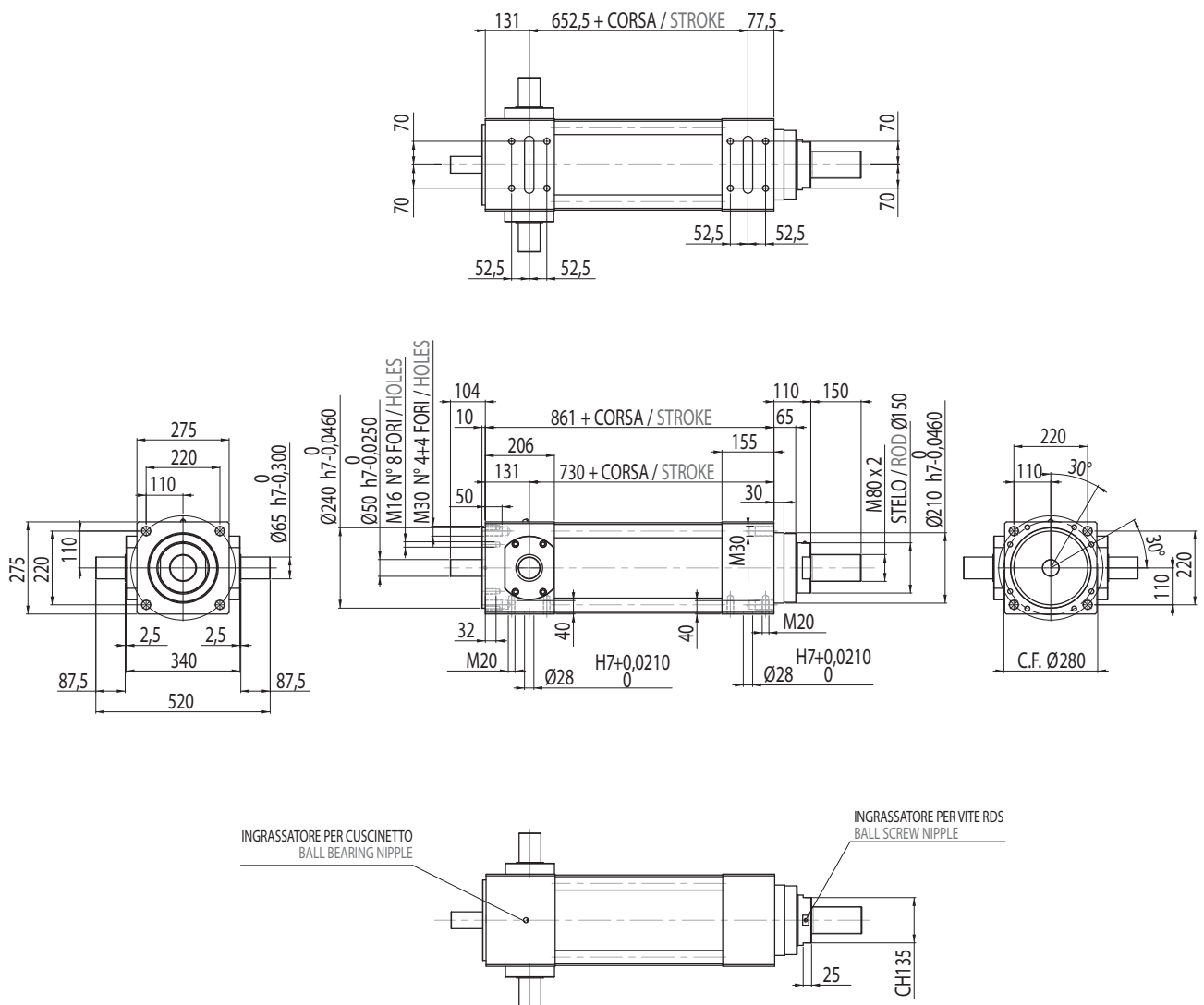
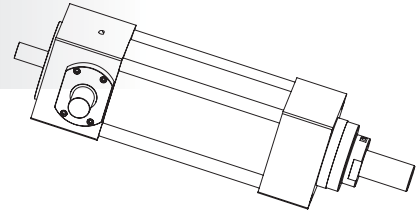
## 5.3.4 Motor torque calculation

|                             |  |
|-----------------------------|--|
| CASO / CASE<br><br><b>1</b> | <p style="text-align: center;"><b>ISOMOVE B</b></p>  $C_m = C_{in} \quad [Nm]$  |
| CASO / CASE<br><br><b>2</b> | <p style="text-align: center;"><b>ISOMOVE B+D</b><br/><b>(R155/R205/R235/RA155/RA205/RA235)</b></p>  $C_m = \left[ \frac{C_{in}}{R \cdot \eta} \right] + C_s \quad [Nm]$ <p> <i>R</i> = rapporto di riduzione riduttore / rinvio<br/>           planetary / angle bevel gearbox reduction ratio<br/> <i>η</i> = rendimento meccanico / mechanical efficiency = 0,90         </p> |

5.3.5 Caratteristiche dimensionali

5.3.5 Overall dimensions

**B**  
MODULO BASE  
BASIC MODULE

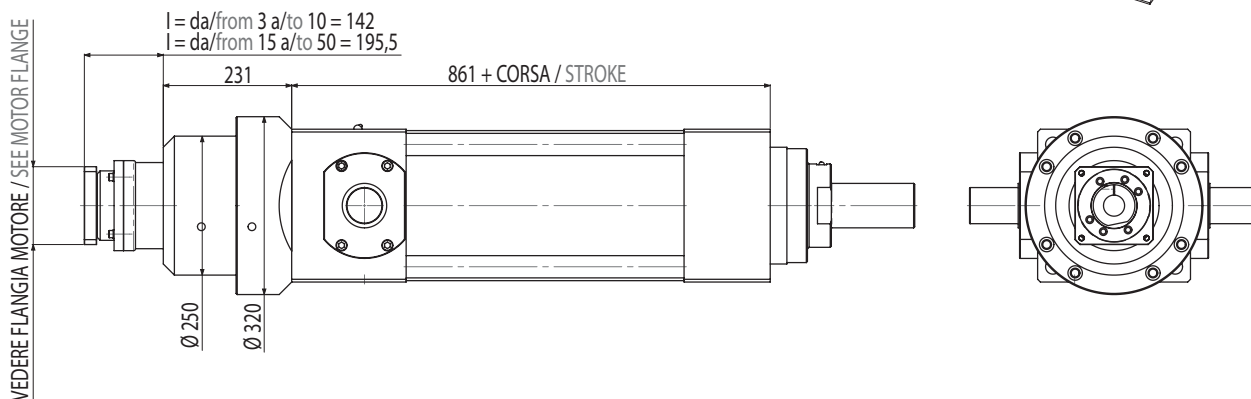


**B+D**

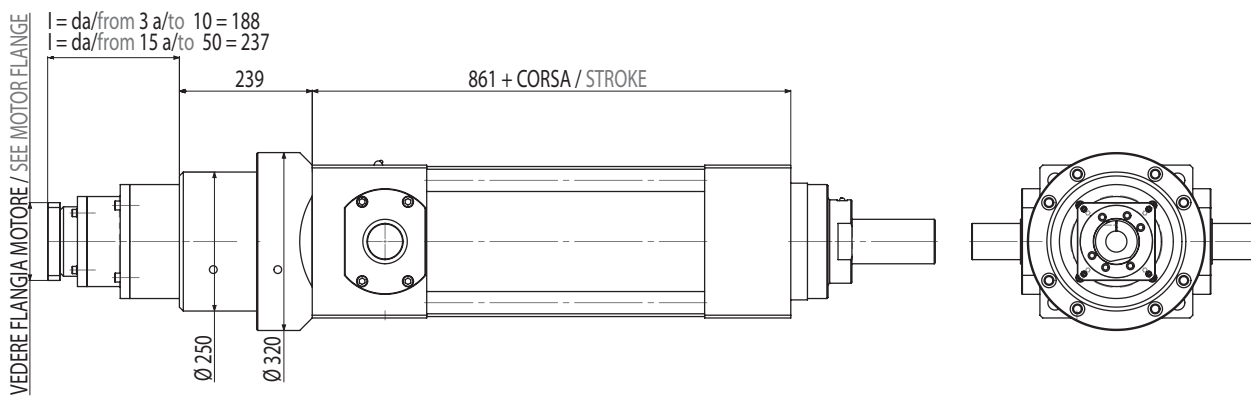
**MODULO BASE + RIDUTTORE EPICICLOIDALE COASSIALE**

**BASIC MODULE + IN-LINE PLANETARY GEARBOX STAGE**

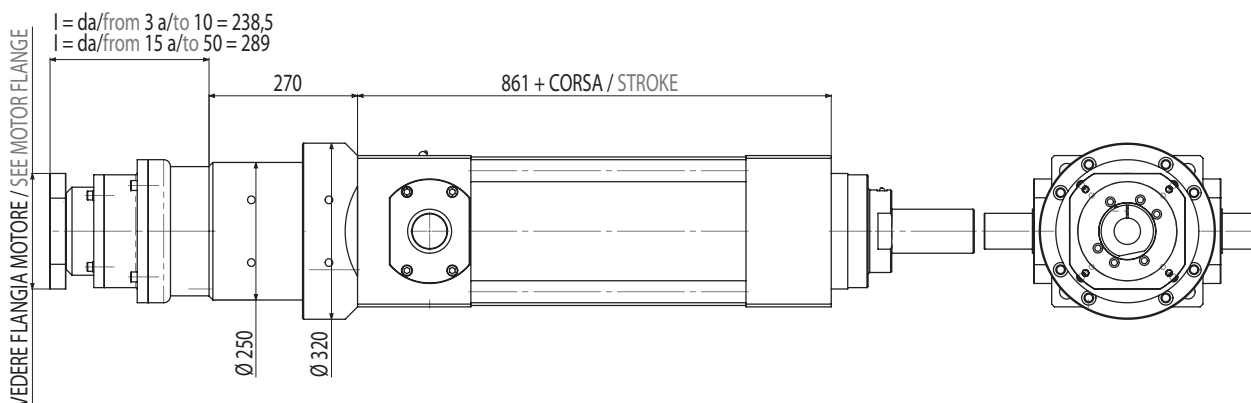
**R155**



**R205**

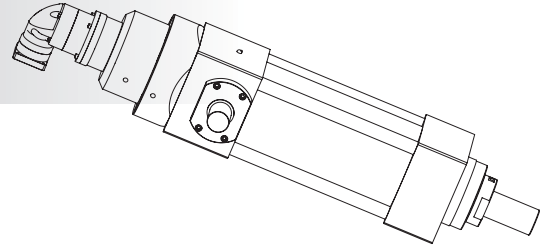


**R235**



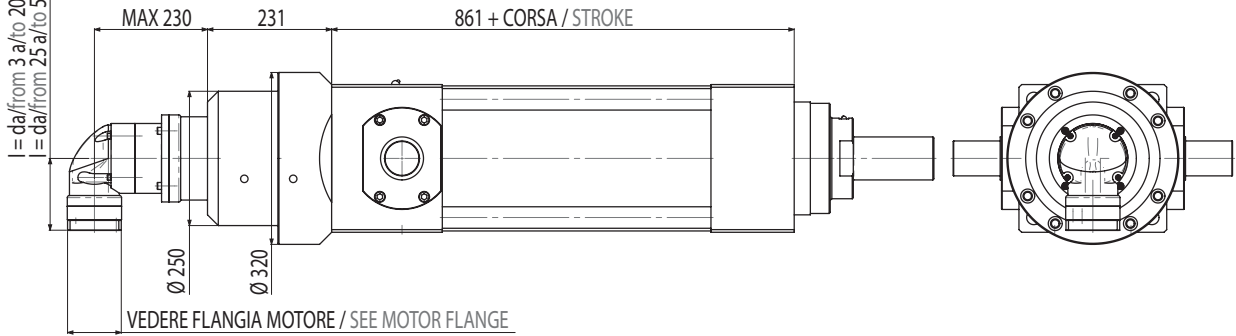
**B+D**

**MODULO BASE + RIDUTTORE EPICICLOIDALE ANGOLARE**  
**BASIC MODULE + PLANETARY ANGLE BEVEL GEARBOX STAGE**



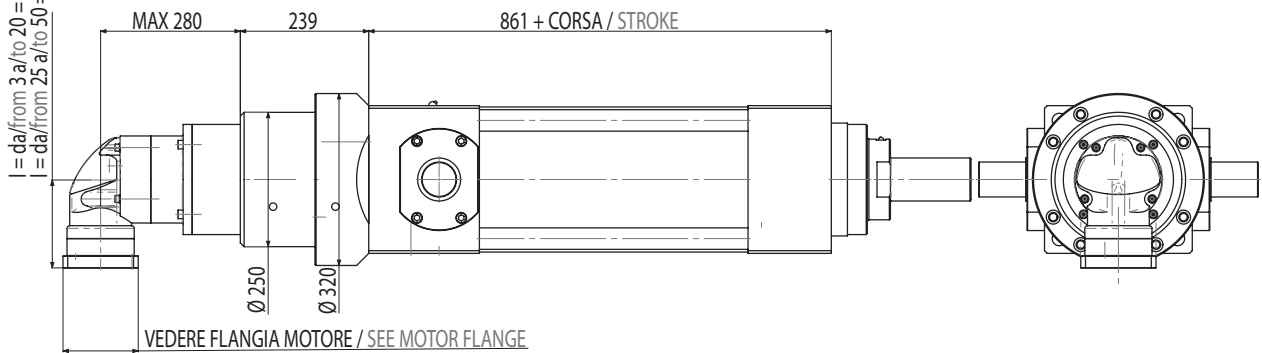
**RA155**

$l = da / \text{from } 3 \text{ a/to } 20 = 164,5$   
 $l = da / \text{from } 25 \text{ a/to } 50 = 134$



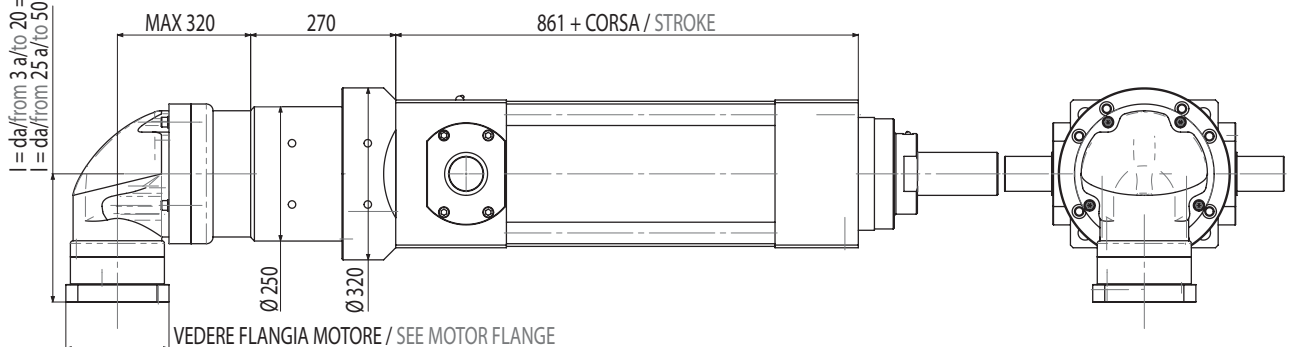
**RA205**

$l = da / \text{from } 3 \text{ a/to } 20 = 213,5$   
 $l = da / \text{from } 25 \text{ a/to } 50 = 164,5$



**RA235**

$l = da / \text{from } 3 \text{ a/to } 20 = 268,5$   
 $l = da / \text{from } 25 \text{ a/to } 50 = 213,5$





6.

## Schede tecniche Riduttori / Rinvii angolari

Planetary gearboxes / Angle  
bevel gearboxes datasheets

Riduttori / Planetary gearboxes pg. 182

Rinvii angolari / Angle bevel gearboxes pg. 184

## 6.1

Scheda tecnica riduttori  
Planetary gearboxes datasheets

| RIDUTTORI SERIE "AE" / PLANETARY GEARBOXES "AE" SERIES                     |  |       |       |       |       |                 |                 |                 |      |
|--|--|-------|-------|-------|-------|-----------------|-----------------|-----------------|------|
| MODELLO<br>MODEL   | R  | AE050 | AE070 | AE090 | AE120 | AE155<br>AER155 | AE205<br>AER205 | AE235<br>AER235 |      |
| <b>MONOSTADIO / 1 STAGE</b>  | 3  | 14    | 39    | 91    | 146   | 239             | 412             | 798             |      |
|  |  | 0,33  | 0,44  | 0,77  | 1,98  | 2,53            | 4,84            | 8,8             |      |
|  | 4  | 13    | 35    | 98    | 203   | 379             | 735             | 1190            |      |
|  |  | 0,33  | 0,44  | 0,77  | 1,98  | 2,53            | 4,84            | 8,8             |      |
|  | 5  | 15    | 42    | 112   | 231   | 455             | 840             | 1400            |      |
|  |  | 0,33  | 0,44  | 0,77  | 1,98  | 2,53            | 4,84            | 8,8             |      |
|  | $C_{rid}$ COPPIA NOMINALE IN USCITA<br>NOMINAL OUTPUT TORQUE [Nm]    | 6     | 14    | 39    | 105   | 217             | 420             | 770             | 1330 |
|  |  |       | 0,33  | 0,44  | 0,77  | 1,98            | 2,53            | 4,84            | 8,8  |
|  | $C_s$ COPPIA A VUOTO CHE<br>ASSORBE IL RIDUTTORE<br>IDLE TORQUE [Nm] | 7     | 13    | 35    | 98    | 210             | 385             | 770             | 1260 |
|  |  |       | 0,33  | 0,44  | 0,77  | 1,98            | 2,53            | 4,84            | 8,8  |
|  | 8  | 12    | 32    | 84    | 182   | 350             | 700             | 1120            |      |
|  |  | 0,33  | 0,44  | 0,77  | 1,98  | 2,53            | 4,84            | 8,8             |      |
|  | 9  | 10    | 28    | 70    | 161   | 315             | 630             | 1050            |      |
|  |  | 0,33  | 0,44  | 0,77  | 1,98  | 2,53            | 4,84            | 8,8             |      |
|  | 10   | 10    | 28    | 70    | 161   | 315             | 630             | 1050            |      |
|  |  | 0,33  | 0,44  | 0,77  | 1,98  | 2,53            | 4,84            | 8,8             |      |
|  | <b>BISTADIO / 2 STAGES</b>   | 15    | 14    | 39    | 91    | 146             | 239*            |                 |      |
|  |  |       | 0,17  | 0,17  | 0,28  | 0,55            | 1,43            |                 |      |
| 20   |  | 13    | 35    | 98    | 203   | 379*            | 735*            | 1190*           |      |
|  |  | 0,17  | 0,17  | 0,28  | 0,55  | 1,43            | 2,42            | 5,5             |      |
| 25   |  | 15    | 42    | 112   | 231   | 455             | 840             | 1400            |      |
|  |  | 0,17  | 0,17  | 0,28  | 0,55  | 1,43            | 2,42            | 5,5             |      |
| $C_{rid}$ COPPIA NOMINALE IN USCITA<br>NOMINAL OUTPUT TORQUE [Nm]          |  | 30    | 14    | 39    | 105   | 217             | 420             | 770             | 1330 |
|  |  |       | 0,17  | 0,17  | 0,28  | 0,55            | 1,43            | 2,42            | 5,5  |
| $C_s$ COPPIA A VUOTO CHE<br>ASSORBE IL RIDUTTORE<br>IDLE TORQUE [Nm]       |  | 35    | 13    | 35    | 98    | 210             | 385             | 770             | 1260 |
|  |  |       | 0,17  | 0,17  | 0,28  | 0,55            | 1,43            | 2,42            | 5,5  |
| 40   |  | 11,9  | 31,5  | 84    | 182   | 350             | 700             | 1120            |      |
|  |  | 0,17  | 0,17  | 0,28  | 0,55  | 1,43            | 2,42            | 5,5             |      |
| 45   |  | 10    | 28    | 70    | 161   | 315             | 630             | 1050            |      |
|  |  | 0,17  | 0,17  | 0,28  | 0,55  | 1,43            | 2,42            | 5,5             |      |
| VELOCITÀ MASSIMA IN INGRESSO AL RIDUTTORE [rpm]<br>MAX GEARBOX INPUT SPEED |  |       | 5000  | 5000  | 4000  | 4000            | 3000            | 3000            | 2000 |
| $\eta$ RENDIMENTO DEL RIDUTTORE<br>GEARBOX MECHANICAL EFFICIENCY           |  |       | 0,9   | 0,9   | 0,9   | 0,9             | 0,9             | 0,9             | 0,9  |

\* Non disponibili nella versione AER. / Not available in AER version.



| RIDUTTORI SERIE "PGII" / PLANETARY GEARBOXES "PGII" SERIES  |  |         |         |          |      |
|---|--|---------|---------|----------|------|
| MODELLO<br>MODEL  | R  | PGII060 | PGII080 | PGII 120 |      |
| <p><b>MONOSTADIO / 1 STAGE</b></p> <hr/> <p><b><math>C_{rid}</math></b> COPPIA NOMINALE IN USCITA<br/>NOMINAL OUTPUTTORQUE [Nm]</p> <hr/> <p><b><math>C_s</math></b> COPPIA A VUOTO CHE<br/>ASSORBE IL RIDUTTORE<br/>IDLE TORQUE [Nm]</p> | 3  | 29      | 77      | 152      |      |
|   |  | 0,1     | 0,4     | 0,8      |      |
|   | 4  | 29      | 79      | 156      |      |
|   |  | 0,1     | 0,4     | 0,8      |      |
|   | 5  | 28      | 83      | 154      |      |
|   |  | 0,1     | 0,4     | 0,8      |      |
|   | 7  | 25      | 67      | 139      |      |
|   |  | 0,1     | 0,4     | 0,8      |      |
|   | 10   | 19      | 48      | 109      |      |
|   |  | 0,1     | 0,4     | 0,8      |      |
|   | <p><b>BISTADIO / 2 STAGES</b></p> <hr/> <p><b><math>C_{rid}</math></b> COPPIA NOMINALE IN USCITA<br/>NOMINAL OUTPUTTORQUE [Nm]</p> <hr/> <p><b><math>C_s</math></b> COPPIA A VUOTO CHE<br/>ASSORBE IL RIDUTTORE<br/>IDLE TORQUE [Nm]</p> | 15      | 28      | 76       | 149  |
|   |  |         | 0,1     | 0,3      | 0,4  |
| 16  |  | 29      | 81      | 160      |      |
|   |  | 0,1     | 0,3     | 0,4      |      |
| 20  |  | 29      | 81      | 161      |      |
|   |  | 0,1     | 0,3     | 0,4      |      |
| 25  |  | 28      | 86      | 160      |      |
|   |  | 0,1     | 0,3     | 0,4      |      |
| 30  |  | 28      | 76      | 148      |      |
|   |  | 0,1     | 0,3     | 0,4      |      |
| 35  |  | 25      | 70      | 144      |      |
|   |  | 0,1     | 0,3     | 0,4      |      |
| 40  |  | 30      | 82      | 162      |      |
|   |  | 0,1     | 0,3     | 0,4      |      |
| 50  |  | 28      | 86      | 160      |      |
|   |  | 0,05    | 0,3     | 0,4      |      |
| VELOCITÀ MASSIMA IN INGRESSO AL RIDUTTORE [rpm]<br>MAX GEARBOX INPUT SPEED  |  |         | 4000    | 3600     | 3600 |
| $\eta$ RENDIMENTO DEL RIDUTTORE<br>GEARBOX MECHANICAL EFFICIENCY  |  |         | 0,9     | 0,9      | 0,9  |

## 6.2

Scheda tecnica rinvii angolari  
Angle bevel gearboxes datasheets

| RINVII ANGOLARI SERIE "ATB" / ANGLE BEVEL GEARBOXES "ATB" SERIES   |   |        |        |        |        |        |        |        |      |
|--|---|--------|--------|--------|--------|--------|--------|--------|------|
| MODELLO<br>MODEL   | R   | ATB065 | ATB075 | ATB090 | ATB110 | ATB140 | ATB170 | ATB210 |      |
| <b>MONOSTADIO / 1 STAGE</b><br><hr/> <b><math>C_{rid}</math></b> COPPIA NOMINALE IN USCITA<br>NOMINAL OUTPUT TORQUE [Nm]<br><hr/> <b><math>C_s</math></b> COPPIA A VUOTO CHE<br>ASSORBE IL RIDUTTORE<br>IDLE TORQUE [Nm] | 1   | 18     | 32     | 55     | 105    | 252    | 410    | 910    |      |
|  |   | 1,6    | 2,2    | 3,1    | 4,6    | 8,6    | 12,1   | 21,6   |      |
|  | 1,5   | 18     | 32     | 55     | 105    | 252    | 410    | 910    |      |
|  |   | 1,6    | 2,2    | 3,1    | 4,6    | 7,5    | 11     | 18,9   |      |
|  | 2   | 17     | 29     | 48     | 105    | 231    | 381    | 854    |      |
|  |   | 1,3    | 1,5    | 2,7    | 3,7    | 5      | 7,8    | 16,2   |      |
|  | 3   | 13     | 23     | 38     | 84     | 189    | 315    | 714    |      |
|  |   | 1,3    | 1,5    | 1,8    | 3      | 4,4    | 5,9    | 14,3   |      |
|  | 4   | 9      | 20     | 34     | 70     | 157    | 263    | 602    |      |
|  |   | 1,1    | 1,1    | 1,2    | 2,8    | 4      | 5,9    | 14,3   |      |
|  | 5   | 8      | 18     | 28     | 60     | 137    | 224    | 518    |      |
|  |   | 1,1    | 1,1    | 1,2    | 2,6    | 4      | 5,4    | 13,8   |      |
|  | <b>BISTADIO / 2 STAGES</b><br><hr/> <b><math>C_{rid}</math></b> COPPIA NOMINALE IN USCITA<br>NOMINAL OUTPUT TORQUE [Nm]<br><hr/> <b><math>C_s</math></b> COPPIA A VUOTO CHE<br>ASSORBE IL RIDUTTORE<br>IDLE TORQUE [Nm] | 10     | 17     | 20     | 48     | 105    | 146    | 146    | 301  |
|  |   |        | 0,8    | 0,9    | 1      | 2      | 2,4    | 3,9    | 9,7  |
| 15   |   | 13     | 23     | 38     | 84     | 189    | 218    | 452    |      |
|  |   | 0,8    | 0,9    | 1      | 2      | 2,4    | 3,9    | 9,7    |      |
| 20   |   | 9      | 20     | 34     | 70     | 157    | 263    | 602    |      |
|  |   | 0,8    | 0,9    | 1      | 2      | 2,4    | 3,9    | 9,7    |      |
| 25   |   | 8      | 18     | 28     | 60     | 137    | 224    | 518    |      |
|  |   | 0,8    | 0,9    | 1      | 2      | 2,4    | 3,9    | 9,7    |      |
| 35   |   | 8      | 18     | 28     | 60     | 137    | 224    | 518    |      |
|  |   | 0,8    | 0,9    | 1      | 2      | 2,4    | 3,9    | 9,7    |      |
| 50   |   | 8      | 18     | 28     | 60     | 137    | 224    | 518    |      |
|  |   | 0,8    | 0,9    | 1      | 2      | 2,4    | 3,9    | 9,7    |      |
| VELOCITÀ MASSIMA IN INGRESSO AL RIDUTTORE [rpm]<br>MAX GEARBOX INPUT SPEED   |   |        | 7000   | 6000   | 5000   | 4000   | 3000   | 3000   | 3000 |
| $\eta$ RENDIMENTO DEL RIDUTTORE<br>GEARBOX MECHANICAL EFFICIENCY   |   |        | 0,9    | 0,9    | 0,9    | 0,9    | 0,9    | 0,9    | 0,9  |

7.

## Note tecniche generali

General technical information

## 7.1

Extracorsa (corsa di sicurezza)  
Extra-stroke (safety stroke)

L'attuatore non è costruito per usare la sua battuta meccanica interna per arrestarsi, pertanto nella scelta consigliamo di tenere in conto una corsa extra che eviti la collisione interna.

A titolo indicativo si può aggiungere alla corsa massima di lavoro  $S_I$  un valore per ogni lato pari 2 volte il passo  $S_s = 2P$ :

$$S = S_I + 2S_s$$

NOTA: per una corsa nominale  $S$  la corsa reale è comunque superiore di qualche millimetro.

The actuator is not built to stand internal mechanical stop, thus during selection process we advice take into account to add some additional stroke to avoid internal collision.

Just as an indication you can add to the max working stroke  $S_I$  an additional safety for each side which is twice the ballscrew pitch  $S_s = 2P$ :

**corsa dell'attuatore**  
**actuator's stroke**

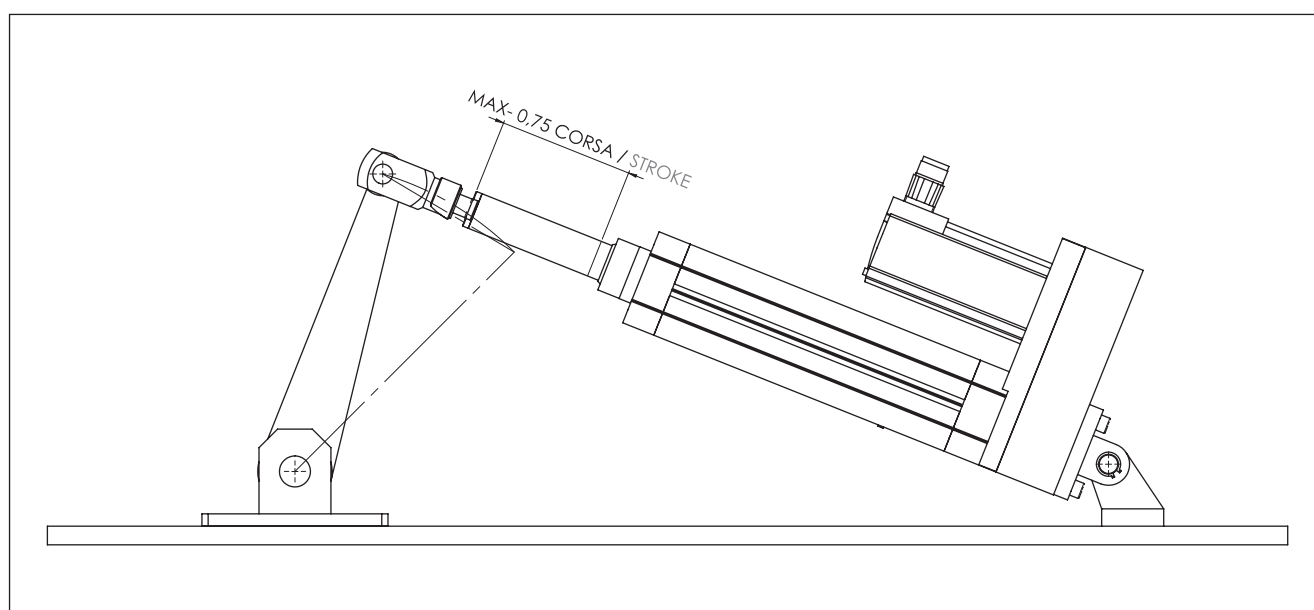
REMARK: the actual manufacturing stroke is anyway some millimeters longer the nominal stroke  $S$ .

## 7.2

Montaggio con attuatore basculante  
Installation with tilting actuator

Nel caso in cui l'attuatore sia montato in modo da basculare con il suo asse durante la sua corsa (ovvero in tutti quei casi in cui non mantiene una posizione fissa nello spazio), ad esempio perché si usano i perni oscillanti laterali **PE** in combinazione con la forcella anteriore **FS** oppure con la testa a snodo sferico **SS**, il suo peso proprio lo sollecita a flessione. Prevedere pertanto di usare un massimo della corsa totale  $S$  pari al 75% della stessa.

In all cases where the actuator is tilting during its stroke (i.e. all the cases where the actuator doesn't keep a fixed position during motion), because for example **PE** pins together with **FS** fork or **SS** joint are used; its weight creates a bending force on the actuator itself. Use then only 75% of the actuator stroke  $S$ .



## 7.3

### Grado protezione IP IP protection rate

Il MODULO BASE B00 ha un grado di protezione IP54.  
Tutte le altre versioni: contattare il ns. ufficio tecnico.

BASIC MODULE B00 has an IP54 protection rate.  
For all the other types: please contact our technical dept.

## 7.4

### Lubrificazione Lubrication

La lubrificazione standard è a grasso.  
L'attuatore è fornito lubrificato dal costruttore.  
Per ogni altro dettaglio fare riferimento al MANUALE DI  
INSTALLAZIONE-USO-MANUTENZIONE.

Standard lubrication is by grease.  
The actuator is supplied already lubricated by the  
manufacturer.  
For any other detail please refer to INSTALLATION-  
USE-MAINTENANCE HANDBOOK.

## 7.5

### Posizione di montaggio Mounting position

L'attuatore, in linea generale, può essere montato  
all'interno di un sistema in qualsiasi posizione.  
Tuttavia, in fase di progettazione e scelta dell'attuatore,  
vanno osservate tutte le condizioni di lavoro a cui verrà  
sottoposto l'ISOMOVE.  
Qualora l'attuatore venisse posizionato fisso in  
orizzontale, tenere sempre in considerazione il peso  
dello stesso al fine di selezionare il corretto sistema  
di fissaggio: in questo caso si consiglia sempre di  
supportare anteriormente e posteriormente l'attuatore.  
Assicurarsi che il montaggio venga eseguito senza  
deformazioni e sollecitazioni (assicurare ottime  
planarità e ortogonalità delle superfici di appoggio).

In general terms the actuator can be mounted in any  
position into the machine.  
Anyway, during design and selection, please consider  
all its the possible working condition.  
If the actuator is mounted horizontally in a fixed  
position, due to its proper weight it is always better to  
use a front and a back support.  
Please be sure during installation that its assembly into  
the machine is not causing deformation and stresses to  
the actuator itself (please respect very good tolerances  
for planarity and orthogonality of the connection  
machine parts).

## 7.6

### Reversibilità Reversibility

In generale l'attuatore è reversibile, ovvero non  
autobloccante.  
Pertanto in applicazioni verticali prevedere un sistema  
di frenatura esterno per ragioni di sicurezza.

In general terms the actuator is not self-locking; thus  
consider to add an external braking system for safety  
reason.

## 7.7

Capacità di fattore di servizio  
Duty cycle rating

L'attuatore ha una capacità di fattore di servizio pari al 100%, ovvero per impiego continuo.

The actuator has duty cycle rating of 100%, i.e. for continuous duty.

## 7.8

Collegamento riduttore/rivio a modulo base  
Torque transmission element between planetary /  
angle bevel gearbox and basic module

## IE 32 ÷ 100XL

**Per tutti i modelli:** si usano giunti a morsetto a gioco zero senza chiave / calettatori ad attrito.

**For all models:** zerobacklash servocouplings without keaway / friction shrink-disk are used.

## IE 125 ÷ 160

**B+R:** calettatori ad attrito.

**B+R:** shrink-Disks.

**B+D e B+A:** giunto a morsetto a gioco zero con chiave.

**B+D and B+A:** zero backlash servocouplings with keaway.

# ISOMOVE-E the evolution

Attuatori lineari meccanici di precisione per alta dinamica  
Precision mechanical linear actuators for high dynamics



<sup>®</sup>**JETEC**  
**COMPONENTI CONTROLLI SISTEMI DI MOTO**



## TORINO

**Direzione Generale e Stabilimento di Produzione - Headquarter and Production Plant**

Via Mappano, 17 - 10071 Borgaro T.se (TO) - T +39 011 451 8611 (centr. r.a.) - F +39 011 470 4891 - setec.to@setec-group.it

[www.setec-group.com](http://www.setec-group.com)



## MILANO

Via Meccanica, 5  
20026 Novate (MI) - Z. I. Vialba  
T +39 02 356 0990 - 382 01 590 (r.a.)  
F +39 02 356 0943  
setec.mi@setec-group.it



## PADOVA

Via Secchi, 81  
35136 Padova  
T +39 049 872 5983  
F +39 049 856 0965  
setec.pd@setec-group.it



## BOLOGNA

Via Del Lavoro, 6/A  
40051 Altedo (BO)  
T +39 051 871 949 (3 linee r.a.)  
F +39 051 870 329  
setec.bo@setec-group.it

## FIRENZE

Via Galileo Galilei, 3  
50015 Bagno a Ripoli - Grassano (FI)  
T +39 055 643 261  
F +39 055 646 6614  
setec.fi@setec-group.it

## NETWORK INTERNAZIONALE DISTRIBUTORI AUTORIZZATI / INTERNATIONAL AUTHORIZED DISTRIBUTORS

### AUSTRIA

**TAT Technom Antriebstechnik GmbH**  
Technologiering 13-17  
4060, Leonding  
Austria  
Tel. +43 7229 64840.0  
Fax +43 7229 61817  
tat@tat.at  
www.tat.at

### FINLAND

**WEXON OY**  
Turvekuja 6,  
00700, Helsinki,  
Finland  
Tel. +358 9 290 440  
Fax +358 9 290 44100  
wexon@wexon.com  
www.wexon.fi

### KOREA

**SONG WON TRADING Co. Ltd.**  
Songwon Bldg 6  
Seolleung-ro 121-gil Gangnam-gu  
Republic of Korea  
Tel. +82 2 5164111  
Fax +82 2 5458322  
tech@swt.co.kr  
www.swt.co.kr

### SPAIN

**INTRA Automation, S.L.**  
Ronda Auguste y Louis Lumière, 45 -  
Nave 3 - 46980, Parque tecnológico  
de Paterna - Valencia, España  
Tel. +34 96 396 10 08  
Fax +34 96 396 10 18  
info@intraautomationsl.com  
www.intraautomationsl.com

### CANADA

**DRIVE SYSTEMS GROUP Inc.**  
7150 Torbram Rd. Units 1 & 2  
Mississauga, Ontario  
Canada, L4T 3Z8  
Tel. +1 905 405-0310  
Fax +1 905 405-0313  
georger@drivesystemsgroup.com  
www.drivesystemsgroup.com

### FRANCE

**SNT**  
2, rue Marcel DASSAULT - BP 29  
94510, La Queue en Brie  
France  
Tel. +33 1 4593 0525  
Fax +33 1 4594 7995  
contact@snt.tm.fr  
www.snt.tm.fr

### RUSSIA

**000 WEXON**  
Sofiykaya ul., 14  
192236, St. Petersburg  
Russia  
Tel. +7 812 6432375  
Fax +7 812 3266504  
wexon@wexon.ru  
www.wexon.ru

### THE NETHERLANDS

**DTS Aandrijftechniek BV**  
Parlevinkerweg 44 (Industrienummer 5068)  
5928, NV Venlo  
Nederland  
Tel. +31 77 3961420  
Fax +31 77 3961429  
info@dts-aandrijftechniek.nl  
www.dts-aandrijftechniek.nl

### CHINA

**EURO POWER TRANSMISSION  
& CONTROL Ltd.**  
No.293, Xiuyan Rd, Pudong  
201315, Shanghai, China  
Tel. +86 21 510 284 51  
Fax +86 21 510 288 72  
ptc@europtc.com  
www.europtc.com

### GERMANY

**A-Drive Technology GmbH**  
Ziegelhüttenweg 4  
65232, Taunusstein,  
Deutschland  
Tel. +49 0 6128 9755-0  
Fax +49 0 6128 9755-55  
info@a-drive.de  
www.a-drive.de

### SLOVAK REPUBLIC

**OPIS Engineering s.r.o.**  
Lúčna 476  
03202, Závažná Poruba,  
Slovenská Republika  
Tel. +421 445 547 234  
Fax +421 903 390 520  
info@opis.sk  
www.opis.sk

### TURKEY

**AKTEC Mühendislik ve Ticaret Ltd.**  
Veko Giz Plaza  
Maslak Meydan Sokak No. 3, Kat. 13/14  
34398, Maslak, Istanbul, Turkey  
Tel. +90 212 705 36 32  
Fax +90 212 705 36 36  
info@aktec.tc  
www.aktec.tc

### CZECK REPUBLIC

**OPIS Engineering k.s.**  
Selská 64  
61400, Brno,  
Česká Republika  
Tel. +420 543 330 055  
Fax +420 543 242 653  
info@opis.cz  
www.opis.cz

### GERMANY

**GEMOTEG GmbH + Co.KG**  
Walkenmühleweg 49  
72379, Hechingen,  
Deutschland  
Tel. +49 7471 9301030  
Fax +49 7471 9301059  
info@gemoteg.de  
www.gemoteg.de

### SLOVENIA

**M&M Intercom d.o.o.**  
Letališka cesta 33a  
1000, Ljubljana,  
Slovenija  
Tel. +386 1 52 00 116  
Fax +386 1 52 49 072  
info@mm-intercom.si  
www.mm-intercom.si

### UNITED KINGDOM

**GAPP AUTOMATION Ltd.**  
6 Kempston Court, Manor Road,  
Kempston Hardwick, Bedford,  
MK43 9PO, United Kingdom  
Tel. +44 0 1234 924324  
Fax +44 0 1234 924325  
ggoodge@gapp.co.uk  
www.gapp.co.uk